

DIRECT-CURRENT RESISTIVITY DATA FROM 94 SITES
IN NORTHEASTERN PALM BEACH COUNTY, FLORIDA

By Cathleen J. Peterson

U.S. GEOLOGICAL SURVEY

Open-File Report 88-464

Prepared in cooperation with

PALM BEACH COUNTY



Tallahassee, Florida

1988

DEPARTMENT OF THE INTERIOR
DONALD PAUL HODEL, Secretary
U.S. GEOLOGICAL SURVEY
Dallas L. Peck, Director

For additional information
write to:

District Chief
U.S. Geological Survey
Suite 3015
227 North Bronough Street
Tallahassee, Florida 32301

Copies of this report can be
purchased from:

Books and Open-File Reports Section
U.S. Geological Survey
Federal Center, Building 810
Box 25425
Denver, Colorado 80225

CONTENTS

	Page
Abstract-----	1
Introduction-----	1
Methods-----	3
Selected references-----	5
Direct-current resistivity data-----	7

ILLUSTRATIONS

Figure 1. Map showing location of Palm Beach County and the area of investigation-----	2
2. Map showing location of direct-current resistivity soundings in the area of investigation-----	4

ABBREVIATIONS AND CONVERSION FACTORS

The inch-pound units used in this report may be converted to metric (International System) units by the following factors:

<u>Multiply inch-pound unit</u>	<u>By</u>	<u>To obtain metric unit</u>
foot (ft)	0.3048	meter (m)
ohm-foot (ohm-ft)	0.3048	ohm-meter (ohm-m)
mile (mi)	1.609	kilometer (km)
square mile (mi ²)	2.590	square kilometer (km ²)

Sea level: In this report "sea level" refers to the National Geodetic Vertical Datum of 1929 (NGVD of 1929)--a geodetic datum derived from a general adjustment of the first-order level nets of both the United States and Canada, formerly called "Mean Sea Level Datum of 1929."

DIRECT-CURRENT RESISTIVITY DATA FROM 94 SITES IN
NORTHEASTERN PALM BEACH COUNTY, FLORIDA

By Cathleen J. Peterson

ABSTRACT

Direct-current resistivity data were collected from 94 vertical electric sounding profiles in northeastern Palm Beach County, Florida. Direct-current resistivity data, which may be used to determine locations and thicknesses of shallow, semipermeable marls or locate zones of high chloride concentration, are presented in this report. The resistivity data consist of field data, smoothed data, layer resistivity from smoothed data, and Cartesian graphs of resistivity in relation to depth for 94 sites located in northeastern Palm Beach County, Florida.

INTRODUCTION

The current and anticipated demands for water of suitable quality from the surficial aquifer system has recently become an important consideration in the predevelopmental planning of northern Palm Beach County. Although construction of single-family residences in this predominantly undeveloped area is increasing, the area is not scheduled for any public water and sewer services before the year 2000; projections indicate 15,000 to 20,000 homes served by individual wells and septic tanks will exist in the area of investigation by that time (Palm Beach County Department of Planning, Building, and Zoning, 1980).

The U.S. Geological Survey, in cooperation with Palm Beach County, collected data for the first phase of an investigation in this area from October 1, 1985, to February 28, 1986. This report is one of several planned for an ongoing 3-year investigation intended to increase the data available about the water quality, hydraulic characteristics, and geology of the surficial aquifer system in the area.

The area of investigation encompasses about 323 mi² in northeastern Palm Beach County (fig. 1) and is bounded to the west by a north-south line extending from the Martin County line to the junction of the M-1 Canal and Levee 8 Canal, to the east by Florida's Turnpike, to the north by the Martin County line, and to the south by the C-51 Canal. There is little topographic relief in the area of investigation, with elevations ranging between 15 and 25 feet above sea level. The land surface is frequently inundated because of poor drainage and near-surface marls, which retard rainfall infiltration to the surficial aquifer system. The area has been altered by major transportation arteries, such as Florida's Turnpike and State Road 710 (SR 710), and drainage canals, such as the C-51 Canal, C-18 Canal, and M-1 Canal (fig. 1). The M-1 Canal in the southern part of the area moves water eastward from Levee 8 Canal to lakes used as sources of public-supply water. The C-18 Canal drains the

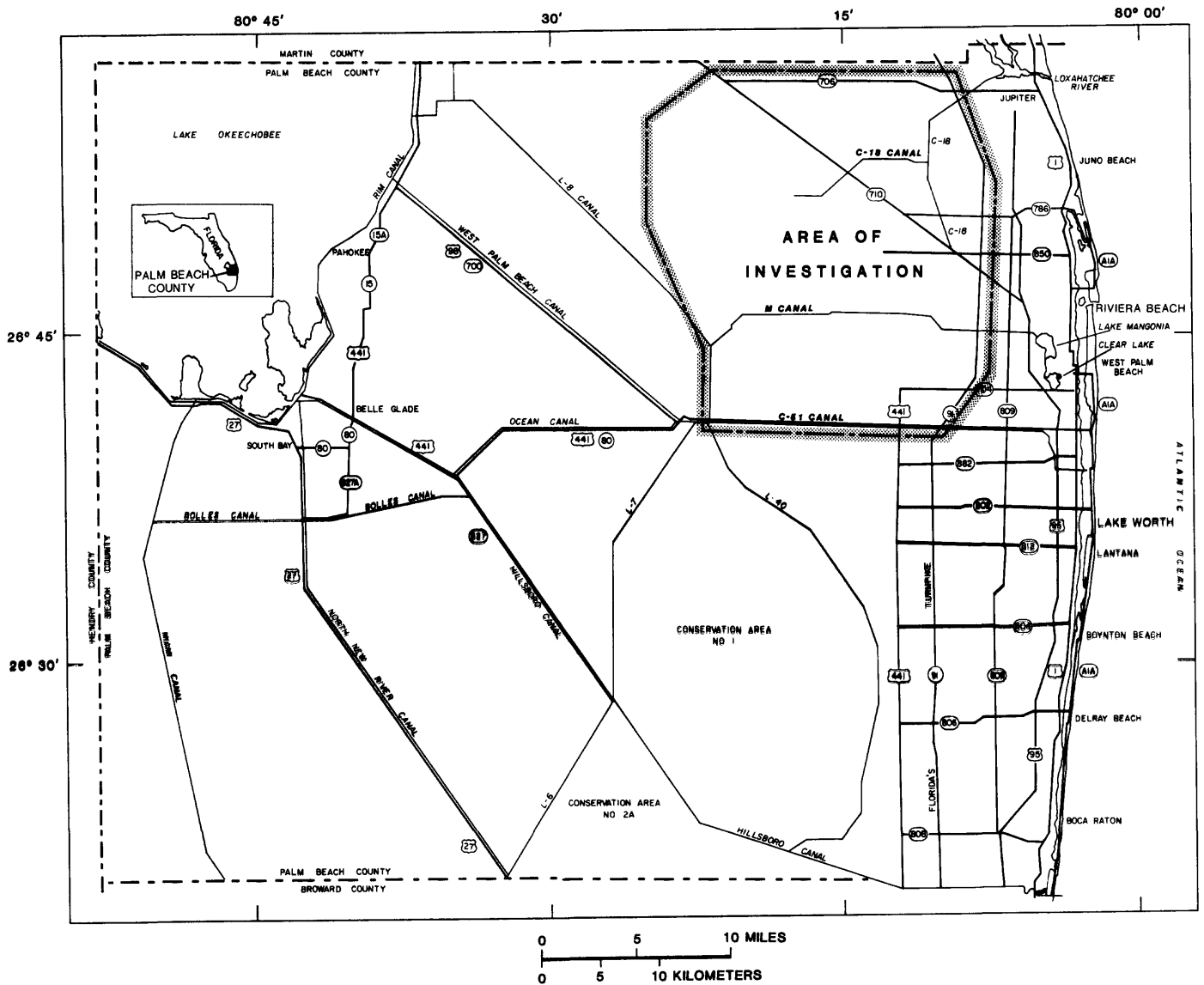


Figure 1.--Location of Palm Beach County and the area of investigation.

northern part of the area and empties into the Loxahatchee River estuary. Small canals and ponds excavated for fill material are located throughout the area (Fischer, 1980).

The direct-current resistivity method has been used to locate freshwater-saltwater interfaces (Zohdy and others, 1969; Mills and Ryder, 1977), to locate contaminated waters (Cartwright and McComas, 1968), and to study geologic or hydrologic properties of surficial aquifers (Fretwell and Stewart, 1981; Stodghill and Stewart, 1984). This method requires less time and manpower than other methods, is economical, and provides data which are readily resolved with the use of high-speed computers to solve extensive mathematical equations.

This report presents direct-current resistivity data consisting of field data, smoothed data, layer resistivity from smoothed data, and Cartesian graphs of resistivity (in ohm-feet) in relation to depth (in feet) for 94 sites in the area of investigation. Such data help to determine the locations and thicknesses of semipermeable marls between land surface and 50 feet below land surface, to locate zones of high chloride concentrations in the surficial aquifer, and to provide a predevelopment data base of geophysical information.

METHODS

Direct-current resistivity soundings were obtained at 94 sites in northeastern Palm Beach County (fig. 2) using a direct-current resistivity meter and a Wenner electrode configuration (Zohdy and others, 1974). Very low frequency current is introduced into the ground using two electrodes, and the potential difference (voltage) is measured between a second pair of electrodes located in a straight line between the outer electrodes. In the Wenner configuration, the distance between each of the electrodes is the same, and the potential difference is an indicator of the hydrostratigraphic composition of the earth from land surface to a depth proportional to the electrode spacing. The potential differences measured may be affected by porosity, water-quality, and physical and cultural (manmade) characteristics of the earth materials.

About 50 miles of surface geophysical transects were run along seven east-west cross sections and four north-south cross sections. Most soundings were at 1- to 2-mile intervals along dirt roadways, making it possible to obtain data from long straight transects. Because the area is largely undeveloped, very few cultural features exist which may affect the resistivity data. In areas where development had occurred, sites were located sufficient distances from cultural features.

Direct-current resistivity data were obtained using an electrode configuration known as the Wenner array (Zohdy and others, 1974). This array has four electrodes equally spaced at ground surface along a straight line. The resistivity meter measures current (I) in amperes and potential difference (ΔV) in volts. Values are derived from these measurements using a specific formula for the Wenner array:

$$\rho_a = \alpha\pi a(\Delta V/I)$$

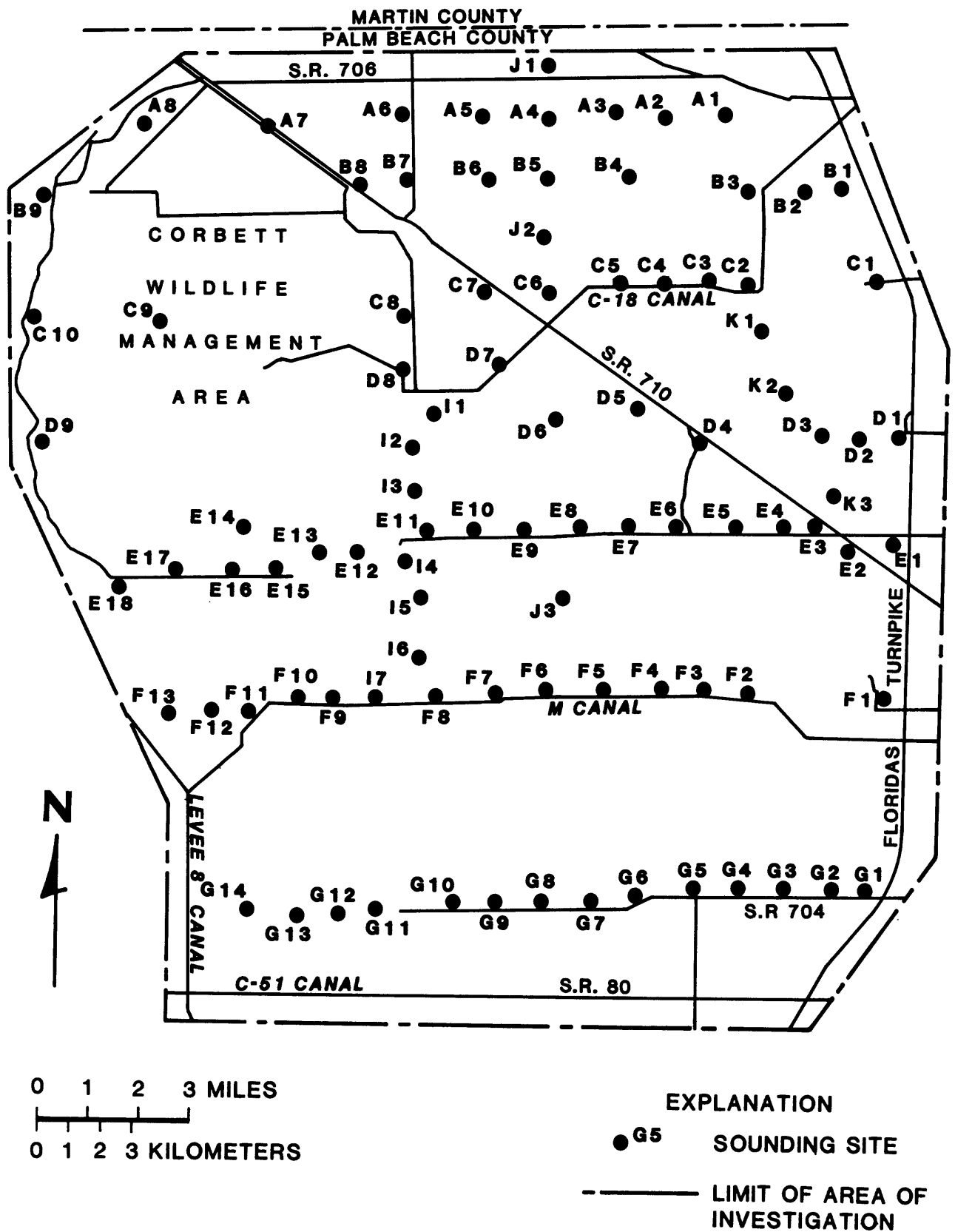


Figure 2.--Location of direct-current resistivity soundings in the area of investigation.

Apparent resistivity is the calculated result derived from the actual measured field parameters using the aforementioned formula.

The form of field data curves obtained is a function of the resistivities and layer thicknesses as well as that of the electrode configuration (array). Field curves are smoothed to fit theoretical master curves, thereby obtaining "smoothed data." Smoothed data values are entered into a computer program derived by Zohdy and Bisdorf (1975), referred to as "Computer Program for the Forward Calculation and Automatic Inversion of Wenner Sounding Curves." This program greatly simplifies calculation due to evaluation of difficult integrals. The output of the program is "layer resistivity from smoothed data." Layer resistivity from smoothed data provides depth, thickness, and resistivity data for layers at each sounding site.

Field data, smoothed data, layer resistivity from smoothed data, and Cartesian graphs of resistivity in relation to depth for 94 sites in northeastern Palm Beach County are presented at the end of this report.

SELECTED REFERENCES

- Cartwright, K., and McComas, M.R., 1968, Geophysical surveys in the vicinity of sanitary landfills in northeastern Illinois: National Water Well Association, Ground Water Journal, v. 6, no. 5, p. 23-30.
- Fischer, J.N., 1980, Evaluation of a cavity-riddled zone of the shallow aquifer near Riviera Beach, Palm Beach County, Florida: U.S. Geological Survey Water-Resources Investigations 80-60, 39 p.
- Fretwell, J.D., and Stewart, M.T., 1981, Resistivity study of a coastal karst terrain, Florida: National Water Well Association, Ground Water Journal, v. 19, no. 2, p. 156-162.
- Miller, W.L., 1988, Description and evaluation of the effects of urban and agricultural development on the surficial aquifer system, Palm Beach County, Florida: U.S. Geological Survey Water-Resources Investigations Report 88-4056, 58 p.
- Miller, W.L., and Lietz, A.C., 1976, Quality-of-water data, Palm Beach County, Florida, 1970-75: U.S. Geological Survey Open-File Report 76-784, 100 p.
- Mills, L.R., and Ryder, P.D., 1977, Saltwater intrusion in the Floridan aquifer, coastal Citrus and Hernando Counties, Florida, 1975: U.S. Geological Survey Water-Resources Investigations 77-100, 1 sheet.
- Palm Beach County Department of Planning, Building, and Zoning, 1980: Comprehensive Plan, 83 p.
- Rodis, H.G., and Land, L.F., 1976, The shallow aquifer--a prime freshwater resource in eastern Palm Beach County, Florida: U.S. Geological Survey Water-Resources Investigations 76-21, 12 p.

Scott, W.B., 1977, Hydraulic conductivity and water quality of the shallow aquifer, Palm Beach County, Florida: U.S. Geological Survey Water-Resources Investigations 76-119, 22 p.

Stodghill, Allan, and Stewart, M.T., 1984, Resistivity investigation of the Coastal Ridge aquifer hydrostratigraphy, Martin County, Florida: South Florida Water Management District Technical Publication 84-5, 273 p.

Swayze, L.J., and Miller, W.L., 1983, Hydrogeology of a zone of secondary permeability in the surficial aquifer of eastern Palm Beach County, Florida: U.S. Geological Survey Water-Resources Investigations Report 83-4249, 39 p.

U.S. Environmental Protection Agency, 1983, National revised primary drinking water regulations; advance notice of proposed rulemaking: Federal Register, v. 48, no. 194, part II, October 5, 1983, p. 45502-45521.

Zohdy, A.A.R., and Bisdorf, R.J., 1975, Computer programs for the forward calculation and automatic inversion of Wenner sounding curves: Springfield, Va., National Technical Information Service Publication PB-247-265/AS.

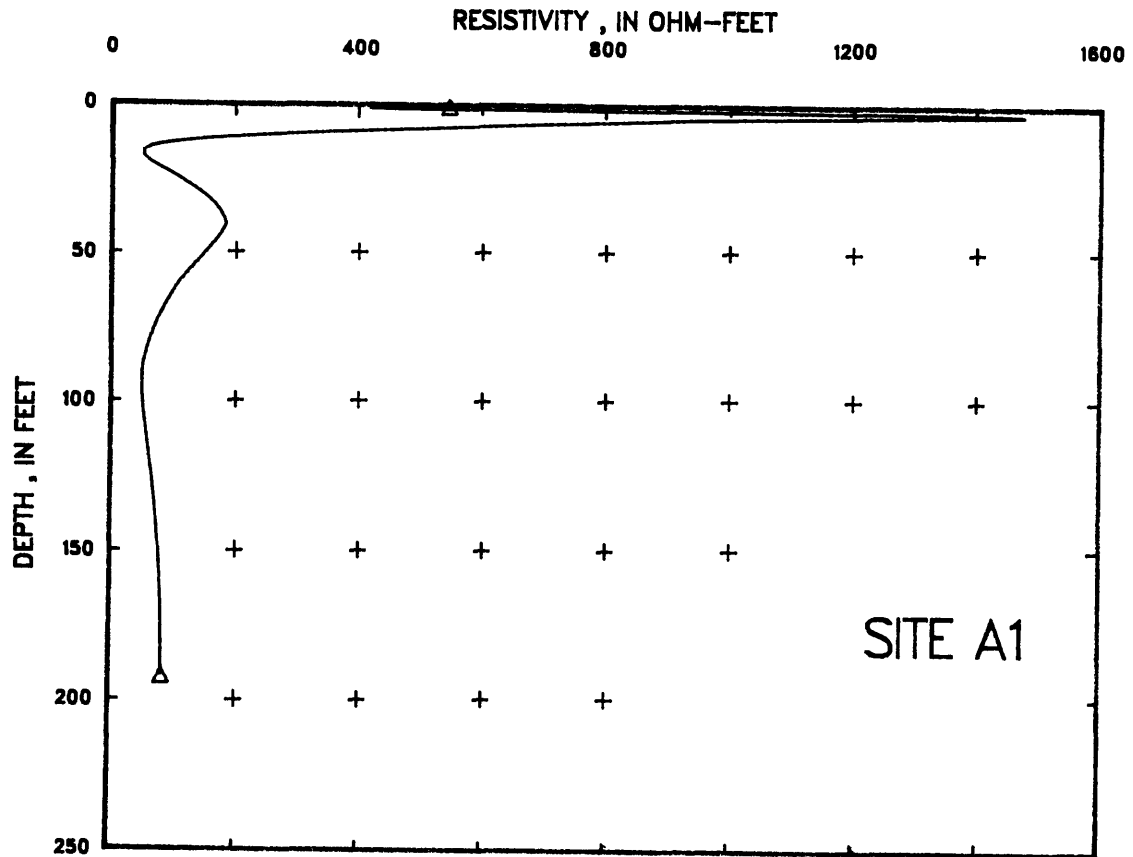
Zohdy, A.A.R., Eaton, G.P., and Mabey, D.R., 1974, Application of surface geophysics to ground-water investigations: U.S. Geological Survey Techniques of Water-Resources Investigations, Book 2, Chap. D1, 116 p.

Zohdy, A.A.R., Jackson, D.B., Mattick, R.E., and Peterson, D.L., 1969, Geophysical surveys for ground water at White Sands missile range, New Mexico: U.S. Geological Survey Open-File Report 79-841, 31 p.

DIRECT-CURRENT RESISTIVITY DATA

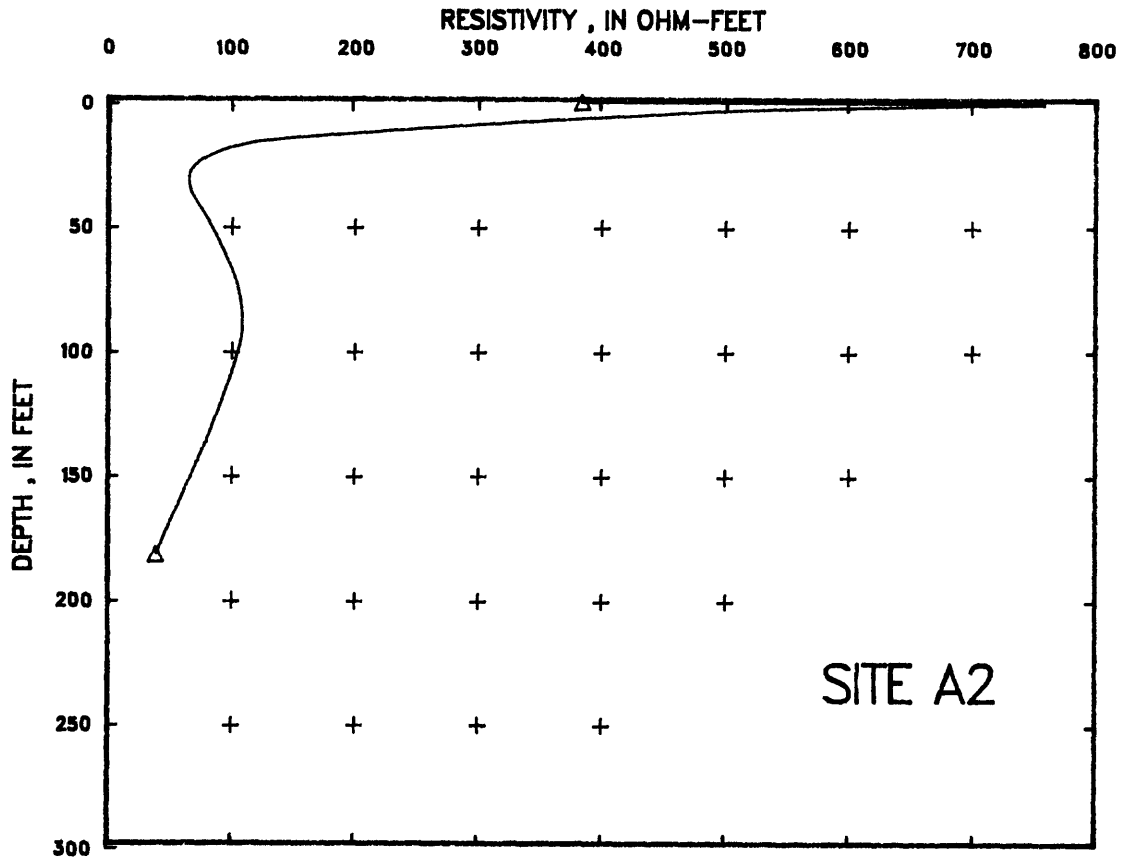
Field data, smoothed data, layer resistivity from smoothed data, and Cartesian graph of resistivity in relation to depth for site A1

Field data		Smoothed data		Layer resistivity from smoothed data		
A-spacing (feet)	Apparent resistivity (ohm-feet)	A-spacing (feet)	Apparent resistivity (ohm-feet)	Thickness (feet)	Depth (feet)	Resistivity (ohm-feet)
1.000	170.000	1.000	170.000	0.0700	0.0700	208.9751
2.000	323.000	2.000	323.000	0.0018	0.0718	.9859
3.000	377.000	3.000	377.000	0.0184	0.0902	295.6240
4.000	431.000	4.000	431.000	0.0029	0.0931	6,888.1123
5.000	408.000	5.000	480.000	0.0923	0.1854	65.0783
7.000	540.000	7.000	540.000	0.1464	0.3318	70.6634
10.000	511.000	10.000	511.000	0.1591	0.4910	259.1427
15.000	363.000	15.000	363.000	0.4018	0.8927	543.6021
20.000	287.000	20.000	287.000	0.5957	1.4884	438.3649
30.000	170.000	30.000	170.000	0.4900	1.9784	736.2800
40.000	118.000	40.000	130.000	0.4050	2.3834	1,142.8909
50.000	121.000	50.000	121.000	0.7976	3.1810	1,474.6413
70.000	107.000	70.000	107.000	1.8610	5.0420	946.1680
100.000	90.000	100.000	93.000	3.4621	8.5042	490.4869
150.000	67.000	150.000	70.000	2.7740	11.2782	203.2114
200.000	54.000	200.000	54.000	3.5260	14.8041	62.4638
300.000	38.000	300.000	38.000	4.6658	19.4899	59.1944
400.000	25.000	400.000	25.000	6.7731	26.2430	116.0023
				13.8574	40.1004	183.7030
				20.2075	60.3079	106.5829
				28.1030	88.4109	49.3841
				33.5543	121.9652	64.5696
				69.9580	191.9232	84.6543



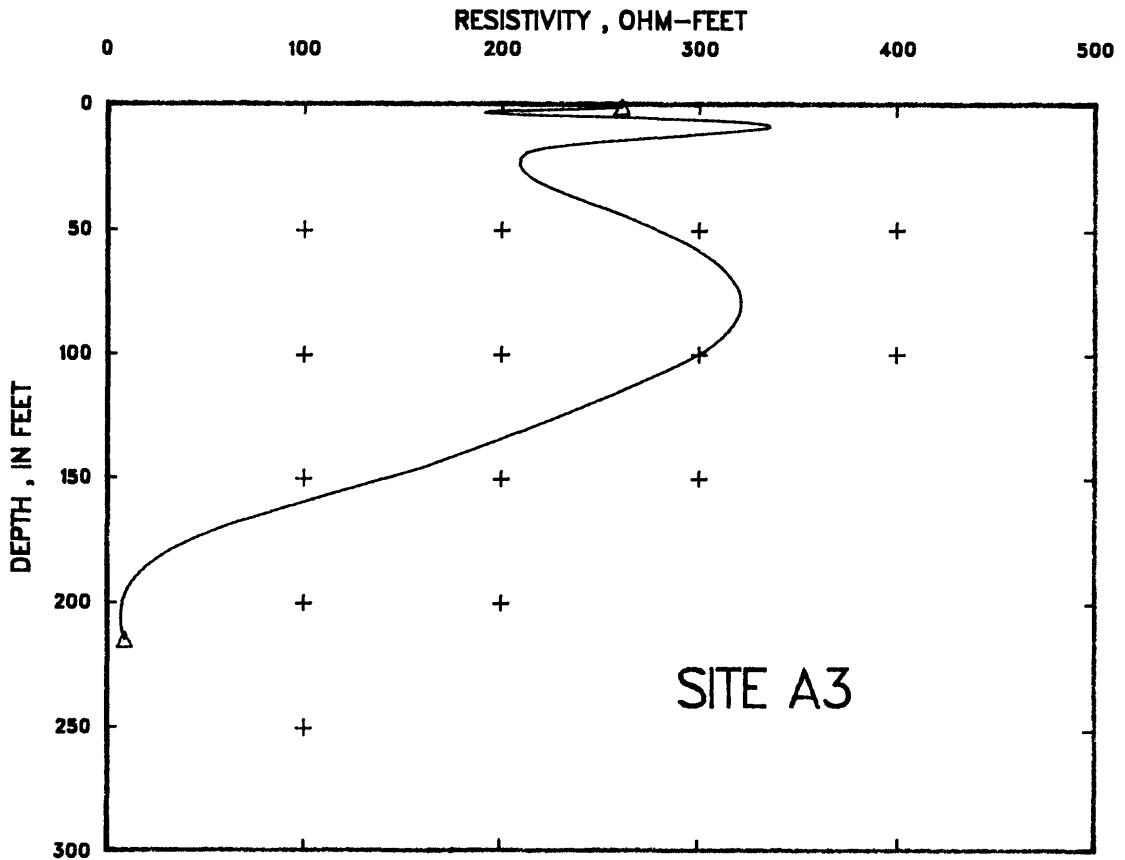
Field data, smoothed data, layer resistivity from smoothed data, and Cartesian graph of resistivity in relation to depth for site A2

Field data		Smoothed data		Layer resistivity from smoothed data		
A-spacing (feet)	Apparent resistivity (ohm-feet)	A-spacing (feet)	Apparent resistivity (ohm-feet)	Thickness (feet)	Depth (feet)	Resistivity (ohm-feet)
1.000	252.000	1.000	252.000	0.1000	0.1000	176.7573
2.000	359.000	2.000	380.000	0.0466	0.1468	177.0251
3.000	458.000	3.000	440.000	0.0667	0.2154	172.4848
4.000	467.000	4.000	467.000	0.1007	0.3181	165.7429
5.000	449.000	5.000	460.000	0.1479	0.4640	168.5416
7.000	484.000	7.000	440.000	0.2131	0.6772	216.1511
10.000	413.000	10.000	400.000	0.2663	0.9435	383.5479
15.000	283.000	15.000	283.000	0.6980	1.6415	750.2861
20.000	215.000	20.000	215.000	0.8916	2.5331	677.6395
30.000	135.000	30.000	135.000	0.9788	3.5119	574.1305
40.000	108.000	40.000	108.000	0.9988	4.5106	506.8592
50.000	94.000	50.000	94.000	1.9929	6.5035	434.4783
70.000	82.000	70.000	62.000	2.9206	9.4241	329.8665
100.000	81.000	100.000	81.000	4.4704	13.6945	198.4278
150.000	67.000	150.000	67.000	3.9462	17.8406	114.2011
200.000	54.000	200.000	54.000	7.5128	25.3534	73.0551
400.000	25.000	400.000	25.000	8.2932	33.6466	64.8517
				9.2578	42.9044	73.2179
				19.8505	62.7549	94.8122
				29.9996	92.7545	108.8123
				48.6871	141.4416	75.5279
				41.7749	183.2164	38.7218



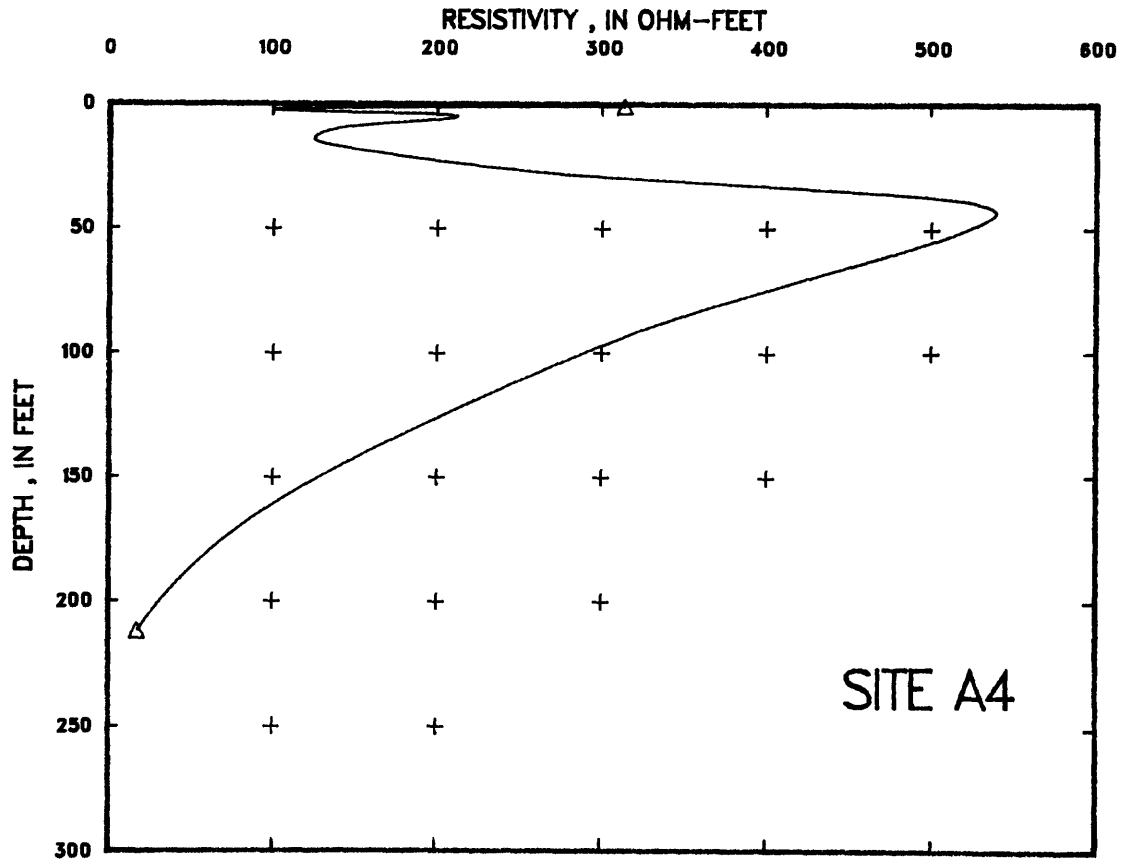
Field data, smoothed data, layer resistivity from smoothed data, and Cartesian graph of resistivity in relation to depth for site A3

Field data		Smoothed data		Layer resistivity from smoothed data		
A-spacing (feet)	Apparent resistivity (ohm-feet)	A-spacing (feet)	Apparent resistivity (ohm-feet)	Thickness (feet)	Depth (feet)	Resistivity (ohm-feet)
1.000	323.000	1.000	323.000	0.1000	0.1000	339.8077
2.000	467.000	2.000	300.000	0.0468	0.1468	339.8922
3.000	296.000	3.000	296.000	0.0687	0.2154	340.2757
4.000	279.000	4.000	279.000	0.1008	0.3162	340.3048
5.000	287.000	5.000	287.000	0.1479	0.4642	337.3911
7.000	282.000	7.000	282.000	0.2170	0.6812	325.8091
10.000	296.000	10.000	296.000	0.3183	0.9995	312.7889
15.000	310.000	15.000	310.000	0.9963	1.9958	280.1964
20.000	305.000	20.000	305.000	0.9856	2.9813	231.7681
30.000	296.000	30.000	296.000	0.9936	3.9749	239.1988
40.000	300.000	40.000	300.000	0.9971	4.9720	290.3317
50.000	305.000	50.000	305.000	1.9269	6.8989	374.5809
70.000	289.000	70.000	289.000	2.9069	9.8058	400.8031
100.000	260.000	100.000	260.000	4.9976	14.8034	311.2159
150.000	215.000	150.000	215.000	4.9407	19.7441	254.5783
200.000	144.000	200.000	144.000	9.9505	29.6946	257.9095
300.000	38.000	300.000	58.000	9.9976	39.6922	293.2930
400.000	19.000	400.000	19.000	9.9212	49.6134	331.3172
				19.5718	69.1851	378.7368
				29.8057	98.9909	363.6484
				47.1390	146.1298	191.8385
				28.6904	174.8202	52.7929
				40.2664	215.0866	11.1065



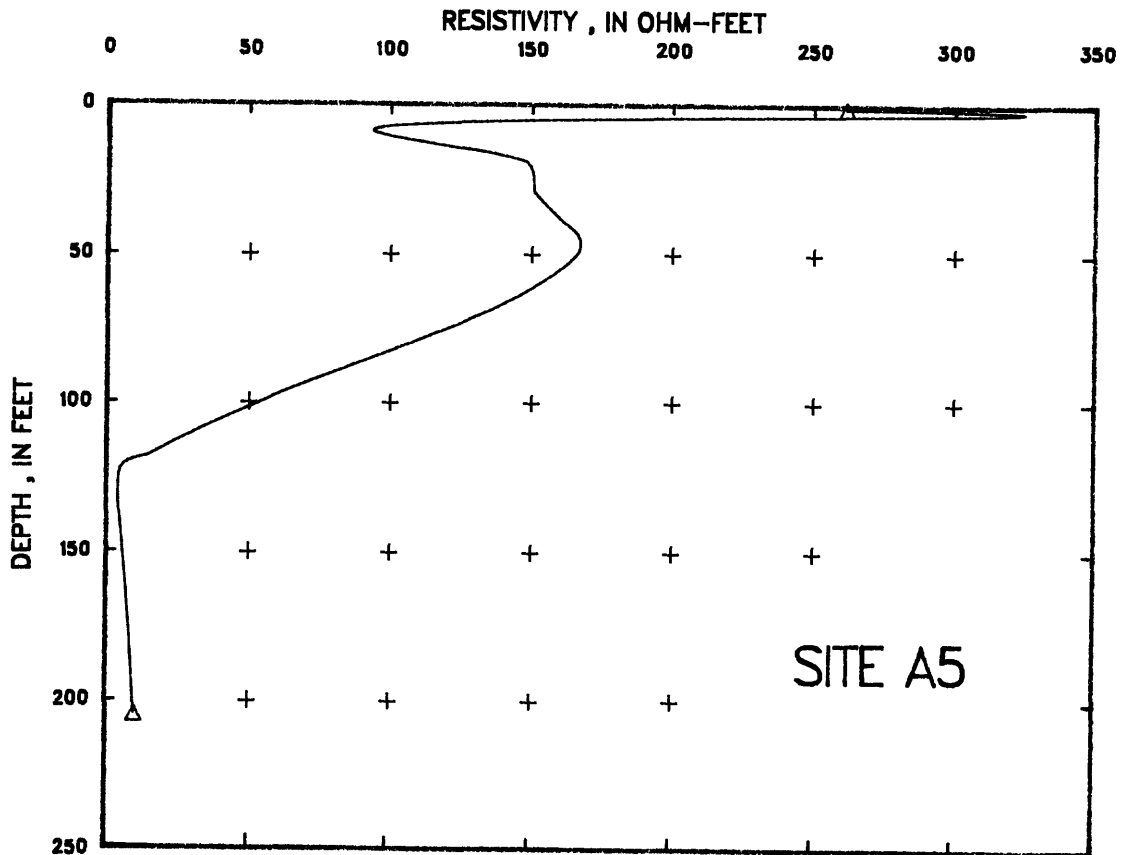
Field data, smoothed data, layer resistivity from smoothed data, and Cartesian graph of resistivity in relation to depth for site A4

Field data		Smoothed data		Layer resistivity from smoothed data		
A-spacing (feet)	Apparent resistivity (ohm-feet)	A-spacing (feet)	Apparent resistivity (ohm-feet)	Thickness (feet)	Depth (feet)	Resistivity (ohm-feet)
1.000	314.000	1.000	314.000	0.1000	0.1000	384.0123
2.000	215.000	2.000	215.000	0.0468	0.1468	381.9949
3.000	170.000	3.000	152.000	0.0687	0.2154	383.7130
4.000	169.000	4.000	158.000	0.1008	0.3162	390.0151
5.000	170.000	5.000	150.000	0.1479	0.4641	396.8999
7.000	170.000	7.000	170.000	0.2171	0.6812	382.2880
10.000	153.000	10.000	153.000	0.3158	0.9970	313.1638
15.000	161.000	15.000	161.000	0.8872	1.8842	147.8020
20.000	179.000	20.000	179.000	0.8743	2.7585	99.9216
30.000	191.000	30.000	191.000	0.9948	3.7533	150.3874
40.000	232.000	40.000	232.000	0.9798	4.7331	207.7840
50.000	267.000	50.000	267.000	1.9848	6.7179	200.6181
70.000	276.000	70.000	300.000	2.9678	9.6857	144.3250
100.000	283.000	100.000	283.000	4.9076	14.5934	124.6369
150.000	209.000	150.000	209.000	4.9942	19.5876	160.6876
200.000	154.000	200.000	154.000	8.9554	28.5430	274.8015
300.000	108.000	300.000	84.000	7.3699	35.9128	466.4301
400.000	28.000	400.000	28.000	7.4863	43.3991	539.3119
				17.6573	61.0564	472.3148
				29.9638	91.0202	323.5867
				46.2390	137.2591	165.8346
				36.2401	173.4992	73.3261
				38.5475	212.0467	17.6304



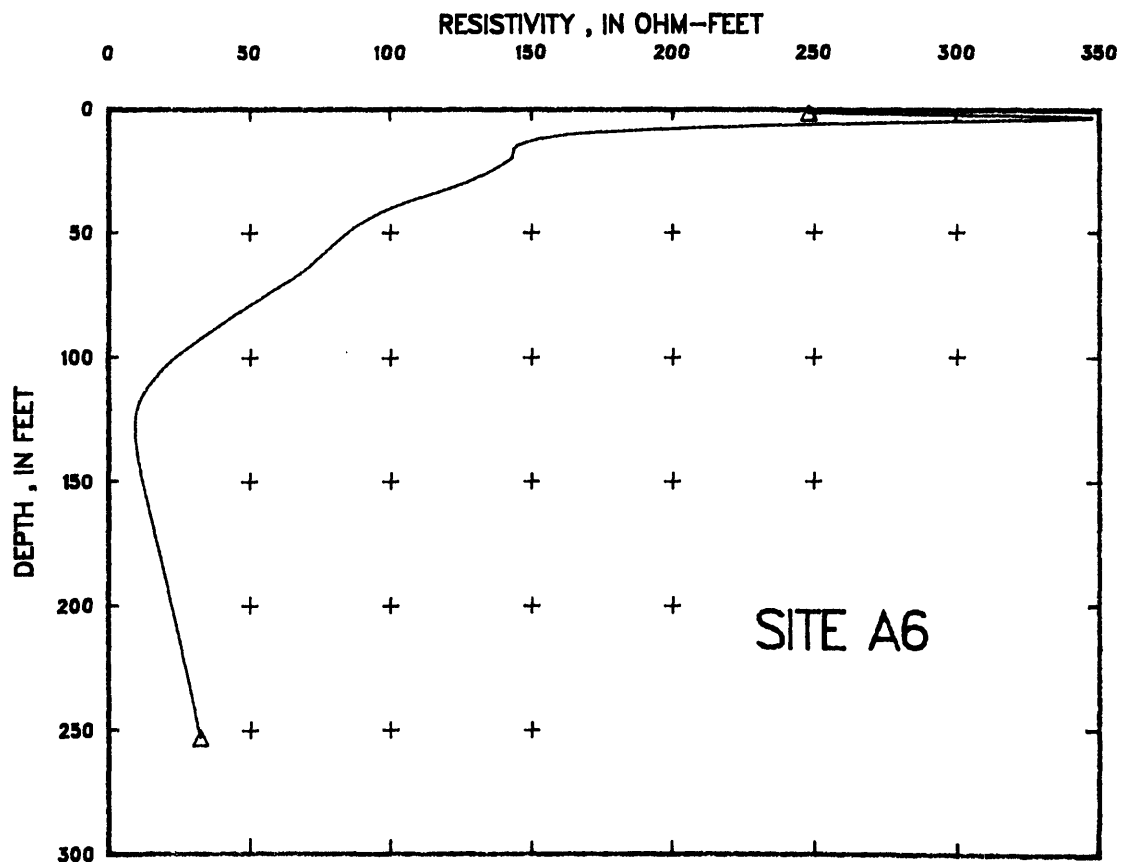
Field data, smoothed data, layer resistivity from smoothed data, and Cartesian graph of resistivity in relation to depth for site A5

Field data		Smoothed data		Layer resistivity from smoothed data		
A-spacing (feet)	Apparent resistivity (ohm-feet)	A-spacing (feet)	Apparent resistivity (ohm-feet)	Thickness (feet)	Depth (feet)	Resistivity (ohm-feet)
1.000	242.000	1.000	242.000	0.1000	0.1000	214.1403
2.000	269.000	2.000	269.000	0.0468	0.1468	214.1293
3.000	296.000	3.000	270.000	0.0687	0.2154	212.9045
4.000	237.000	4.000	250.000	0.1008	0.3162	211.1062
5.000	256.000	5.000	235.000	0.1479	0.4642	213.0119
7.000	195.000	7.000	195.000	0.2168	0.6810	227.2307
10.000	153.000	10.000	153.000	0.3151	0.9960	261.3140
15.000	134.000	15.000	134.000	0.9730	1.9691	320.6220
20.000	134.000	20.000	134.000	0.9941	2.9632	309.7833
30.000	137.000	30.000	137.000	0.9921	3.9553	235.3135
40.000	133.000	40.000	133.000	0.9455	4.9008	167.5813
50.000	130.000	50.000	130.000	1.7604	6.6612	112.4240
70.000	113.000	70.000	113.000	2.6826	9.3439	93.0699
100.000	90.000	100.000	90.000	4.9388	14.2827	120.4553
150.000	40.000	150.000	40.000	4.9964	19.2791	147.9216
200.000	25.000	200.000	25.000	9.9912	29.2703	150.6992
300.000	19.000	300.000	19.000	9.9626	39.2329	160.9532
400.000	17.000	400.000	17.000	9.9520	49.1849	166.6172
				19.9135	69.0984	135.2580
				26.1991	95.2975	65.6270
				23.1893	118.4868	14.4147
				12.5332	131.0200	3.7994
				73.9265	204.9464	9.8596



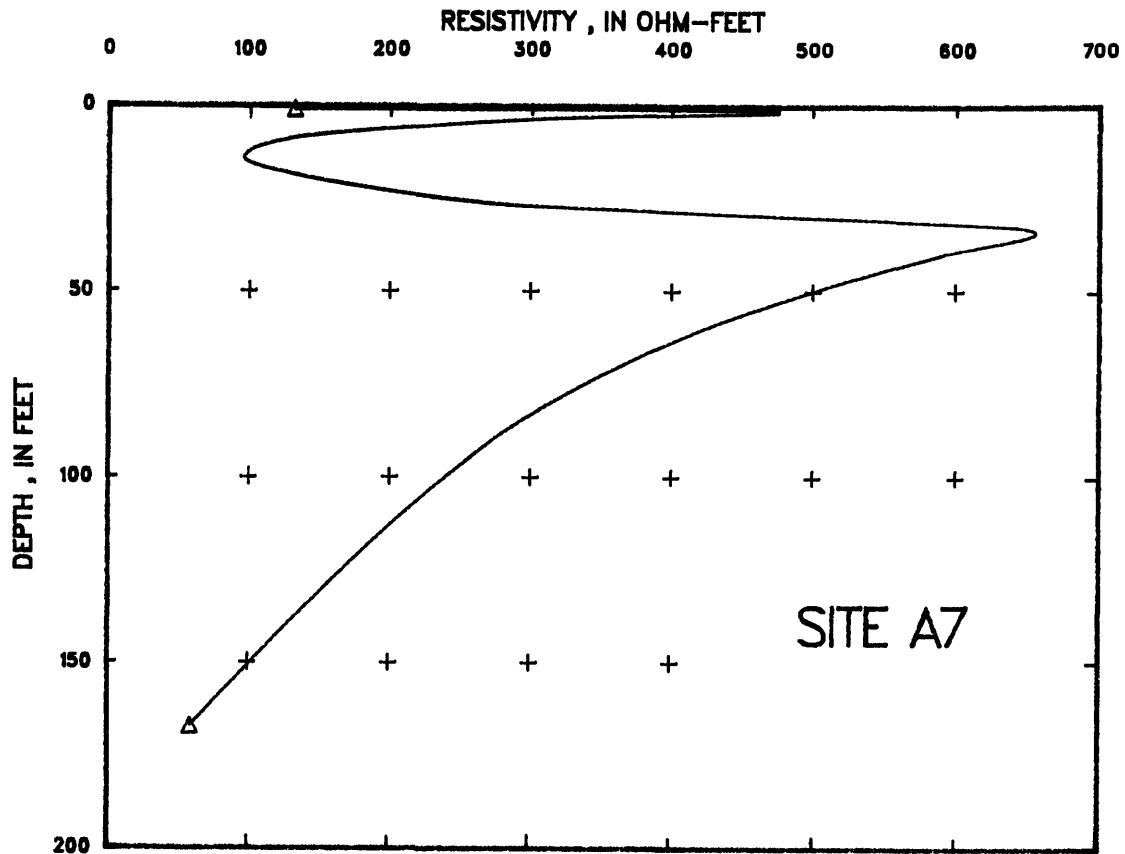
Field data, smoothed data, layer resistivity from smoothed data, and Cartesian graph of resistivity in relation to depth for site A6

Field data		Smoothed data		Layer resistivity from smoothed data		
A-spacing (feet)	Apparent resistivity (ohm-feet)	A-spacing (feet)	Apparent resistivity (ohm-feet)	Thickness (feet)	Depth (feet)	Resistivity (ohm-feet)
1.000	251.000	1.000	251.000	0.1000	0.1000	238.9382
2.000	269.000	2.000	269.000	0.0468	0.1468	239.4680
3.000	350.000	3.000	285.000	0.0687	0.2154	239.3249
4.000	266.000	4.000	280.000	0.1006	0.3181	237.7839
5.000	282.000	5.000	282.000	0.1479	0.4640	236.0716
7.000	264.000	7.000	264.000	0.2171	0.6811	236.7011
10.000	224.000	10.000	224.000	0.3185	0.9996	248.0783
15.000	202.000	15.000	190.000	0.9883	1.9880	299.0660
20.000	138.000	20.000	170.000	0.9782	2.9661	347.0154
30.000	118.000	30.000	135.000	0.9951	3.9813	327.2956
40.000	115.000	40.000	115.000	0.9985	4.9598	261.1625
50.000	94.000	50.000	94.000	1.9614	6.9212	219.9439
70.000	75.000	70.000	75.000	2.8483	9.7675	165.5317
100.000	54.000	100.000	54.000	4.7733	14.5408	144.5245
150.000	38.000	150.000	23.000	4.8810	19.4218	142.7813
200.000	28.000	200.000	28.000	9.7455	29.1673	127.2494
300.000	38.000	300.000	38.000	9.5422	38.7095	102.2840
400.000	19.000	400.000	19.000	9.4006	48.1101	86.4241
				18.3032	66.4133	67.3851
				23.4535	89.8667	35.2800
				26.0191	115.8858	11.3528
				37.0991	152.9848	12.7764
				99.8593	252.8441	32.7302



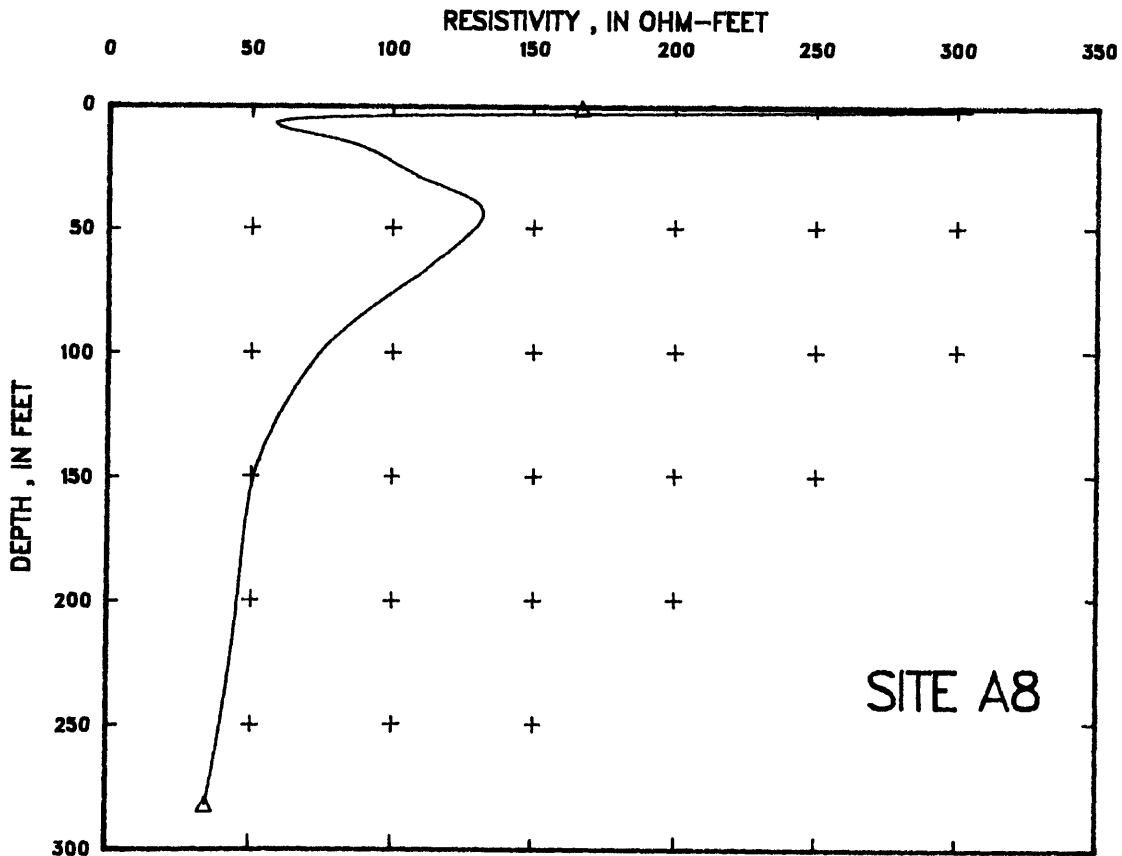
Field data, smoothed data, layer resistivity from smoothed data, and Cartesian graph of resistivity in relation to depth for site A7

Field data		Smoothed data		Layer resistivity from smoothed data		
A-spacing (feet)	Apparent resistivity (ohm-feet)	A-spacing (feet)	Apparent resistivity (ohm-feet)	Thickness (feet)	Depth (feet)	Resistivity (ohm-feet)
1.000	99.000	1.000	99.000	0.1000	0.1000	71.2549
2.000	167.000	2.000	167.000	0.0463	0.1463	84.5553
3.000	210.000	3.000	210.000	0.0681	0.2144	81.6598
4.000	237.000	4.000	237.000	0.1008	0.3151	65.7660
5.000	242.000	5.000	242.000	0.1478	0.4629	68.7582
7.000	239.000	7.000	239.000	0.2161	0.6790	77.6005
10.000	215.000	10.000	215.000	0.2809	0.9598	132.1365
15.000	188.000	15.000	188.000	0.4638	1.4437	475.3430
20.000	179.000	20.000	179.000	0.6794	2.1231	474.9409
30.000	196.000	30.000	196.000	0.8974	3.0205	365.9370
40.000	230.000	40.000	230.000	0.9838	4.0043	296.0476
50.000	251.000	50.000	251.000	1.9884	5.9927	213.7002
70.000	289.000	70.000	289.000	2.7960	8.7887	134.2161
100.000	251.000	100.000	251.000	4.5130	13.3017	97.4183
150.000	188.000	150.000	188.000	4.9517	18.2534	126.7412
200.000	161.000	200.000	145.000	8.6127	26.8661	289.8779
300.000	63.000	300.000	63.000	5.8175	32.6837	642.1005
400.000	58.000			7.1623	39.8459	591.1057
				18.4243	58.2703	434.5795
				29.9251	88.1953	279.1348
				45.0583	133.2536	144.2239
				33.7831	167.0367	59.1687



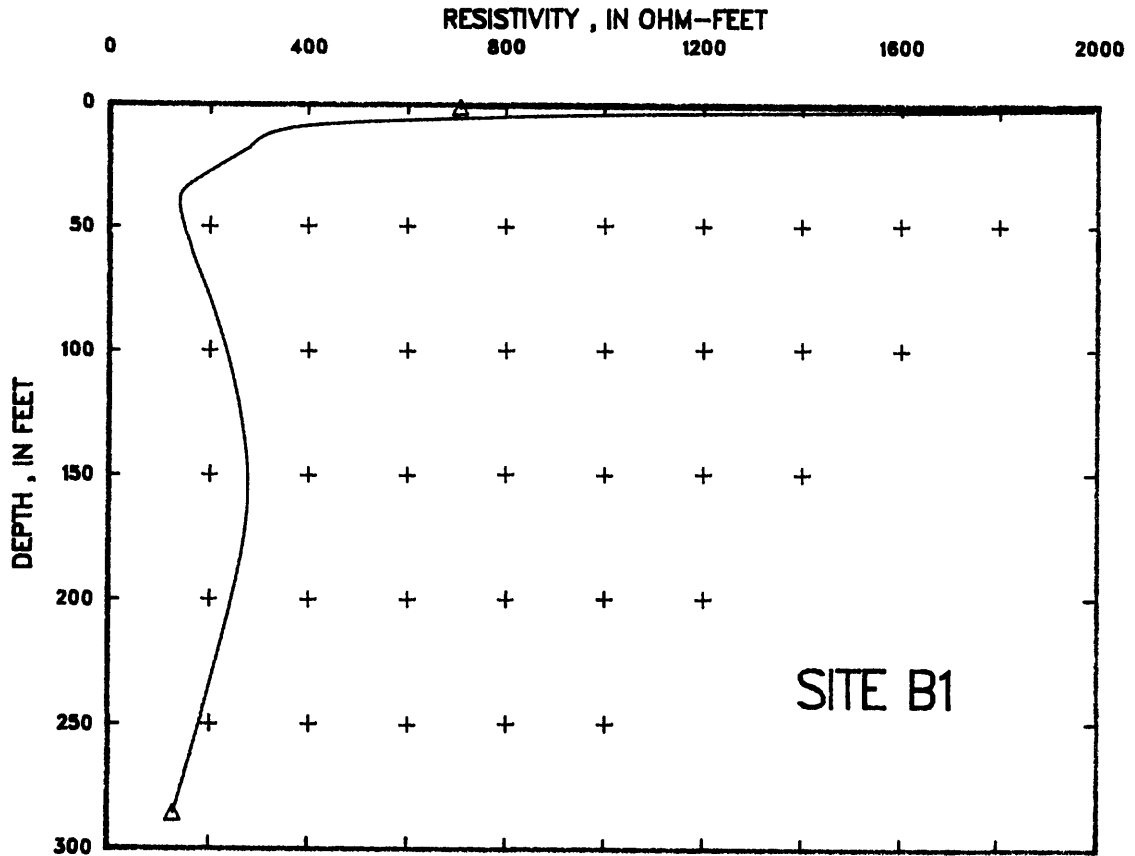
Field data, smoothed data, layer resistivity from smoothed data, and Cartesian graph of resistivity in relation to depth for site A8

Field data		Smoothed data		Layer resistivity from smoothed data		
A-spacing (feet)	Apparent resistivity (ohm-feet)	A-spacing (feet)	Apparent resistivity (ohm-feet)	Thickness (feet)	Depth (feet)	Resistivity (ohm-feet)
1.000	144.000	1.000	144.000	0.1000	0.1000	123.4604
2.000	179.000	2.000	179.000	0.0468	0.1468	124.7304
3.000	199.000	3.000	199.000	0.0687	0.2154	124.2473
4.000	176.000	4.000	176.000	0.1008	0.3162	121.2582
5.000	139.000	5.000	155.000	0.1478	0.4640	117.3900
7.000	126.000	7.000	126.000	0.2171	0.6811	124.3159
10.000	108.000	10.000	108.000	0.3084	0.9695	166.8438
15.000	92.000	15.000	92.000	0.8473	1.8368	302.9601
20.000	90.000	20.000	90.000	0.9749	2.8117	258.0538
30.000	92.000	30.000	92.000	0.9724	3.7841	151.2298
40.000	100.000	40.000	100.000	0.8810	4.6651	94.0783
50.000	94.000	50.000	102.000	1.6334	6.2985	62.6928
70.000	100.000	70.000	100.000	2.6837	8.9821	60.2425
100.000	90.000	100.000	90.000	4.9503	13.9325	79.8214
150.000	81.000	150.000	72.000	4.9998	18.9323	93.2912
200.000	54.000	200.000	54.000	9.9140	28.8463	108.7664
300.000	38.000	300.000	38.000	9.7148	38.5612	129.0216
400.000	19.000	400.000	19.000	9.8133	48.3744	129.9976
500.000	24.000			20.0000	68.3744	109.2847
				28.1710	97.5453	76.1002
				46.2862	143.8315	52.3530
				46.9077	190.7392	46.0584
				91.1483	281.6875	34.4975



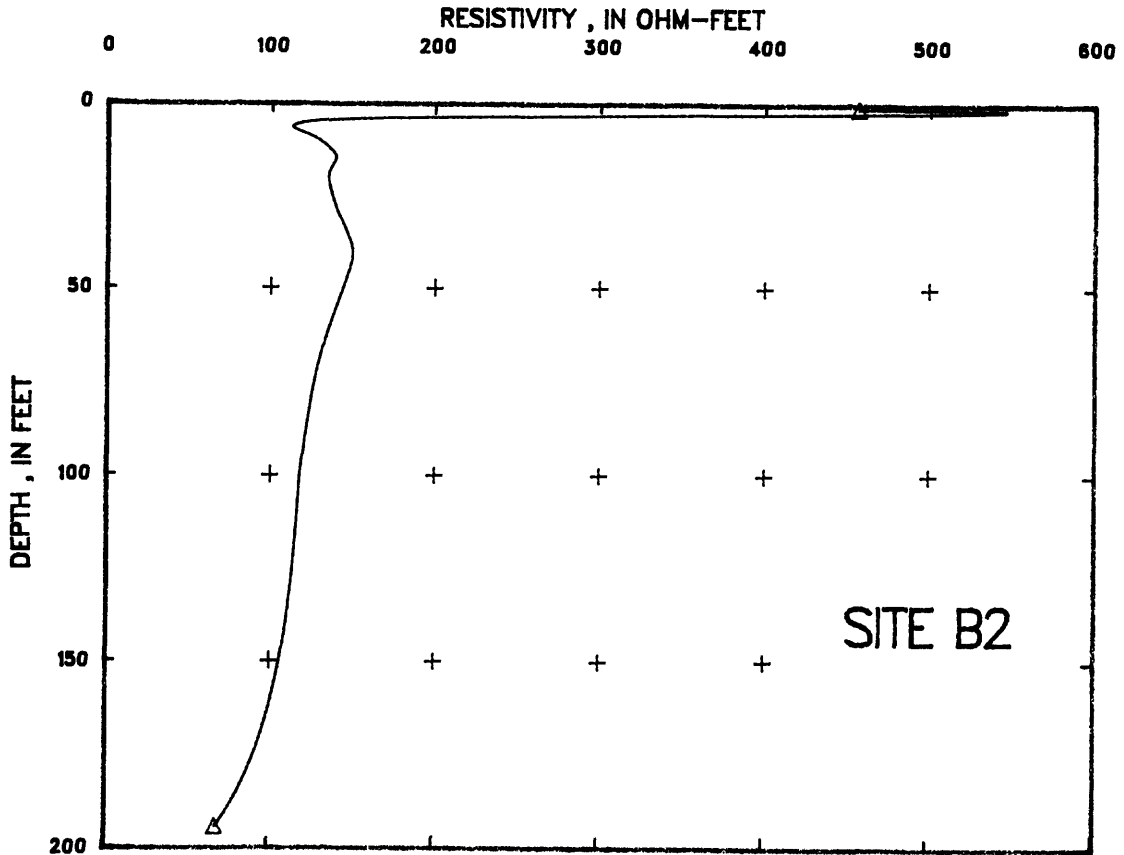
Field data, smoothed data, layer resistivity from smoothed data, and Cartesian graph of resistivity in relation to depth for site B1

Field data		Smoothed data		Layer resistivity from smoothed data		
A-spacing (feet)	Apparent resistivity (ohm-feet)	A-spacing (feet)	Apparent resistivity (ohm-feet)	Thickness (feet)	Depth (feet)	Resistivity (ohm-feet)
1.000	520.000	1.000	520.000	0.1000	0.1000	390.1417
2.000	800.000	2.000	800.000	0.0468	0.1468	394.1945
3.000	942.000	3.000	942.000	0.0687	0.2154	384.5778
4.000	1,040.000	4.000	1,040.000	0.1007	0.3161	368.2693
5.000	1,032.000	5.000	1,032.000	0.1478	0.4639	359.9854
7.000	816.000	7.000	816.000	0.2161	0.6800	421.7304
10.000	650.000	10.000	650.000	0.2827	0.9627	707.5009
15.000	500.000	15.000	500.000	0.6056	1.5683	1,909.6057
20.000	377.000	20.000	377.000	0.8013	2.3696	1,849.3137
30.000	253.000	30.000	253.000	0.9704	3.3401	1,373.5964
40.000	215.000	40.000	215.000	0.9967	4.3367	1,003.7092
50.000	202.000	50.000	202.000	1.8909	6.2277	650.9578
70.000	195.000	70.000	195.000	2.5838	8.8115	398.4907
100.000	188.000	100.000	188.000	4.3449	13.1564	307.4382
150.000	188.000	150.000	188.000	4.5595	17.7159	280.2298
200.000	200.000	200.000	200.000	8.8745	26.5904	207.1359
300.000	157.000	300.000	157.000	8.5308	35.1212	147.1078
400.000	112.000	400.000	112.000	9.0432	44.1645	143.5530
				19.5364	63.7008	173.1046
				29.9801	93.6809	227.7180
				49.1179	142.7988	278.3495
				49.9232	192.7220	254.1601
				92.8635	285.5855	131.5877



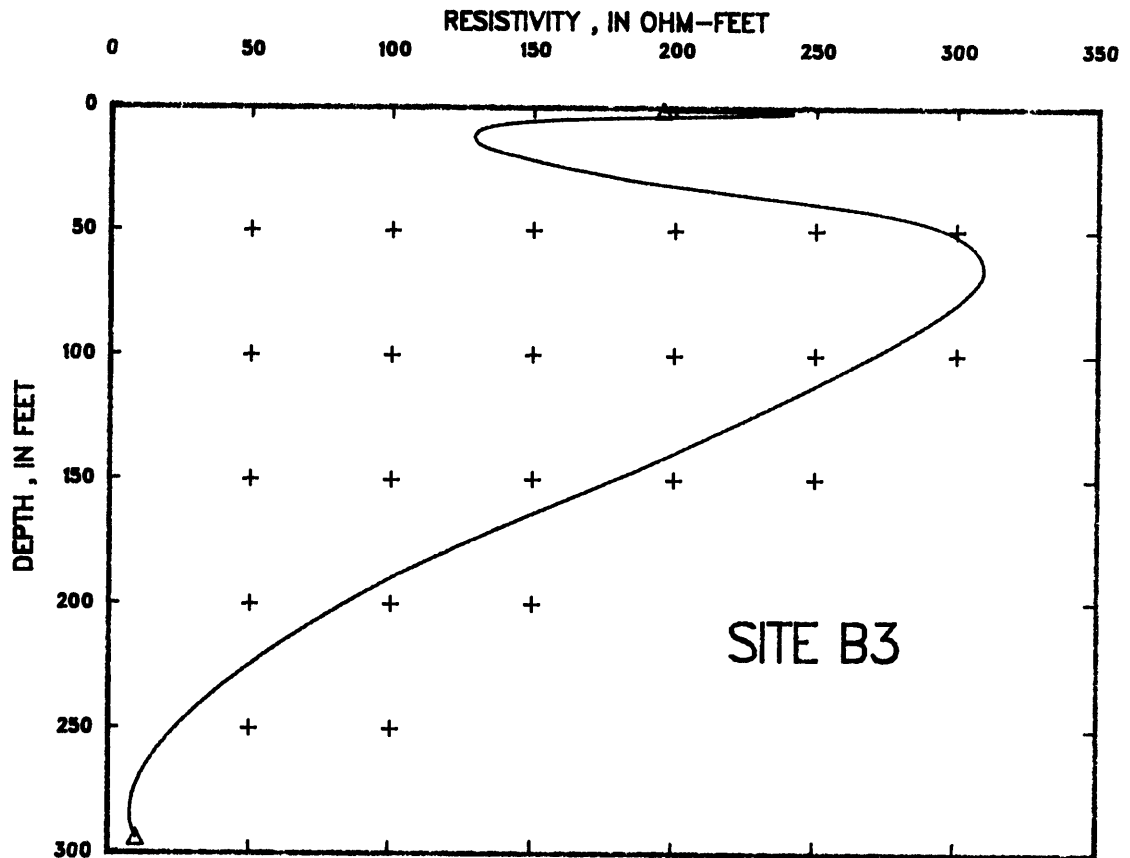
Field data, smoothed data, layer resistivity from smoothed data, and Cartesian graph of resistivity in relation to depth for site B2

Field data		Smoothed data		Layer resistivity from smoothed data		
A-spacing (feet)	Apparent resistivity (ohm-feet)	A-spacing (feet)	Apparent resistivity (ohm-feet)	Thickness (feet)	Depth (feet)	Resistivity (ohm-feet)
1.000	377.000	1.000	377.000	0.1000	0.1000	377.5301
2.000	502.000	2.000	502.000	0.0468	0.1468	377.9841
3.000	404.000	3.000	404.000	0.0687	0.2154	375.2421
4.000	283.000	4.000	290.000	0.1008	0.3162	370.0990
5.000	247.000	5.000	260.000	0.1479	0.4641	369.6310
7.000	226.000	7.000	220.000	0.2170	0.6811	390.3482
10.000	188.000	10.000	188.000	0.3149	0.9960	456.9243
15.000	161.000	15.000	181.000	0.9817	1.9777	526.9896
20.000	154.000	20.000	154.000	0.9819	2.9597	340.8227
30.000	148.000	30.000	148.000	0.8804	3.8401	194.3040
40.000	158.000	40.000	158.000	0.8147	4.6548	133.0285
50.000	157.000	50.000	157.000	1.6809	6.3357	112.4662
70.000	132.000	70.000	132.000	2.8343	9.1700	126.5591
100.000	126.000	100.000	126.000	4.9309	14.1008	139.4195
150.000	134.000	150.000	134.000	4.9507	19.0515	134.4713
200.000	108.000	200.000	108.000	9.9649	29.0165	140.2831
300.000	38.000	300.000	38.000	9.9996	39.0160	149.4389
400.000	50.000			9.9934	49.0094	144.2360
				19.8751	68.8844	129.1545
				29.7567	98.6412	117.8654
				49.4247	148.0658	106.3306
				45.9992	194.0651	67.4772



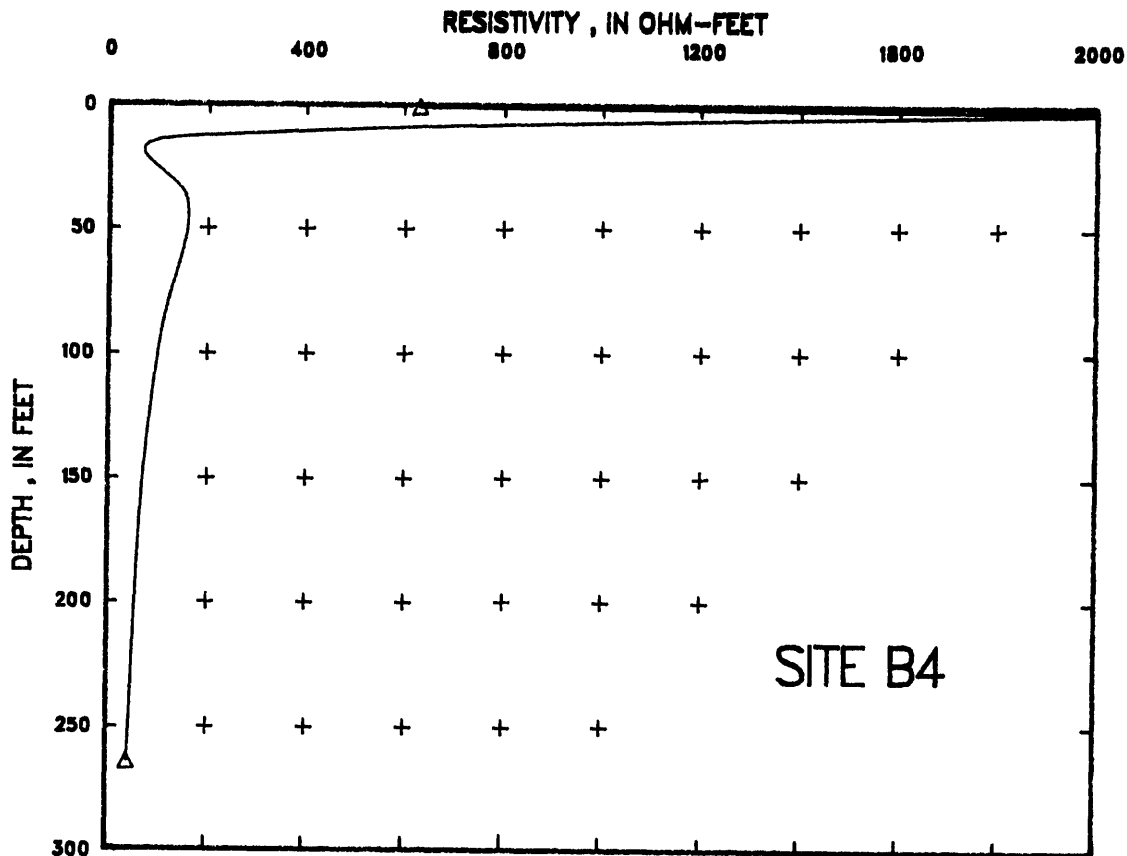
Field data, smoothed data, layer resistivity from smoothed data, and Cartesian graph of resistivity in relation to depth for site B3

Field data		Smoothed data		Layer resistivity from smoothed data		
A-spacing (feet)	Apparent resistivity (ohm-feet)	A-spacing (feet)	Apparent resistivity (ohm-feet)	Thickness (feet)	Depth (feet)	Resistivity (ohm-feet)
1.000	170.000	1.000	170.000	0.1000	0.1000	170.2132
2.000	215.000	2.000	215.000	0.0468	0.1468	170.0339
3.000	215.000	3.000	215.000	0.0687	0.2154	169.0806
4.000	205.000	4.000	205.000	0.1008	0.3162	167.3910
5.000	184.000	5.000	184.000	0.1479	0.4641	167.1378
7.000	176.000	7.000	176.000	0.2171	0.6812	173.6888
10.000	170.000	10.000	170.000	0.3166	0.9978	195.7722
15.000	148.000	15.000	148.000	0.9774	1.9752	240.6042
20.000	147.000	20.000	147.000	0.9969	2.9721	227.4449
30.000	158.000	30.000	158.000	0.9945	3.9666	186.6833
40.000	179.000	40.000	179.000	0.9840	4.9506	159.5371
50.000	193.000	50.000	193.000	1.9514	6.9020	139.9155
70.000	220.000	70.000	220.000	2.9387	9.8407	129.9192
100.000	251.000	100.000	251.000	4.9550	14.7957	130.3513
150.000	215.000	150.000	215.000	4.9975	19.7932	143.9904
200.000	179.000	200.000	179.000	9.8374	29.6306	185.1607
300.000	75.000	300.000	95.000	9.3032	38.9338	248.1419
400.000	39.000	400.000	39.000	9.0696	48.0034	292.1651
500.000	21.000	500.000	21.000	18.5498	66.5532	309.1816
				29.4824	96.0357	276.4694
				49.4661	145.5018	187.8364
				43.7185	189.2183	100.2464
				54.6034	243.8217	28.9646
				49.6404	293.4621	10.2269



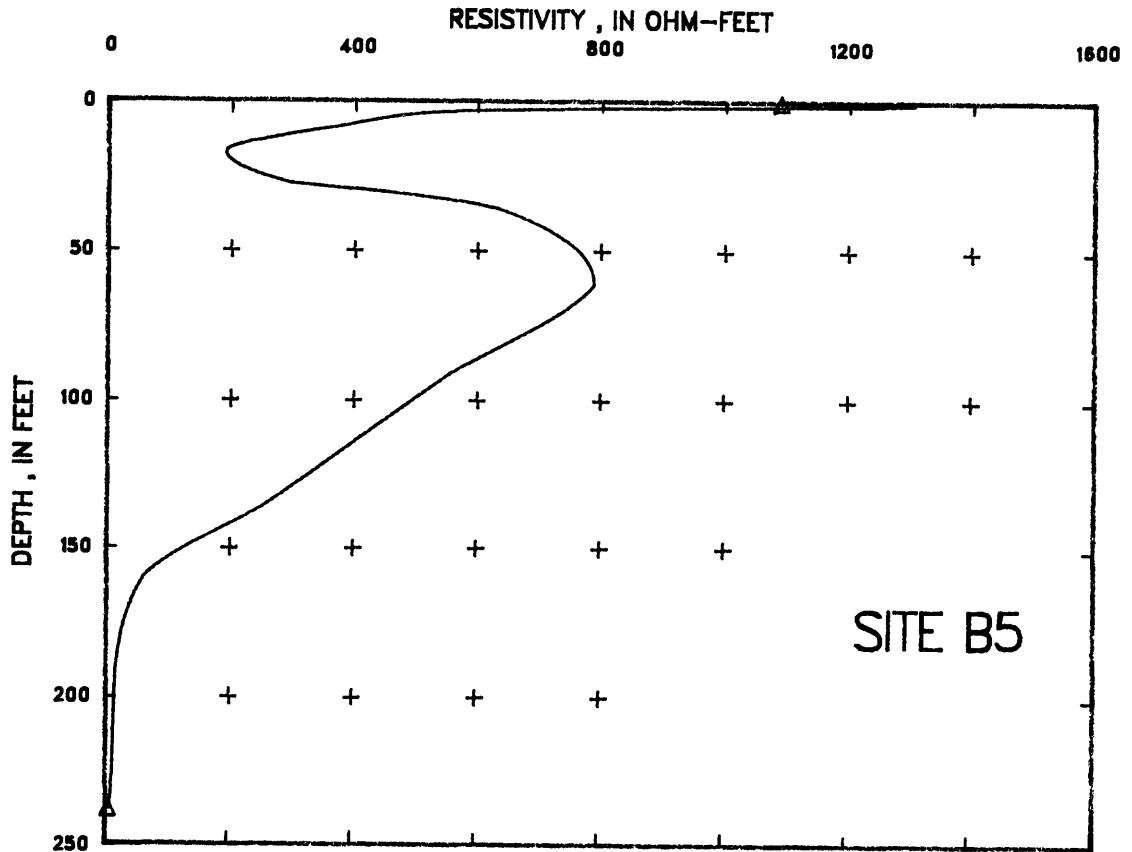
Field data, smoothed data, layer resistivity from smoothed data, and Cartesian graph of resistivity in relation to depth for site B4

Field data		Smoothed data		Layer resistivity from smoothed data		
A-spacing (feet)	Apparent resistivity (ohm-feet)	A-spacing (feet)	Apparent resistivity (ohm-feet)	Thickness (feet)	Depth (feet)	Resistivity (ohm-feet)
1.000	601.000	1.000	601.000	0.1000	0.1000	490.7656
2.000	825.000	2.000	825.000	0.0468	0.1468	494.0726
3.000	969.000	3.000	969.000	0.0686	0.2154	490.6165
4.000	1,148.000	4.000	1,148.000	0.1008	0.3162	480.2267
5.000	1,121.000	5.000	1,200.000	0.1479	0.4640	468.3546
7.000	1,130.000	7.000	1,130.000	0.2171	0.6811	491.1500
10.000	897.000	10.000	897.000	0.3115	0.9927	627.8102
15.000	606.000	15.000	606.000	0.8388	1.8315	1,210.8495
20.000	395.000	20.000	395.000	0.7465	2.5780	1,995.7998
30.000	207.000	30.000	207.000	0.8438	3.4218	1,999.5625
40.000	151.000	40.000	151.000	0.9458	4.3676	1,716.6094
50.000	135.000	50.000	135.000	1.9997	6.3673	1,240.8800
70.000	126.000	70.000	126.000	2.7699	9.1372	678.9043
100.000	117.000	100.000	110.000	3.4722	12.6094	259.7463
150.000	81.000	150.000	88.000	2.4342	15.0438	97.7326
200.000	72.000	200.000	72.000	5.8032	20.8469	70.8231
300.000	54.000	300.000	54.000	9.0008	29.8478	118.8571
400.000	42.000	400.000	42.000	9.8867	39.5343	158.8665
				19.7594	59.2936	149.0277
				28.5916	87.8852	109.6706
				45.7455	133.6307	77.7675
				44.9835	178.6142	60.3610
				86.2188	264.8329	42.1674



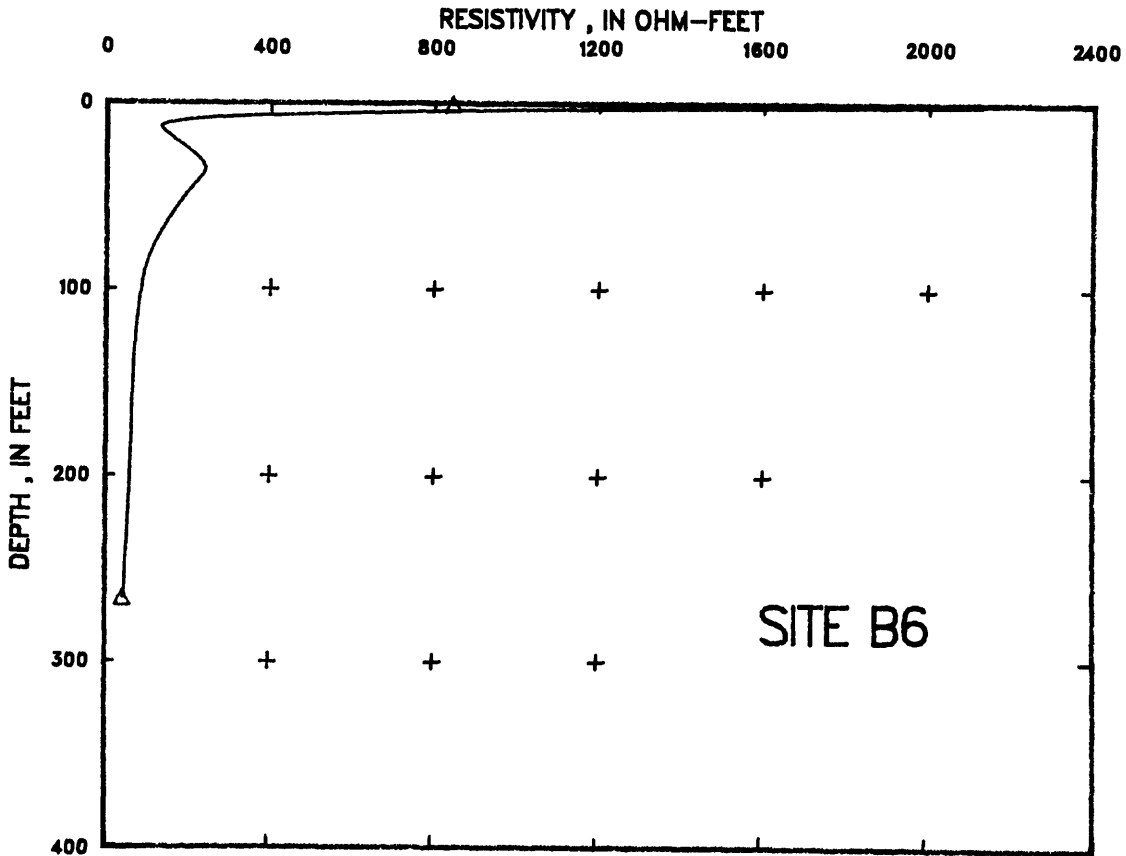
Field data, smoothed data, layer resistivity from smoothed data, and Cartesian graph of resistivity in relation to depth for site B5

Field data		Smoothed data		Layer resistivity from smoothed data		
A-spacing (feet)	Apparent resistivity (ohm-feet)	A-spacing (feet)	Apparent resistivity (ohm-feet)	Thickness (feet)	Depth (feet)	Resistivity (ohm-feet)
1.000	565.000	1.000	565.000	0.1000	0.1000	396.2671
2.000	754.000	2.000	754.000	0.0468	0.1466	402.1328
3.000	753.000	3.000	753.000	0.0687	0.2154	392.7539
4.000	718.000	4.000	718.000	0.1007	0.3161	374.8946
5.000	673.000	5.000	673.000	0.1479	0.4641	384.8704
7.000	521.000	7.000	560.000	0.2083	0.6724	550.0807
10.000	467.000	10.000	467.000	0.2403	0.9127	1,091.4932
15.000	417.000	15.000	390.000	0.8465	1.7592	1,255.4126
20.000	395.000	20.000	360.000	0.9999	2.7591	823.3524
30.000	377.000	30.000	350.000	0.9812	3.7404	611.0632
40.000	359.000	40.000	370.000	0.9626	4.7029	509.7717
50.000	408.000	50.000	400.000	1.9121	6.6150	442.8605
70.000	421.000	70.000	421.000	2.8437	9.4586	369.6483
100.000	413.000	100.000	413.000	4.4752	13.9338	246.5471
150.000	336.000	150.000	336.000	4.4231	18.3569	190.9407
200.000	234.000	200.000	250.000	9.9689	28.3258	297.3998
300.000	113.000	300.000	113.000	8.4264	36.7522	633.0996
400.000	50.000	400.000	50.000	7.6274	44.3796	868.3157
500.000	52.000	500.000	52.000	17.5818	61.9614	789.2161
				29.9082	91.8667	555.4056
				45.0840	136.9537	252.4973
				24.1114	161.0651	59.7824
				38.2756	199.3407	14.3852
				39.1328	238.4734	6.0358



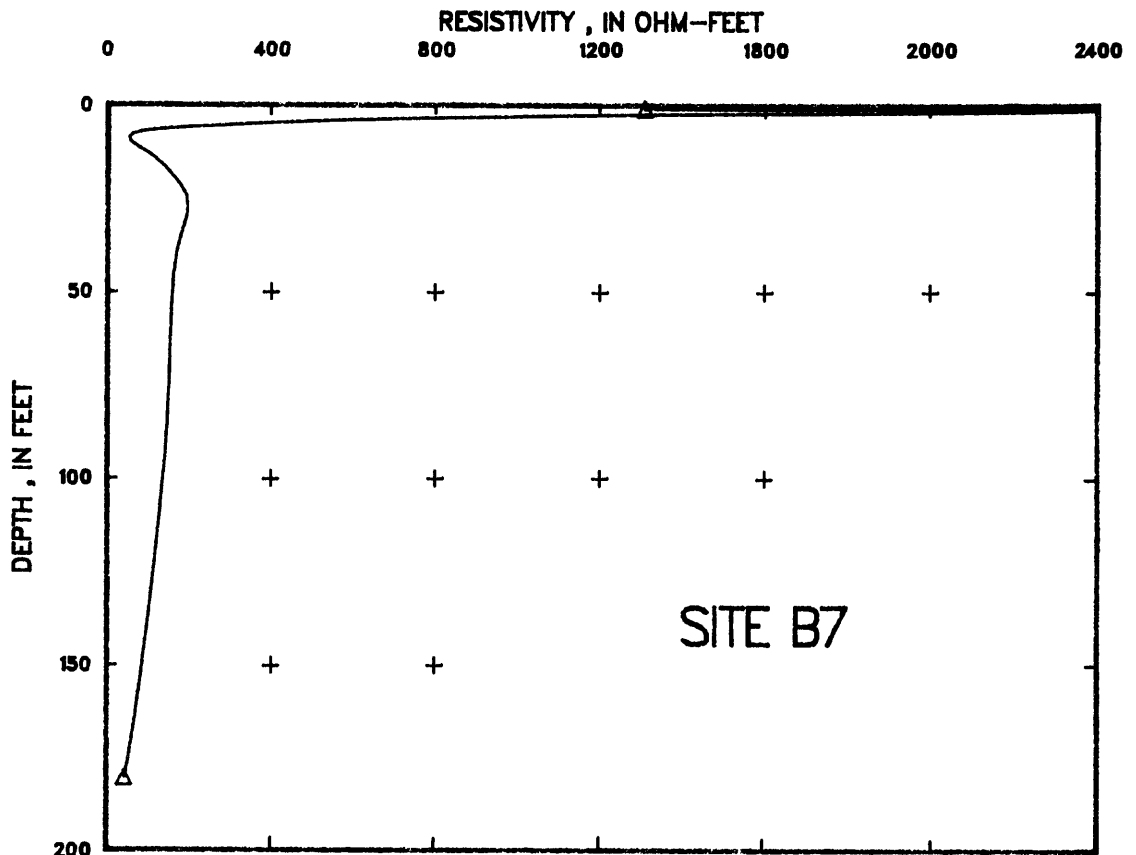
Field data, smoothed data, layer resistivity from smoothed data, and Cartesian graph of resistivity in relation to depth for site B6

Field data		Smoothed data		Layer resistivity from smoothed data		
A-spacing (feet)	Apparent resistivity (ohm-feet)	A-spacing (feet)	Apparent resistivity (ohm-feet)	Thickness (feet)	Depth (feet)	Resistivity (ohm-feet)
1.000	556.000	1.000	556.000	0.1000	0.1000	375.9920
2.000	679.000	2.000	879.000	0.0468	0.1468	377.1699
3.000	688.000	3.000	1,000.000	0.0687	0.2154	367.0041
4.000	1,077.000	4.000	1,077.000	0.1007	0.3161	350.2133
5.000	887.000	5.000	1,000.000	0.1479	0.4640	352.0547
7.000	879.000	7.000	840.000	0.2135	0.6774	452.0366
10.000	601.000	10.000	601.000	0.2608	0.9381	843.6423
15.000	377.000	15.000	377.000	0.5807	1.5187	2,108.9277
20.000	287.000	20.000	287.000	0.6322	2.3510	1,806.9311
30.000	194.000	30.000	194.000	0.9811	3.3321	1,341.9014
40.000	190.000	40.000	190.000	0.9914	4.3235	962.7063
50.000	188.000	50.000	188.000	1.8389	6.1624	584.3569
70.000	157.000	70.000	157.000	2.2723	8.4347	281.4032
100.000	126.000	100.000	126.000	3.3327	11.7674	146.3004
150.000	94.000	150.000	94.000	3.9752	15.7426	139.3991
200.000	72.000	200.000	72.000	9.6608	25.4234	200.2212
300.000	53.000	300.000	53.000	9.9821	35.4055	241.0739
400.000	41.000	400.000	41.000	9.9000	45.3055	208.2147
				18.8907	64.1962	146.8542
				26.1477	90.3439	93.0223
				43.2188	133.5627	68.9063
				45.2310	178.7937	61.7461
				67.5155	266.3091	44.5394



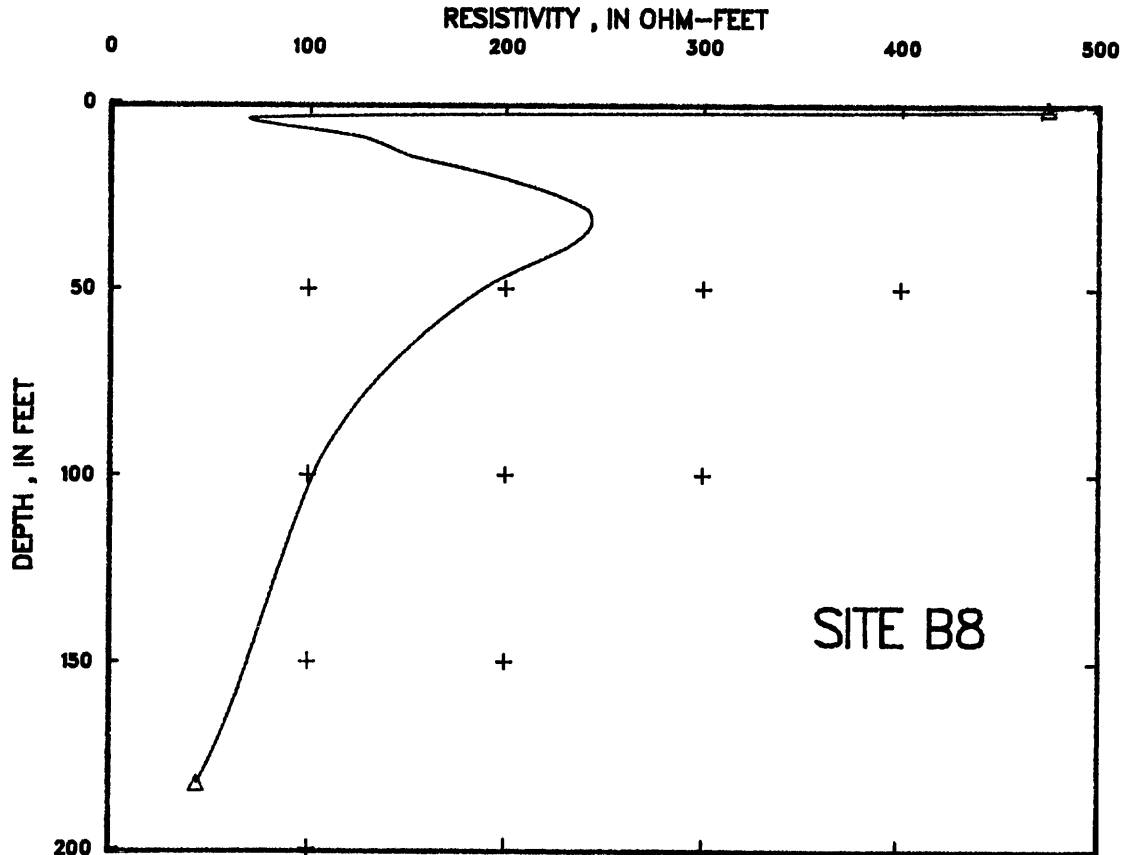
Field data, smoothed data, layer resistivity from smoothed data, and Cartesian graph of resistivity in relation to depth for site B7

Field data		Smoothed data		Layer resistivity from smoothed data		
A-spacing (feet)	Apparent resistivity (ohm-feet)	A-spacing (feet)	Apparent resistivity (ohm-feet)	Thickness (feet)	Depth (feet)	Resistivity (ohm-feet)
1.000	547.000	1.000	547.000	0.1000	0.1000	327.0278
2.000	848.000	2.000	848.000	0.0488	0.1468	323.6177
3.000	915.000	3.000	915.000	0.0886	0.2154	309.8148
4.000	861.000	4.000	861.000	0.1006	0.3160	295.4133
5.000	718.000	5.000	718.000	0.1479	0.4639	321.9943
7.000	559.000	7.000	559.000	0.2010	0.6649	508.3974
10.000	305.000	10.000	305.000	0.1899	0.8548	1,307.5784
15.000	256.000	15.000	200.000	0.5433	1.3981	2,369.8306
20.000	158.000	20.000	164.000	0.9364	2.3346	1,392.5522
30.000	156.000	30.000	150.000	0.9928	3.3273	883.1127
40.000	152.000	40.000	152.000	0.9204	4.2477	548.5533
50.000	152.000	50.000	152.000	1.4788	5.7266	259.5231
70.000	163.000	70.000	145.000	1.4274	7.1539	83.7840
100.000	126.000	100.000	126.000	2.7615	9.9155	58.2247
150.000	121.000	150.000	100.000	4.7330	14.6485	121.2892
200.000	63.000	200.000	70.000	9.9562	24.6047	195.2220
300.000	38.000	300.000	38.000	9.9999	34.6046	179.6281
400.000	42.000			9.9583	44.5629	161.4170
				19.9082	64.4711	152.6082
				29.7777	94.2488	140.3789
				47.4569	141.7057	95.7736
				38.5721	180.2778	44.7848



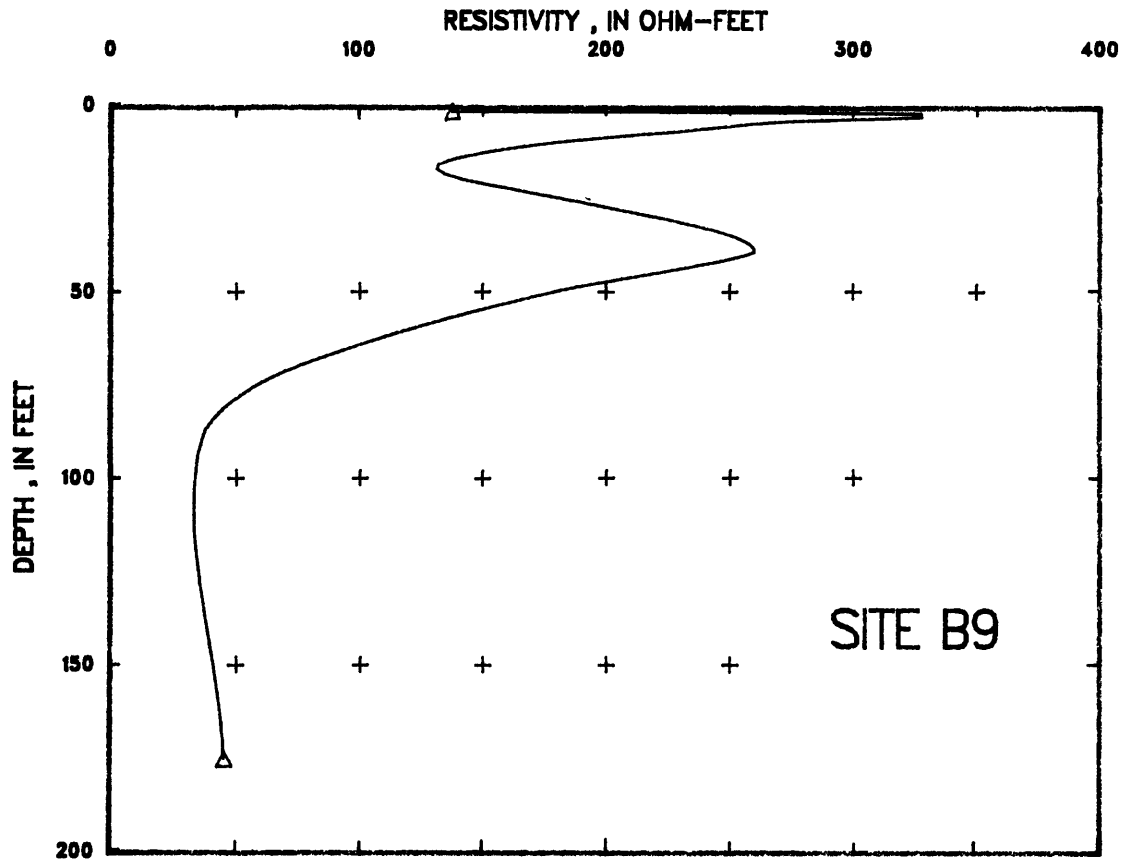
Field data, smoothed data, layer resistivity from smoothed data, and Cartesian graph of resistivity in relation to depth for site B8

Field data		Smoothed data		Layer resistivity from smoothed data		
A-spacing (feet)	Apparent resistivity (ohm-feet)	A-spacing (feet)	Apparent resistivity (ohm-feet)	Thickness (feet)	Depth (feet)	Resistivity (ohm-feet)
1.000	332.000	1.000	332.000	0.1000	0.1000	313.7084
2.000	341.000	2.000	341.000	0.0468	0.1468	315.2206
3.000	289.000	3.000	289.000	0.0887	0.2154	310.9323
4.000	208.000	4.000	206.000	0.1006	0.3162	304.3828
5.000	179.000	5.000	179.000	0.1479	0.4641	307.4689
7.000	138.000	7.000	148.000	0.2159	0.6800	352.9984
10.000	144.000	10.000	140.000	0.3031	0.9831	474.0782
15.000	148.000	15.000	145.000	0.9806	1.8737	441.2701
20.000	152.000	20.000	152.000	0.8781	2.8519	177.8650
30.000	172.000	30.000	172.000	0.7127	3.5646	85.7967
40.000	187.000	40.000	187.000	0.7445	4.3091	70.4720
50.000	181.000	50.000	181.000	1.8192	6.1282	88.9687
70.000	176.000	70.000	168.000	2.9904	9.1186	127.9768
100.000	144.000	100.000	144.000	4.9845	14.1031	151.6696
150.000	94.000	150.000	94.000	4.8389	18.9420	191.2368
200.000	72.000	200.000	68.000	9.3334	28.2753	241.3574
300.000	21.000	300.000	21.000	9.7355	38.0108	231.4355
400.000	21.000			9.9989	48.0097	192.3006
				19.7005	67.7102	145.8988
				28.3933	96.1035	105.1355
				45.3684	141.4719	74.2576
				40.4932	181.9651	43.8895



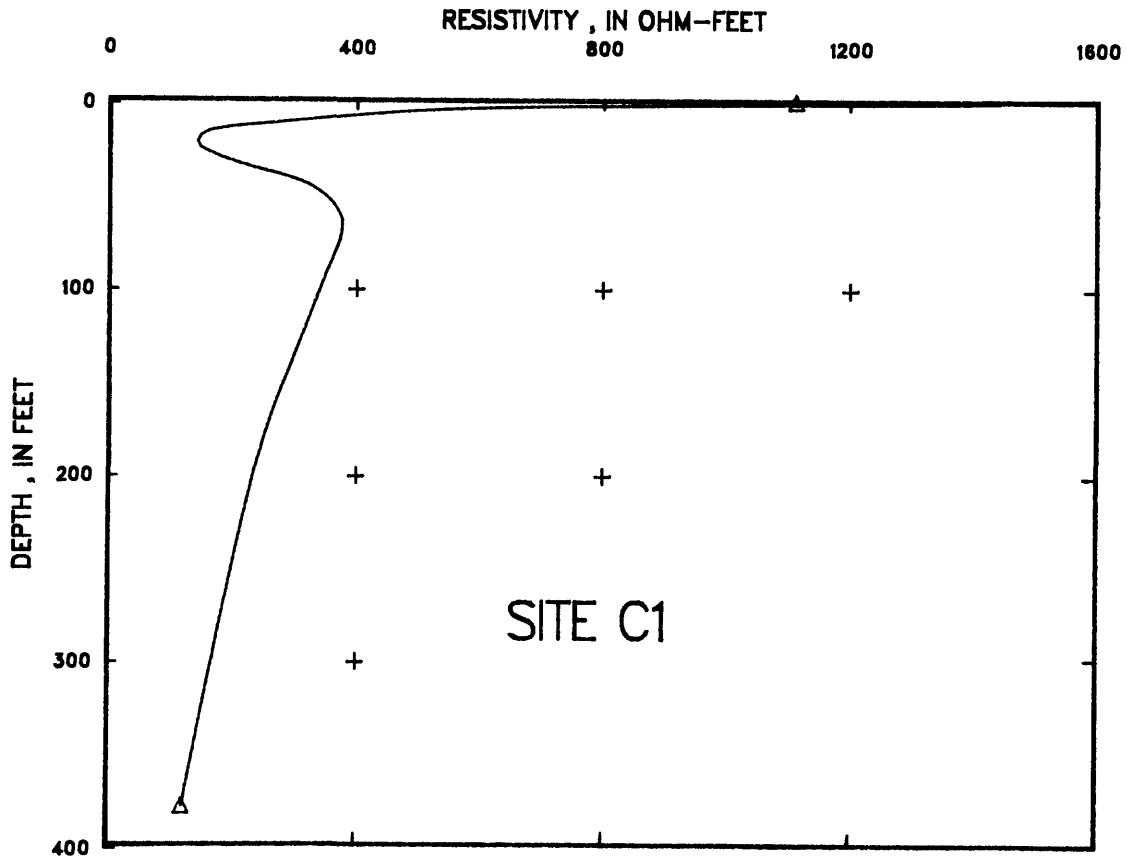
Field data, smoothed data, layer resistivity from smoothed data, and Cartesian graph of resistivity in relation to depth for site B9

Field data		Smoothed data		Layer resistivity from smoothed data		
A-spacing (feet)	Apparent resistivity (ohm-feet)	A-spacing (feet)	Apparent resistivity (ohm-feet)	Thickness (feet)	Depth (feet)	Resistivity (ohm-feet)
1.000	126.000	1.000	126.000	0.1000	0.1000	100.9351
2.000	179.000	2.000	179.000	0.0466	0.1468	101.8053
3.000	188.000	3.000	205.000	0.0687	0.2154	102.1810
4.000	215.000	4.000	215.000	0.1008	0.3162	100.4935
5.000	229.000	5.000	229.000	0.1478	0.4640	98.1516
7.000	232.000	7.000	232.000	0.2171	0.6812	97.7696
10.000	215.000	10.000	215.000	0.3071	0.9883	137.7495
15.000	202.000	15.000	202.000	0.7391	1.7274	327.5632
20.000	179.000	20.000	179.000	0.8802	2.6076	327.7963
30.000	188.000	30.000	188.000	0.9735	3.5810	279.1834
40.000	169.000	40.000	178.000	0.9945	4.5755	256.5100
50.000	161.000	50.000	161.000	1.9995	6.5751	227.1245
70.000	119.000	70.000	130.000	2.9564	9.5315	178.3498
100.000	90.000	100.000	90.000	4.7922	14.3237	135.5220
150.000	47.000	150.000	54.000	4.9265	19.2502	141.6043
200.000	34.000	200.000	34.000	9.8083	29.0585	217.6540
300.000	14.000	300.000	14.000	9.5801	38.6386	259.9815
				9.9720	48.6106	183.5754
				17.5064	66.1170	89.2352
				20.2166	86.3336	37.9302
				40.5401	126.8737	36.1166
				47.7587	174.6324	45.6018



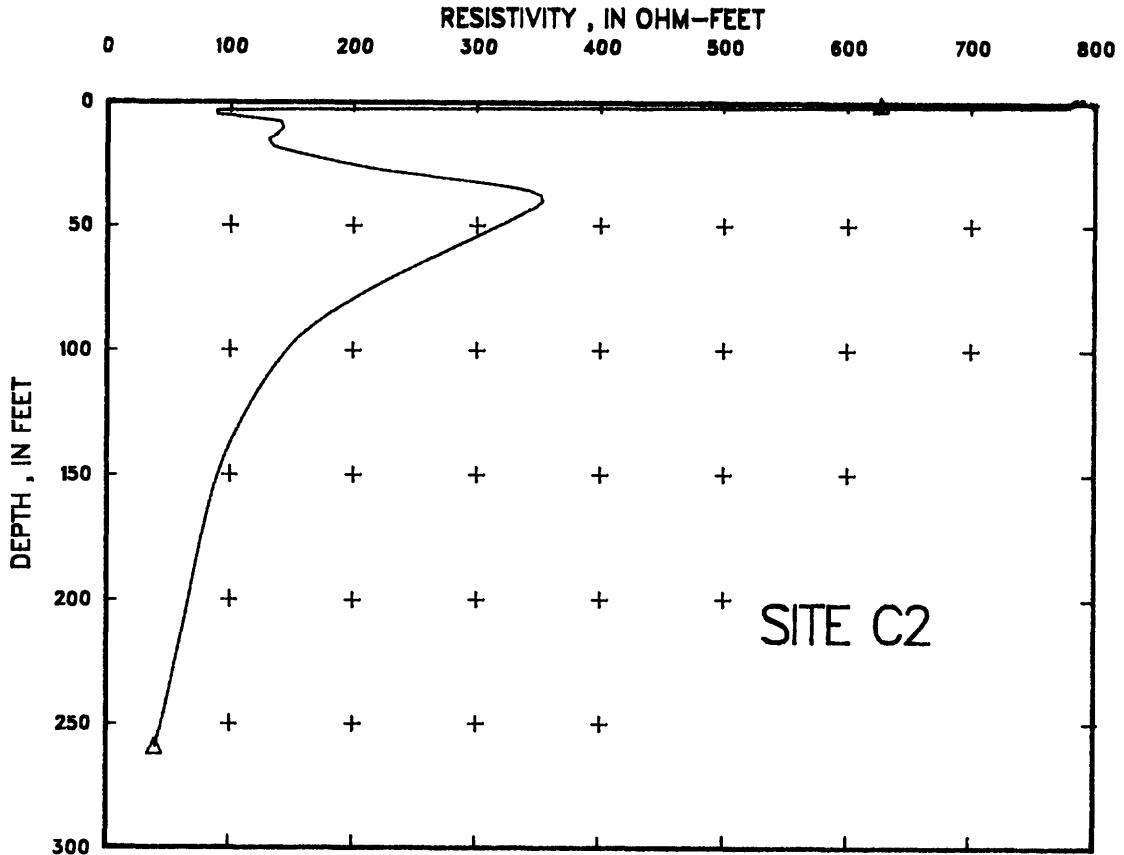
Field data, smoothed data, layer resistivity from smoothed data, and Cartesian graph of resistivity in relation to depth for site C1

Field data		Smoothed data		Layer resistivity from smoothed data		
A-spacing (feet)	Apparent resistivity (ohm-feet)	A-spacing (feet)	Apparent resistivity (ohm-feet)	Thickness (feet)	Depth (feet)	Resistivity (ohm-feet)
1.000	718.000	1.000	718.000	0.1000	0.1000	537.8179
2.000	969.000	2.000	969.000	0.0488	0.1468	530.2780
3.000	942.000	3.000	942.000	0.0686	0.2154	516.7483
4.000	897.000	4.000	897.000	0.1007	0.3162	508.8787
5.000	852.000	5.000	820.000	0.1479	0.4640	542.9275
7.000	628.000	7.000	690.000	0.2111	0.6751	705.5752
10.000	529.000	10.000	529.000	0.2784	0.9515	1,111.2820
15.000	377.000	15.000	377.000	0.8811	1.8326	1,425.3845
20.000	287.000	20.000	287.000	0.9983	2.8309	1,051.5352
30.000	234.000	30.000	234.000	0.8843	3.8152	770.8292
40.000	230.000	40.000	230.000	0.9576	4.7728	615.4593
50.000	242.000	50.000	242.000	1.8751	6.6479	495.0925
70.000	257.000	70.000	257.000	2.7546	9.4025	383.9036
100.000	287.000	100.000	287.000	4.3276	13.7301	253.0664
150.000	269.000	150.000	260.000	3.9879	17.7180	159.8177
200.000	269.000	200.000	269.000	8.7115	26.4295	147.2949
300.000	188.000	300.000	210.000	9.9492	36.3787	223.7412
400.000	215.000	400.000	160.000	9.7194	46.0981	321.7361
500.000	157.000	500.000	157.000	19.0362	65.1343	376.8646
				29.8077	94.7421	349.5110
				49.9698	144.7119	291.2388
				49.4173	194.1292	239.5292
				95.3444	289.4735	174.8925
				90.1098	379.5833	120.9444



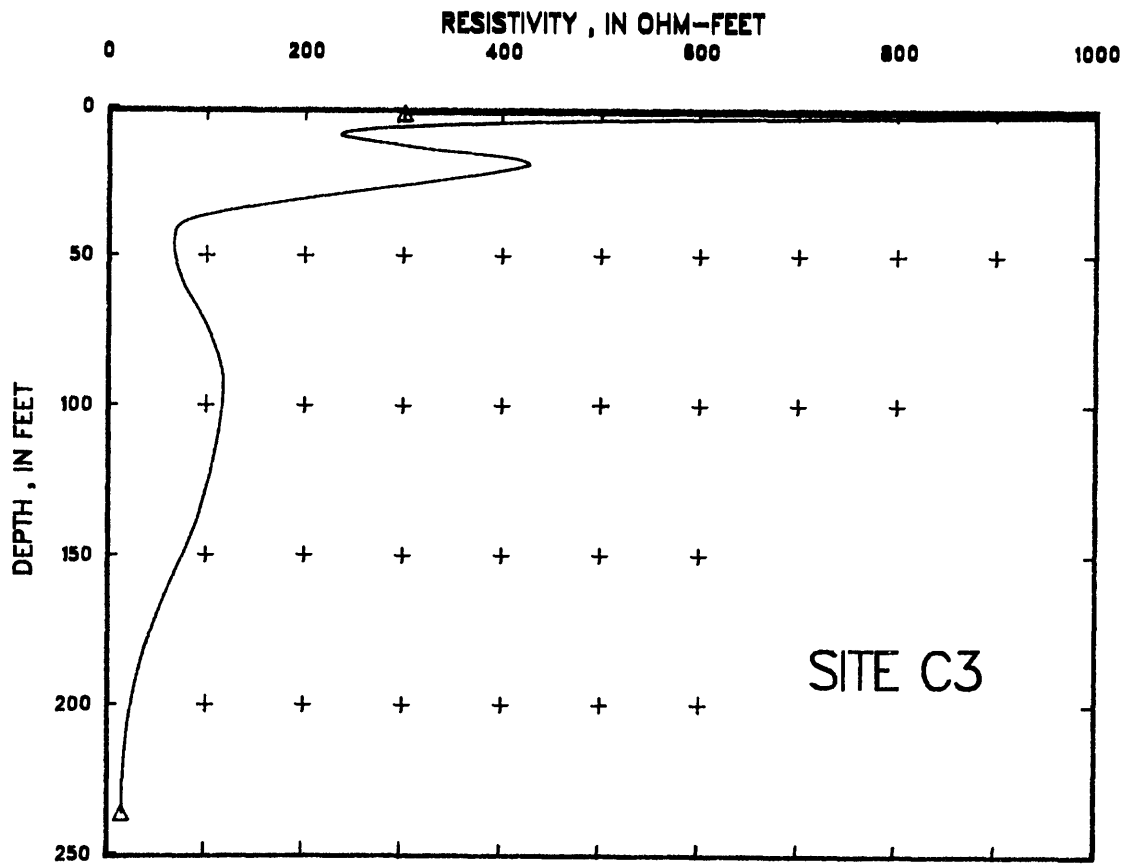
Field data, smoothed data, layer resistivity from smoothed data, and Cartesian graph of resistivity in relation to depth for site C2

Field data		Smoothed data		Layer resistivity from smoothed data		
A-spacing (feet)	Apparent resistivity (ohm-feet)	A-spacing (feet)	Apparent resistivity (ohm-feet)	Thickness (feet)	Depth (feet)	Resistivity (ohm-feet)
1.000	556.000	1.000	556.000	0.1000	0.1000	490.0569
2.000	538.000	2.000	538.000	0.0468	0.1468	493.3121
3.000	484.000	3.000	484.000	0.0687	0.2154	491.2701
4.000	330.000	4.000	330.000	0.1008	0.3162	482.2988
5.000	251.000	5.000	251.000	0.1479	0.4641	477.1424
7.000	182.000	7.000	182.000	0.2169	0.6811	509.7477
10.000	153.000	10.000	153.000	0.3125	0.9936	626.1750
15.000	148.000	15.000	148.000	0.9625	1.9561	785.0771
20.000	153.000	20.000	153.000	0.9574	2.9134	405.6289
30.000	172.000	30.000	172.000	0.7220	3.6355	159.9060
40.000	190.000	40.000	190.000	0.6052	4.2407	88.2934
50.000	197.000	50.000	197.000	1.4856	5.7262	88.9549
70.000	201.000	70.000	201.000	2.9020	8.6282	140.8623
100.000	188.000	100.000	188.000	4.9120	13.5403	137.5380
150.000	134.000	150.000	134.000	4.9492	18.4894	135.1461
200.000	90.000	200.000	100.000	9.6181	28.1075	222.8976
300.000	63.000	300.000	53.000	8.5115	36.6190	343.5635
400.000	21.000	400.000	21.000	9.0902	45.7092	336.7830
				19.9034	65.6127	253.6902
				28.9893	94.6020	156.5630
				44.8993	139.5013	98.6472
				43.7696	183.2708	73.4600
				76.3480	259.6188	39.8673



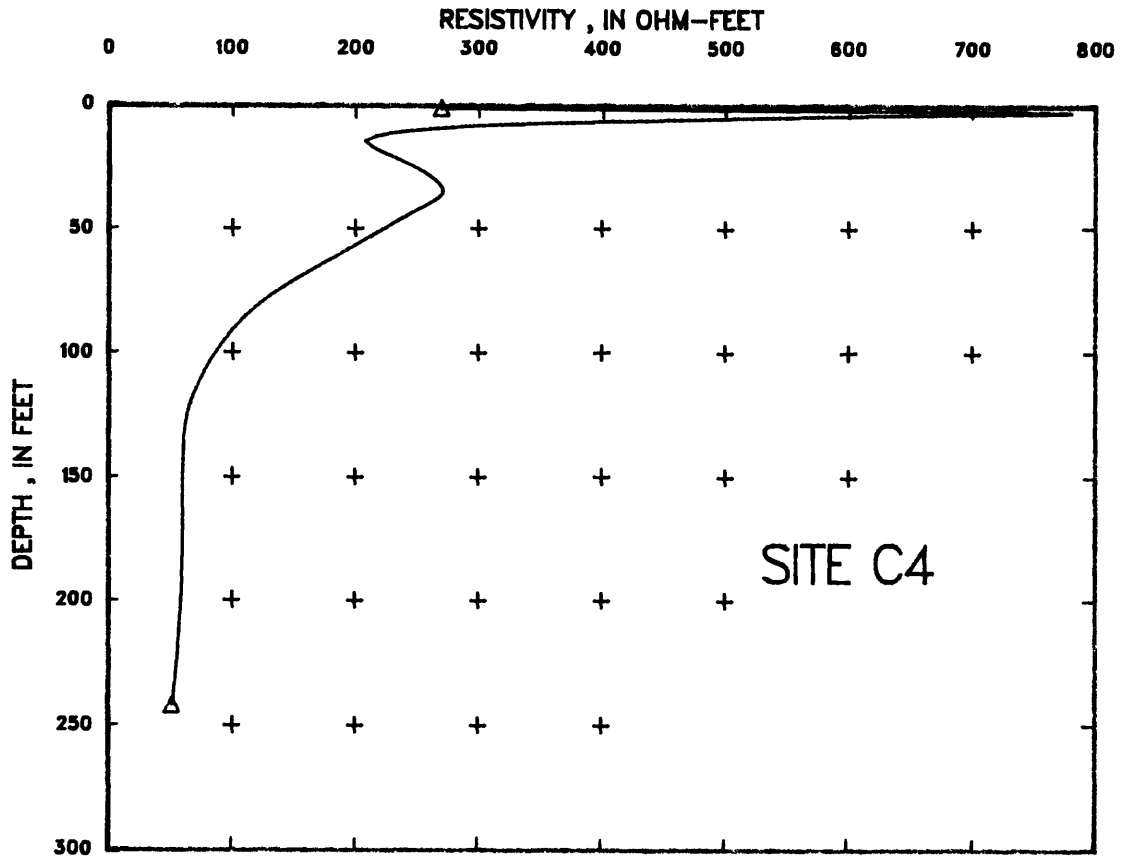
Field data, smoothed data, layer resistivity from smoothed data, and Cartesian graph of resistivity in relation to depth for site C3

Field data		Smoothed data		Layer resistivity from smoothed data		
A-spacing (feet)	Apparent resistivity (ohm-feet)	A-spacing (feet)	Apparent resistivity (ohm-feet)	Thickness (feet)	Depth (feet)	Resistivity (ohm-feet)
1.000	251.000	1.000	251.000	0.1000	0.1000	178.7760
2.000	377.000	2.000	377.000	0.0468	0.1468	181.4891
3.000	458.000	3.000	458.000	0.0687	0.2154	182.3379
4.000	467.000	4.000	490.000	0.1008	0.3162	177.1572
5.000	493.000	5.000	493.000	0.1476	0.4638	164.5857
7.000	458.000	7.000	458.000	0.2170	0.6808	174.1255
10.000	404.000	10.000	404.000	0.2885	0.9693	300.4835
15.000	350.000	15.000	350.000	0.3620	1.3313	1,602.4761
20.000	323.000	20.000	323.000	0.7525	2.0838	1,003.4286
30.000	245.000	30.000	245.000	0.9813	3.0651	642.8893
40.000	201.000	40.000	201.000	0.9903	4.0554	444.3474
50.000	170.000	50.000	170.000	1.8634	5.9188	292.7610
70.000	126.000	70.000	126.000	2.7685	8.6874	235.7470
100.000	99.000	100.000	99.000	4.9927	13.6800	335.7853
150.000	81.000	150.000	74.000	4.9318	18.6118	426.7450
200.000	54.000	200.000	54.000	9.6225	28.2343	239.4883
300.000	31.000	300.000	31.000	7.4745	35.7088	99.5150
400.000	19.000	400.000	19.000	6.9974	42.7061	67.2504
				17.2479	59.8541	79.0516
				29.7770	89.7310	118.0909
				48.4155	138.1465	90.4162
				39.4543	177.8008	41.3000
				57.7848	235.3956	15.9944



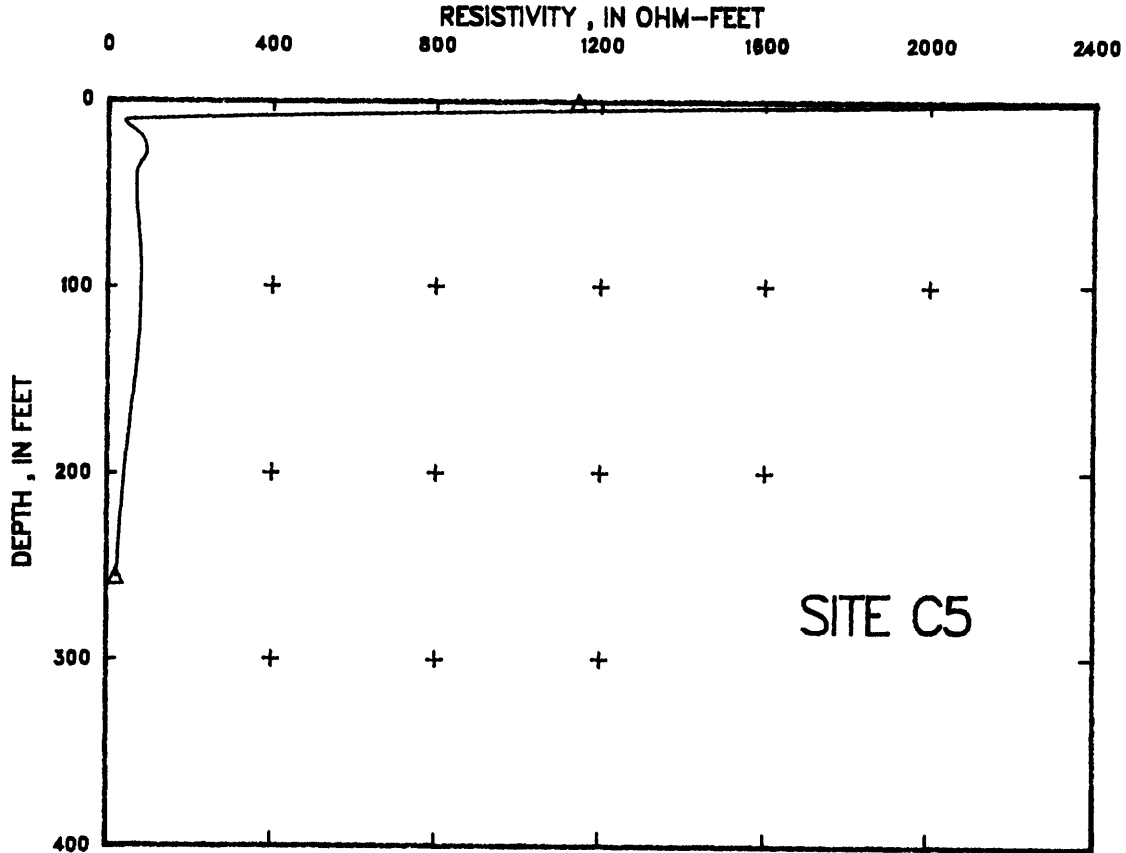
Field data, smoothed data, layer resistivity from smoothed data, and Cartesian graph of resistivity in relation to depth for site C4

Field data		Smoothed data		Layer resistivity from smoothed data		
A-spacing (feet)	Apparent resistivity (ohm-feet)	A-spacing (feet)	Apparent resistivity (ohm-feet)	Thickness (feet)	Depth (feet)	Resistivity (ohm-feet)
1.000	305.000	1.000	220.000	0.0900	0.0900	149.5715
2.000	287.000	2.000	320.000	0.0421	0.1321	149.4599
3.000	431.000	3.000	370.000	0.0818	0.1939	145.8100
4.000	395.000	4.000	410.000	0.0907	0.2845	141.7488
5.000	448.000	5.000	449.000	0.0818	0.1939	145.8100
7.000	446.000	7.000	448.000	0.1911	0.6087	190.2391
10.000	388.000	10.000	380.000	0.2815	0.8702	289.4711
15.000	283.000	15.000	320.000	0.7469	1.6171	441.8650
20.000	289.000	20.000	288.000	0.8598	2.2768	738.7124
30.000	237.000	30.000	255.000	0.7365	3.0133	767.8849
40.000	226.000	40.000	226.000	0.8431	3.8564	847.0822
50.000	202.000	50.000	210.000	1.8000	5.6563	469.7178
70.000	182.000	70.000	182.000	2.5883	8.2446	289.6972
100.000	134.000	100.000	134.000	4.1580	12.4025	216.4597
150.000	94.000	150.000	94.000	4.3157	16.7183	213.2395
200.000	72.000	200.000	80.000	8.9582	25.8765	251.2222
300.000	38.000	300.000	38.000	8.9983	34.8747	270.9587
400.000	21.000	400.000	21.000	8.9546	43.8294	243.9814
				17.4277	61.0571	163.3882
				23.7966	84.8537	110.0572
				36.1046	120.9563	65.0041
				39.3256	160.2639	59.8238
				61.1323	241.4163	51.6225



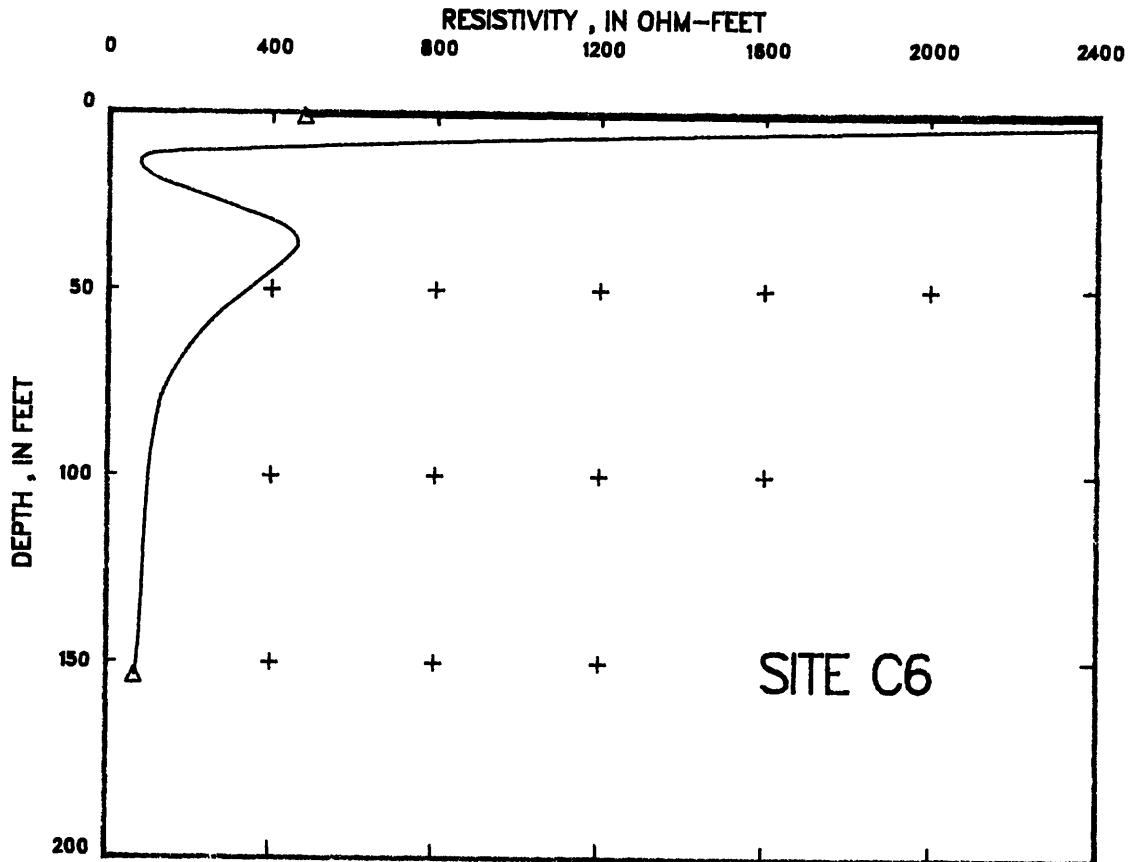
Field data, smoothed data, layer resistivity from smoothed data, and Cartesian graph of resistivity in relation to depth for site C5

Field data		Smoothed data		Layer resistivity from smoothed data		
A-spacing (feet)	Apparent resistivity (ohm-feet)	A-spacing (feet)	Apparent resistivity (ohm-feet)	Thickness (feet)	Depth (feet)	Resistivity (ohm-feet)
1.000	745.000	1.000	745.000	0.1000	0.1000	509.0429
2.000	1,256.000	2.000	1,256.000	0.0467	0.1467	507.7968
3.000	1,346.000	3.000	1,346.000	0.0686	0.2154	495.5118
4.000	1,292.000	4.000	1,420.000	0.1007	0.3161	476.0774
5.000	1,346.000	5.000	1,346.000	0.1479	0.4640	484.2325
7.000	1,193.000	7.000	1,193.000	0.2128	0.6768	628.0144
10.000	763.000	10.000	763.000	0.2821	0.9388	1,142.9114
15.000	336.000	15.000	336.000	0.6819	1.6008	2,375.4082
20.000	179.000	20.000	179.000	0.8549	2.4556	2,229.3315
30.000	108.000	30.000	108.000	0.9652	3.4209	1,877.4675
40.000	93.000	40.000	93.000	0.9999	4.4208	1,505.6257
50.000	81.000	50.000	81.000	1.9199	6.3407	968.3580
70.000	75.000	70.000	75.000	2.2682	8.6088	405.0211
100.000	72.000	100.000	72.000	2.0144	10.6232	93.9102
150.000	63.000	150.000	58.000	1.6744	12.2977	41.6359
200.000	38.000	200.000	47.000	7.5486	19.8462	82.2103
300.000	31.000	300.000	31.000	9.0325	28.8788	92.7557
400.000	19.000	400.000	19.000	8.6233	37.5021	69.0707
				18.4109	55.9129	69.2737
				29.4988	85.4117	81.0584
				49.0718	134.4836	72.6767
				46.1750	180.6586	48.7945
				75.0048	255.6634	22.3069



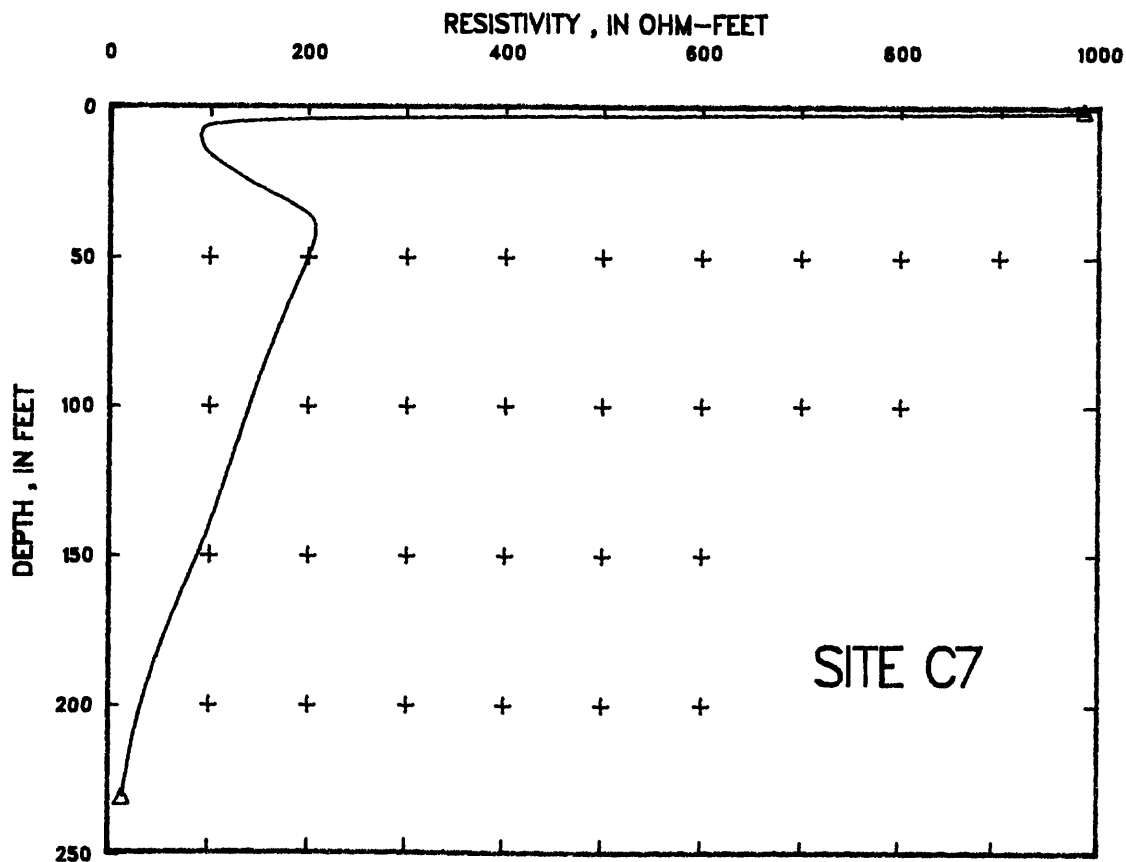
Field data, smoothed data, layer resistivity from smoothed data, and Cartesian graph of resistivity in relation to depth for site C6

Field data		Smoothed data		Layer resistivity from smoothed data		
A-spacing (feet)	Apparent resistivity (ohm-feet)	A-spacing (feet)	Apparent resistivity (ohm-feet)	Thickness (feet)	Depth (feet)	Resistivity (ohm-feet)
1.000	574.000	1.000	574.000	0.0900	0.0900	448.5824
2.000	825.000	2.000	825.000	0.0421	0.1321	451.7538
3.000	1,050.000	3.000	1,050.000	0.0618	0.1939	459.6411
4.000	1,220.000	4.000	1,220.000	0.0907	0.2846	461.3348
5.000	1,300.000	5.000	1,300.000	0.1331	0.4177	438.2030
7.000	1,382.000	7.000	1,382.000	0.1949	0.6126	410.3943
10.000	1,078.000	10.000	1,078.000	0.2860	0.8988	478.2894
15.000	740.000	15.000	740.000	0.7088	1.6074	1,188.5806
20.000	413.000	20.000	413.000	0.3201	1.9276	4,642.7773
30.000	296.000	30.000	296.000	0.5157	2.4433	3,648.0810
40.000	278.000	40.000	284.000	0.7236	3.1670	2,726.9663
50.000	278.000	50.000	270.000	1.7575	4.9244	1,897.0684
70.000	239.000	70.000	239.000	2.5888	7.4932	973.0173
100.000	170.000	100.000	170.000	2.9241	10.4173	298.2943
150.000	108.000	150.000	108.000	1.7378	12.1551	88.9575
200.000	72.000	200.000	72.000	6.2885	18.4438	128.7463
300.000	19.000	300.000	19.000	8.9483	27.3920	357.0701
400.000	17.000			8.5846	35.9566	463.4260
				17.7884	53.7430	275.8049
				22.7823	76.5253	131.1816
				37.1236	113.6489	90.9326
				37.6066	151.2555	70.4895



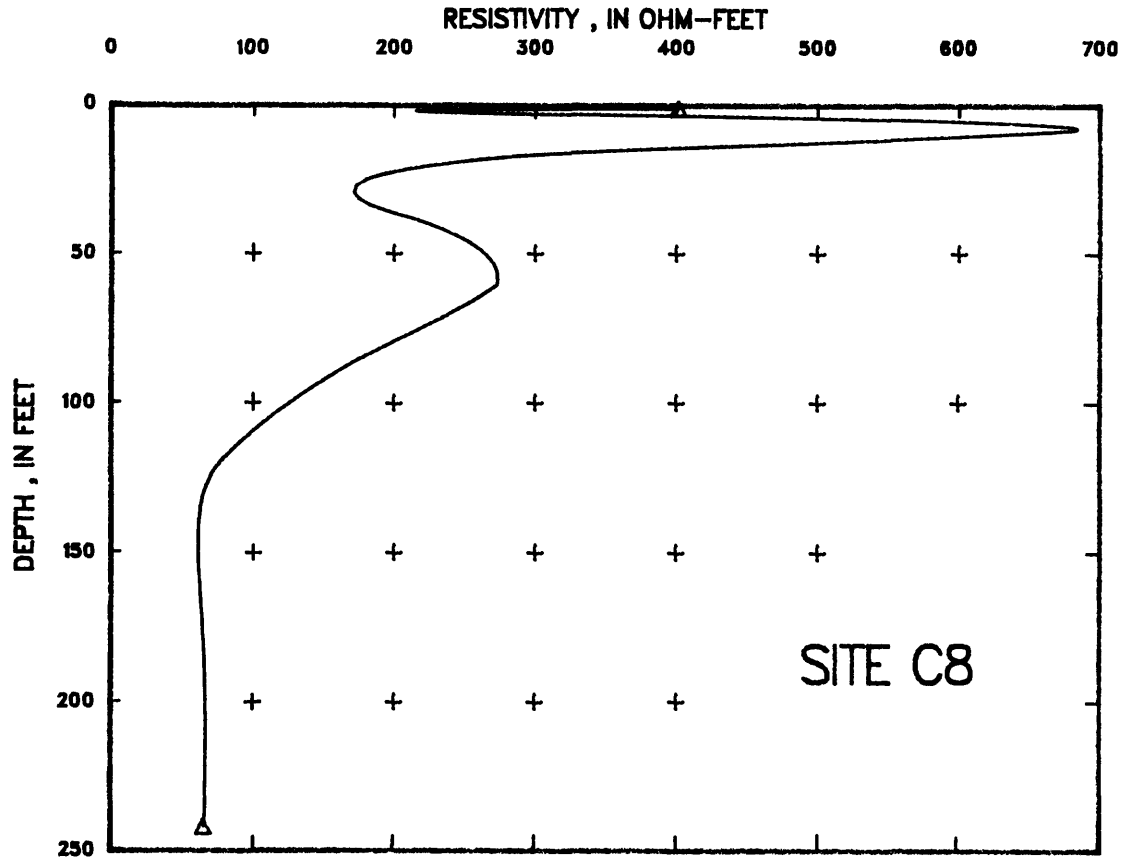
Field data, smoothed data, layer resistivity from smoothed data, and Cartesian graph of resistivity in relation to depth for site C7

Field data		Smoothed data		Layer resistivity from smoothed data		
A-spacing (feet)	Apparent resistivity (ohm-feet)	A-spacing (feet)	Apparent resistivity (ohm-feet)	Thickness (feet)	Depth (feet)	Resistivity (ohm-feet)
1.000	910.000	1.000	910.000	0.1000	0.1000	908.0594
2.000	837.000	2.000	837.000	0.0468	0.1468	907.6802
3.000	700.000	3.000	700.000	0.0688	0.2154	904.4154
4.000	544.000	4.000	544.000	0.1008	0.3162	898.9481
5.000	429.000	5.000	429.000	0.1479	0.4641	897.0302
7.000	264.000	7.000	264.000	0.2171	0.6812	919.2540
10.000	167.000	10.000	167.000	0.3180	0.9992	964.0714
15.000	126.000	15.000	126.000	0.9992	1.9984	984.2139
20.000	123.000	20.000	123.000	0.9675	2.9660	640.8156
30.000	132.000	30.000	132.000	0.8449	3.8109	347.3693
40.000	147.000	40.000	142.000	0.7156	4.5265	197.0649
50.000	131.000	50.000	150.000	1.2668	5.7932	113.9708
70.000	139.000	70.000	145.000	2.1396	7.9328	91.6761
100.000	144.000	100.000	136.000	4.2650	12.1978	92.2476
150.000	108.000	150.000	106.000	4.7316	16.9296	101.7464
200.000	72.000	200.000	72.000	9.9890	26.8286	148.6752
300.000	56.000	300.000	36.000	9.6427	36.5713	200.8889
400.000	19.000	400.000	19.000	9.7567	46.3280	203.4632
				19.9642	66.2922	178.8566
				29.8322	96.1244	144.5604
				47.4143	143.5387	96.5537
				39.7078	183.2485	48.3442
				48.0893	231.3458	13.7914



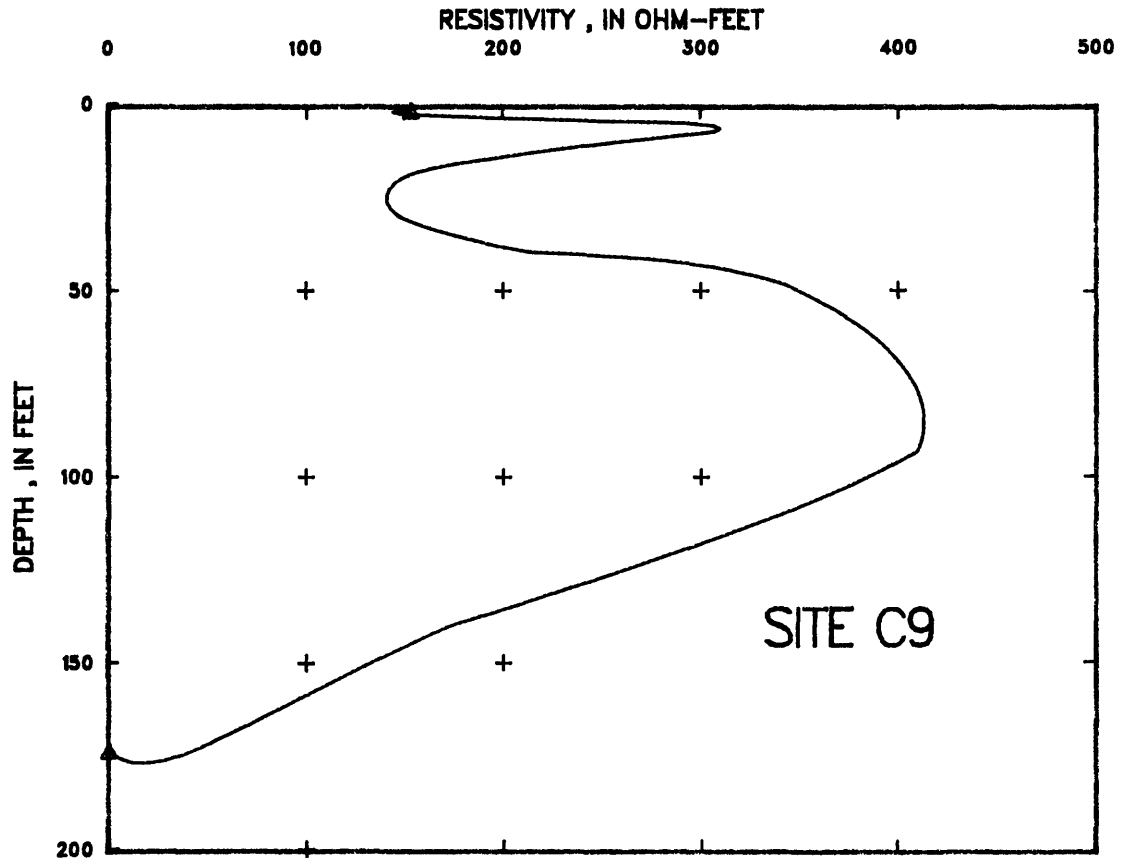
Field data, smoothed data, layer resistivity from smoothed data, and Cartesian graph of resistivity in relation to depth for site C8

Field data		Smoothed data		Layer resistivity from smoothed data		
A-spacing (feet)	Apparent resistivity (ohm-feet)	A-spacing (feet)	Apparent resistivity (ohm-feet)	Thickness (feet)	Depth (feet)	Resistivity (ohm-feet)
1.000	386.000	1.000	386.000	0.0900	0.0900	430.6538
2.000	305.000	2.000	305.000	0.0421	0.1321	430.4564
3.000	323.000	3.000	323.000	0.0618	0.1939	426.8306
4.000	337.000	4.000	337.000	0.0907	0.2846	426.2542
5.000	350.000	5.000	350.000	0.1331	0.4177	436.3577
7.000	389.000	7.000	389.000	0.1952	0.6129	456.3203
10.000	475.000	10.000	450.000	0.2862	0.8991	401.1674
15.000	404.000	15.000	404.000	0.8449	1.7440	222.9503
20.000	377.000	20.000	377.000	0.8938	2.6378	253.5562
30.000	269.000	30.000	300.000	0.8690	3.5068	389.2278
40.000	269.000	40.000	269.000	0.8191	4.3259	503.8665
50.000	251.000	50.000	251.000	1.5720	5.8979	630.6604
70.000	220.000	70.000	220.000	2.4483	8.3463	679.6820
100.000	179.000	100.000	179.000	4.4964	12.8427	487.6258
150.000	121.000	150.000	121.000	4.2444	17.0871	285.0573
200.000	90.000	200.000	90.000	7.8442	24.9313	179.6347
300.000	54.000	300.000	54.000	8.4534	33.3847	182.4486
400.000	19.000	400.000	19.000	8.9547	42.3394	238.3976
				17.9918	60.3312	272.6208
				25.8598	86.1911	169.7843
				34.8944	121.0854	73.5722
				37.3903	158.4757	82.3665
				83.0360	241.5118	65.0821



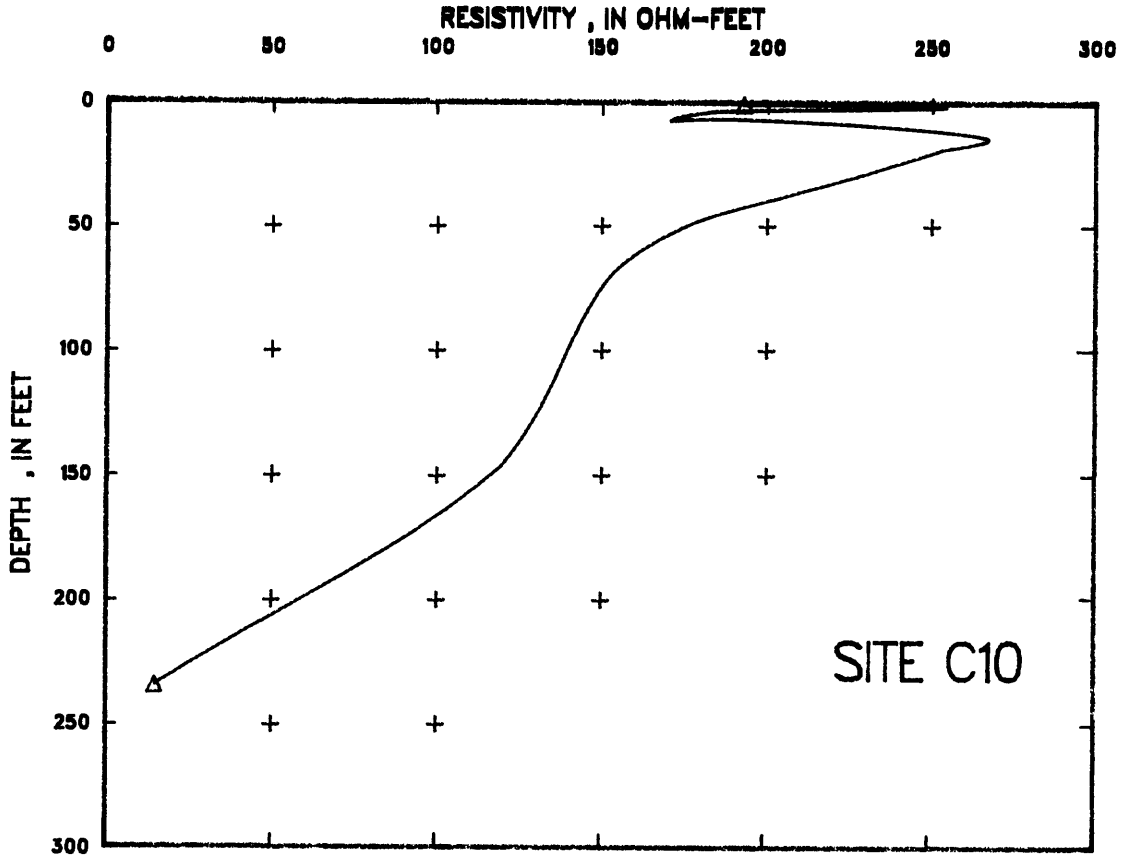
Field data, smoothed data, layer resistivity from smoothed data, and Cartesian graph of resistivity in relation to depth for site C9

Field data		Smoothed data		Layer resistivity from smoothed data		
A-spacing (feet)	Apparent resistivity (ohm-feet)	A-spacing (feet)	Apparent resistivity (ohm-feet)	Thickness (feet)	Depth (feet)	Resistivity (ohm-feet)
1.000	167.000	1.000	167.000	0.1000	0.1000	189.2435
2.000	167.000	2.000	167.000	0.0468	0.1468	169.0117
3.000	176.000	3.000	176.000	0.0687	0.2154	169.6108
4.000	184.000	4.000	184.000	0.1008	0.3162	170.6010
5.000	192.000	5.000	192.000	0.1479	0.4641	170.7609
7.000	220.000	7.000	220.000	0.2171	0.6812	165.9674
10.000	230.000	10.000	230.000	0.3179	0.9991	153.4034
15.000	220.000	15.000	220.000	0.9979	1.9970	147.8359
20.000	223.000	20.000	223.000	0.9895	2.9865	185.8854
30.000	209.000	30.000	209.000	0.9398	3.9263	248.3156
40.000	198.000	40.000	198.000	0.9089	4.8352	298.2162
50.000	206.000	50.000	206.000	1.8740	6.7092	306.8467
100.000	237.000	100.000	237.000	2.9829	9.6920	255.6272
150.000	199.000	150.000	199.000	4.9508	14.6428	187.4569
200.000	126.000	200.000	126.000	4.8355	19.4783	148.0317
300.000	63.000	300.000	63.000	9.8275	29.3058	146.6229
400.000	28.000	400.000	28.000	9.8744	39.1802	213.4562
				8.6488	47.8288	342.5842
				44.5479	92.3786	409.3441
				47.4507	139.8274	171.5248
				30.9870	170.7944	52.5046
				2.1543	172.9467	0.6322



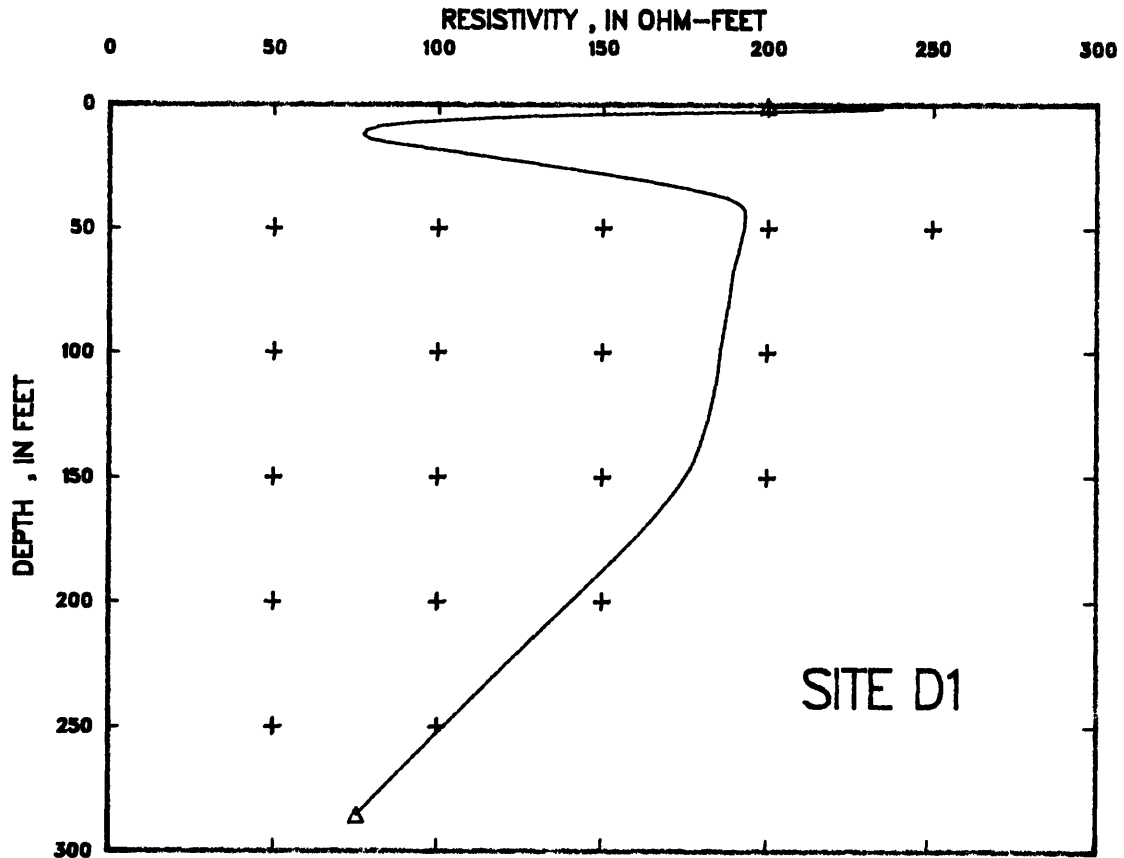
Field data, smoothed data, layer resistivity from smoothed data, and Cartesian graph of resistivity in relation to depth for site C10

Field data		Smoothed data		Layer resistivity from smoothed data		
A-spacing (feet)	Apparent resistivity (ohm-feet)	A-spacing (feet)	Apparent resistivity (ohm-feet)	Thickness (feet)	Depth (feet)	Resistivity (ohm-feet)
1.000	170.000	1.000	170.000	0.1000	0.1000	153.5092
2.000	197.000	2.000	202.000	0.0468	0.1468	154.1818
3.000	210.000	3.000	210.000	0.0686	0.2154	153.1117
4.000	208.000	4.000	208.000	0.1008	0.3161	150.9267
5.000	206.000	5.000	206.000	0.1479	0.4641	149.5680
7.000	214.000	7.000	204.000	0.2170	0.6811	158.3782
10.000	206.000	10.000	210.000	0.3132	0.9943	192.7691
15.000	242.000	15.000	230.000	0.9544	1.9487	254.2737
20.000	215.000	20.000	215.000	0.9967	2.9454	225.2544
30.000	226.000	30.000	226.000	0.8945	3.8398	184.4129
40.000	226.000	40.000	226.000	0.9923	4.8321	170.5440
50.000	202.000	50.000	202.000	1.9970	6.9291	183.1497
70.000	182.000	70.000	182.000	2.9634	9.8925	232.2939
100.000	179.000	100.000	160.000	4.8793	14.7718	267.0340
150.000	121.000	150.000	121.000	4.9700	19.7418	252.7226
200.000	90.000	200.000	90.000	9.9900	29.7318	228.9059
300.000	38.000	300.000	38.000	9.9497	39.6815	202.1317
400.000	18.000	400.000	18.000	9.8739	49.5554	177.0419
				19.5439	69.0994	153.3502
				29.3486	98.4479	139.9958
				48.5439	146.9918	119.3840
				43.8630	190.8548	70.9708
				44.0190	234.8738	14.6018



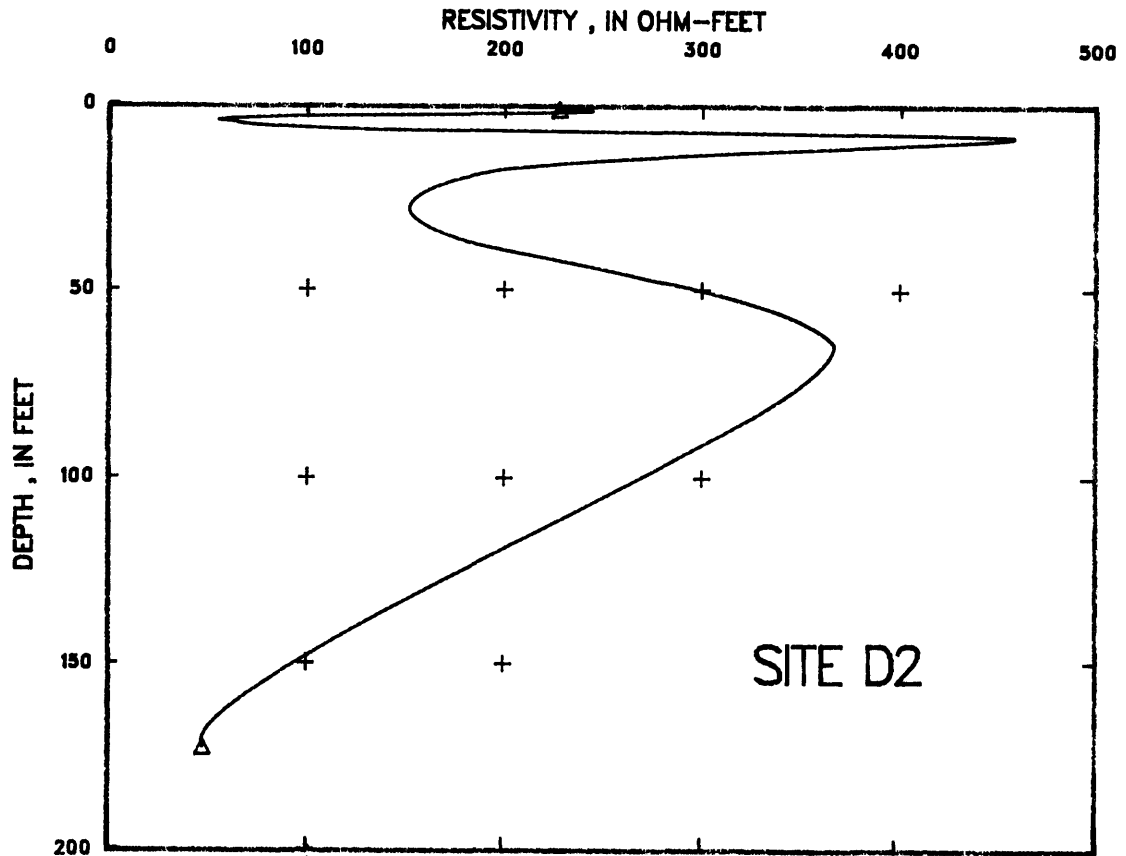
Field data, smoothed data, layer resistivity from smoothed data, and Cartesian graph of resistivity in relation to depth for site D1

Field data		Smoothed data		Layer resistivity from smoothed data		
A-spacing (feet)	Apparent resistivity (ohm-feet)	A-spacing (feet)	Apparent resistivity (ohm-feet)	Thickness (feet)	Depth (feet)	Resistivity (ohm-feet)
1.000	179.000	1.000	179.000	0.1000	0.1000	163.9426
2.000	197.000	2.000	197.000	0.0468	0.1468	163.1527
3.000	196.000	3.000	196.000	0.0687	0.2154	162.2042
4.000	183.000	4.000	183.000	0.1008	0.3162	161.7768
5.000	175.000	5.000	175.000	0.1479	0.4641	164.4879
7.000	144.000	7.000	144.000	0.2168	0.6809	175.3966
10.000	126.000	10.000	126.000	0.3152	0.9961	199.8493
15.000	109.000	15.000	109.000	0.9802	1.9763	234.6232
20.000	104.000	20.000	104.000	0.9992	2.9755	213.6334
30.000	121.000	30.000	121.000	0.9917	3.9672	170.8561
40.000	129.000	40.000	132.000	0.9682	4.9354	136.9591
50.000	139.000	50.000	139.000	1.8746	6.8100	105.1956
70.000	144.000	70.000	148.000	2.7521	9.5621	81.3666
100.000	153.000	100.000	153.000	4.7765	14.3386	78.8770
150.000	148.000	150.000	148.000	4.9971	19.3358	103.0187
200.000	144.000	200.000	144.000	9.5847	28.9205	152.0111
300.000	108.000	300.000	108.000	9.2717	38.1922	187.6660
400.000	72.000	400.000	72.000	9.4727	47.6648	192.6703
				18.4455	67.1103	189.3771
				29.6536	96.7639	185.6712
				49.9026	146.6665	176.3566
				49.7217	196.3881	143.3221
				89.2332	285.6213	75.4028



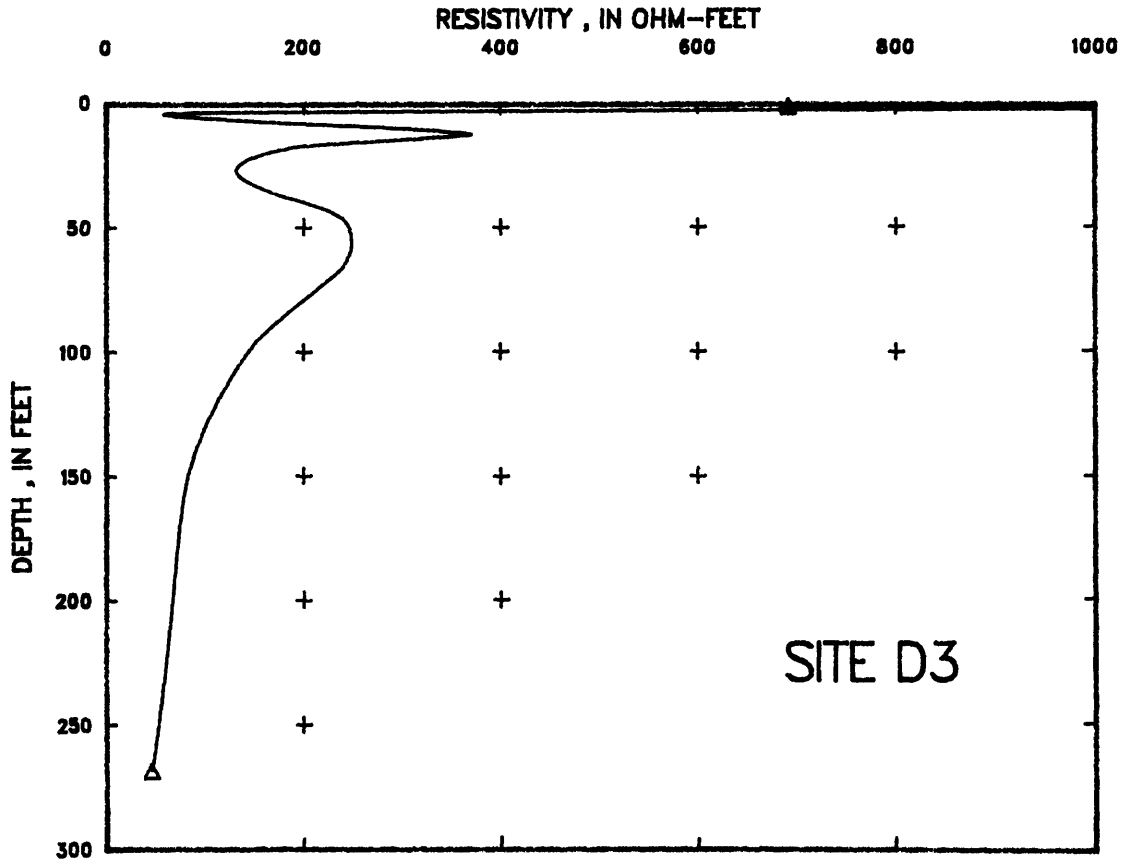
Field data, smoothed data, layer resistivity from smoothed data, and Cartesian graph of resistivity in relation to depth for site D2

Field data		Smoothed data		Layer resistivity from smoothed data		
A-spacing (feet)	Apparent resistivity (ohm-feet)	A-spacing (feet)	Apparent resistivity (ohm-feet)	Thickness (feet)	Depth (feet)	Resistivity (ohm-feet)
1.000	206.000	1.000	206.000	0.1000	0.1000	195.1439
2.000	179.000	2.000	179.000	0.0468	0.1468	185.5270
3.000	159.000	3.000	159.000	0.0686	0.2153	194.1858
4.000	151.000	4.000	145.000	0.1008	0.3161	192.4801
5.000	144.000	5.000	139.000	0.1477	0.4638	193.0615
7.000	132.000	7.000	132.000	0.2169	0.6808	204.1753
10.000	152.000	10.000	146.000	0.3164	0.9972	227.8741
15.000	215.000	15.000	205.000	0.9993	1.9965	217.2267
20.000	197.000	20.000	202.000	0.9134	2.9100	107.7594
30.000	188.000	30.000	188.000	0.7949	3.7048	59.9596
40.000	194.000	40.000	194.000	0.8952	4.6000	64.7151
50.000	215.000	50.000	215.000	1.9692	6.5692	136.8690
70.000	231.000	70.000	228.000	1.6638	8.2330	457.7034
100.000	206.000	100.000	206.000	4.1968	12.4298	329.5677
150.000	179.000	150.000	170.000	4.9960	17.4258	197.3989
200.000	113.000	200.000	120.000	9.8570	27.2828	151.6882
300.000	75.000			9.9971	37.2799	185.7362
				9.3789	46.6588	272.1704
				17.4389	64.0978	367.3172
				29.4637	93.5614	291.1055
				45.7816	139.3430	127.4258
				32.9003	172.2433	47.9429



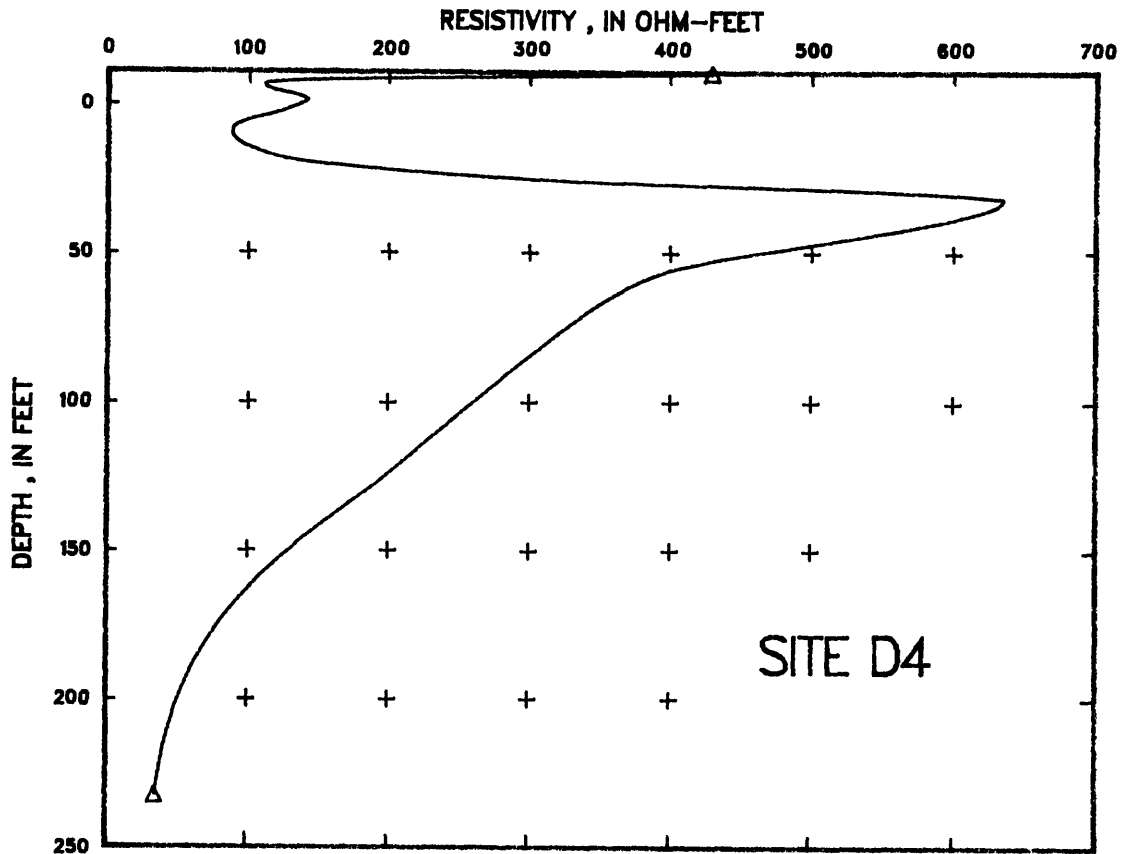
Field data, smoothed data, layer resistivity from smoothed data, and Cartesian graph of resistivity in relation to depth for site D3

Field data		Smoothed data		Layer resistivity from smoothed data		
A-spacing (feet)	Apparent resistivity (ohm-feet)	A-spacing (feet)	Apparent resistivity (ohm-feet)	Thickness (feet)	Depth (feet)	Resistivity (ohm-feet)
1.000	547.000	1.000	547.000	0.1000	0.1000	458.5750
2.000	772.000	2.000	772.000	0.0468	0.1468	463.8813
3.000	592.000	3.000	592.000	0.0887	0.2154	465.0125
4.000	466.000	4.000	466.000	0.1008	0.3162	453.8037
5.000	372.000	5.000	372.000	0.1477	0.4640	430.2750
7.000	251.000	7.000	251.000	0.2171	0.6811	447.1860
10.000	233.000	10.000	233.000	0.2891	0.9802	691.9453
15.000	202.000	15.000	202.000	0.7579	1.7361	1,461.5198
20.000	197.000	20.000	197.000	0.9940	2.7321	681.6537
30.000	188.000	30.000	188.000	0.7280	3.4601	226.4198
40.000	183.000	40.000	183.000	0.4726	3.9327	84.8352
50.000	188.000	50.000	188.000	1.0663	4.9990	65.0285
70.000	182.000	70.000	182.000	2.9393	7.9383	176.5978
100.000	152.000	100.000	158.000	4.5567	12.4949	371.3303
150.000	134.000	150.000	125.000	4.9078	17.4027	194.4618
200.000	90.000	200.000	95.000	9.2895	26.7022	131.2538
300.000	58.000	300.000	56.000	9.9507	36.6630	174.0188
400.000	21.000	400.000	21.000	9.7756	46.4385	240.2866
				19.7494	66.1879	239.4248
				28.3586	85.5466	152.3451
				44.7350	140.2816	89.6150
				44.4765	184.7580	70.6727
				83.4338	268.1918	46.2040



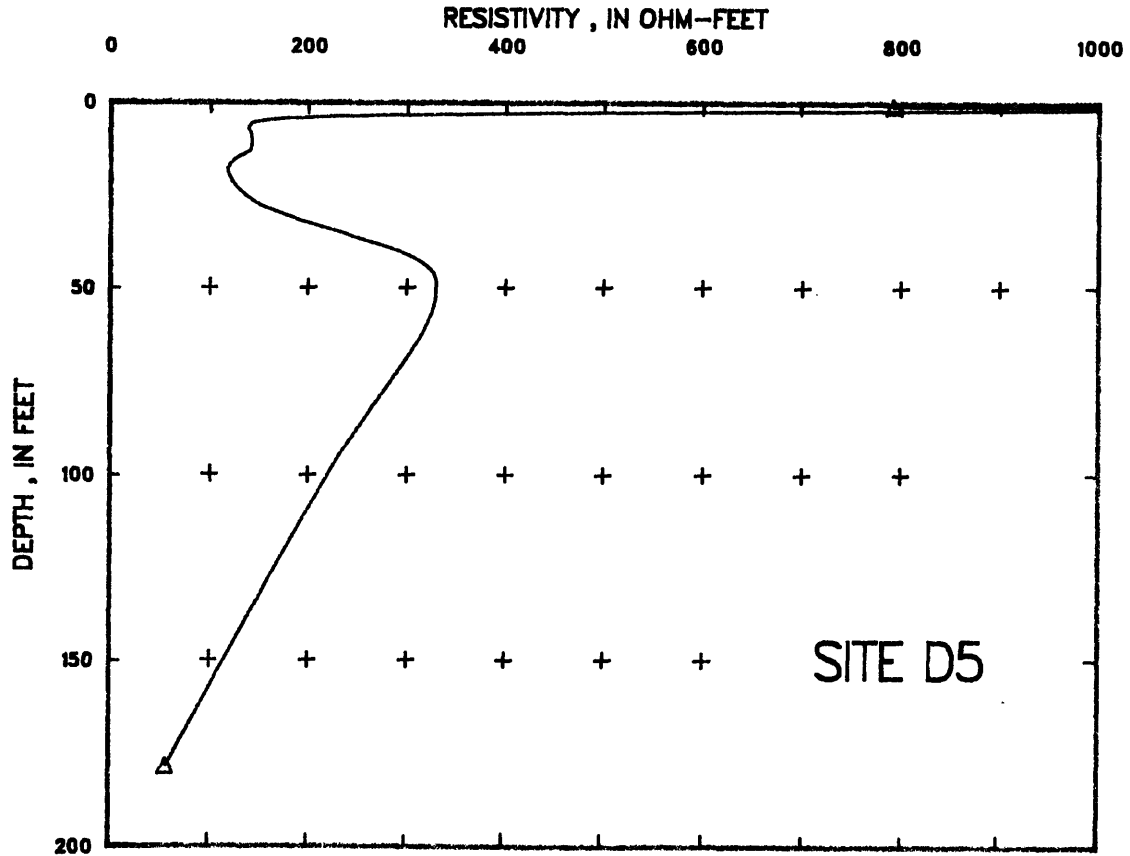
Field data, smoothed data, layer resistivity from smoothed data, and Cartesian graph of resistivity in relation to depth for site D4

Field data		Smoothed data		Layer resistivity from smoothed data		
A-spacing (feet)	Apparent resistivity (ohm-feet)	A-spacing (feet)	Apparent resistivity (ohm-feet)	Thickness (feet)	Depth (feet)	Resistivity (ohm-feet)
1.000	152.000	1.000	152.000	0.1000	0.1000	89.4849
2.000	215.000	2.000	210.000	0.0468	0.1468	88.1789
3.000	207.000	3.000	207.000	0.0688	0.2154	84.1379
4.000	194.000	4.000	194.000	0.1007	0.3161	82.2892
5.000	184.000	5.000	184.000	0.1467	0.4628	100.0846
7.000	157.000	7.000	157.000	0.1828	0.6456	184.5338
10.000	135.000	10.000	142.000	0.1792	0.8248	428.7932
15.000	135.000	15.000	135.000	0.8489	1.6737	341.1352
20.000	133.000	20.000	133.000	0.9959	2.8698	195.7234
30.000	148.000	30.000	148.000	0.9493	3.6189	131.8691
40.000	165.000	40.000	165.000	0.9356	4.5545	111.2688
50.000	179.000	50.000	188.000	1.9489	8.5014	118.3907
70.000	226.000	70.000	226.000	2.9965	9.4979	142.3947
80.000	230.000	80.000	230.000	4.9314	14.4293	114.8495
100.000	220.000	100.000	229.000	4.7882	19.2175	88.1810
150.000	215.000	150.000	210.000	9.9593	29.1768	135.7651
200.000	179.000	200.000	170.000	6.9300	36.1068	350.0238
300.000	84.000	300.000	105.000	5.0451	41.1520	634.6995
400.000	72.000	400.000	72.000	14.3146	55.4665	507.4363
				8.9305	64.3970	398.9588
				19.5287	83.9258	323.1072
				48.9234	132.8492	191.5451
				40.4027	173.2519	88.3698
				60.1229	233.3748	35.1200



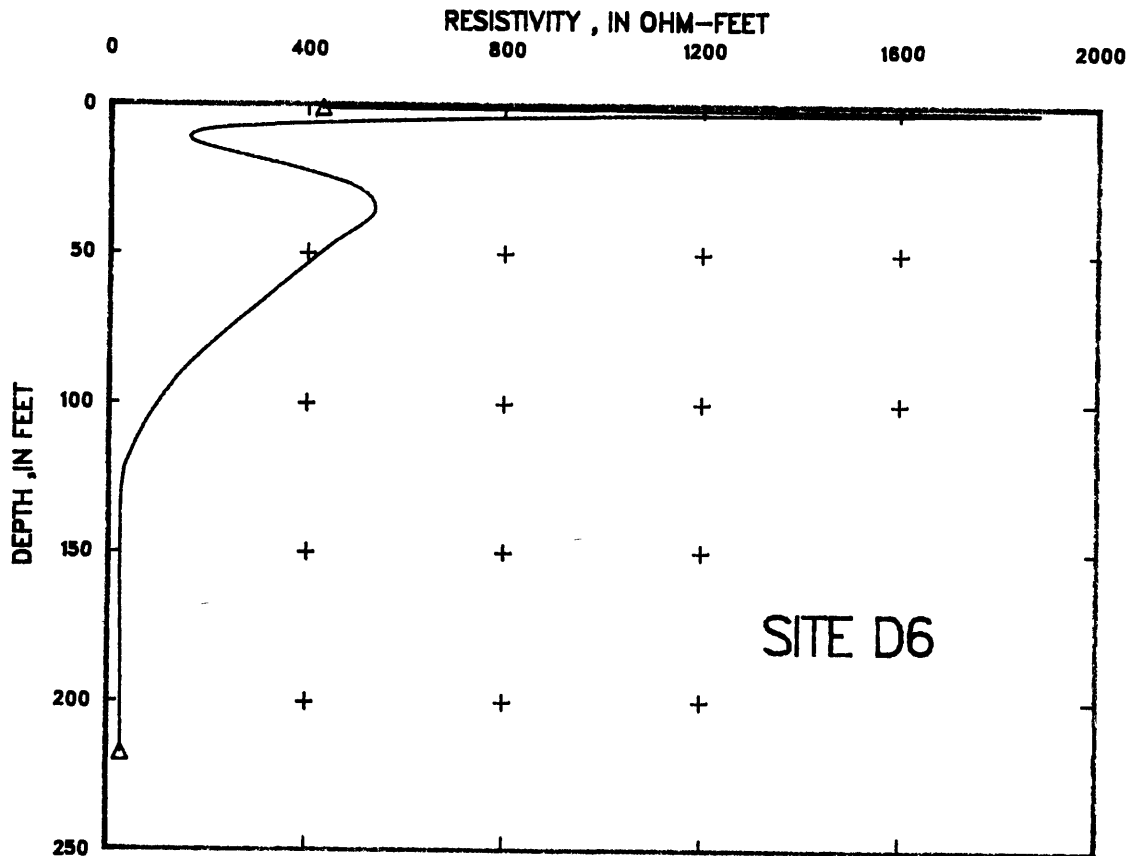
Field data, smoothed data, layer resistivity from smoothed data, and Cartesian graph of resistivity in relation to depth for site D5

Field data		Smoothed data		Layer resistivity from smoothed data		
A-spacing (feet)	Apparent resistivity (ohm-feet)	A-spacing (feet)	Apparent resistivity (ohm-feet)	Thickness (feet)	Depth (feet)	Resistivity (ohm-feet)
1.000	529.000	1.000	529.000	0.1000	0.1000	434.3567
2.000	779.000	2.000	720.000	0.0468	0.1468	435.1124
3.000	596.000	3.000	596.000	0.0687	0.2154	424.1609
4.000	477.000	4.000	477.000	0.1007	0.3162	411.6929
5.000	408.000	5.000	408.000	0.1479	0.4641	418.7874
7.000	295.000	7.000	295.000	0.2147	0.6788	507.5797
10.000	204.000	10.000	220.000	0.2857	0.9645	792.1504
15.000	174.000	15.000	174.000	0.8850	1.8494	1,066.8992
20.000	163.000	20.000	163.000	0.9924	2.8419	608.1627
30.000	160.000	30.000	160.000	0.8768	3.7187	319.8268
40.000	173.000	40.000	173.000	0.7744	4.4931	186.8643
50.000	175.000	50.000	192.000	1.5118	6.0050	141.5961
70.000	185.000	70.000	202.000	2.6104	8.6154	142.0751
100.000	188.000	100.000	188.000	4.6812	13.2966	140.3827
150.000	167.000	150.000	161.000	4.6713	17.9679	117.6779
200.000	100.000	200.000	110.000	9.9495	27.9175	150.9827
300.000	57.000	300.000	57.000	9.3490	37.2665	256.5783
400.000	50.000			8.8222	46.0687	327.2155
				18.8585	64.8472	309.9257
				29.9999	94.9472	231.3061
				46.9485	141.8956	131.6062
				36.5967	178.4923	56.9062



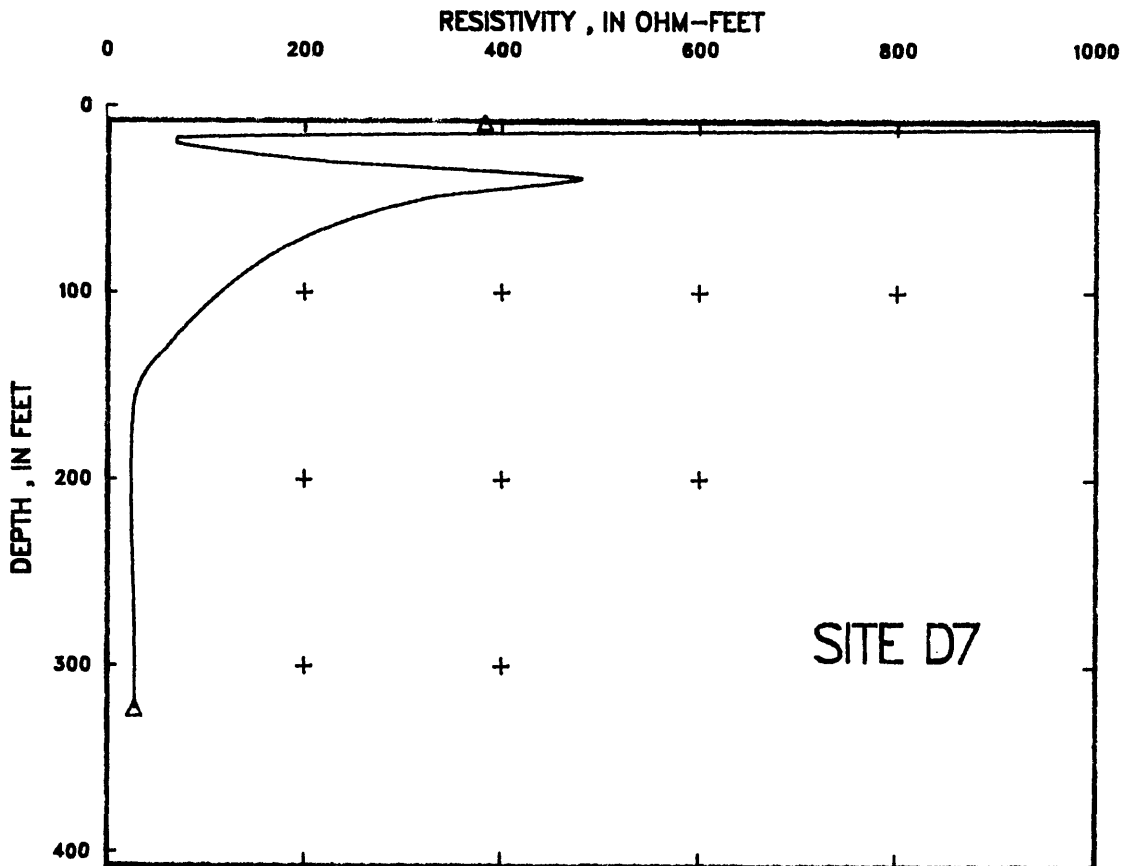
Field data, smoothed data, layer resistivity from smoothed data, and Cartesian graph of resistivity in relation to depth for site D6

Field data		Smoothed data		Layer resistivity from smoothed data		
A-spacing (feet)	Apparent resistivity (ohm-feet)	A-spacing (feet)	Apparent resistivity (ohm-feet)	Thickness (feet)	Depth (feet)	Resistivity (ohm-feet)
1.000	413.000	1.000	413.000	0.1000	0.1000	334.1299
2.000	600.000	2.000	600.000	0.0468	0.1468	331.9739
3.000	834.000	3.000	834.000	0.0687	0.2154	336.8733
4.000	861.000	4.000	861.000	0.1008	0.3162	329.5942
5.000	987.000	5.000	800.000	0.1477	0.4639	308.3245
7.000	540.000	7.000	580.000	0.2170	0.6809	311.9095
10.000	574.000	10.000	450.000	0.3096	0.9905	429.5614
15.000	323.000	15.000	380.000	0.6410	1.6315	1,326.5496
20.000	341.000	20.000	341.000	0.6617	2.2932	1,879.4585
30.000	323.000	30.000	323.000	0.9371	3.2302	1,238.6692
40.000	359.000	40.000	340.000	0.9980	4.2282	834.4429
50.000	354.000	50.000	354.000	1.8258	6.0540	460.9880
70.000	301.000	70.000	301.000	2.1976	8.2518	209.8143
100.000	215.000	100.000	215.000	3.9330	12.1847	164.0667
150.000	108.000	150.000	120.000	4.9458	17.1305	273.8496
200.000	90.000	200.000	75.000	9.4539	26.5844	486.0026
300.000	38.000	300.000	38.000	9.5005	36.0849	533.1730
400.000	25.000	400.000	25.000	9.9401	46.0250	455.0282
				19.6557	65.6807	311.1973
				24.7323	90.4130	143.8893
				26.7253	117.1383	44.0797
				24.5680	141.7082	23.6737
				75.6228	217.3290	29.9597



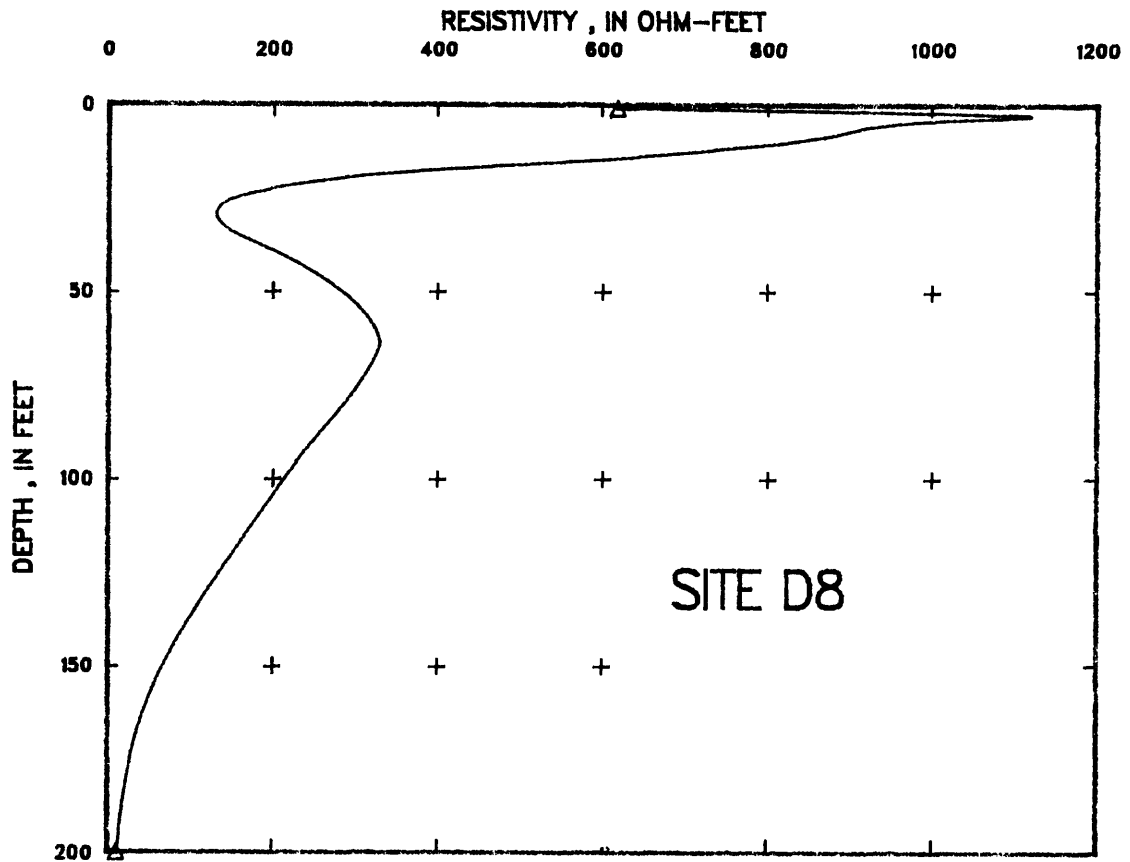
Field data, smoothed data, layer resistivity from smoothed data, and Cartesian graph of resistivity in relation to depth for site D7

Field data		Smoothed data		Layer resistivity from smoothed data		
A-spacing (feet)	Apparent resistivity (ohm-feet)	A-spacing (feet)	Apparent resistivity (ohm-feet)	Thickness (feet)	Depth (feet)	Resistivity (ohm-feet)
1.000	305.000	1.000	305.000	0.1000	0.1000	221.5771
2.000	556.000	2.000	556.000	0.0468	0.1468	223.2921
3.000	807.000	3.000	807.000	0.0687	0.2154	227.4295
4.000	933.000	4.000	933.000	0.1008	0.3162	221.1111
5.000	1,031.000	5.000	1,031.000	0.1476	0.4636	204.3167
7.000	879.000	7.000	879.000	0.2171	0.6809	214.7426
10.000	565.000	10.000	565.000	0.2858	0.9668	381.6185
15.000	296.000	15.000	296.000	0.3077	1.2745	2,722.8164
20.000	233.000	20.000	233.000	0.4142	1.6887	3,387.5239
30.000	188.000	30.000	188.000	0.7511	2.4398	2,037.3765
40.000	194.000	40.000	194.000	0.9626	3.4024	1,372.8142
50.000	188.000	50.000	188.000	1.9565	5.3588	779.1273
70.000	170.000	70.000	170.000	2.2089	7.5678	283.2061
100.000	144.000	100.000	144.000	2.0269	9.5946	69.1338
150.000	121.000	150.000	85.000	2.9778	12.5724	69.4393
200.000	50.000	200.000	50.000	9.9999	22.5724	228.2186
300.000	31.000	300.000	31.000	8.1978	30.7701	479.9681
400.000	39.000	400.000	27.000	9.8372	40.6074	330.8741
500.000	22.000	500.000	22.000	19.6098	60.2171	208.2950
				26.9895	87.2067	126.1002
				36.4628	123.6694	56.9539
				29.0618	152.7312	26.2441
				73.8850	226.6162	25.4903
				88.7370	315.3532	28.0540



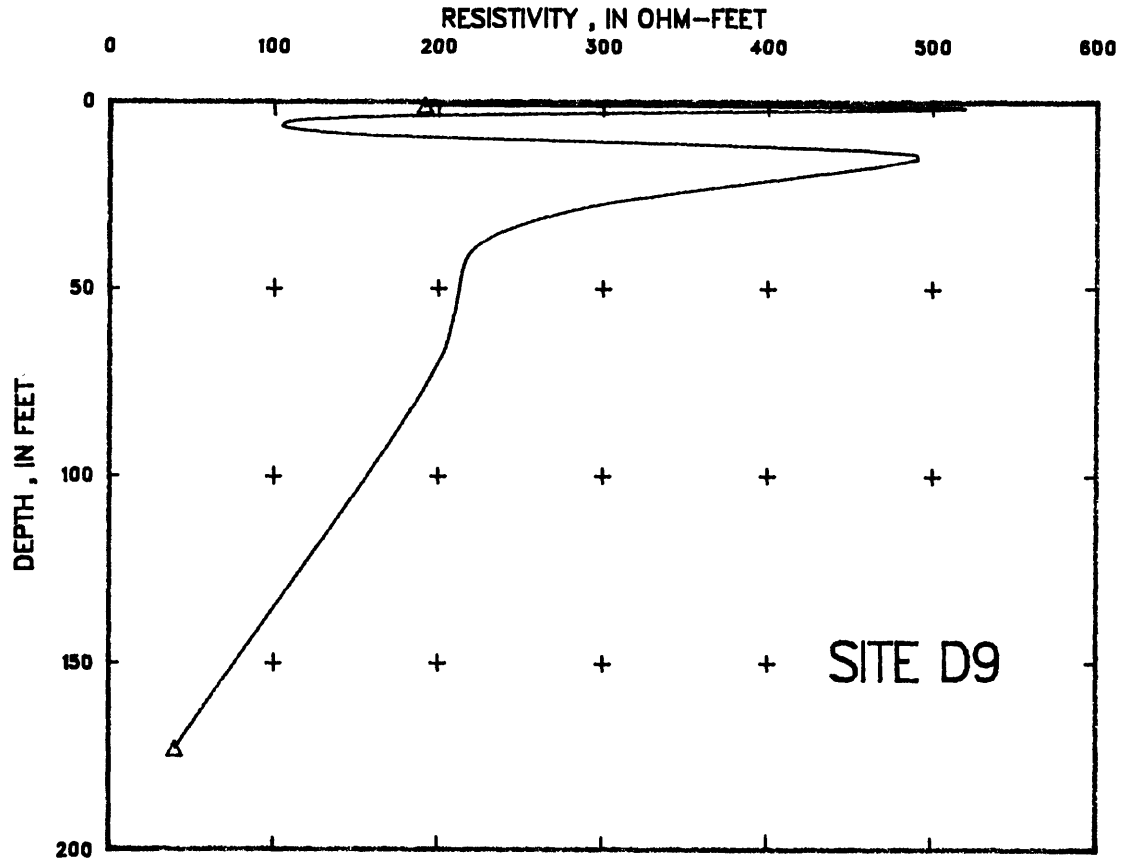
Field data, smoothed data, layer resistivity from smoothed data, and Cartesian graph of resistivity in relation to depth for site D8

Field data		Smoothed data		Layer resistivity from smoothed data		
A-spacing (feet)	Apparent resistivity (ohm-feet)	A-spacing (feet)	Apparent resistivity (ohm-feet)	Thickness (feet)	Depth (feet)	Resistivity (ohm-feet)
1.000	610.000	1.000	610.000	0.1000	0.1000	551.7974
2.000	1,058.000	2.000	740.000	0.0468	0.1468	554.6140
3.000	834.000	3.000	834.000	0.0687	0.2154	554.2301
4.000	861.000	4.000	861.000	0.1008	0.3162	548.3020
5.000	852.000	5.000	852.000	0.1479	0.4641	538.1830
7.000	1,005.000	7.000	860.000	0.2171	0.6813	543.7085
10.000	807.000	10.000	807.000	0.3171	0.9983	617.4498
15.000	700.000	15.000	700.000	0.9440	1.9423	916.9780
20.000	449.000	20.000	449.000	0.9364	2.8788	1,118.6438
30.000	296.000	30.000	296.000	0.9793	3.8580	1,047.9282
40.000	266.000	40.000	266.000	0.9962	4.8542	967.1876
50.000	247.000	50.000	247.000	1.9999	6.8541	903.8496
70.000	220.000	70.000	220.000	2.9957	9.8498	836.4810
100.000	197.000	100.000	180.000	4.8628	14.7126	607.3481
150.000	134.000	150.000	134.000	4.2073	18.9199	318.9080
200.000	72.000	200.000	72.000	6.7771	25.6970	146.3571
300.000	27.000	300.000	27.000	8.2412	33.9381	148.6096
400.000	21.000	400.000	21.000	9.8820	43.8202	238.8536
				19.8429	63.6631	330.1542
				29.6754	93.3384	236.8899
				41.7854	135.1238	106.4068
				29.5161	164.6399	40.2204
				35.9333	200.5732	11.7850



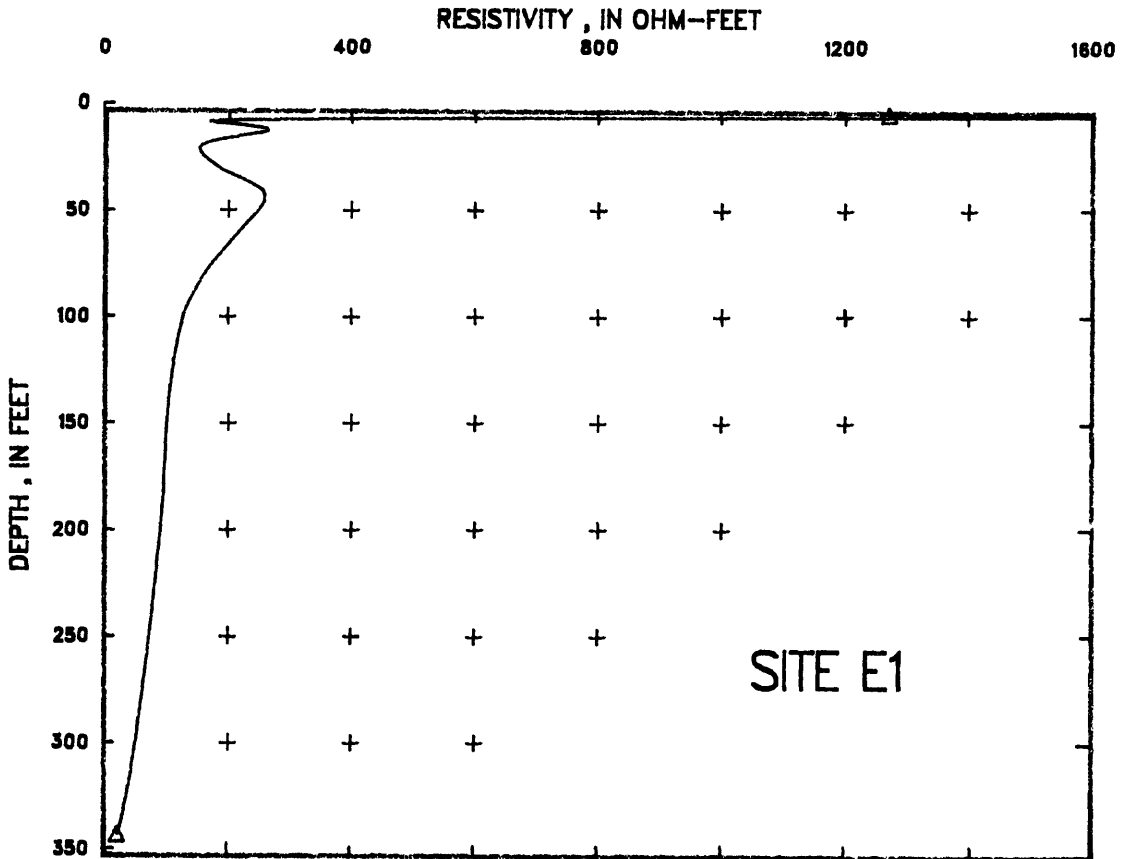
Field data, smoothed data, layer resistivity from smoothed data, and Cartesian graph of resistivity in relation to depth for site D9

Field data		Smoothed data		Layer resistivity from smoothed data		
A-spacing (feet)	Apparent resistivity (ohm-feet)	A-spacing (feet)	Apparent resistivity (ohm-feet)	Thickness (feet)	Depth (feet)	Resistivity (ohm-feet)
1.000	170.000	1.000	170.000	0.1000	0.1000	137.9022
2.000	251.000	2.000	251.000	0.0467	0.1467	148.0658
3.000	269.000	3.000	269.000	0.0686	0.2153	132.4095
4.000	202.000	4.000	269.000	0.1008	0.3161	137.4066
5.000	224.000	5.000	224.000	0.1479	0.4640	133.5811
7.000	232.000	7.000	200.000	0.2171	0.6810	132.1958
10.000	215.000	10.000	215.000	0.3060	0.9870	191.1839
15.000	256.000	15.000	240.000	0.6809	1.6679	517.0112
20.000	251.000	20.000	251.000	0.9285	2.5964	403.4297
30.000	256.000	30.000	256.000	0.9849	3.5813	225.9583
40.000	258.000	40.000	258.000	0.8980	4.4793	139.4037
50.000	242.000	50.000	242.000	1.7398	6.2191	105.2940
70.000	220.000	70.000	220.000	2.9833	9.2024	162.1084
100.000	179.000	100.000	179.000	3.8835	13.0859	431.6358
150.000	108.000	150.000	108.000	4.1706	17.2564	467.5843
200.000	72.000	200.000	72.000	9.9593	27.2157	302.2892
300.000	27.000	300.000	27.000	9.9059	37.1216	229.1313
400.000	19.000			9.8787	47.0003	213.1487
				19.7764	66.7767	202.8574
				29.0831	95.8598	162.8441
				43.7834	139.6432	93.2001
				33.4170	173.0601	39.9005



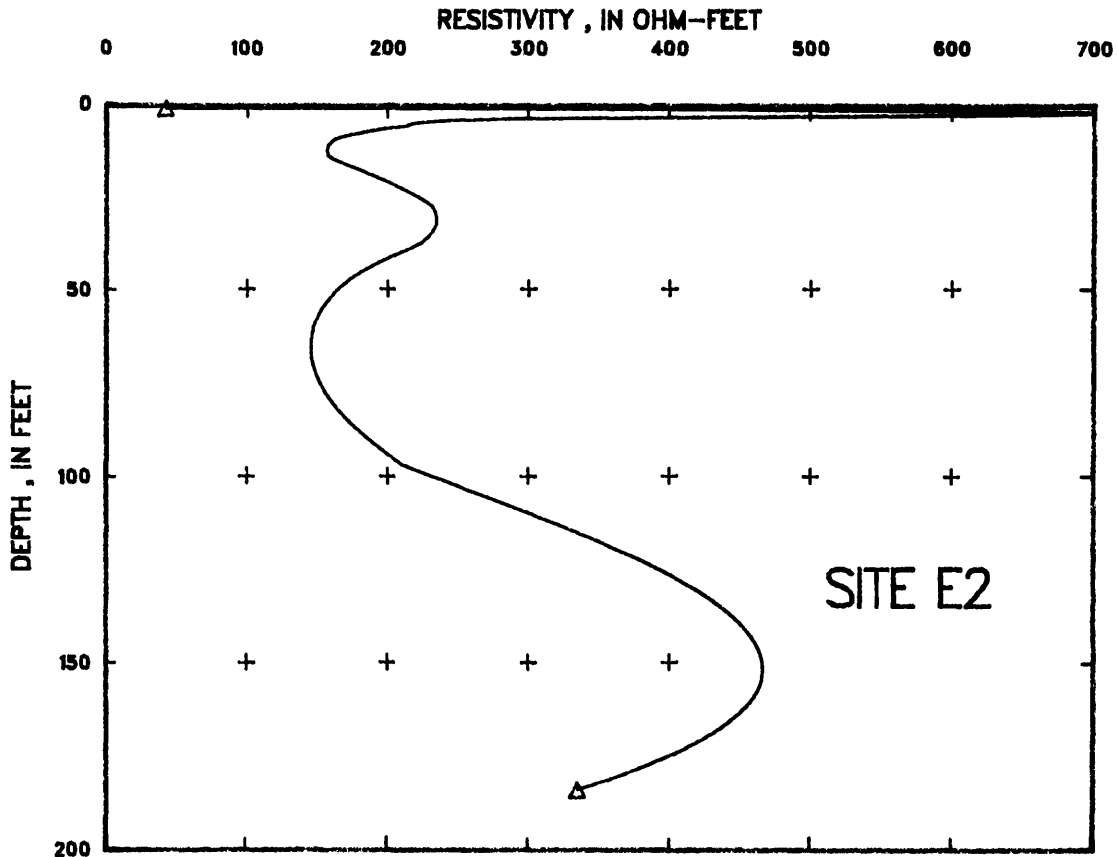
Field data, smoothed data, layer resistivity from smoothed data, and Cartesian graph of resistivity in relation to depth for site E1

Field data		Smoothed data		Layer resistivity from smoothed data		
A-spacing (feet)	Apparent resistivity (ohm-feet)	A-spacing (feet)	Apparent resistivity (ohm-feet)	Thickness (feet)	Depth (feet)	Resistivity (ohm-feet)
1.000	61.000	1.000	61.000	0.1000	0.1000	61.1359
2.000	75.300	2.000	75.300	0.0468	0.1468	60.8394
4.000	119.000	4.000	119.000	0.0687	0.2154	61.6973
6.000	145.000	6.000	145.000	0.1008	0.3162	62.9876
8.000	176.000	8.000	161.000	0.1479	0.4641	62.4488
10.000	170.000	10.000	170.000	0.2162	0.6803	54.8311
12.000	172.000	12.000	172.000	0.3109	0.9912	42.2013
16.000	215.000	16.000	180.000	0.9859	1.9771	67.4999
20.000	179.000	20.000	179.000	0.5041	2.4813	692.3601
30.000	194.000	30.000	194.000	1.5472	4.0284	285.2762
40.000	201.000	40.000	198.000	1.9154	5.9438	213.2484
50.000	197.000	50.000	197.000	1.9951	7.9389	178.2773
70.000	195.000	70.000	195.000	1.9985	9.9375	160.0064
100.000	197.000	100.000	197.000	3.9962	13.9337	157.3918
150.000	215.000	150.000	215.000	3.9858	17.9195	180.1386
200.000	215.000	200.000	215.000	9.6539	27.5734	231.3122
300.000	161.000	300.000	176.000	9.8723	37.4457	223.6274
400.000	143.000			9.9493	47.3950	171.9050
				19.6910	67.0860	145.3054
				29.6676	96.7536	209.7279
				39.2172	135.9708	439.2458
				47.8923	183.8631	334.6553



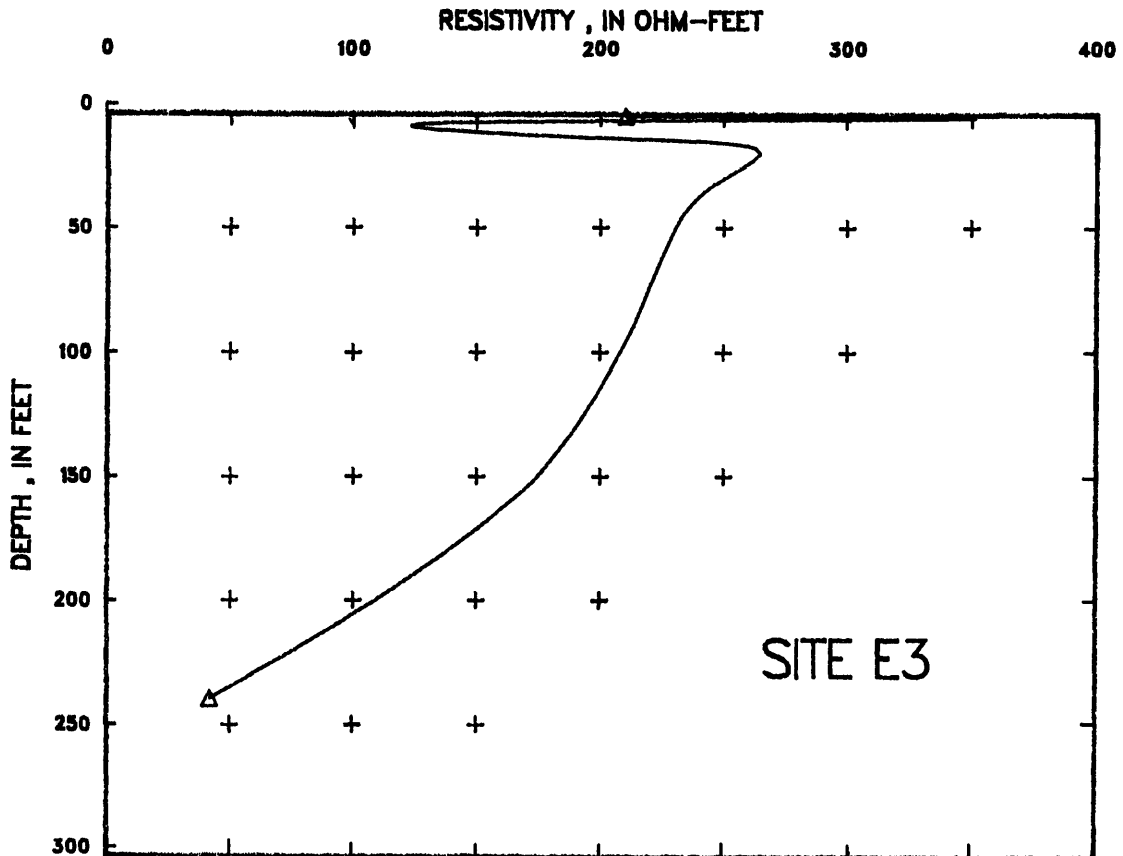
Field data, smoothed data, layer resistivity from smoothed data, and Cartesian graph of resistivity in relation to depth for site E2

Field data		Smoothed data		Layer resistivity from smoothed data		
A-spacing (feet)	Apparent resistivity (ohm-feet)	A-spacing (feet)	Apparent resistivity (ohm-feet)	Thickness (feet)	Depth (feet)	Resistivity (ohm-feet)
1.000	1,047.000	1.000	1,047.000	0.1000	0.1000	986.8451
2.000	1,088.000	2.000	1,088.000	0.0468	0.1468	993.3634
4.000	712.000	4.000	712.000	0.0687	0.2154	992.0033
6.000	440.000	6.000	440.000	0.1008	0.3162	978.3005
8.000	343.000	8.000	343.000	0.1479	0.4641	956.6005
10.000	283.000	10.000	283.000	0.2171	0.6812	998.3986
12.000	251.000	12.000	251.000	0.3117	0.9929	1,269.6206
15.000	235.000	15.000	235.000	0.9635	1.9565	1,566.1255
20.000	209.000	20.000	209.000	1.7859	3.7424	539.9203
30.000	201.000	30.000	201.000	1.3195	5.0618	186.3320
40.000	209.000	40.000	209.000	1.6862	6.7480	208.2079
50.000	198.000	50.000	198.000	1.9152	8.6632	262.1909
70.000	190.000	70.000	190.000	1.9309	10.5941	252.3527
100.000	167.000	100.000	167.000	2.7713	13.3654	193.9778
150.000	126.000	150.000	126.000	4.4942	17.8596	152.2246
200.000	126.000	200.000	100.000	9.8191	27.6787	188.1676
300.000	63.000	300.000	63.000	9.9549	37.6336	255.6284
400.000	25.000	400.000	25.000	9.9923	47.6259	245.9286
500.000	17.000	500.000	17.000	19.7444	67.3703	186.2935
				28.1535	95.5238	127.3861
				46.4324	141.9562	101.0576
				47.3441	189.3003	92.4313
				88.0609	277.3611	59.4100
				62.5291	339.8902	22.3334



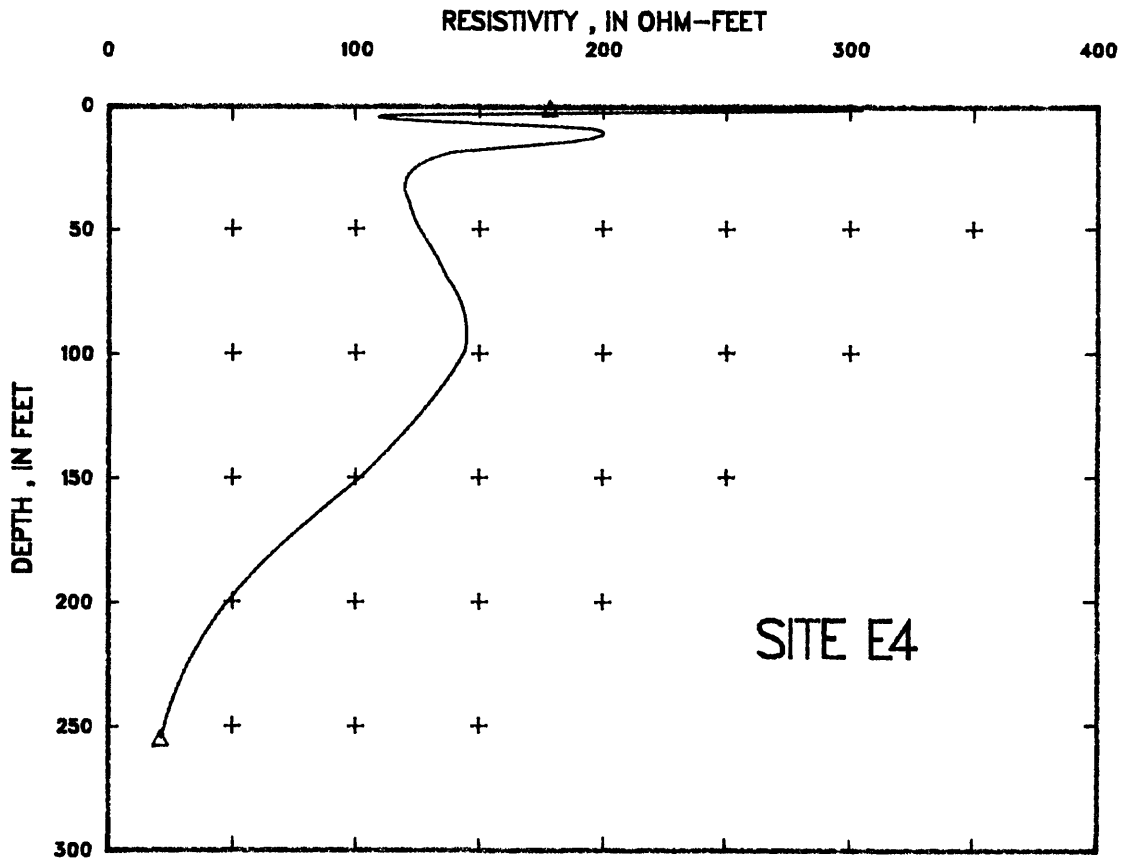
Field data, smoothed data, layer resistivity from smoothed data, and Cartesian graph of resistivity in relation to depth for site E3

Field data		Smoothed data		Layer resistivity from smoothed data		
A-spacing (feet)	Apparent resistivity (ohm-feet)	A-spacing (feet)	Apparent resistivity (ohm-feet)	Thickness (feet)	Depth (feet)	Resistivity (ohm-feet)
1.000	144.000	1.000	144.000	0.1000	0.1000	112.6561
2.000	215.000	2.000	215.000	0.0466	0.1466	123.3867
3.000	215.000	3.000	215.000	0.0684	0.2151	104.3373
4.000	187.000	4.000	187.000	0.1007	0.3158	106.5512
5.000	193.000	5.000	193.000	0.1479	0.4637	109.5926
7.000	176.000	7.000	176.000	0.2154	0.6792	128.0632
10.000	188.000	10.000	188.000	0.2829	0.9620	209.5148
12.000	194.000	12.000	194.000	0.8053	1.7674	348.1417
15.000	188.000	15.000	188.000	0.9972	2.7646	229.0577
20.000	215.000	20.000	215.000	0.9714	3.7360	151.1638
30.000	218.000	30.000	218.000	0.9506	4.6867	124.8337
40.000	222.000	40.000	226.000	1.9568	6.6455	131.4037
50.000	229.000	50.000	229.000	2.9831	9.6286	185.4667
70.000	220.000	70.000	220.000	1.9025	11.5311	240.3037
100.000	206.000	100.000	206.000	2.8326	14.3637	262.6854
150.000	188.000	150.000	176.000	4.8319	19.1955	261.4985
200.000	108.000	200.000	148.000	9.9090	29.1045	245.5477
300.000	81.000	300.000	81.000	9.9835	39.0880	234.9078
400.000	50.000	400.000	50.000	9.9977	49.0656	228.9635
				19.9976	69.0833	220.1753
				29.9446	99.0278	206.3171
				49.4448	148.4726	172.5258
				46.2734	194.7460	111.8628
				68.5652	263.3112	42.0778



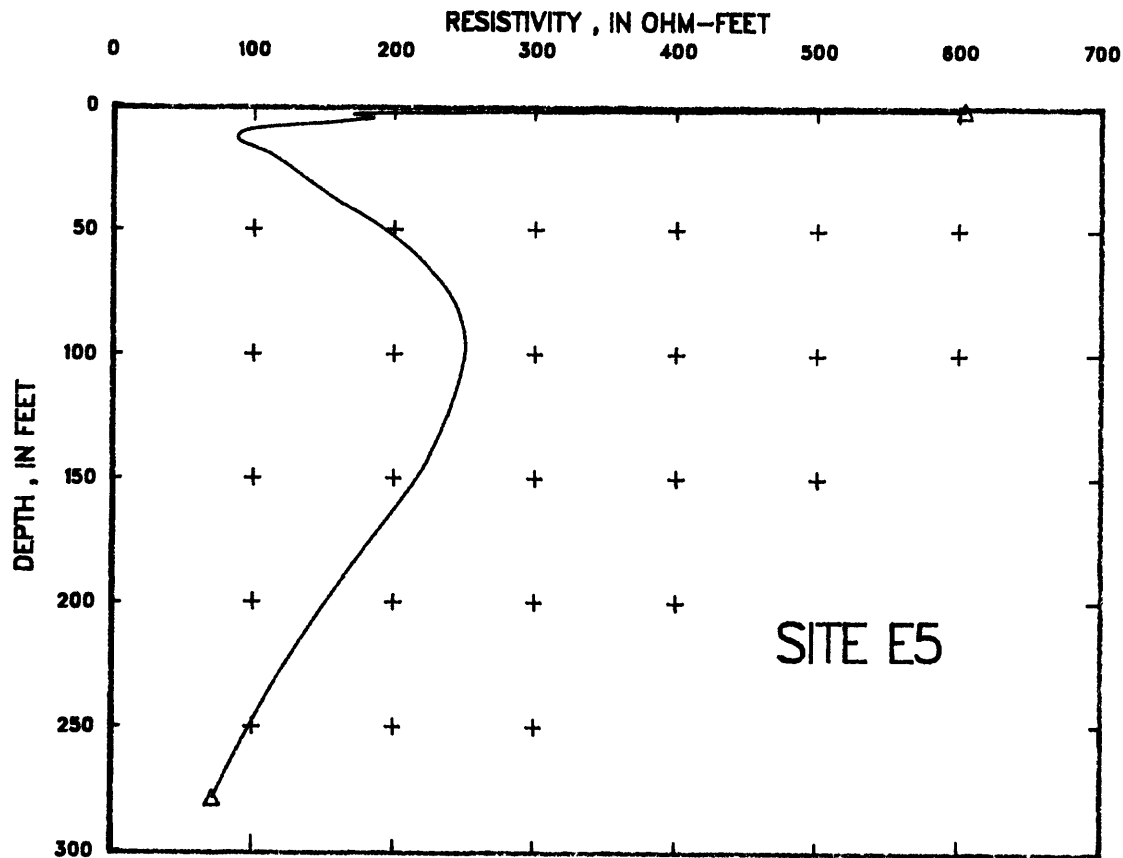
Field data, smoothed data, layer resistivity from smoothed data, and Cartesian graph of resistivity in relation to depth for site E4

Field data		Smoothed data		Layer resistivity from smoothed data		
A-spacing (feet)	Apparent resistivity (ohm-feet)	A-spacing (feet)	Apparent resistivity (ohm-feet)	Thickness (feet)	Depth (feet)	Resistivity (ohm-feet)
1.000	144.000	1.000	144.000	0.1000	0.1000	117.6156
2.000	179.000	2.000	179.000	0.0468	0.1468	118.8833
3.000	191.000	3.000	191.000	0.0686	0.2154	117.8536
4.000	179.000	4.000	179.000	0.1008	0.3162	114.3572
5.000	170.000	5.000	170.000	0.1478	0.4640	111.3054
7.000	176.000	7.000	176.000	0.2168	0.6808	122.8439
10.000	170.000	10.000	170.000	0.3004	0.9812	178.4653
15.000	161.000	15.000	161.000	0.8439	1.8251	303.4361
20.000	151.000	20.000	151.000	0.9978	2.8229	211.2606
30.000	148.000	30.000	148.000	0.9597	3.7826	131.1850
40.000	143.000	40.000	140.000	0.9409	4.7235	108.9154
50.000	134.000	50.000	130.000	1.9783	6.7018	129.2252
70.000	126.000	70.000	126.000	2.9308	9.6326	196.0056
100.000	126.000	100.000	120.000	4.9666	14.5993	188.2723
150.000	94.000	150.000	94.000	4.9440	19.5433	137.2027
200.000	68.000	200.000	74.000	9.8219	29.3652	120.2557
300.000	43.000	300.000	43.000	9.8232	39.2884	121.6133
400.000	25.000	400.000	25.000	9.8619	49.2502	125.2849
				20.0000	69.2502	136.5728
				29.9721	98.2223	143.7170
				49.1235	148.3458	103.2739
				43.1397	191.4854	55.3200
				63.3443	254.8297	21.2417



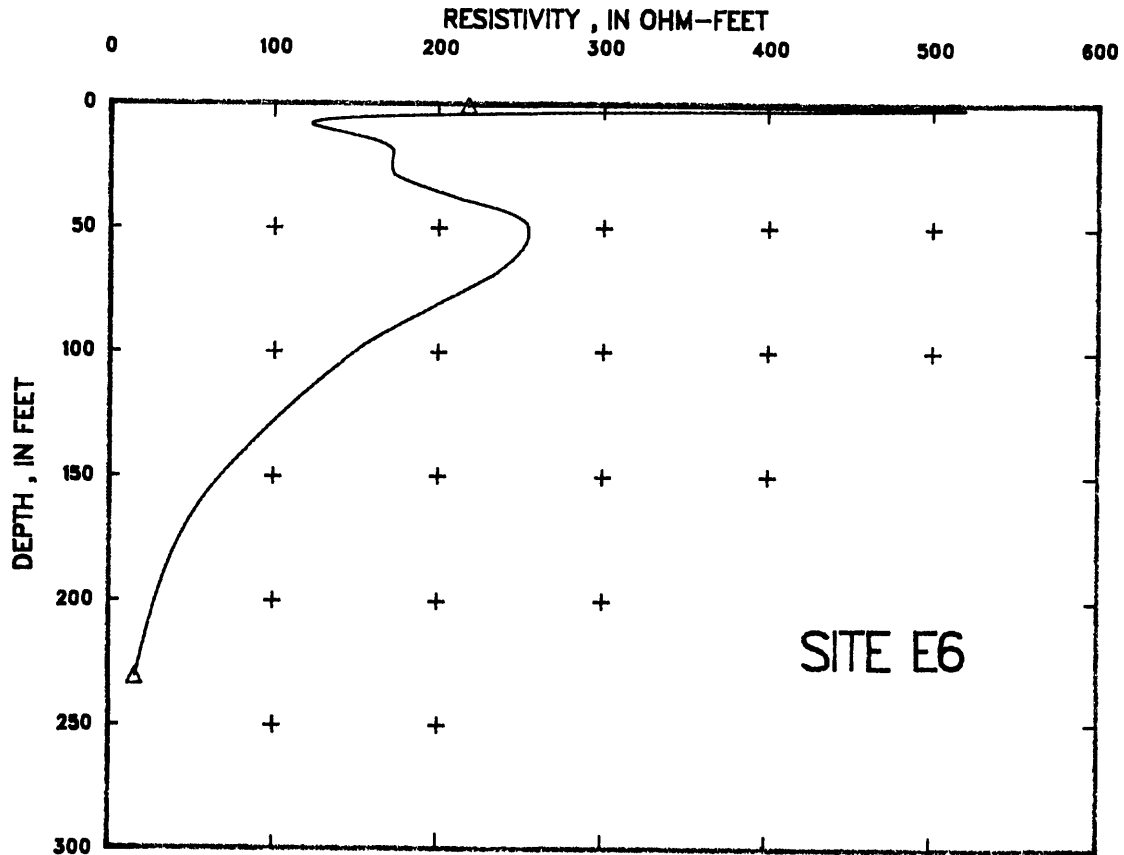
Field data, smoothed data, layer resistivity from smoothed data, and Cartesian graph of resistivity in relation to depth for site E5

Field data		Smoothed data		Layer resistivity from smoothed data		
A-spacing (feet)	Apparent resistivity (ohm-feet)	A-spacing (feet)	Apparent resistivity (ohm-feet)	Thickness (feet)	Depth (feet)	Resistivity (ohm-feet)
1.000	607.000	1.000	607.000	0.1000	0.1000	723.5476
2.000	377.000	2.000	377.000	0.0467	0.1487	720.7079
3.000	251.000	3.000	251.000	0.0687	0.2154	725.5583
4.000	230.000	4.000	230.000	0.1008	0.3162	736.7106
5.000	188.000	5.000	188.000	0.1479	0.4641	745.7983
7.000	161.000	7.000	161.000	0.2171	0.6812	720.0671
10.000	126.000	10.000	126.000	0.3163	0.9975	603.0582
15.000	122.000	15.000	122.000	0.9068	1.9043	305.6506
20.000	123.000	20.000	123.000	0.8387	2.7430	175.3748
30.000	129.000	30.000	129.000	0.9253	3.6683	180.5791
40.000	133.000	40.000	133.000	0.9585	4.6268	184.1967
50.000	143.000	50.000	143.000	1.8727	6.4995	146.8319
70.000	163.000	70.000	163.000	2.6224	9.1219	96.7930
100.000	170.000	100.000	170.000	4.6109	13.7328	88.9169
150.000	215.000	150.000	174.000	4.9571	16.6900	111.0676
200.000	161.000	200.000	160.000	9.9855	26.6754	137.0731
300.000	94.000	300.000	118.000	9.8377	36.5131	161.6818
400.000	83.000	400.000	70.000	9.6111	48.1242	189.4953
				18.7065	66.8307	226.9093
				28.2883	95.1189	249.7950
				49.5527	144.6716	219.8855
				49.4117	194.0833	156.9718
				83.6019	277.6652	71.4830



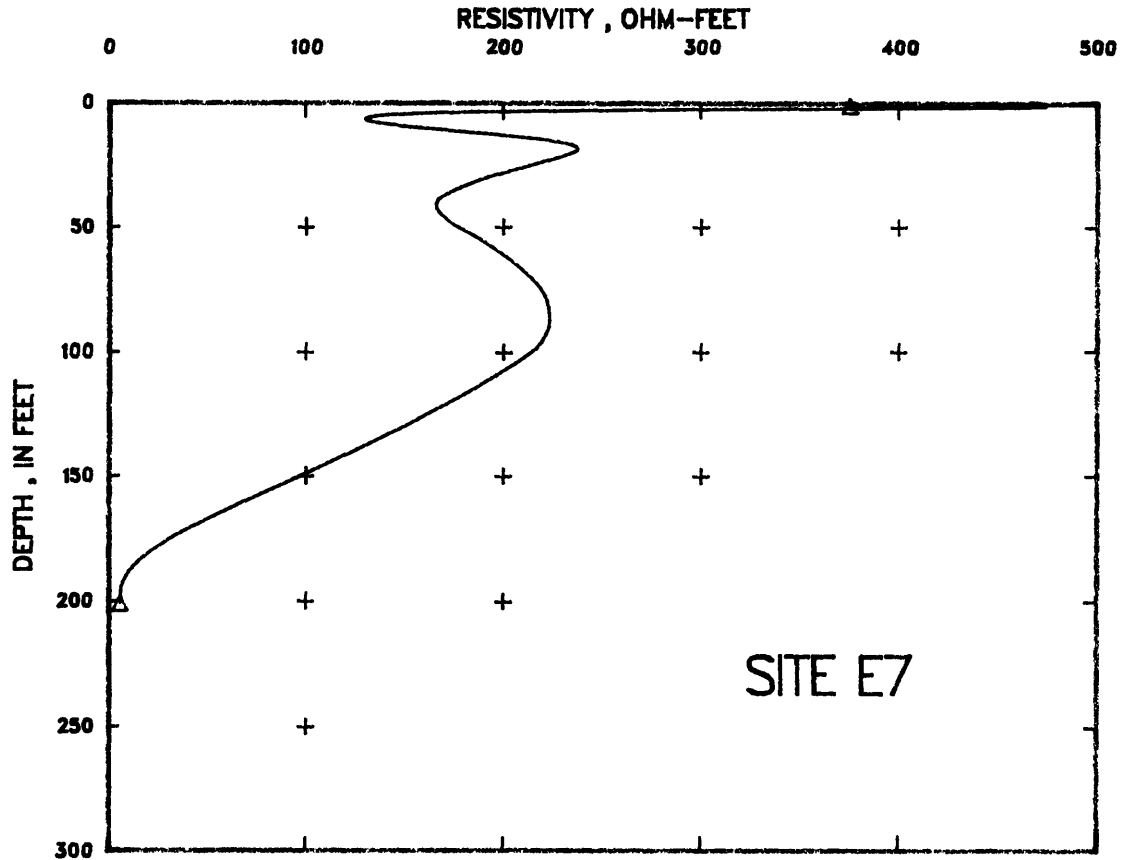
Field data, smoothed data, layer resistivity from smoothed data, and Cartesian graph of resistivity in relation to depth for site E6

Field data		Smoothed data		Layer resistivity from smoothed data		
A-spacing (feet)	Apparent resistivity (ohm-feet)	A-spacing (feet)	Apparent resistivity (ohm-feet)	Thickness (feet)	Depth (feet)	Resistivity (ohm-feet)
1.000	215.000	1.000	215.000	0.1000	0.1000	183.7667
2.000	269.000	2.000	269.000	0.0468	0.1468	184.6941
3.000	322.000	3.000	322.000	0.0687	0.2154	185.6621
4.000	315.000	4.000	315.000	0.1007	0.3162	184.1539
5.000	287.000	5.000	287.000	0.1479	0.4640	177.8984
7.000	251.000	7.000	251.000	0.2171	0.6811	177.7953
10.000	215.000	10.000	215.000	0.3150	0.9962	217.5143
15.000	188.000	15.000	188.000	0.8365	1.8327	444.6363
20.000	179.000	20.000	179.000	0.8866	2.7192	515.8317
30.000	174.000	30.000	174.000	0.9998	3.7191	332.8196
40.000	179.000	40.000	179.000	0.9510	4.6701	215.2351
50.000	193.000	50.000	185.000	1.7599	6.4300	141.4124
70.000	188.000	70.000	188.000	2.7197	9.1496	122.7915
100.000	161.000	100.000	161.000	4.9444	14.0941	155.6412
150.000	121.000	150.000	121.000	4.9954	19.0895	172.1098
200.000	90.000	200.000	90.000	9.9965	29.0860	172.9738
300.000	38.000	300.000	38.000	9.8694	38.9553	213.5886
400.000	25.000	400.000	23.000	9.6241	48.5794	253.0940
				19.7816	68.3610	234.9290
				29.4311	97.7921	153.6736
				43.3378	141.1298	80.6038
				36.0803	177.2101	40.9260
				53.3947	230.6048	16.0908



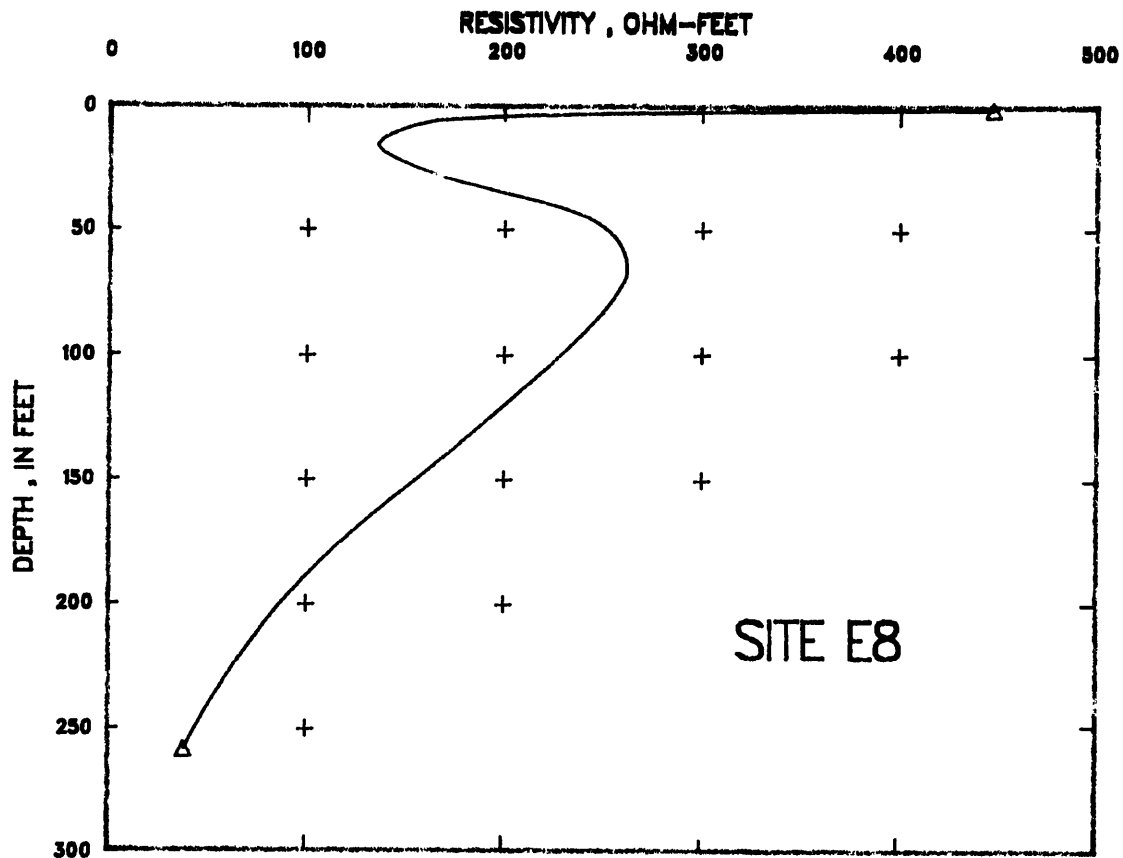
Field data, smoothed data, layer resistivity from smoothed data, and Cartesian graph of resistivity in relation to depth for site E7

Field data		Smoothed data		Layer resistivity from smoothed data		
A-spacing (feet)	Apparent resistivity (ohm-feet)	A-spacing (feet)	Apparent resistivity (ohm-feet)	Thickness (feet)	Depth (feet)	Resistivity (ohm-feet)
1.000	188.000	1.000	188.000	0.1000	0.1000	125.5900
2.000	272.000	2.000	272.000	0.0468	0.1468	125.6469
3.000	270.000	3.000	270.000	0.0686	0.2154	121.4181
4.000	258.000	4.000	258.000	0.1007	0.3161	116.7190
5.000	245.000	5.000	245.000	0.1479	0.4640	125.4521
7.000	205.000	7.000	205.000	0.2048	0.6687	186.4046
10.000	198.000	10.000	190.000	0.2316	0.9004	375.0805
15.000	173.000	15.000	180.000	0.8052	1.7055	459.7577
20.000	195.000	20.000	188.000	0.9978	2.7033	299.5850
30.000	195.000	30.000	195.000	0.9744	3.6778	202.8549
40.000	192.000	40.000	192.000	0.9343	4.6121	153.6118
50.000	192.000	50.000	190.000	1.8599	6.4720	129.9129
70.000	176.000	70.000	176.000	2.9470	9.4190	146.6549
100.000	167.000	100.000	167.000	4.9514	14.3704	212.4174
150.000	134.000	150.000	134.000	4.9061	19.2766	237.2742
200.000	90.000	200.000	90.000	9.9981	29.2747	195.2076
300.000	38.000	300.000	38.000	9.9299	39.2045	166.6134
400.000	25.000	400.000	25.000	9.9770	49.1816	174.8076
				19.8678	69.0693	211.7266
				29.8676	98.9370	216.5728
				46.6010	145.5379	110.4070
				29.2426	174.7805	32.3947
				26.1892	200.9698	6.3826



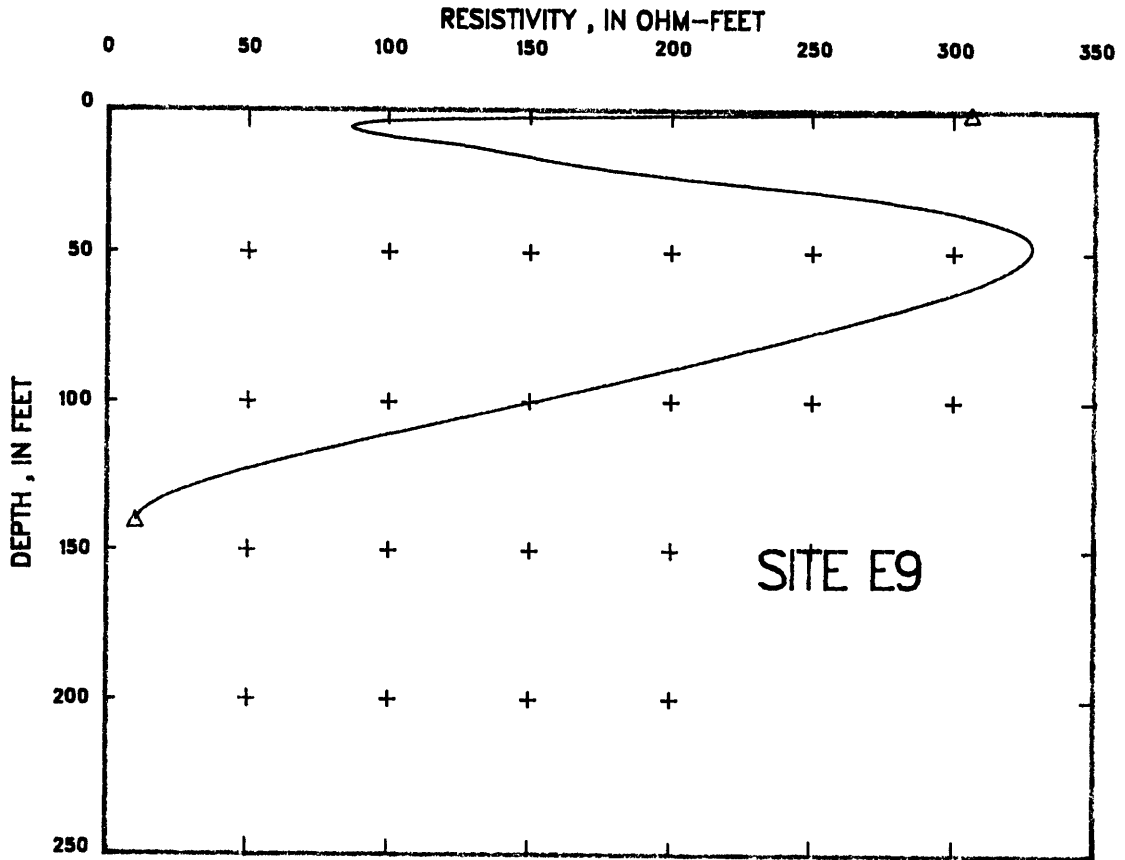
Field data, smoothed data, layer resistivity from smoothed data, and Cartesian graph of resistivity in relation to depth for site E8

Field data		Smoothed data		Layer resistivity from smoothed data		
A-spacing (feet)	Apparent resistivity (ohm-feet)	A-spacing (feet)	Apparent resistivity (ohm-feet)	Thickness (feet)	Depth (feet)	Resistivity (ohm-feet)
1.000	161.000	1.000	161.000	0.1000	0.1000	101.9579
2.000	251.000	2.000	251.000	0.0468	0.1468	100.8022
3.000	256.000	3.000	256.000	0.0686	0.2154	97.0447
4.000	258.000	4.000	258.000	0.1007	0.3161	94.0484
5.000	256.000	5.000	256.000	0.1478	0.4638	103.7949
6.000	226.000	6.000	226.000	0.2020	0.6658	158.6201
7.000	232.000	7.000	232.000	0.2215	0.8874	331.2279
10.000	197.000	10.000	197.000	0.7444	1.6318	447.2004
15.000	215.000	15.000	180.000	0.9688	2.6006	329.9446
20.000	161.000	20.000	161.000	0.9994	3.6000	256.6523
30.000	166.000	30.000	166.000	0.9874	4.5874	211.2200
40.000	179.000	40.000	179.000	0.9743	5.5617	183.8736
50.000	179.000	50.000	179.000	0.9670	6.5287	167.5122
70.000	195.000	70.000	188.000	2.8950	9.4237	151.1148
100.000	188.000	100.000	188.000	4.8579	14.2816	137.4315
150.000	161.000	150.000	161.000	4.9341	19.2157	138.1971
200.000	125.000	200.000	125.000	9.9997	29.2155	166.7200
300.000	75.000	300.000	75.000	9.7544	38.9699	214.5077
400.000	39.000	400.000	39.000	9.5540	48.5239	247.9313
				19.2505	67.7744	261.8495
				29.8528	97.6272	232.8033
				49.2058	146.8329	161.8929
				44.9521	191.7851	97.4099
				67.5272	259.3123	38.4344



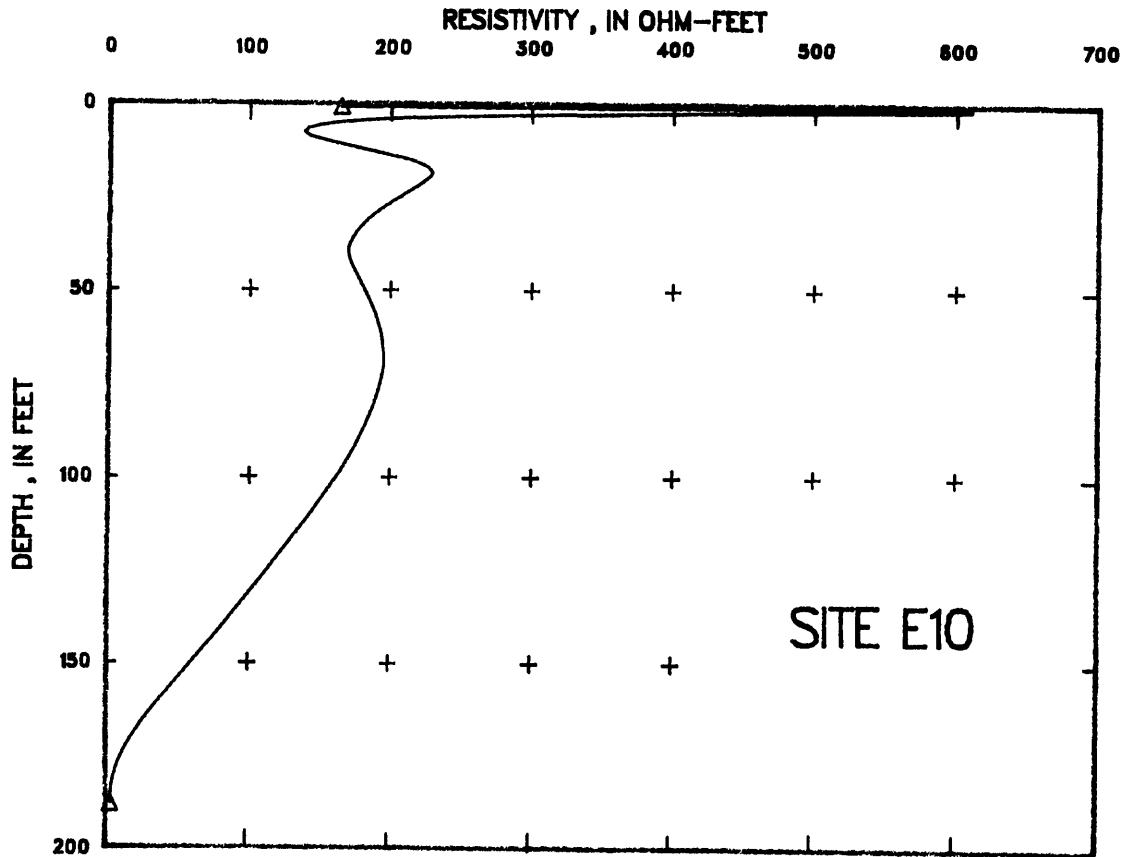
Field data, smoothed data, layer resistivity from smoothed data, and Cartesian graph of resistivity in relation to depth for site E9

Field data		Smoothed data		Layer resistivity from smoothed data		
A-spacing (feet)	Apparent resistivity (ohm-feet)	A-spacing (feet)	Apparent resistivity (ohm-feet)	Thickness (feet)	Depth (feet)	Resistivity (ohm-feet)
1.000	107.000	1.000	107.000	0.0800	0.0800	61.8021
2.000	181.000	2.000	181.000	0.0374	0.1174	63.5880
3.000	187.000	3.000	187.000	0.0549	0.1723	59.4922
4.000	181.000	4.000	181.000	0.0802	0.2525	51.9160
5.000	181.000	5.000	181.000	0.1180	0.3705	52.9227
6.000	145.000	6.000	145.000	0.1838	0.5341	85.9165
7.000	138.000	7.000	138.000	0.1658	0.8999	203.9444
10.000	128.000	10.000	128.000	0.5329	1.2328	305.8657
15.000	128.000	15.000	128.000	0.7383	1.9711	237.1043
20.000	138.000	20.000	138.000	0.7975	2.7688	185.8136
30.000	158.000	30.000	158.000	0.7930	3.5816	143.4596
40.000	169.000	40.000	169.000	0.7715	4.3331	114.4609
50.000	179.000	50.000	179.000	0.7536	5.0867	96.9726
70.000	188.000	70.000	188.000	2.2661	7.3528	86.1470
100.000	179.000	100.000	179.000	3.9623	11.3151	99.4968
150.000	148.000	150.000	148.000	3.9782	15.2933	129.4378
200.000	113.000	200.000	113.000	7.6880	22.9793	167.2788
300.000	43.000	300.000	43.000	7.2596	30.2389	221.0735
400.000	39.000	400.000	39.000	8.9084	37.1483	276.1818
				13.7025	50.8508	325.4729
				22.6245	73.4753	300.6389
				39.3589	112.8342	169.3574
				29.0512	141.8853	60.0951
				23.8526	165.7379	10.2228



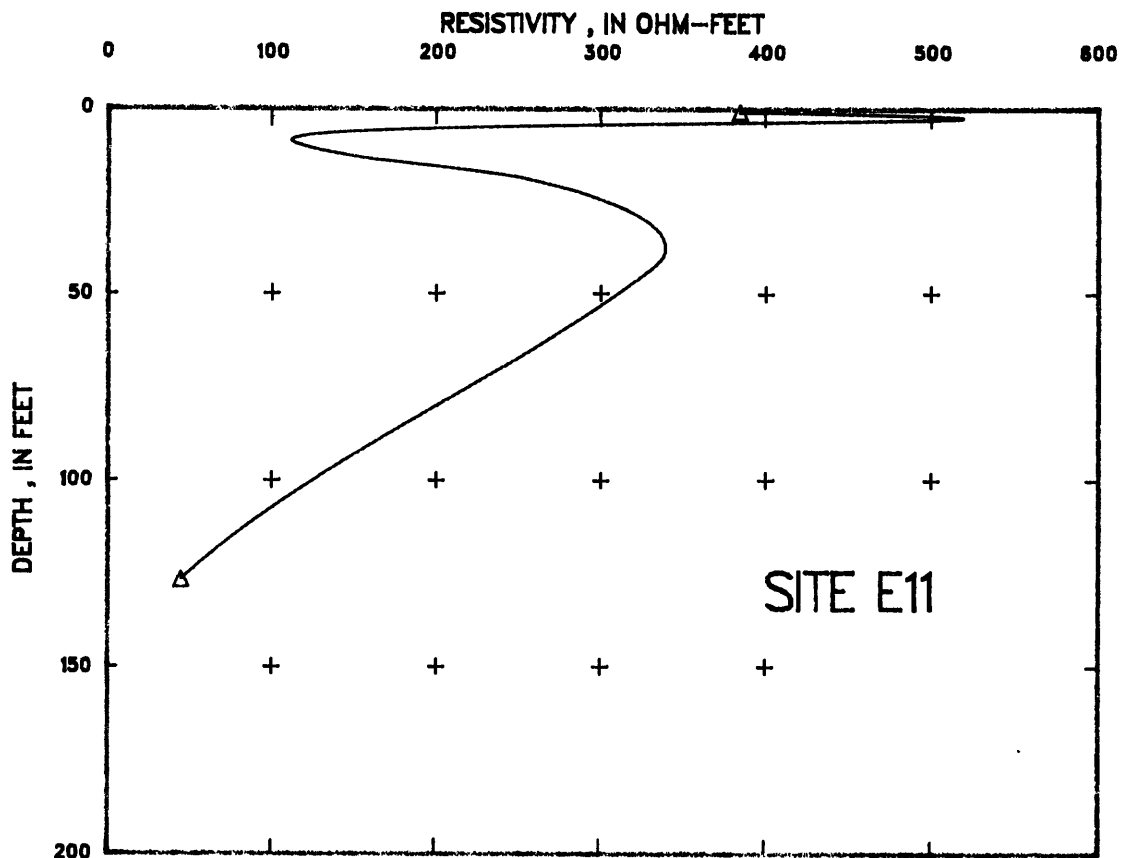
Field data, smoothed data, layer resistivity from smoothed data, and Cartesian graph of resistivity in relation to depth for site E10

Field data		Smoothed data		Layer resistivity from smoothed data		
A-spacing (feet)	Apparent resistivity (ohm-feet)	A-spacing (feet)	Apparent resistivity (ohm-feet)	Thickness (feet)	Depth (feet)	Resistivity (ohm-feet)
1.000	144.000	1.000	144.000	0.1000	0.1000	109.5425
2.000	287.000	2.000	287.000	0.0460	0.1460	136.7285
3.000	269.000	3.000	269.000	0.0679	0.2139	93.2945
4.000	266.000	4.000	266.000	0.1008	0.3147	107.0738
5.000	242.000	5.000	242.000	0.1479	0.4626	110.2470
7.000	214.000	7.000	220.000	0.2171	0.6797	106.8345
10.000	215.000	10.000	215.000	0.3004	0.9801	164.4241
15.000	215.000	15.000	202.000	0.5296	1.5097	607.4440
20.000	197.000	20.000	197.000	0.8333	2.3430	469.2658
30.000	191.000	30.000	191.000	0.9984	3.3414	297.6949
40.000	183.000	40.000	183.000	0.9755	4.3168	206.0471
50.000	179.000	50.000	180.000	1.8623	6.1791	148.6343
70.000	176.000	70.000	176.000	2.8721	9.0512	142.1669
100.000	144.000	100.000	148.000	4.9992	14.0504	198.0824
150.000	108.000	150.000	108.000	4.9522	19.0026	229.1591
200.000	54.000	200.000	68.000	9.9888	28.9914	190.7491
300.000	30.000	300.000	30.000	9.9416	38.9330	169.4979
400.000	19.000	400.000	19.000	9.9871	48.9201	179.5271
				19.9908	68.9109	195.5092
				29.8187	98.7296	164.8839
				43.4511	142.1807	78.4593
				25.9515	168.1321	22.4474
				20.2402	188.3724	3.7678



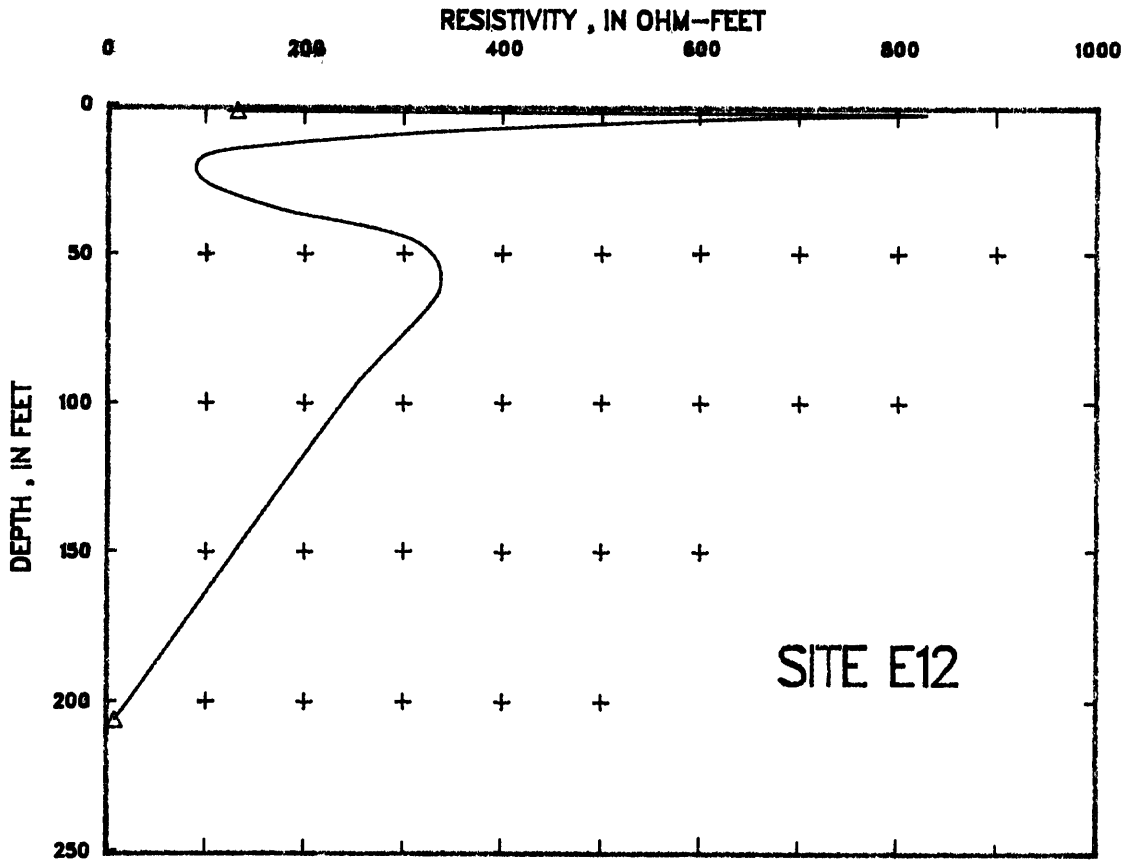
Field data, smoothed data, layer resistivity from smoothed data, and Cartesian graph of resistivity in relation to depth for site E11

Field data		Smoothed data		Layer resistivity from smoothed data		
A-spacing (feet)	Apparent resistivity (ohm-feet)	A-spacing (feet)	Apparent resistivity (ohm-feet)	Thickness (feet)	Depth (feet)	Resistivity (ohm-feet)
1.000	356.000	1.000	356.000	0.1000	0.1000	356.3304
2.000	395.000	2.000	395.000	0.0468	0.1468	356.3666
3.000	538.000	3.000	538.000	0.0686	0.2153	354.4504
4.000	431.000	4.000	431.000	0.1008	0.3161	351.5571
5.000	323.000	5.000	323.000	0.1479	0.4640	347.9383
7.000	245.000	7.000	245.000	0.2171	0.6812	353.2463
10.000	197.000	10.000	197.000	0.3179	0.9991	383.9610
15.000	220.000	15.000	220.000	0.9771	1.9762	491.2894
20.000	179.000	20.000	179.000	0.9875	2.9636	511.6284
30.000	239.000	30.000	239.000	0.9916	3.9552	370.6943
40.000	251.000	40.000	251.000	0.8270	4.8822	245.0799
50.000	293.000	50.000	293.000	1.6562	6.5385	147.3079
70.000	264.000	70.000	264.000	2.4957	9.0342	111.4201
100.000	199.000	100.000	199.000	4.9133	13.9474	159.5151
150.000	135.000	150.000	135.000	4.8724	18.8198	251.5409
200.000	54.000	200.000	54.000	9.3935	28.2133	318.5363
				9.5370	37.7504	339.0151
				9.8361	47.5864	317.2119
				19.9597	67.5462	248.2665
				27.7072	95.2534	141.9129
				31.5467	126.8001	45.1854



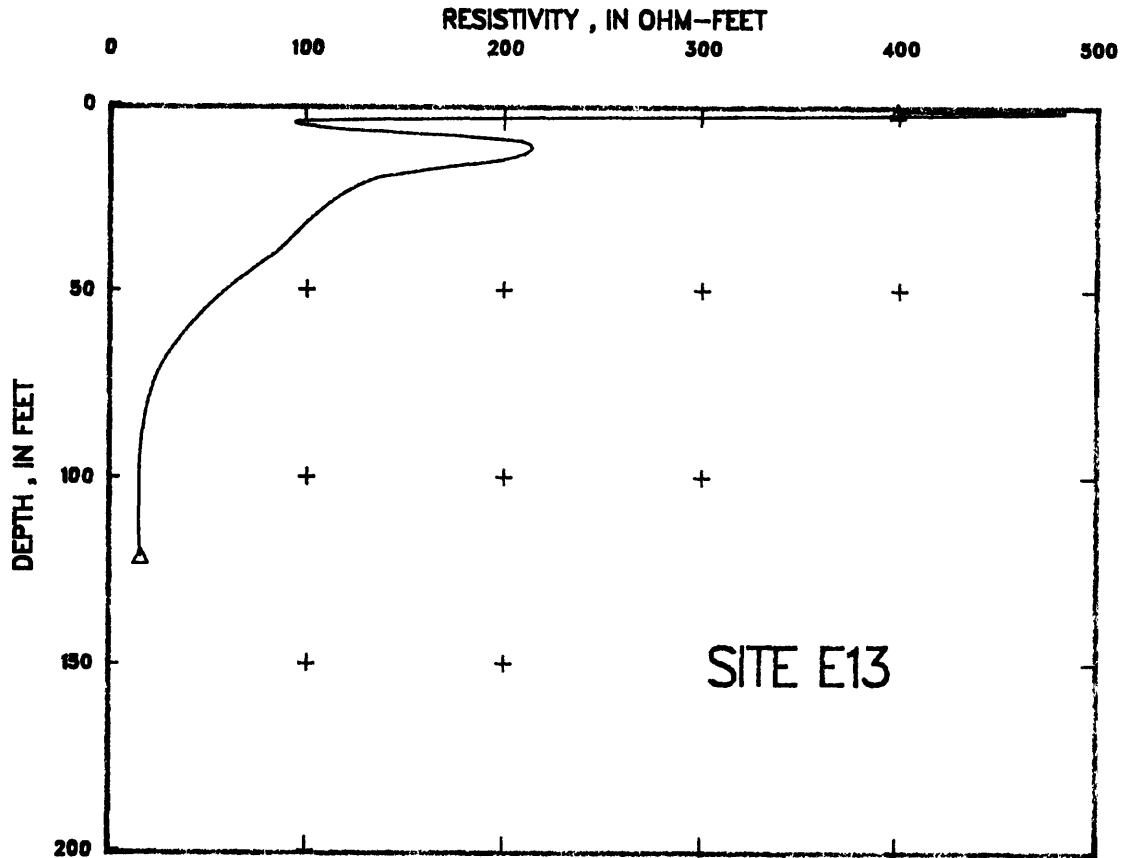
Field data, smoothed data, layer resistivity from smoothed data, and Cartesian graph of resistivity in relation to depth for site E12

Field data		Smoothed data		Layer resistivity from smoothed data		
A-spacing (feet)	Apparent resistivity (ohm-feet)	A-spacing (feet)	Apparent resistivity (ohm-feet)	Thickness (feet)	Depth (feet)	Resistivity (ohm-feet)
1.000	117.000	1.000	117.000	0.1000	0.1000	83.8588
2.000	179.000	2.000	179.000	0.0468	0.1468	84.6661
3.000	234.000	3.000	234.000	0.0687	0.2154	83.5838
4.000	269.000	4.000	269.000	0.1007	0.3162	80.7252
5.000	310.000	5.000	310.000	0.1478	0.4640	78.7422
7.000	364.000	7.000	364.000	0.2167	0.6807	88.3206
10.000	359.000	10.000	359.000	0.2975	0.9782	131.3374
15.000	269.000	15.000	269.000	0.6527	1.6309	352.7023
20.000	233.000	20.000	233.000	0.4636	2.0944	809.1423
30.000	194.000	30.000	194.000	0.6182	2.7127	782.5201
40.000	176.000	40.000	176.000	0.7853	3.4980	650.2499
50.000	184.000	50.000	184.000	1.8833	5.3813	508.2539
70.000	201.000	70.000	201.000	2.9865	8.3678	326.0889
100.000	188.000	100.000	188.000	4.4343	12.8021	185.5189
150.000	161.000	150.000	161.000	3.9256	16.7277	95.8280
200.000	108.000	200.000	124.000	9.0029	25.7306	101.1399
300.000	56.000	300.000	56.000	9.8134	35.6440	189.3814
400.000	25.000	400.000	25.000	8.6865	44.3305	308.2681
				17.8245	62.1549	334.3573
				29.7875	91.9424	253.5899
				48.1030	140.0454	148.5739
				38.5699	178.6153	66.1098
				26.4611	205.0764	8.7832



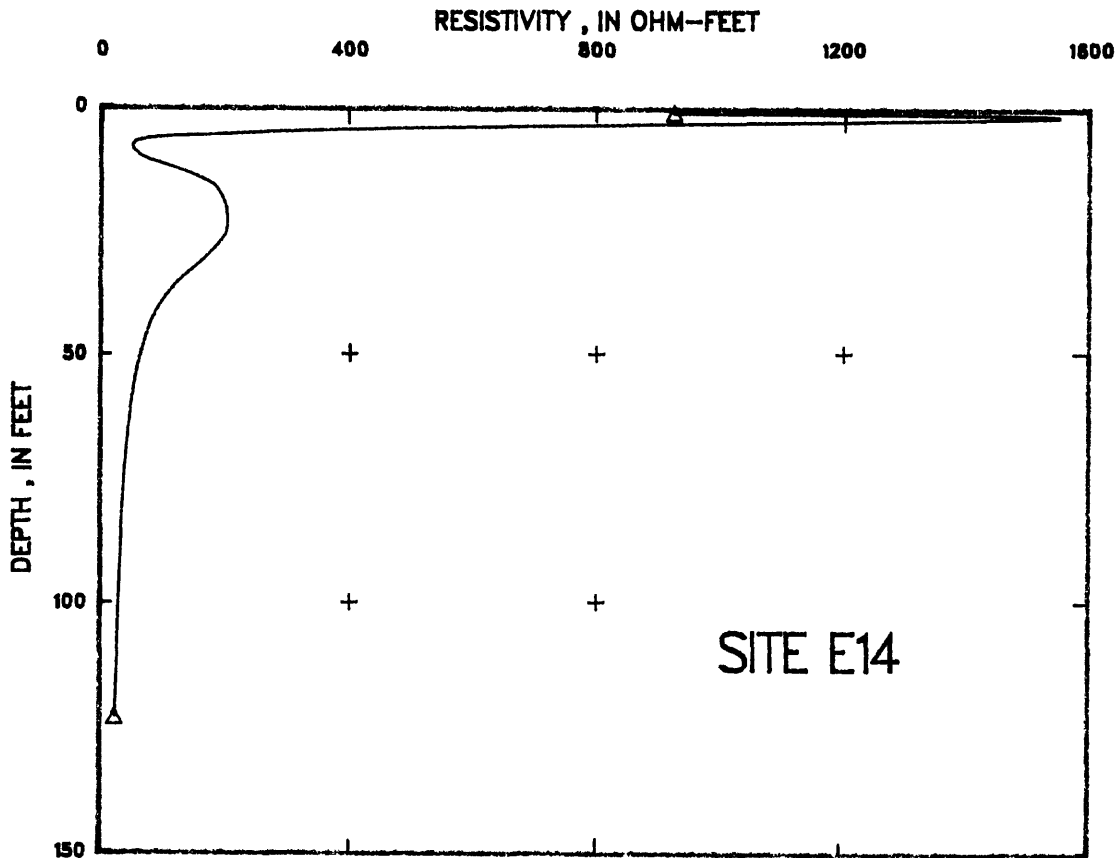
Field data, smoothed data, layer resistivity from smoothed data, and Cartesian graph of resistivity in relation to depth for site E13

Field data		Smoothed data		Layer resistivity from smoothed data		
A-spacing (feet)	Apparent resistivity (ohm-feet)	A-spacing (feet)	Apparent resistivity (ohm-feet)	Thickness (feet)	Depth (feet)	Resistivity (ohm-feet)
1.000	314.000	1.000	314.000	0.1000	0.1000	295.0071
2.000	358.000	2.000	356.000	0.0468	0.1468	294.9895
3.000	251.000	3.000	251.000	0.0687	0.2154	291.6347
4.000	214.000	4.000	214.000	0.1008	0.3162	286.4476
5.000	188.000	5.000	188.000	0.1479	0.4641	288.3610
7.000	176.000	7.000	176.000	0.2166	0.6807	316.0115
10.000	170.000	10.000	170.000	0.3098	0.9905	398.5723
15.000	157.000	15.000	157.000	0.9745	1.9650	450.4968
20.000	136.000	20.000	138.000	0.9501	2.9151	232.1667
30.000	128.000	30.000	126.000	0.8049	3.7200	118.8041
40.000	109.000	40.000	109.000	0.8018	4.5218	93.6991
50.000	84.000	50.000	84.000	1.8885	6.4102	121.5968
70.000	59.000	70.000	59.000	2.9662	9.3764	208.5775
100.000	31.000	100.000	31.000	4.9902	14.3666	198.4815
150.000	19.000	150.000	19.000	4.8734	19.2401	135.0450
200.000	10.000	200.000	10.000	9.5007	28.7407	104.8831
				9.4001	38.1408	86.5935
				8.9374	47.0782	63.7801
				15.2644	62.3426	35.0248
				19.6032	81.9458	18.0642
				38.6863	120.6321	16.0259



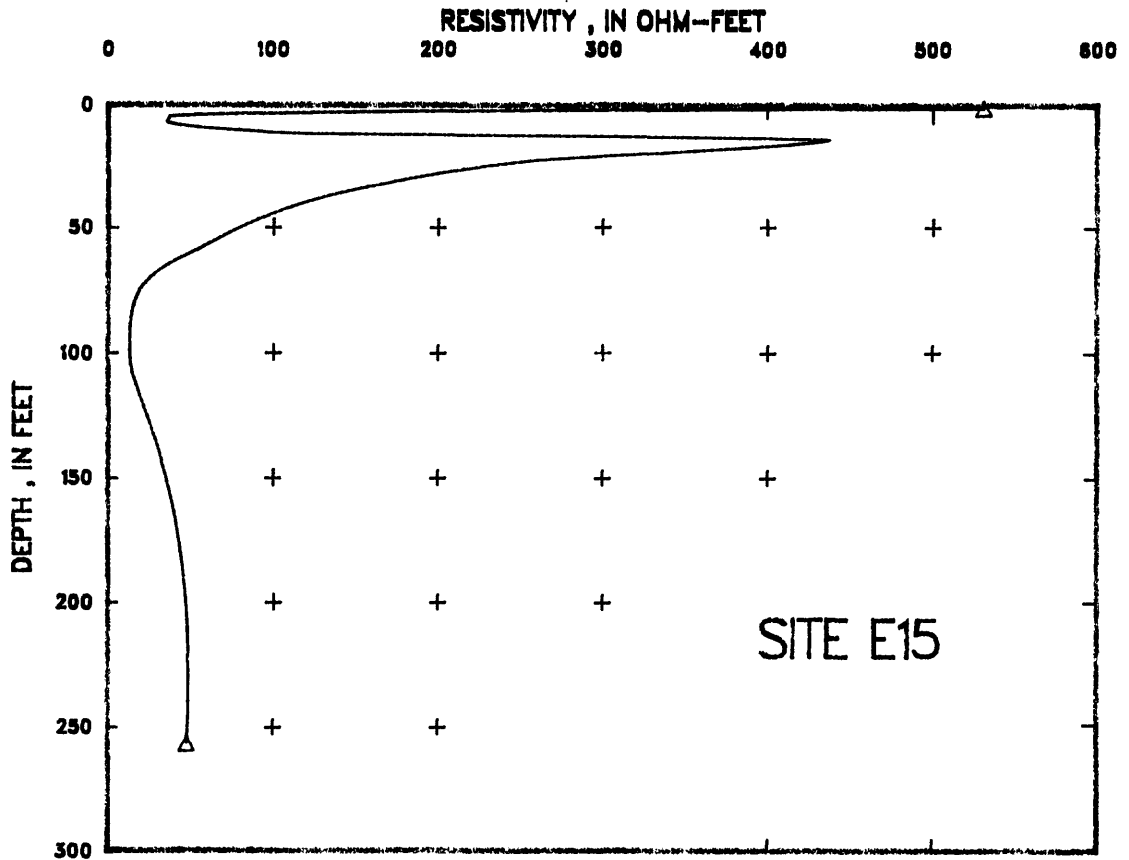
Field data, smoothed data, layer resistivity from smoothed data, and Cartesian graph of resistivity in relation to depth for site E14

Field data		Smoothed data		Layer resistivity from smoothed data		
A-spacing (feet)	Apparent resistivity (ohm-feet)	A-spacing (feet)	Apparent resistivity (ohm-feet)	Thickness (feet)	Depth (feet)	Resistivity (ohm-feet)
1.000	691.000	1.000	691.000	0.1000	0.1000	563.6532
2.000	921.000	2.000	921.000	0.0465	0.1465	649.7726
3.000	879.000	3.000	879.000	0.0682	0.2146	491.3071
4.000	837.000	4.000	837.000	0.1007	0.3154	528.3646
5.000	628.000	5.000	628.000	0.1479	0.4632	565.5670
7.000	410.000	7.000	410.000	0.2157	0.6789	635.0881
10.000	241.000	10.000	241.000	0.2955	0.9744	926.9143
15.000	160.000	15.000	160.000	0.8356	1.8101	1,551.3144
20.000	130.000	20.000	130.000	0.9880	2.7981	1,187.7317
30.000	138.000	30.000	138.000	0.9634	3.7615	699.1420
40.000	111.000	40.000	111.000	0.8362	4.5976	392.6651
50.000	99.000	50.000	99.000	1.2056	5.8032	158.4738
70.000	66.000	70.000	66.000	1.2161	7.0194	54.3098
100.000	45.000	100.000	45.000	3.6890	10.7083	78.0176
150.000	27.000	150.000	27.000	4.9993	15.7077	182.7255
200.000	18.000	200.000	18.000	9.9596	25.6673	201.1284
				6.6156	35.2829	123.6780
				8.7254	44.0082	78.4283
				15.7373	59.7455	48.8441
				23.4099	83.1555	34.5392
				39.5673	122.7428	24.7831



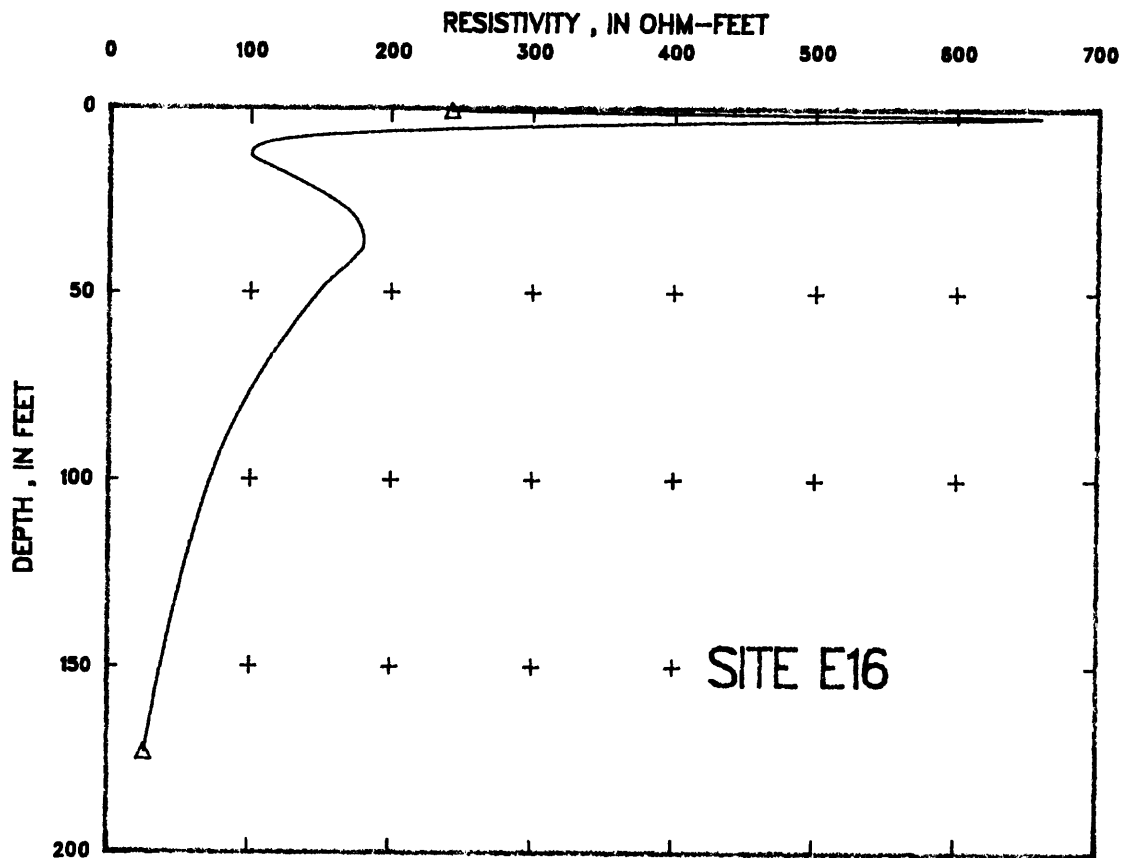
Field data, smoothed data, layer resistivity from smoothed data, and Cartesian graph of resistivity in relation to depth for site E15

Field data		Smoothed data		Layer resistivity from smoothed data		
A-spacing (feet)	Apparent resistivity (ohm-feet)	A-spacing (feet)	Apparent resistivity (ohm-feet)	Thickness (feet)	Depth (feet)	Resistivity (ohm-feet)
1.000	206.000	1.000	206.000	0.1000	0.1000	120.0062
2.000	287.000	2.000	287.000	0.0468	0.1468	118.5629
3.000	269.000	3.000	269.000	0.0686	0.2154	113.1427
4.000	233.000	4.000	233.000	0.1007	0.3160	109.9035
5.000	197.000	5.000	197.000	0.1470	0.4631	131.5659
7.000	151.000	7.000	151.000	0.1853	0.6484	238.8015
10.000	117.000	10.000	117.000	0.1741	0.8224	588.9669
15.000	117.000	15.000	104.000	0.7909	1.6133	530.6293
20.000	111.000	20.000	111.000	0.9994	2.6127	296.6808
30.000	135.000	30.000	135.000	0.9089	3.5216	159.0242
40.000	122.000	40.000	130.000	0.7438	4.2654	82.7125
50.000	121.000	50.000	121.000	1.1294	5.3948	36.9781
70.000	100.000	70.000	100.000	2.1576	7.5524	35.2010
100.000	54.000	100.000	70.000	4.8184	12.3708	120.0021
150.000	38.000	150.000	38.000	2.3623	14.7331	437.2718
200.000	25.000	200.000	30.000	8.3416	23.0747	260.0209
300.000	38.000	300.000	28.000	9.9844	33.0591	164.9577
400.000	25.000	400.000	18.000	9.6622	42.7213	108.0966
500.000	28.000			16.3646	59.0859	54.5687
				16.5456	75.6315	18.6738
				32.8305	108.4620	14.6704
				49.9760	158.4380	38.3017
				98.7670	257.2058	47.8231



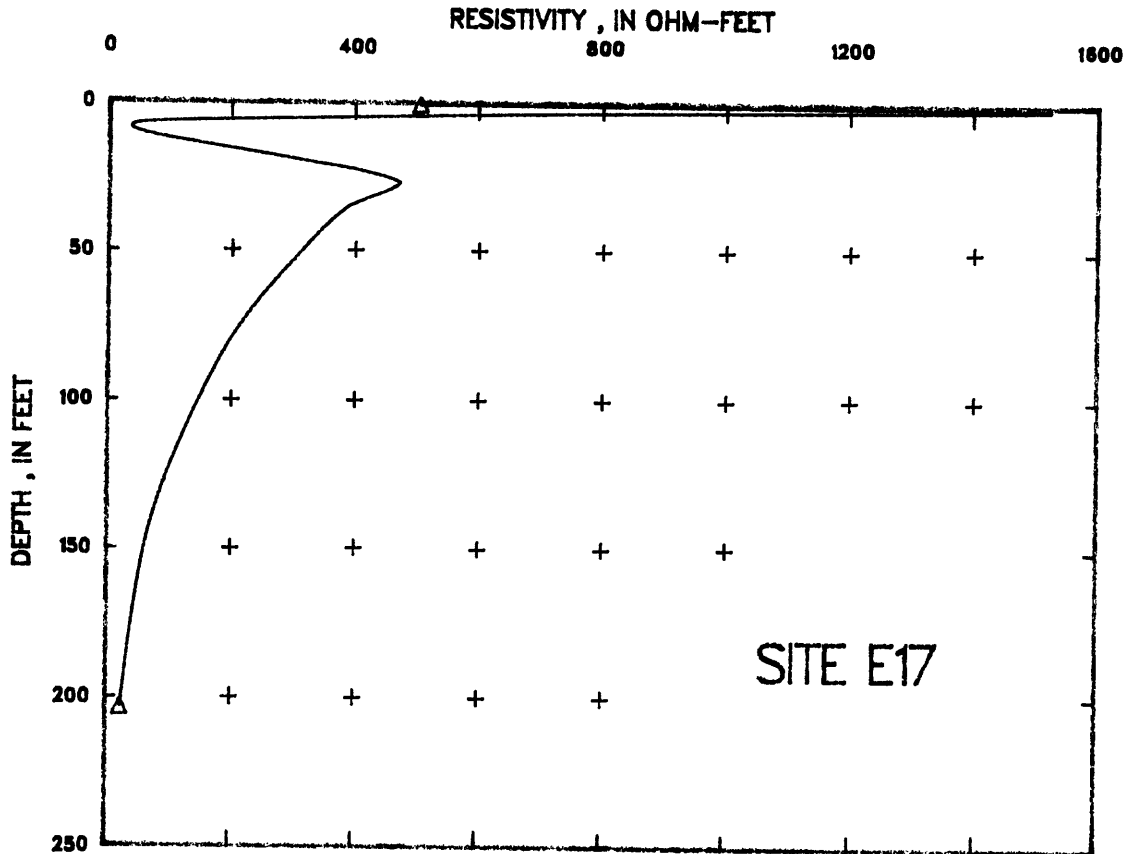
Field data, smoothed data, layer resistivity from smoothed data, and Cartesian graph of resistivity in relation to depth for site E16

Field data		Smoothed data		Layer resistivity from smoothed data		
A-spacing (feet)	Apparent resistivity (ohm-feet)	A-spacing (feet)	Apparent resistivity (ohm-feet)	Thickness (feet)	Depth (feet)	Resistivity (ohm-feet)
1.000	242.000	1.000	242.000	0.1000	0.1000	218.6109
2.000	300.000	2.000	300.000	0.0468	0.1468	220.0381
3.000	457.000	3.000	457.000	0.0687	0.2154	219.6373
4.000	431.000	4.000	431.000	0.1008	0.3162	215.9346
5.000	206.000	5.000	206.000	0.1479	0.4641	208.9643
7.000	276.000	7.000	276.000	0.2171	0.6811	208.9194
10.000	179.000	10.000	179.000	0.3170	0.9981	242.0968
15.000	135.000	15.000	135.000	0.8876	1.8857	441.6769
20.000	136.000	20.000	136.000	0.8262	2.7119	659.0746
30.000	148.000	30.000	148.000	0.9672	3.6791	520.8295
40.000	122.000	40.000	130.000	0.9940	4.6731	363.2643
50.000	117.000	50.000	120.000	1.8440	6.5171	217.9823
70.000	100.000	70.000	100.000	2.4361	8.9532	122.6169
100.000	81.000	100.000	81.000	4.2676	13.2209	100.1968
150.000	67.000	150.000	52.000	4.8443	18.0651	124.3047
200.000	25.000	200.000	33.000	9.9982	28.0614	169.1791
300.000	20.000	300.000	20.000	9.9762	38.0376	179.1561
				9.9676	48.0052	152.9326
				19.4141	67.4193	114.4739
				27.3806	94.7998	76.4861
				41.4770	136.2769	45.3861
				36.8856	173.1625	26.1904



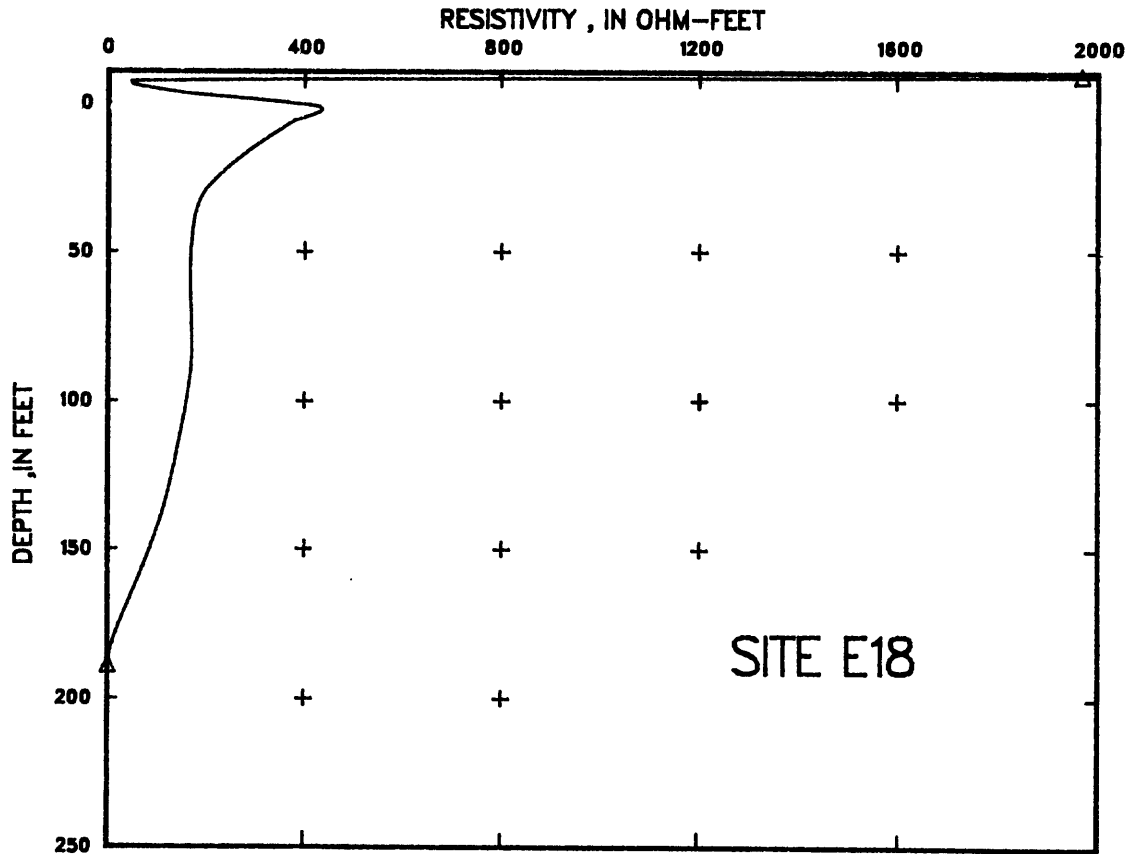
Field data, smoothed data, layer resistivity from smoothed data, and Cartesian graph of resistivity in relation to depth for site E17

Field data		Smoothed data		Layer resistivity from smoothed data		
A-spacing (feet)	Apparent resistivity (ohm-feet)	A-spacing (feet)	Apparent resistivity (ohm-feet)	Thickness (feet)	Depth (feet)	Resistivity (ohm-feet)
1.000	484.000	1.000	484.000	0.0900	0.0900	382.0220
2.000	736.000	2.000	736.000	0.0421	0.1321	391.9937
3.000	807.000	3.000	807.000	0.0618	0.1939	391.8923
4.000	754.000	4.000	754.000	0.0907	0.2846	375.1656
5.000	718.000	5.000	718.000	0.1327	0.4173	345.4039
7.000	415.000	7.000	415.000	0.1952	0.6125	348.7249
10.000	278.000	10.000	278.000	0.2768	0.8893	502.3979
15.000	175.000	15.000	175.000	0.6160	1.5053	1,369.7637
20.000	179.000	20.000	179.000	0.7301	2.2354	1,491.7283
30.000	207.000	30.000	207.000	0.8847	3.1202	1,052.7029
40.000	213.000	40.000	220.000	0.8884	4.0085	711.4788
50.000	251.000	50.000	251.000	1.5484	5.5569	366.8253
70.000	207.000	70.000	220.000	1.4271	6.9840	106.5685
100.000	201.000	100.000	196.000	1.6680	8.6520	35.8778
150.000	121.000	150.000	130.000	3.9858	12.6378	93.0341
200.000	84.000	200.000	84.000	7.7056	20.3435	319.4410
300.000	42.000	300.000	42.000	6.8879	27.2314	470.2357
400.000	19.000	400.000	19.000	8.2114	35.4428	386.8683
				17.8784	53.3212	300.1555
				26.4380	79.7591	198.8488
				39.2838	119.0429	107.6846
				33.5745	152.8174	57.6784
				51.0906	203.7079	23.7944



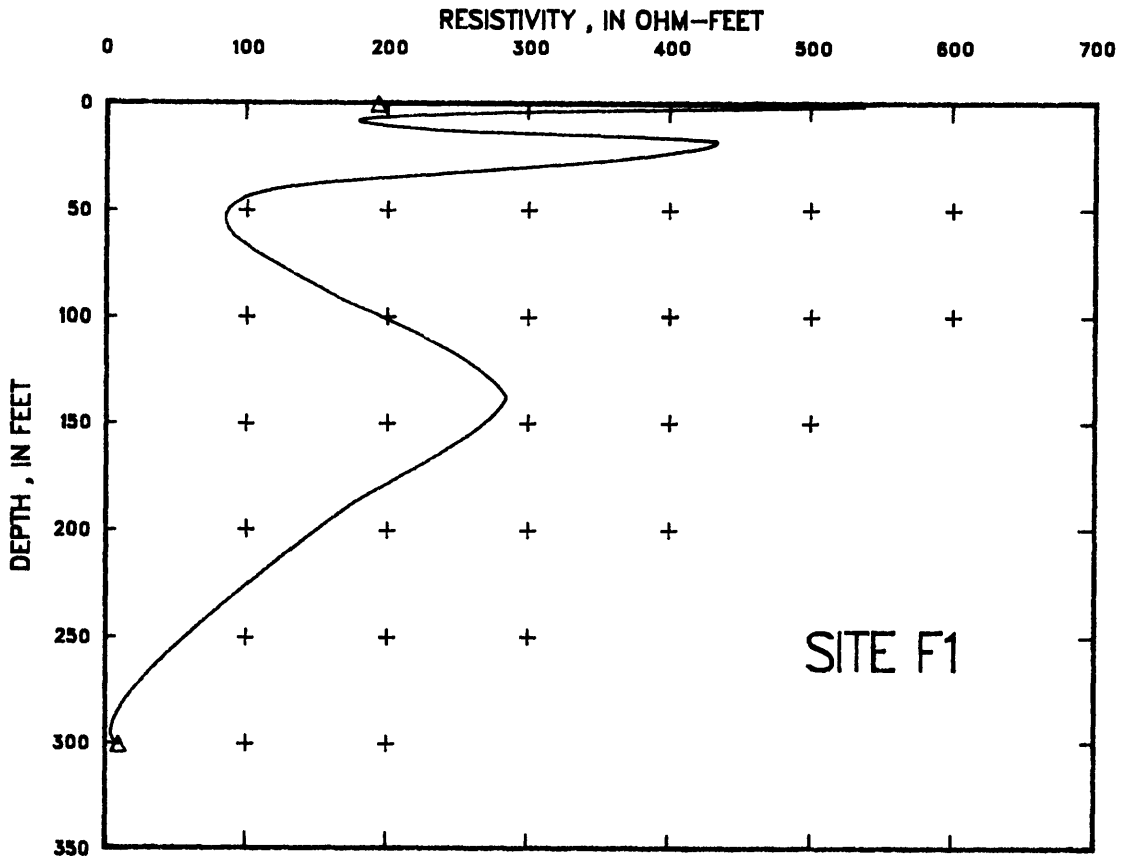
Field data, smoothed data, layer resistivity from smoothed data, and Cartesian graph of resistivity in relation to depth for site E18

Field data		Smoothed data		Layer resistivity from smoothed data		
A-spacing (feet)	Apparent resistivity (ohm-feet)	A-spacing (feet)	Apparent resistivity (ohm-feet)	Thickness (feet)	Depth (feet)	Resistivity (ohm-feet)
1.000	789.000	1.000	789.000	0.1000	0.1000	561.8639
2.000	969.000	2.000	969.000	0.0468	0.1468	565.5894
3.000	754.000	3.000	754.000	0.0687	0.2154	549.1804
4.000	502.000	4.000	502.000	0.1006	0.3161	520.8002
5.000	354.000	5.000	354.000	0.1479	0.4640	548.0464
7.000	251.000	7.000	251.000	0.2033	0.6673	850.0833
10.000	206.000	10.000	206.000	0.2087	0.8760	1,968.9488
15.000	220.000	15.000	220.000	0.8946	1.7708	1,628.7170
20.000	230.000	20.000	230.000	0.6761	2.6487	509.7610
30.000	269.000	30.000	269.000	0.5093	3.1580	138.7236
40.000	248.000	40.000	248.000	0.3052	3.4832	47.9137
50.000	229.000	50.000	229.000	0.9529	4.4160	51.5658
70.000	212.000	70.000	212.000	2.9523	7.3663	166.4800
100.000	161.000	100.000	161.000	4.1394	11.5077	430.0528
150.000	121.000	150.000	121.000	4.7119	16.2196	376.9687
200.000	72.000	200.000	72.000	9.9989	26.2185	283.4531
300.000	29.000	300.000	29.000	9.8306	36.0490	213.1921
400.000	19.000	400.000	19.000	9.6536	45.7027	178.6851
				19.4291	65.1318	167.7182
				29.8303	94.7620	170.2953
				46.8529	141.6149	113.5680
				31.6742	173.2673	37.9604
				17.7834	191.0706	4.1683



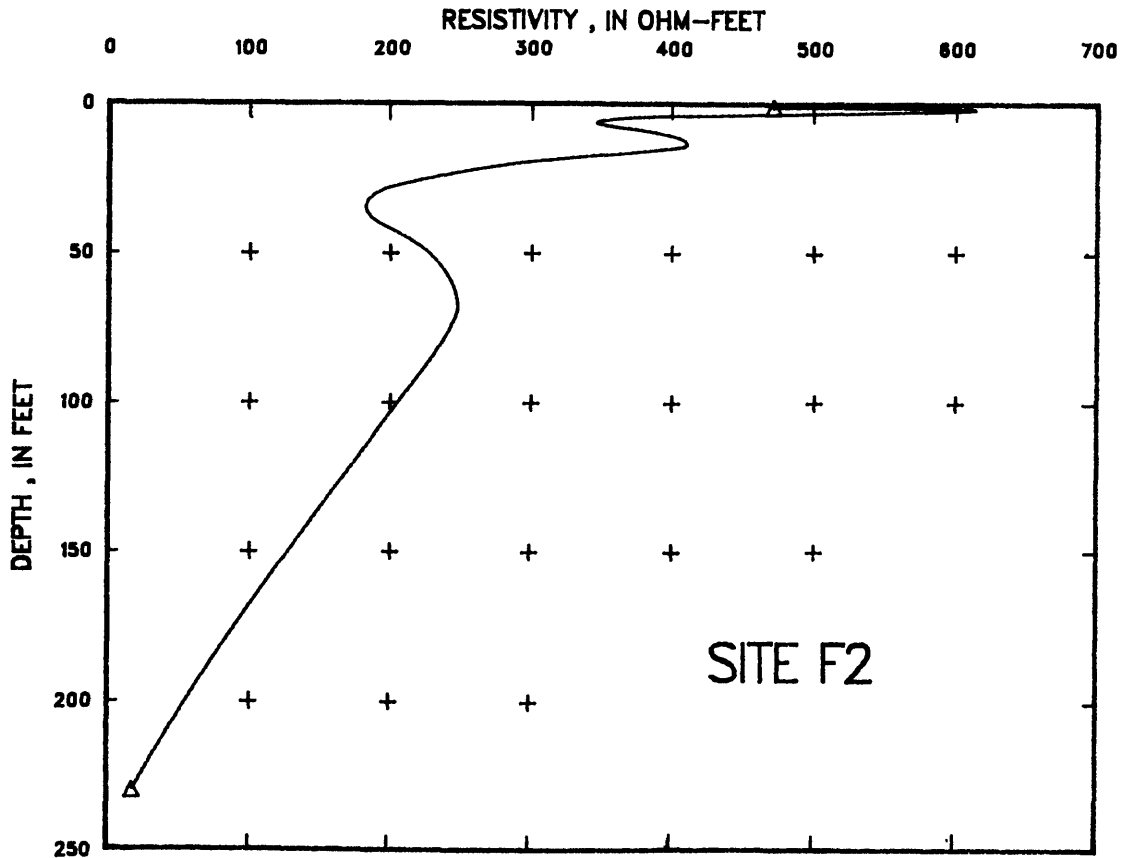
Field data, smoothed data, layer resistivity from smoothed data, and Cartesian graph of resistivity in relation to depth for site F1

Field data		Smoothed data		Layer resistivity from smoothed data		
A-spacing (feet)	Apparent resistivity (ohm-feet)	A-spacing (feet)	Apparent resistivity (ohm-feet)	Thickness (feet)	Depth (feet)	Resistivity (ohm-feet)
1.000	152.000	1.000	152.000	0.1000	0.1000	115.6427
2.000	233.000	2.000	233.000	0.0468	0.1468	117.8485
3.000	269.000	3.000	269.000	0.0687	0.2154	118.5473
4.000	291.000	4.000	291.000	0.1008	0.3162	113.1543
5.000	336.000	5.000	336.000	0.1478	0.4640	108.1721
7.000	251.000	7.000	251.000	0.2169	0.6809	119.1736
10.000	242.000	10.000	242.000	0.2911	0.9720	192.8917
15.000	269.000	15.000	269.000	0.6457	1.6177	501.8958
20.000	269.000	20.000	269.000	0.8033	2.4210	520.4628
30.000	269.000	30.000	269.000	0.9486	3.3696	425.8900
40.000	208.000	40.000	208.000	0.9993	4.3689	334.1165
50.000	193.000	50.000	193.000	1.9535	6.3224	232.6810
70.000	176.000	70.000	176.000	2.8462	9.1686	178.7004
100.000	161.000	100.000	161.000	4.9999	14.1685	253.5774
150.000	161.000	150.000	161.000	4.4906	18.6590	432.3915
200.000	144.000	200.000	144.000	9.8921	28.5512	342.6562
300.000	94.000	300.000	94.000	9.1704	37.7215	162.8087
400.000	50.000	400.000	50.000	7.9960	45.7175	96.5935
500.000	30.000	500.000	30.000	17.2627	62.9802	91.1011
				29.9923	92.9725	168.2775
				45.3467	138.3192	284.4308
				49.8173	188.1365	175.9875
				68.8059	256.9424	46.8777
				44.3460	301.2884	10.0806



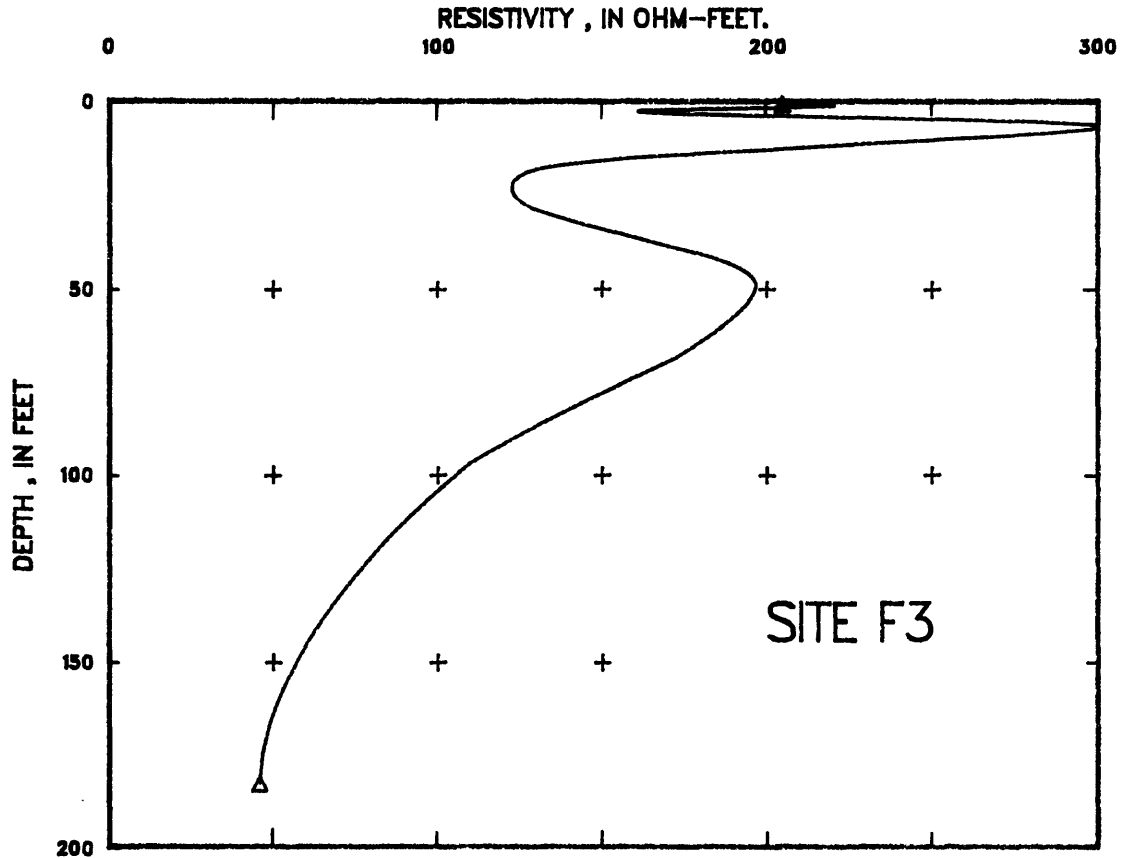
Field data, smoothed data, layer resistivity from smoothed data, and Cartesian graph of resistivity in relation to depth for site F2

Field data		Smoothed data		Layer resistivity from smoothed data		
A-spacing (feet)	Apparent resistivity (ohm-feet)	A-spacing (feet)	Apparent resistivity (ohm-feet)	Thickness (feet)	Depth (feet)	Resistivity (ohm-feet)
1.000	431.000	1.000	431.000	0.1000	0.1000	399.3306
2.000	502.000	2.000	502.000	0.0468	0.1468	401.1308
3.000	484.000	3.000	484.000	0.0686	0.2154	399.5380
4.000	502.000	4.000	502.000	0.1008	0.3162	394.3110
5.000	449.000	5.000	449.000	0.1479	0.4641	389.7842
7.000	408.000	7.000	408.000	0.2171	0.6812	402.7167
10.000	413.000	10.000	413.000	0.3156	0.9969	470.9268
15.000	377.000	15.000	377.000	0.9646	1.9615	613.0531
20.000	341.000	20.000	341.000	0.9978	2.9593	547.9174
30.000	269.000	30.000	269.000	0.9927	3.9520	434.2289
40.000	255.000	40.000	255.000	0.9787	4.9307	368.6841
50.000	251.000	50.000	251.000	1.9606	6.8913	345.0269
70.000	214.000	70.000	214.000	2.9919	9.8831	387.7053
100.000	188.000	100.000	188.000	4.9995	14.8826	406.8472
150.000	148.000	150.000	148.000	4.8770	19.7596	296.4532
200.000	100.000	200.000	100.000	9.1671	28.9267	195.2017
300.000	51.000	300.000	51.000	9.4783	38.4050	185.4780
400.000	23.000	400.000	23.000	9.9220	48.3270	221.5453
				19.9934	68.3203	247.2109
				29.7528	98.0732	207.8623
				46.8123	144.9854	135.2875
				40.7897	185.7751	74.5803
				44.1676	229.9427	17.8473



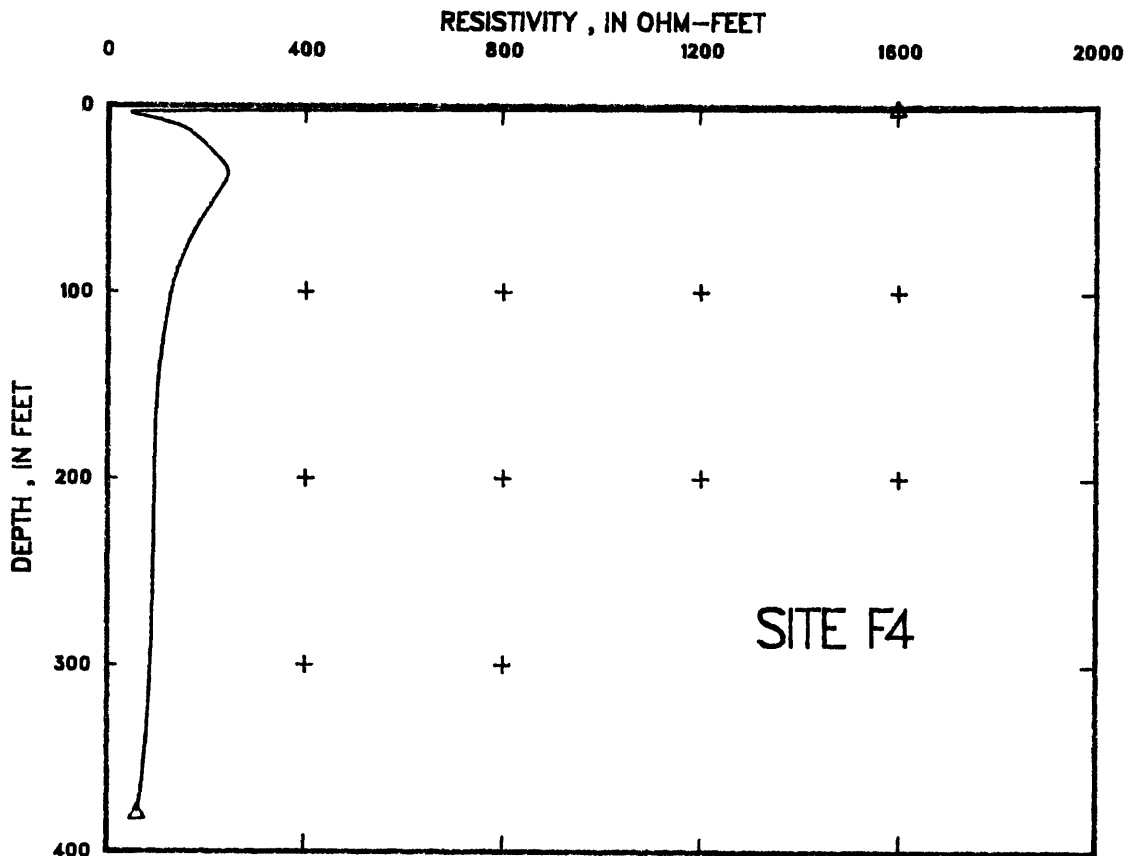
Field data, smoothed data, layer resistivity from smoothed data, and Cartesian graph of resistivity in relation to depth for site F3

Field data		Smoothed data		Layer resistivity from smoothed data		
A-spacing (feet)	Apparent resistivity (ohm-feet)	A-spacing (feet)	Apparent resistivity (ohm-feet)	Thickness (feet)	Depth (feet)	Resistivity (ohm-feet)
1.000	108.000	1.000	108.000	0.1000	0.1000	75.5099
2.000	172.000	2.000	172.000	0.0467	0.1467	68.6034
3.000	143.000	3.000	143.000	0.0686	0.2153	70.4606
4.000	161.000	4.000	161.000	0.1008	0.3161	71.9845
5.000	170.000	5.000	178.000	0.1476	0.4637	78.4854
7.000	214.000	7.000	205.000	0.2032	0.6669	115.4370
10.000	225.000	10.000	225.000	0.2469	0.9138	204.5420
15.000	215.000	15.000	205.000	0.8953	1.8091	210.2395
20.000	161.000	20.000	180.000	0.9976	2.8068	161.3646
30.000	172.000	30.000	172.000	0.9906	3.7974	178.7858
40.000	165.000	40.000	165.000	0.9445	4.7419	232.0167
50.000	152.000	50.000	152.000	1.7904	6.5323	299.2003
70.000	157.000	70.000	157.000	2.8918	9.4241	274.6460
100.000	126.000	100.000	126.000	4.9568	14.3809	177.6090
150.000	92.000	150.000	92.000	4.7514	19.1322	127.0939
200.000	77.000	200.000	77.000	9.7720	28.9042	128.6706
300.000	58.000	300.000	56.000	9.9879	38.8921	169.7869
400.000	58.000			9.8584	46.7505	196.5613
				19.9973	68.7477	172.2578
				28.7863	97.5340	109.5718
				43.3971	140.9311	63.4943
				42.2015	183.1326	45.8987



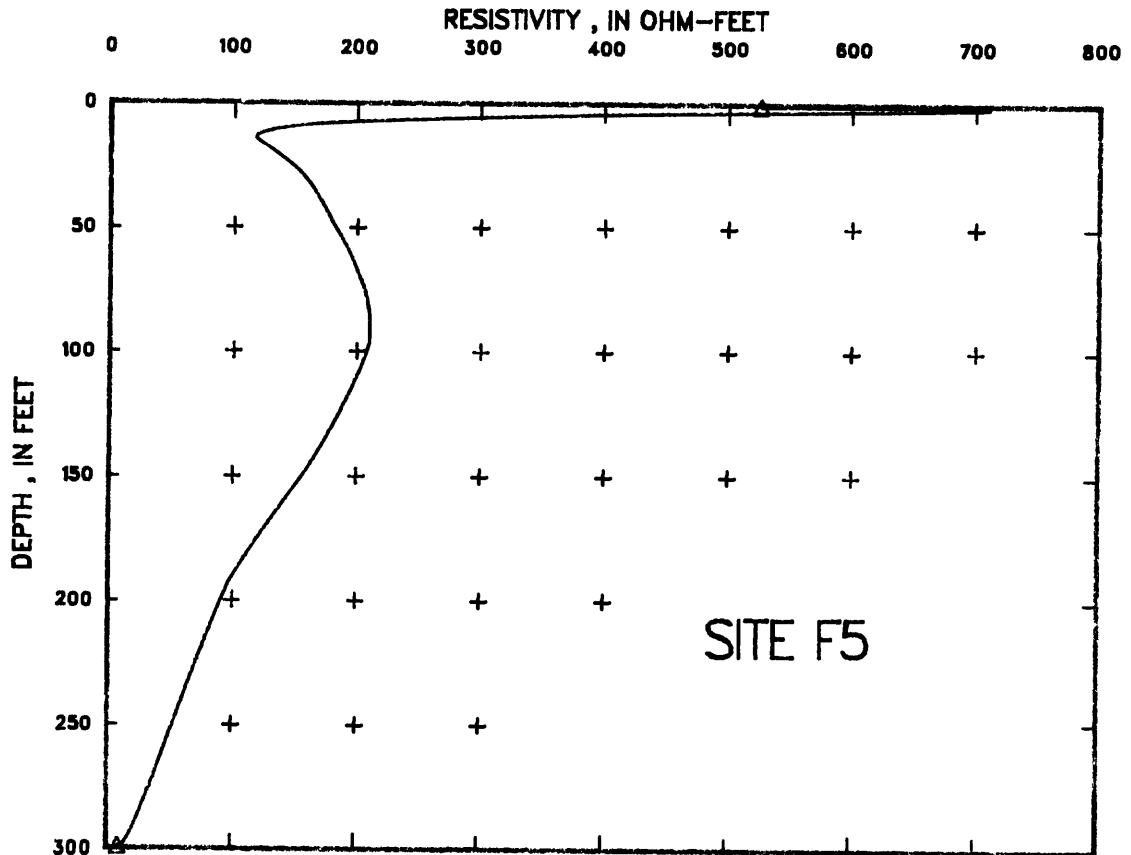
Field data, smoothed data, layer resistivity from smoothed data, and Cartesian graph of resistivity in relation to depth for site F4

Field data		Smoothed data		Layer resistivity from smoothed data		
A-spacing (feet)	Apparent resistivity (ohm-feet)	A-spacing (feet)	Apparent resistivity (ohm-feet)	Thickness (feet)	Depth (feet)	Resistivity (ohm-feet)
1.000	1,005.000	1.000	108.000	0.1000	0.1000	75.5099
2.000	1,277.000	2.000	172.000	0.0467	0.1467	68.6034
3.000	879.000	3.000	143.000	0.0686	0.2153	70.4606
4.000	646.000	4.000	161.000	0.1008	0.3161	71.9845
5.000	523.000	5.000	178.000	0.1476	0.4637	78.4854
7.000	270.000	7.000	205.000	0.2032	0.6669	115.4370
10.000	188.000	10.000	225.000	0.2469	0.9138	204.5420
15.000	161.000	15.000	205.000	0.8953	1.6091	210.2395
20.000	156.000	20.000	180.000	0.9976	2.8066	161.3646
30.000	170.000	30.000	172.000	0.9906	3.7974	176.7858
40.000	159.000	40.000	165.000	0.9445	4.7419	232.0167
50.000	206.000	50.000	152.000	1.7904	6.5323	299.2003
70.000	138.000	70.000	157.000	2.8918	9.4241	274.6460
100.000	153.000	100.000	126.000	4.9568	14.3809	177.6096
150.000	135.000	150.000	92.000	4.7514	19.1322	127.0939
200.000	90.000	200.000	77.000	9.7720	28.9042	128.6706
300.000	75.000	300.000	56.000	9.9879	38.6921	169.7869
400.000	75.000			19.8799	65.9416	178.6113
500.000	57.000			28.9573	94.8989	131.7918
				47.3490	142.2479	103.3236
				47.6501	190.0980	93.8914
				96.9145	287.0125	87.7166
				91.6430	376.8555	61.1070



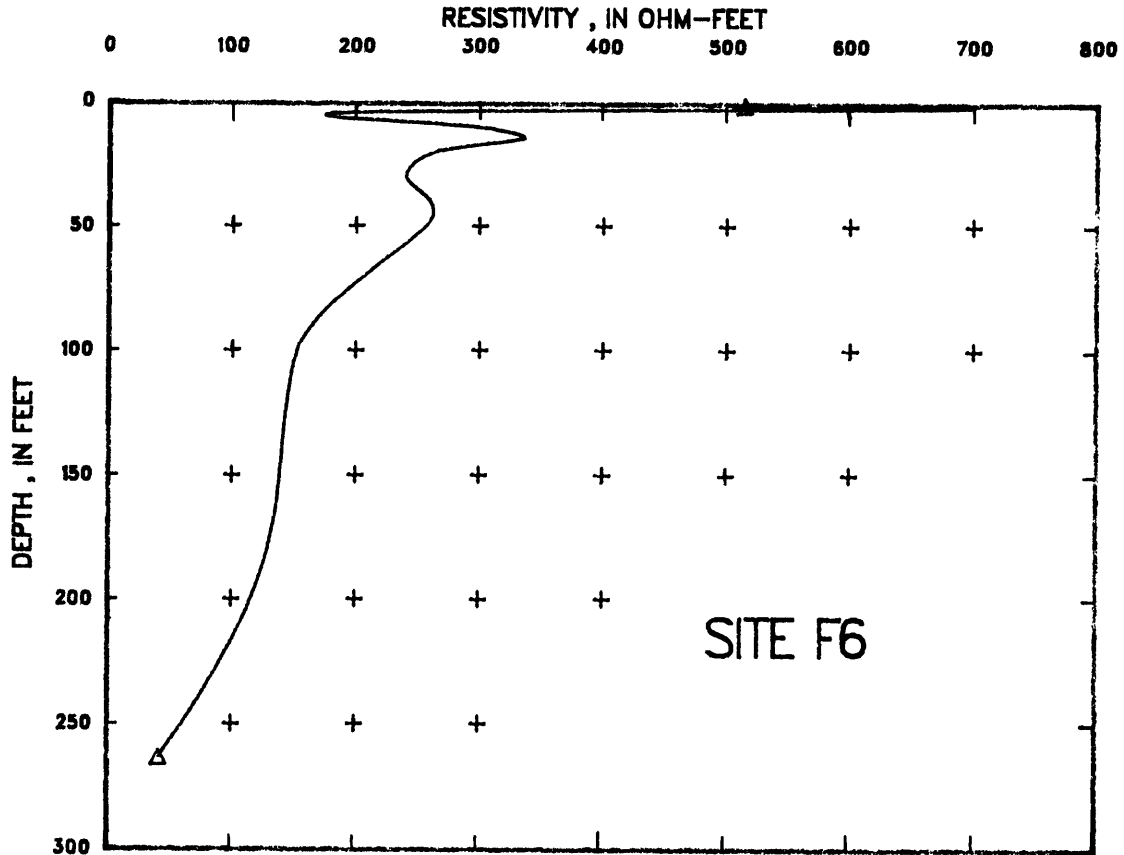
Field data, smoothed data, layer resistivity from smoothed data, and Cartesian graph of resistivity in relation to depth for site F5

Field data		Smoothed data		Layer resistivity from smoothed data		
A-spacing (feet)	Apparent resistivity (ohm-feet)	A-spacing (feet)	Apparent resistivity (ohm-feet)	Thickness (feet)	Depth (feet)	Resistivity (ohm-feet)
1.000	628.000	1.000	448.000	0.1000	0.1000	395.6129
2.000	538.000	2.000	538.000	0.0467	0.1467	393.7267
3.000	458.000	3.000	540.000	0.0687	0.2154	389.6636
4.000	502.000	4.000	502.000	0.1008	0.3161	383.6910
5.000	448.000	5.000	478.000	0.1479	0.4641	386.1829
7.000	396.000	7.000	396.000	0.2167	0.6807	421.5009
10.000	278.000	10.000	278.000	0.3106	0.9914	525.1516
15.000	202.000	15.000	202.000	0.9422	1.9336	707.9429
20.000	179.000	20.000	179.000	0.9917	2.9252	645.5450
30.000	156.000	30.000	156.000	0.9937	3.9189	503.1962
40.000	169.000	40.000	169.000	0.9684	4.8873	390.0418
50.000	166.000	50.000	150.000	1.8223	6.7095	267.9390
70.000	163.000	70.000	160.000	2.4737	9.1832	161.6098
100.000	170.000	100.000	170.000	4.1378	13.3210	117.9297
150.000	148.000	150.000	148.000	4.6559	17.9769	127.5725
200.000	108.000	200.000	112.000	9.6905	27.8674	153.4165
300.000	75.000	300.000	75.000	9.9884	37.8556	168.3340
400.000	42.000	400.000	42.000	9.9987	47.8545	179.3446
500.000	24.000	500.000	24.000	19.8944	67.7489	199.6515
				29.8153	97.5641	209.0076
				49.6930	147.2572	159.9745
				45.9622	193.2194	97.0605
				72.1279	265.3472	41.3082
				33.8755	299.2227	8.9575



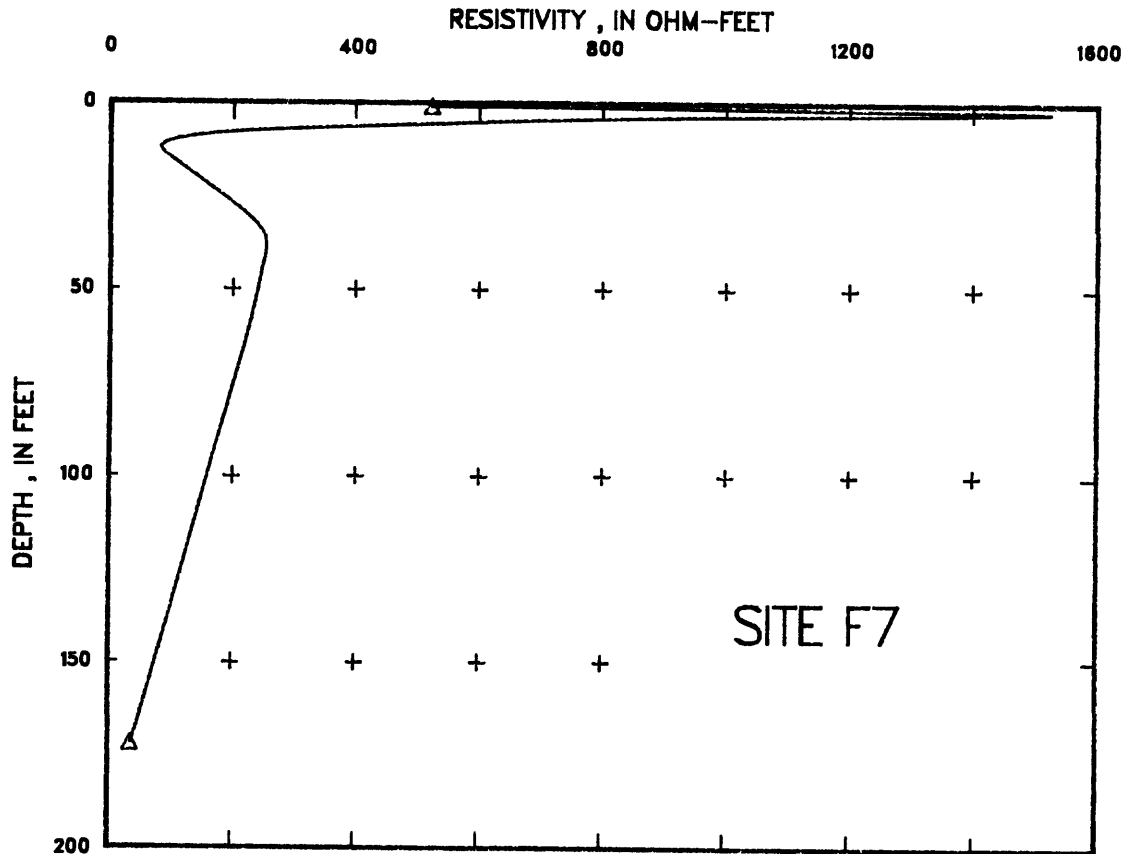
Field data, smoothed data, layer resistivity from smoothed data, and Cartesian graph of resistivity in relation to depth for site F6

Field data		Smoothed data		Layer resistivity from smoothed data		
A-spacing (feet)	Apparent resistivity (ohm-feet)	A-spacing (feet)	Apparent resistivity (ohm-feet)	Thickness (feet)	Depth (feet)	Resistivity (ohm-feet)
1.000	404.000	1.000	404.000	0.1000	0.1000	360.8251
2.000	478.000	2.000	478.000	0.0468	0.1468	362.7518
3.000	458.000	3.000	458.000	0.0687	0.2154	358.8979
4.000	359.000	4.000	370.000	0.1008	0.3162	350.4576
5.000	350.000	5.000	340.000	0.1479	0.4641	347.7357
7.000	295.000	7.000	295.000	0.2167	0.6808	383.8483
10.000	287.000	10.000	287.000	0.3060	0.9868	513.6224
15.000	282.000	15.000	282.000	0.9347	1.9215	679.8188
20.000	269.000	20.000	269.000	0.9918	2.9133	425.4238
30.000	261.000	30.000	261.000	0.8975	3.8108	241.7411
40.000	262.000	40.000	262.000	0.8558	4.6866	179.1008
50.000	260.000	50.000	260.000	1.8584	6.5250	189.4325
70.000	239.000	70.000	239.000	2.9999	9.5249	289.0303
100.000	188.000	100.000	188.000	4.9588	14.4837	335.8324
150.000	161.000	150.000	161.000	4.9740	19.4577	265.5745
200.000	72.000	200.000	130.000	9.9182	29.3759	239.3302
300.000	75.000	300.000	72.000	9.9914	39.3673	259.4133
400.000	25.000	400.000	25.000	9.9919	49.3593	256.8802
500.000	24.000			19.7308	69.0900	208.1916
				28.5371	97.8271	153.2442
				48.1354	145.7825	138.8130
				47.9058	193.8683	119.5875
				69.4660	263.1343	41.1962



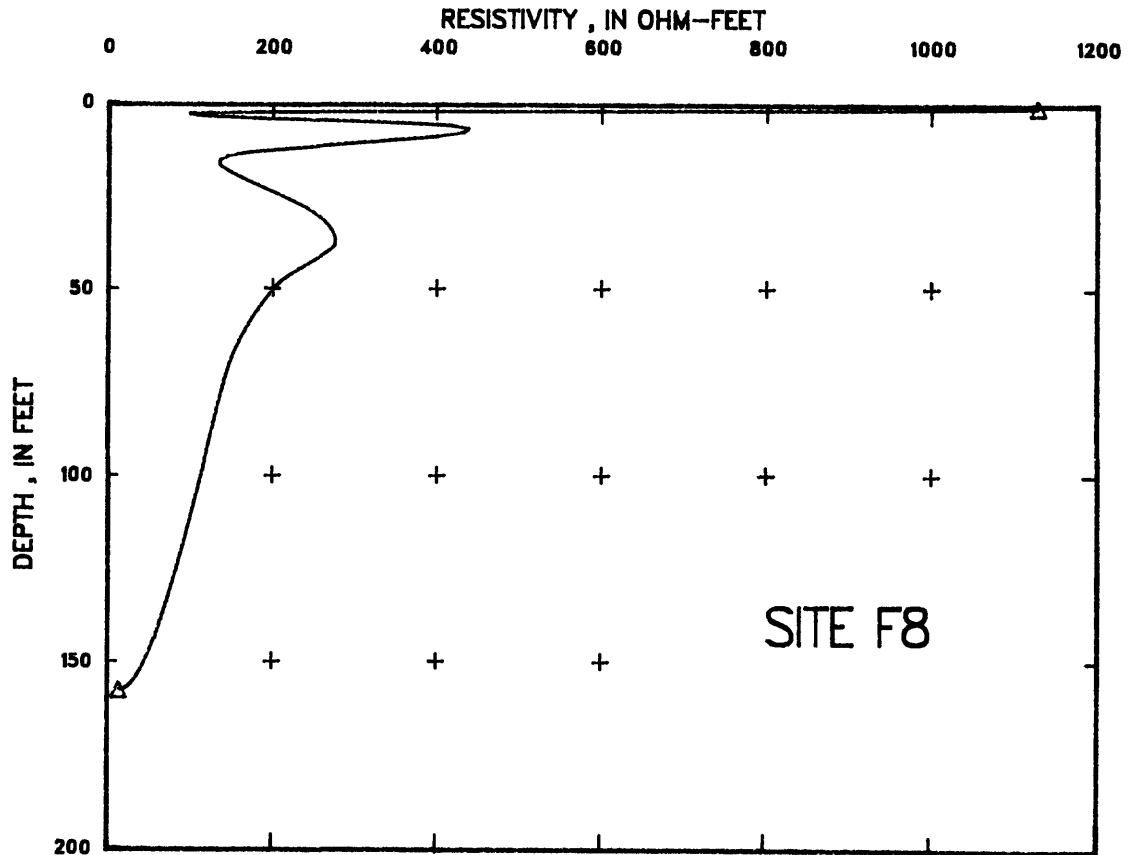
Field data, smoothed data, layer resistivity from smoothed data, and Cartesian graph of resistivity in relation to depth for site F7

Field data		Smoothed data		Layer resistivity from smoothed data		
A-spacing (feet)	Apparent resistivity (ohm-feet)	A-spacing (feet)	Apparent resistivity (ohm-feet)	Thickness (feet)	Depth (feet)	Resistivity (ohm-feet)
1.000	422.000	1.000	422.000	0.1000	0.1000	422.0096
2.000	664.000	2.000	664.000	0.0468	0.1468	426.5689
3.000	915.000	3.000	915.000	0.0687	0.2154	425.9637
4.000	1,005.000	4.000	1,005.000	0.1008	0.3162	416.0808
5.000	852.000	5.000	852.000	0.1478	0.4640	398.9738
7.000	628.000	7.000	628.000	0.2171	0.6811	405.6408
10.000	502.000	10.000	502.000	0.3127	0.9939	520.9669
15.000	269.000	15.000	269.000	0.7938	1.7877	1,152.9541
20.000	215.000	20.000	215.000	0.8079	2.5956	1,524.8457
30.000	205.000	30.000	205.000	0.9744	3.5700	1,123.9302
40.000	222.000	40.000	212.000	0.9931	4.5630	778.3260
50.000	215.000	50.000	215.000	1.8065	6.3696	445.2156
70.000	226.000	70.000	226.000	2.1011	8.4706	189.8457
100.000	197.000	100.000	197.000	2.9196	11.3903	87.6789
150.000	161.000	150.000	161.000	4.0067	15.3970	101.3337
200.000	108.000	200.000	108.000	9.9581	25.3551	185.0603
300.000	19.000	300.000	19.000	9.8418	35.1969	250.2109
400.000	17.000			9.9235	45.1204	246.0822
				19.9998	65.1202	218.9598
				29.5478	94.6680	168.4539
				44.6615	139.3294	95.1496
				32.6813	172.0107	37.4915



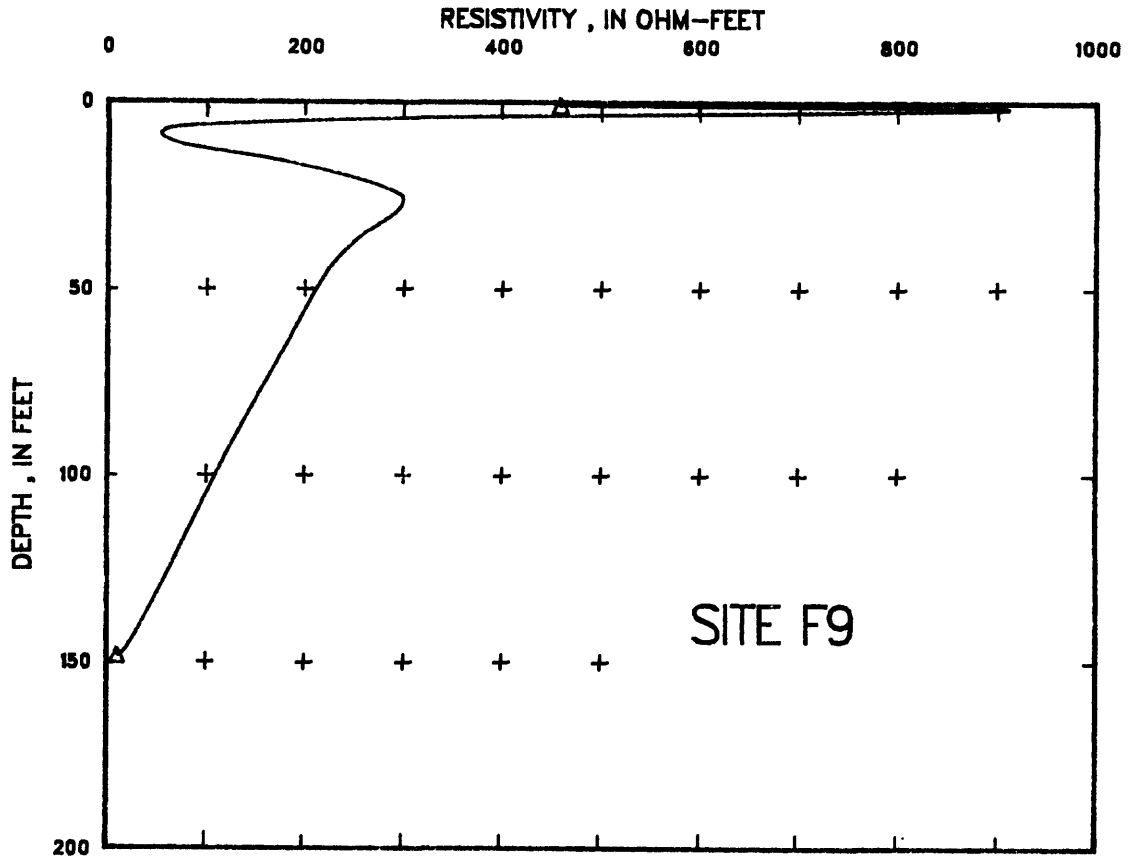
Field data, smoothed data, layer resistivity from smoothed data, and Cartesian graph of resistivity in relation to depth for site F8

Field data		Smoothed data		Layer resistivity from smoothed data		
A-spacing (feet)	Apparent resistivity (ohm-feet)	A-spacing (feet)	Apparent resistivity (ohm-feet)	Thickness (feet)	Depth (feet)	Resistivity (ohm-feet)
1.000	736.000	1.000	736.000	0.1000	0.1000	672.7408
2.000	664.000	2.000	664.000	0.0468	0.1468	675.7817
3.000	511.000	3.000	511.000	0.0687	0.2154	863.6631
4.000	359.000	4.000	359.000	0.1008	0.3162	648.9758
5.000	298.000	5.000	298.000	0.1479	0.4641	670.2543
7.000	327.000	7.000	300.000	0.2140	0.6781	818.5609
10.000	260.000	10.000	285.000	0.2965	0.9747	1,127.7353
15.000	258.000	15.000	250.000	0.9987	1.9734	758.5764
20.000	215.000	20.000	215.000	0.6694	2.6427	183.1872
30.000	229.000	30.000	229.000	0.6187	3.2615	105.8979
40.000	222.000	40.000	222.000	0.9111	4.1725	177.5458
50.000	202.000	50.000	202.000	1.9098	6.0823	417.5992
70.000	170.000	70.000	170.000	2.9517	9.0341	399.3514
100.000	117.000	100.000	136.000	4.5038	13.5379	166.0125
150.000	81.000	150.000	81.000	4.6003	18.1381	144.6551
200.000	63.000	200.000	46.000	9.9882	28.1263	241.0438
300.000	14.000	300.000	14.000	9.8873	38.0136	275.6853
400.000	18.000			9.9293	47.9429	208.8817
				19.1928	67.1358	152.2406
				28.0907	95.2264	117.8113
				41.7906	137.0170	66.5657
				20.4929	157.5099	14.6164



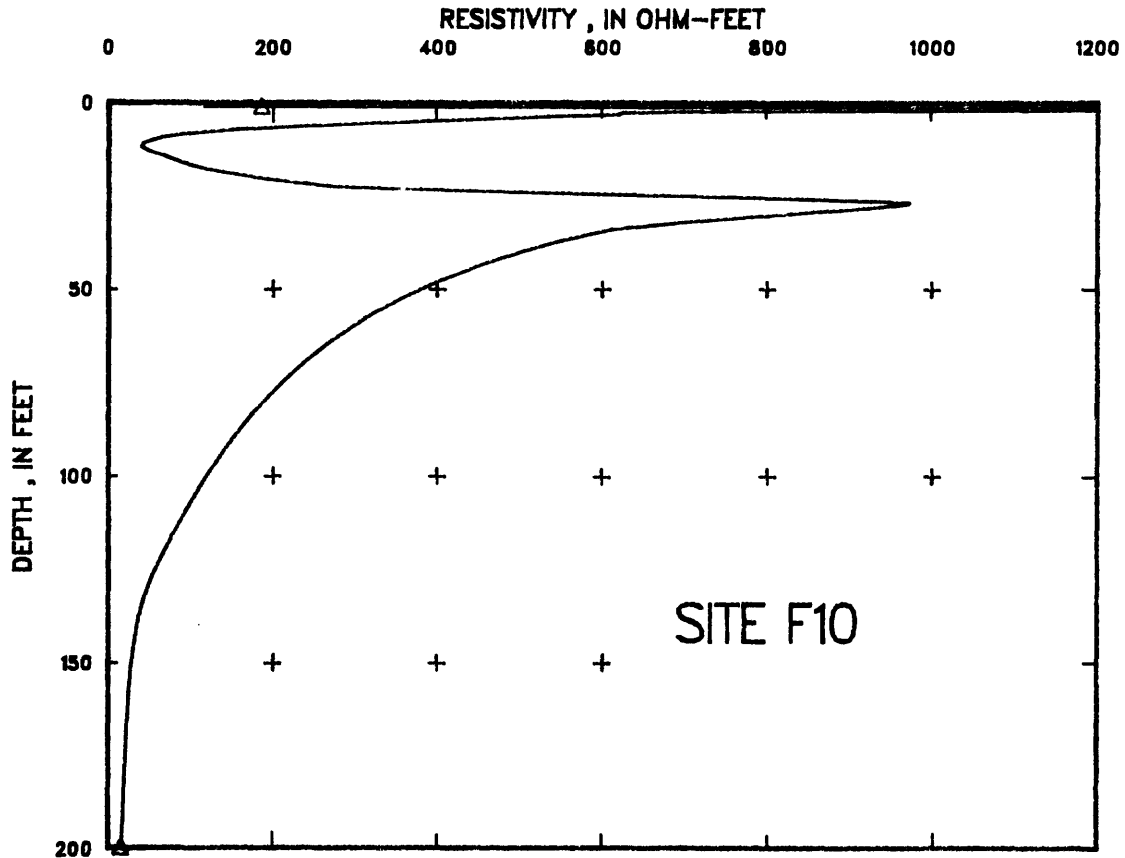
Field data, smoothed data, layer resistivity from smoothed data, and Cartesian graph of resistivity in relation to depth for site F9

Field data		Smoothed data		Layer resistivity from smoothed data		
A-spacing (feet)	Apparent resistivity (ohm-feet)	A-spacing (feet)	Apparent resistivity (ohm-feet)	Thickness (feet)	Depth (feet)	Resistivity (ohm-feet)
1.000	286.000	1.000	286.000	0.1000	0.1000	286.8892
2.000	628.000	2.000	628.000	0.0468	0.1468	298.7164
3.000	619.000	3.000	619.000	0.0687	0.2154	284.3219
4.000	574.000	4.000	574.000	0.1007	0.3162	283.6624
5.000	449.000	5.000	449.000	0.1478	0.4640	277.6664
7.000	371.000	7.000	320.000	0.2167	0.6807	309.1154
10.000	206.000	10.000	206.000	0.2984	0.9791	457.6664
15.000	134.000	15.000	134.000	0.7811	1.7602	905.7859
20.000	154.000	20.000	165.000	0.9532	2.7134	763.8474
30.000	188.000	30.000	188.000	0.9901	3.7034	479.4684
40.000	201.000	40.000	201.000	0.9025	4.6059	289.9603
50.000	202.000	50.000	202.000	1.4385	6.0444	136.6254
70.000	185.000	70.000	195.000	1.6477	7.6921	57.4537
100.000	179.000	100.000	179.000	4.1443	11.8364	75.9724
150.000	108.000	150.000	108.000	4.8655	16.7018	188.9641
200.000	54.000	200.000	54.000	8.6619	25.3637	298.5198
300.000	19.000	300.000	19.000	9.6236	34.9874	260.4111
				9.9699	44.9573	222.8963
				19.8917	64.8489	181.5979
				28.4797	93.3286	122.2788
				37.8679	131.1965	51.5786
				17.4094	148.6059	10.7654



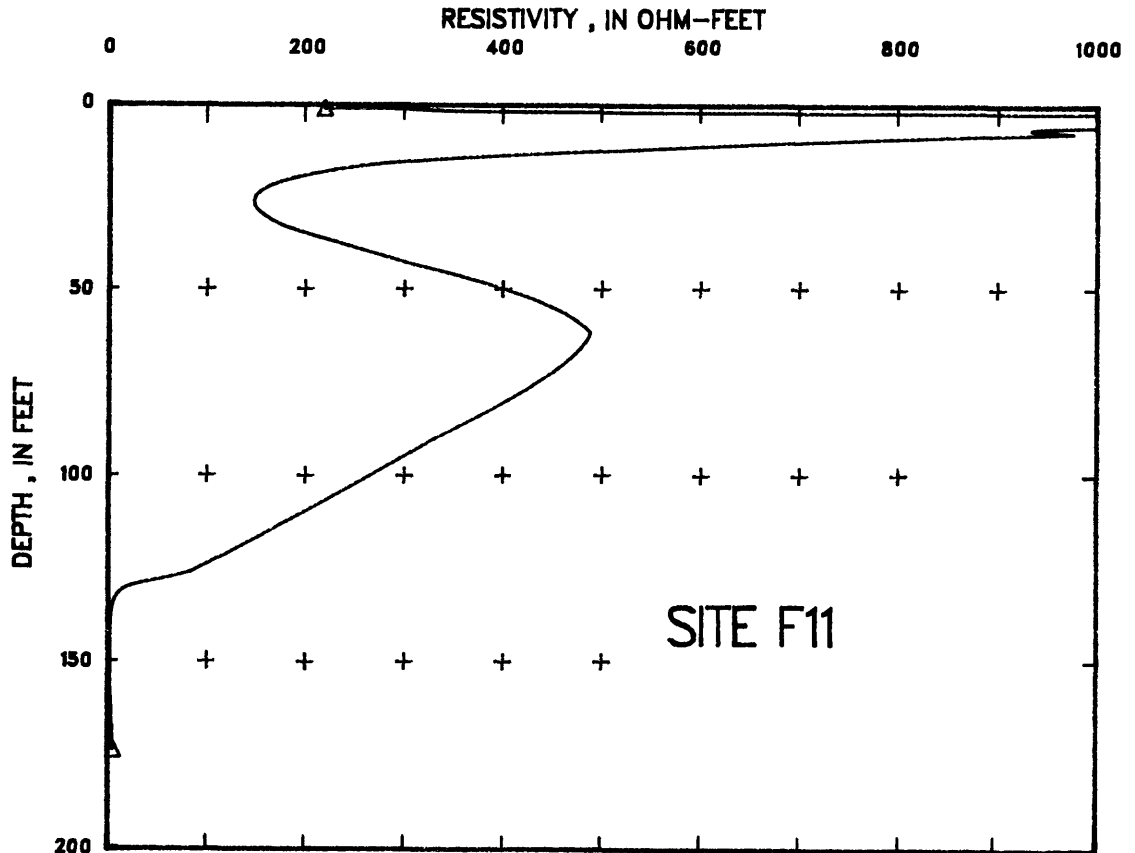
Field data, smoothed data, layer resistivity from smoothed data, and Cartesian graph of resistivity in relation to depth for site F10

Field data		Smoothed data		Layer resistivity from smoothed data		
A-spacing (feet)	Apparent resistivity (ohm-feet)	A-spacing (feet)	Apparent resistivity (ohm-feet)	Thickness (feet)	Depth (feet)	Resistivity (ohm-feet)
1.000	152.000	1.000	152.000	0.1000	0.1000	101.7538
2.000	377.000	2.000	377.000	0.0466	0.1466	114.1125
3.000	350.000	3.000	405.000	0.0685	0.2150	95.7157
4.000	395.000	4.000	420.000	0.1008	0.3158	99.7243
5.000	399.000	5.000	410.000	0.1478	0.4636	96.6269
7.000	352.000	7.000	352.000	0.2171	0.6807	102.4613
10.000	233.000	10.000	233.000	0.2806	0.8614	186.3294
15.000	188.000	15.000	188.000	0.3614	1.3228	1,064.2290
20.000	179.000	20.000	179.000	0.2366	1.5594	2,616.0171
30.000	221.000	30.000	221.000	0.7782	2.3376	884.1453
40.000	237.000	40.000	237.000	0.9597	3.2973	619.9337
50.000	238.000	50.000	250.000	1.9733	5.2706	373.3649
70.000	251.000	70.000	251.000	2.3598	7.6305	150.2099
100.000	206.000	100.000	206.000	2.7155	10.3459	51.2443
150.000	134.000	150.000	134.000	4.0933	14.4392	68.2864
200.000	54.000	200.000	80.000	8.4885	22.9277	280.8551
300.000	57.000	300.000	37.000	4.2105	27.1382	972.4175
400.000	18.000	400.000	18.000	7.0436	34.1818	610.2963
				19.5687	53.7505	347.0001
				28.5567	82.3072	179.9506
				36.8879	119.1951	71.0077
				27.8039	146.9989	29.9509
				52.5740	199.5729	16.5555



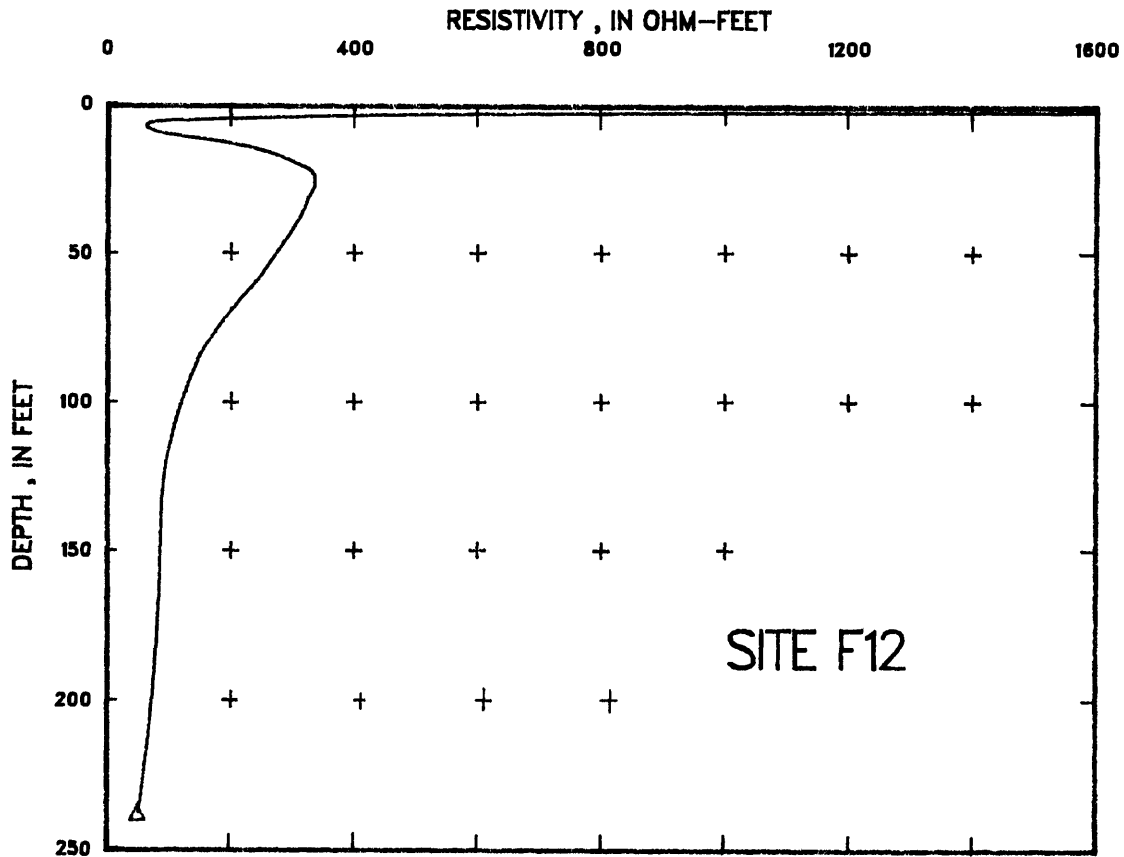
Field data, smoothed data, layer resistivity from smoothed data, and Cartesian graph of resistivity in relation to depth for site F11

Field data		Smoothed data		Layer resistivity from smoothed data		
A-spacing (feet)	Apparent resistivity (ohm-feet)	A-spacing (feet)	Apparent resistivity (ohm-feet)	Thickness (feet)	Depth (feet)	Resistivity (ohm-feet)
1.000	260.000	1.000	260.000	0.1000	0.1000	221.7053
2.000	359.000	2.000	359.000	0.0467	0.1467	220.9675
3.000	511.000	3.000	470.000	0.0687	0.2154	222.5325
4.000	574.000	4.000	574.000	0.1008	0.3162	224.5289
5.000	718.000	7.000	750.000	0.1479	0.4641	222.6624
7.000	691.000	10.000	772.000	0.2170	0.6811	214.0784
10.000	772.000	15.000	673.000	0.3184	0.9995	218.9805
15.000	673.000	20.000	590.000	0.9166	1.9161	395.7495
20.000	700.000	30.000	400.000	0.3697	2.2858	1,869.9622
30.000	323.000	40.000	330.000	0.1313	2.4170	7,505.1250
40.000	301.000	50.000	287.000	2.1576	4.5746	1,662.9543
50.000	267.000	70.000	276.000	2.9744	7.5490	976.8558
70.000	276.000	100.000	225.000	4.7407	12.2897	521.9198
100.000	233.000	150.000	134.000	3.9982	16.2879	265.6804
150.000	134.000	200.000	88.000	7.2331	23.5210	153.0113
200.000	88.000	300.000	38.000	8.8977	32.4187	175.3075
300.000	38.000	400.000	21.000	10.0000	42.4187	300.3739
400.000	21.000			18.3798	60.7985	488.6136
				29.9702	90.7687	323.0815
				34.9261	125.6948	85.1744
				7.3891	133.0838	7.2513
				40.3913	173.4751	7.0610



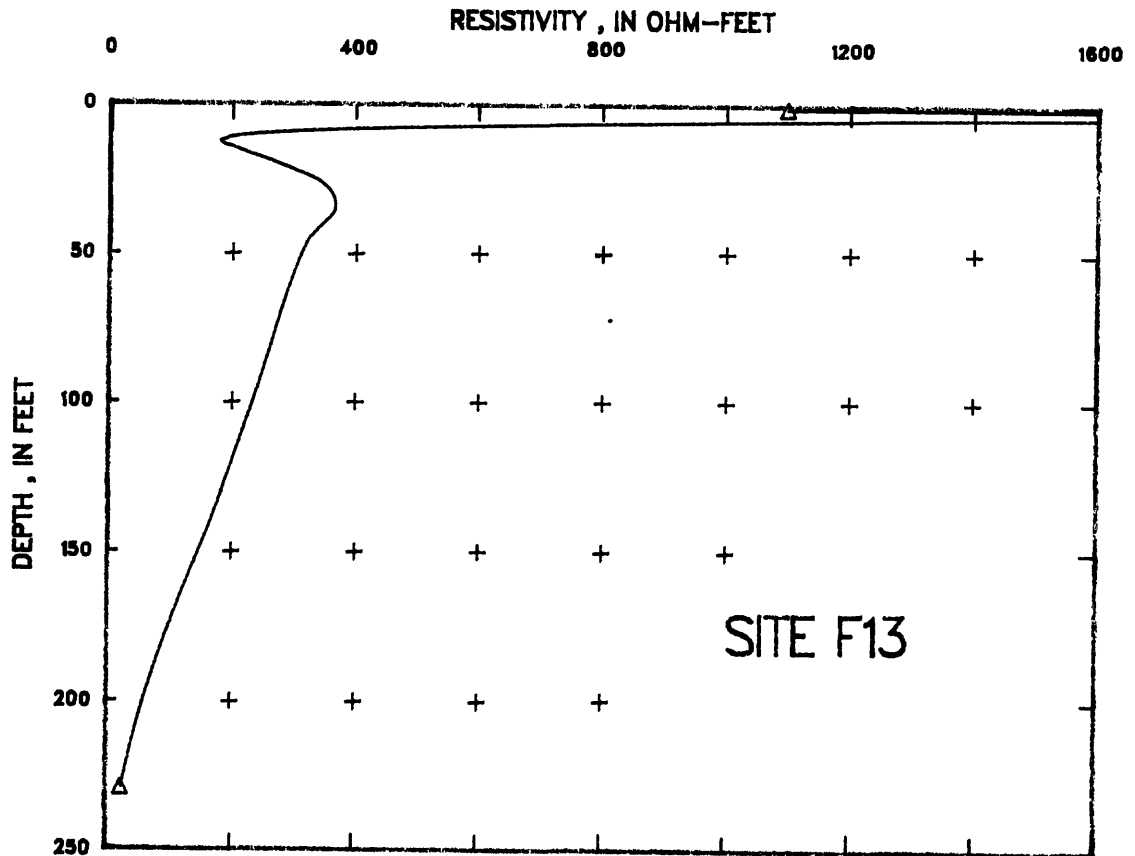
Field data, smoothed data, layer resistivity from smoothed data, and Cartesian graph of resistivity in relation to depth for site F12

Field data		Smoothed data		Layer resistivity from smoothed data		
A-spacing (feet)	Apparent resistivity (ohm-feet)	A-spacing (feet)	Apparent resistivity (ohm-feet)	Thickness (feet)	Depth (feet)	Resistivity (ohm-feet)
1.000	475.000	1.000	475.000	0.0900	0.0900	539.5188
2.000	843.000	2.000	843.000	0.0106	0.1006	16.5302
3.000	834.000	3.000	834.000	0.0165	0.1171	1,473.5498
4.000	754.000	4.000	754.000	0.0163	0.1334	4,991.1308
5.000	628.000	5.000	628.000	0.1197	0.2531	216.4999
7.000	433.000	7.000	433.000	0.1835	0.4366	201.5239
10.000	269.000	10.000	269.000	0.1852	0.6218	937.1322
15.000	215.000	15.000	215.000	0.3588	0.9806	3,062.1396
20.000	197.000	20.000	197.000	0.8114	1.7920	1,411.7092
30.000	234.000	30.000	234.000	0.8737	2.6657	671.7574
40.000	233.000	40.000	233.000	0.7774	3.4431	397.9897
50.000	251.000	50.000	251.000	1.2085	4.6516	181.8715
70.000	239.000	70.000	239.000	1.2677	5.9193	66.4135
100.000	215.000	100.000	215.000	3.5480	9.4673	93.7229
150.000	134.000	150.000	134.000	4.4536	13.9209	228.9156
200.000	108.000	200.000	108.000	8.3040	22.2249	330.7888
300.000	57.000	300.000	57.000	8.6740	30.8990	323.7938
400.000	19.000	400.000	19.000	8.8941	39.7930	303.3119
				17.9668	57.7598	244.3067
				25.3918	83.1516	150.2114
				38.9139	122.0654	92.3573
				40.7491	162.8145	82.9739
				74.3496	237.1641	50.5846



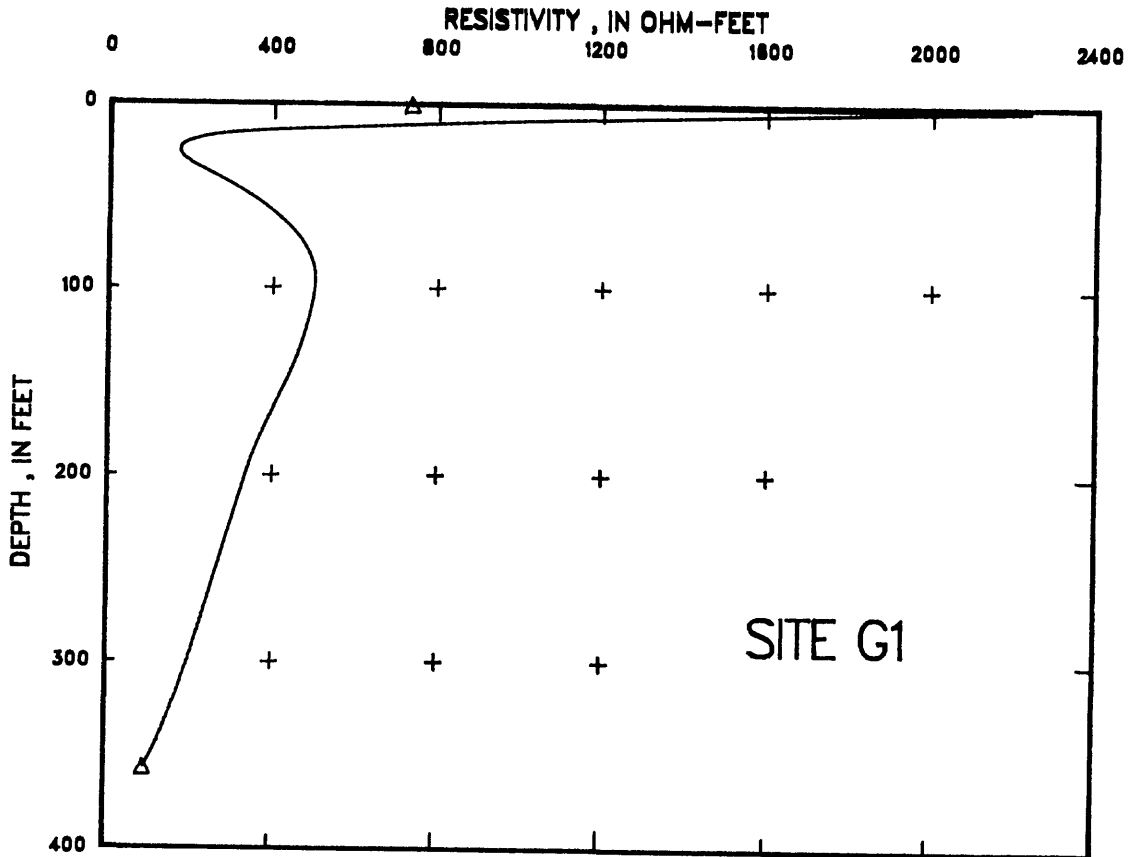
Field data, smoothed data, layer resistivity from smoothed data, and Cartesian graph of resistivity in relation to depth for site F13

Field data		Smoothed data		Layer resistivity from smoothed data		
A-spacing (feet)	Apparent resistivity (ohm-feet)	A-spacing (feet)	Apparent resistivity (ohm-feet)	Thickness (feet)	Depth (feet)	Resistivity (ohm-feet)
1.000	900.000	1.000	900.000	0.1000	0.1000	704.6696
2.000	1,274.000	2.000	1,274.000	0.0468	0.1468	709.4021
3.000	1,588.000	3.000	1,588.000	0.0687	0.2154	699.8190
4.000	1,578.000	4.000	1,578.000	0.1007	0.3162	673.7910
5.000	1,435.000	5.000	1,435.000	0.1478	0.4640	654.5131
7.000	1,319.000	7.000	1,250.000	0.2168	0.6807	729.4536
10.000	987.000	10.000	900.000	0.2972	0.9779	1,097.1609
15.000	585.000	15.000	460.000	0.7000	1.6780	2,625.8765
20.000	377.000	20.000	377.000	0.8452	2.5232	2,700.3682
30.000	377.000	30.000	320.000	0.9869	3.5101	1,978.3313
40.000	348.000	40.000	305.000	0.9917	4.5018	1,428.4741
50.000	332.000	50.000	300.000	1.8341	6.3359	873.6702
70.000	312.000	70.000	285.000	2.2185	8.5554	401.3569
100.000	260.000	100.000	250.000	3.1153	11.6707	191.3107
150.000	188.000	150.000	188.000	4.0705	15.7412	211.1571
200.000	126.000	200.000	126.000	9.8748	25.6161	337.5180
300.000	63.000	300.000	63.000	9.9775	35.5935	365.2942
400.000	23.000	400.000	23.000	9.9135	45.5070	322.2296
				19.6831	65.1901	285.7211
				29.1957	94.3858	242.2697
				48.2374	140.8232	185.3357
				39.9527	180.5758	90.2844
				48.5977	229.1735	25.8762



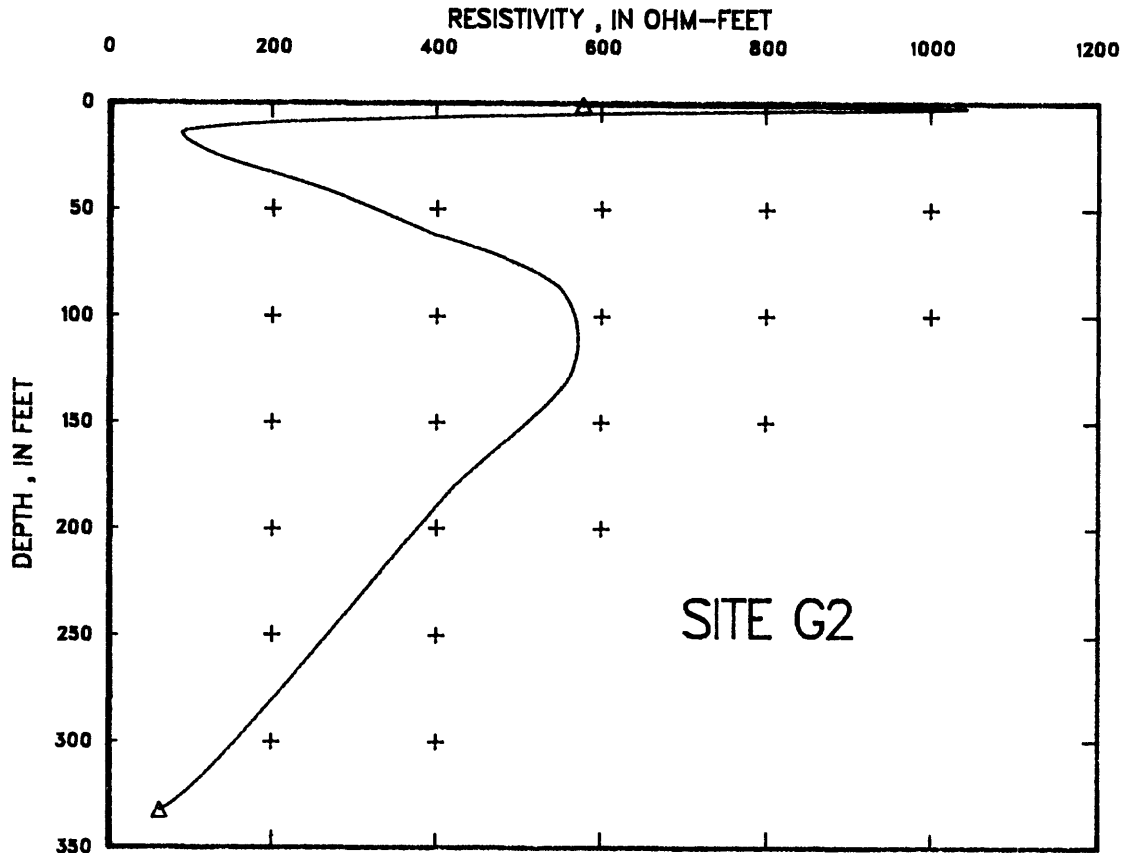
Field data, smoothed data, layer resistivity from smoothed data, and Cartesian graph of resistivity in relation to depth for site G1

Field data		Smoothed data		Layer resistivity from smoothed data		
A-spacing (feet)	Apparent resistivity (ohm-feet)	A-spacing (feet)	Apparent resistivity (ohm-feet)	Thickness (feet)	Depth (feet)	Resistivity (ohm-feet)
1.000	673.000	1.000	673.000	0.1000	0.1000	559.3981
2.000	1,059.000	2.000	950.000	0.0468	0.1468	559.7651
3.000	996.000	3.000	1,200.000	0.0687	0.2154	552.7760
4.000	1,077.000	4.000	1,280.000	0.1007	0.3162	536.8772
5.000	1,166.000	5.000	1,300.000	0.1478	0.4640	523.9897
7.000	1,382.000	7.000	1,382.000	0.2171	0.6811	557.1476
10.000	1,166.000	10.000	1,166.000	0.3096	0.9906	732.9052
15.000	880.000	15.000	880.000	0.8002	1.7909	1,533.1050
20.000	646.000	20.000	646.000	0.7729	2.5638	2,225.9394
30.000	431.000	30.000	431.000	0.8924	3.4582	2,081.4429
40.000	323.000	40.000	323.000	0.9811	4.4174	1,847.0403
50.000	310.000	50.000	310.000	1.9973	6.4147	1,522.3657
70.000	320.000	70.000	320.000	2.9266	9.3413	1,037.6101
100.000	350.000	100.000	350.000	4.2977	13.6390	545.8751
150.000	350.000	150.000	350.000	3.5643	17.2033	275.0844
200.000	323.000	200.000	323.000	6.6537	24.0570	171.3481
300.000	242.000	300.000	265.000	8.6803	32.7373	196.8600
400.000	201.000	400.000	201.000	9.8763	42.6136	263.6159
500.000	126.000	500.000	126.000	19.6950	62.3086	417.5777
				28.8539	91.1625	502.7001
				49.7331	140.8956	450.5678
				49.6685	190.5641	349.0651
				93.4089	283.9710	220.6902
				72.9846	356.9656	96.3317



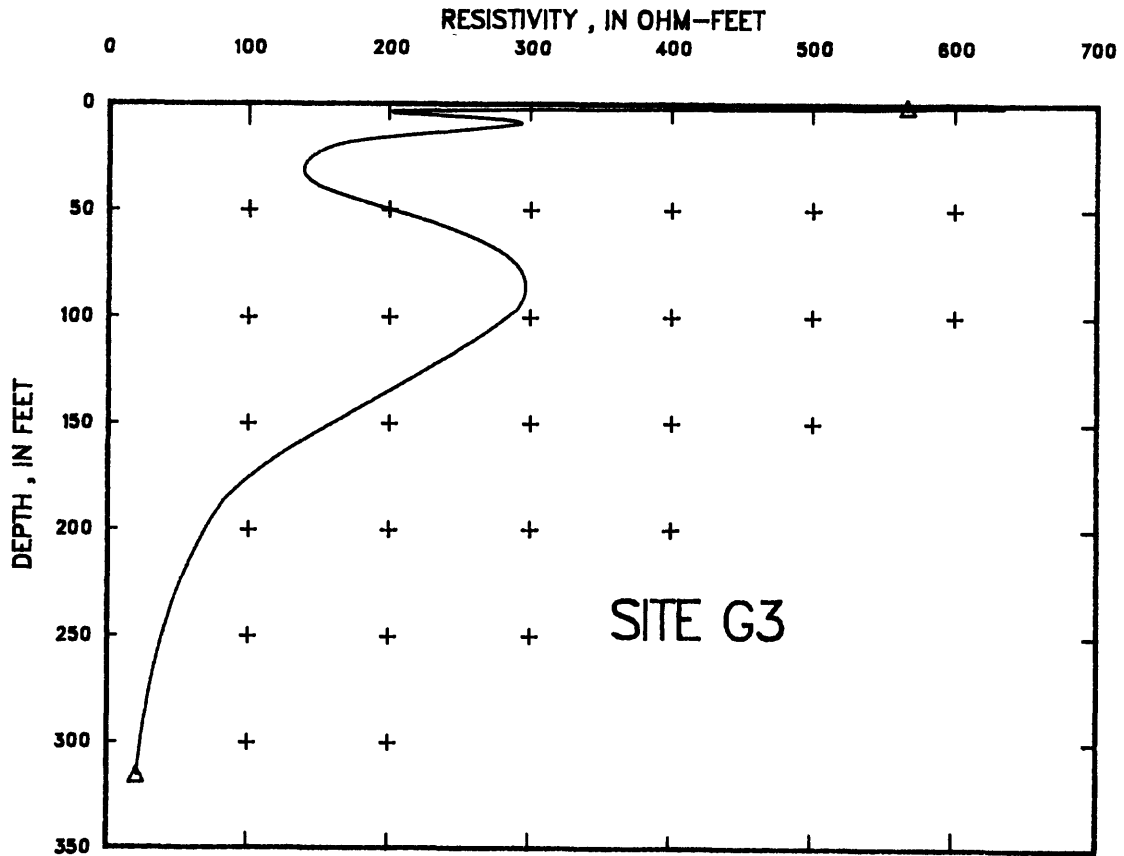
Field data, smoothed data, layer resistivity from smoothed data, and Cartesian graph of resistivity in relation to depth for site G2

Field data		Smoothed data		Layer resistivity from smoothed data		
A-spacing (feet)	Apparent resistivity (ohm-feet)	A-spacing (feet)	Apparent resistivity (ohm-feet)	Thickness (feet)	Depth (feet)	Resistivity (ohm-feet)
1.000	475.000	1.000	475.000	0.1000	0.1000	424.1412
2.000	664.000	2.000	664.000	0.0467	0.1467	423.0938
3.000	700.000	3.000	700.000	0.0687	0.2154	417.7719
4.000	718.000	4.000	718.000	0.1006	0.3162	407.6593
5.000	673.000	5.000	673.000	0.1479	0.4640	404.6679
7.000	559.000	7.000	559.000	0.2169	0.6809	438.9927
10.000	413.000	10.000	413.000	0.3065	0.9894	574.2859
15.000	269.000	15.000	269.000	0.8735	1.8629	965.5262
20.000	197.000	20.000	197.000	0.9338	2.7968	1,030.0786
30.000	188.000	30.000	188.000	0.9962	3.7930	836.4995
40.000	190.000	40.000	190.000	0.9920	4.7850	647.2095
50.000	215.000	50.000	215.000	1.8766	6.6616	432.6063
70.000	226.000	70.000	226.000	2.4087	9.0703	225.1292
100.000	368.000	100.000	368.000	3.3376	12.4079	106.5905
150.000	377.000	150.000	377.000	3.7612	16.1691	89.6750
200.000	359.000	200.000	359.000	9.6206	25.7897	136.3349
300.000	242.000	300.000	242.000	9.8650	35.6547	219.2655
400.000	151.000	400.000	151.000	9.3166	44.9713	290.1944
500.000	94.000	500.000	94.000	17.2366	62.2080	395.4156
				24.0989	86.3069	545.5255
				44.2874	130.5943	555.2144
				49.6786	180.2729	416.9597
				93.5829	273.8550	212.1148
				58.3214	332.1772	61.2475



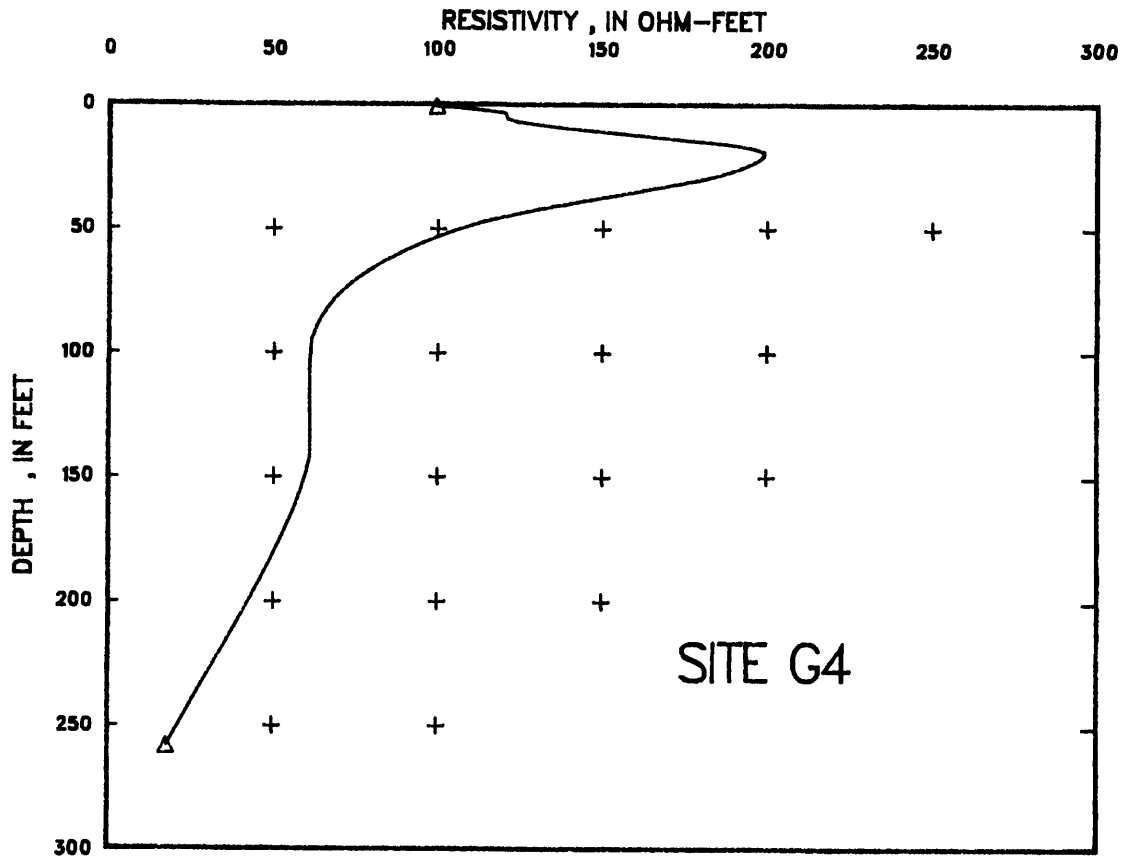
Field data, smoothed data, layer resistivity from smoothed data, and Cartesian graph of resistivity in relation to depth for site G3

Field data		Smoothed data		Layer resistivity from smoothed data		
A-spacing (feet)	Apparent resistivity (ohm-feet)	A-spacing (feet)	Apparent resistivity (ohm-feet)	Thickness (feet)	Depth (feet)	Resistivity (ohm-feet)
1.000	431.000	1.000	431.000	0.1000	0.1000	380.8820
2.000	449.000	2.000	449.000	0.0468	0.1468	382.7338
3.000	404.000	3.000	404.000	0.0687	0.2154	378.0280
4.000	360.000	4.000	360.000	0.1008	0.3182	370.3950
5.000	318.000	5.000	318.000	0.1479	0.4641	373.0841
7.000	289.000	7.000	289.000	0.2160	0.6801	425.3856
10.000	280.000	10.000	260.000	0.3042	0.9843	566.3473
15.000	229.000	15.000	229.000	0.9821	1.9664	573.8169
20.000	215.000	20.000	215.000	0.9471	2.9135	297.1992
30.000	196.000	30.000	196.000	0.8875	3.8010	200.6685
40.000	187.000	40.000	187.000	0.9339	4.7349	203.2466
50.000	184.000	50.000	184.000	1.9878	6.7227	260.9967
70.000	188.000	70.000	188.000	3.0000	9.7227	292.6376
100.000	197.000	100.000	190.000	4.9090	14.6317	217.4937
150.000	188.000	150.000	165.000	4.7359	19.3676	162.9538
200.000	145.000	200.000	135.000	9.4607	28.8482	139.1129
300.000	161.000	300.000	78.000	9.8375	38.6857	149.2807
400.000	50.000	400.000	50.000	9.9833	48.6691	194.1686
500.000	48.000	500.000	31.000	18.9246	67.5937	273.6471
				28.7801	96.3738	290.4944
				49.1806	145.5544	171.2220
				41.4905	187.0448	82.0888
				66.7342	253.7790	37.5724
				61.6215	315.4005	21.6596



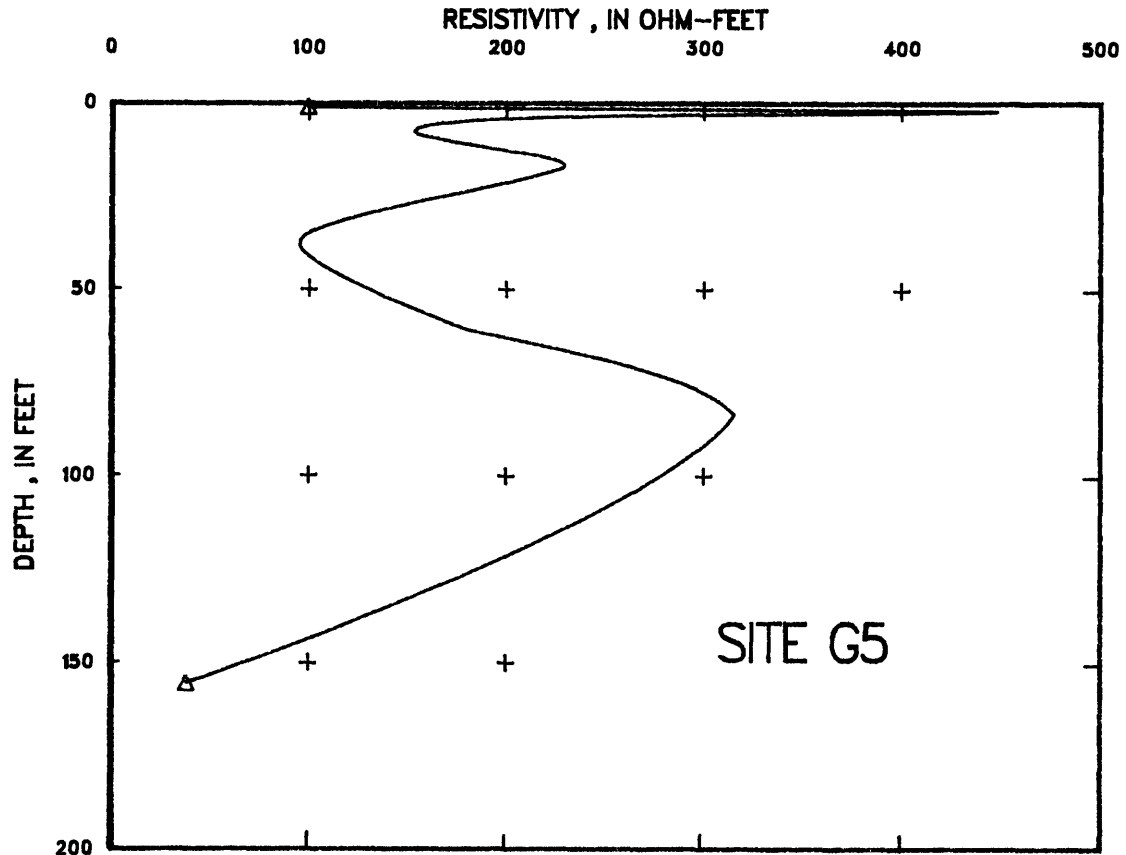
Field data, smoothed data, layer resistivity from smoothed data, and Cartesian graph of resistivity in relation to depth for site G4

Field data		Smoothed data		Layer resistivity from smoothed data		
A-spacing (feet)	Apparent resistivity (ohm-feet)	A-spacing (feet)	Apparent resistivity (ohm-feet)	Thickness (feet)	Depth (feet)	Resistivity (ohm-feet)
1.000	90.000	1.000	90.000	0.1000	0.1000	81.4708
2.000	100.000	2.000	100.000	0.0488	0.1488	81.6603
3.000	105.000	3.000	105.000	0.0888	0.2154	81.1997
4.000	115.000	4.000	110.000	0.1008	0.3182	80.7272
5.000	112.000	5.000	115.000	0.1479	0.4841	81.2360
7.000	126.000	7.000	120.000	0.2168	0.6808	87.1389
10.000	126.000	10.000	126.000	0.3152	0.9980	99.5357
15.000	135.000	15.000	140.000	0.9899	1.9859	107.5857
20.000	144.000	20.000	144.000	0.9807	2.9787	114.8219
30.000	151.000	30.000	151.000	0.9808	3.9872	120.4835
40.000	144.000	40.000	144.000	0.9842	4.9814	120.6818
50.000	135.000	50.000	135.000	1.9901	6.9515	123.2437
70.000	119.000	70.000	118.000	2.9557	8.9072	139.2304
100.000	90.000	100.000	90.000	4.7724	14.6786	175.1780
150.000	66.000	150.000	66.000	4.7371	19.4187	199.1347
200.000	50.000	200.000	50.000	9.8597	29.2784	183.3197
300.000	38.000	300.000	29.000	9.9873	39.2437	144.2011
400.000	19.000	400.000	19.000	9.7135	48.9572	110.3282
500.000	22.000			18.4743	67.4315	78.6696
				27.2970	94.7285	61.5457
				47.7892	142.5178	61.0713
				48.5303	189.0479	47.0873
				69.4582	258.5060	17.8185



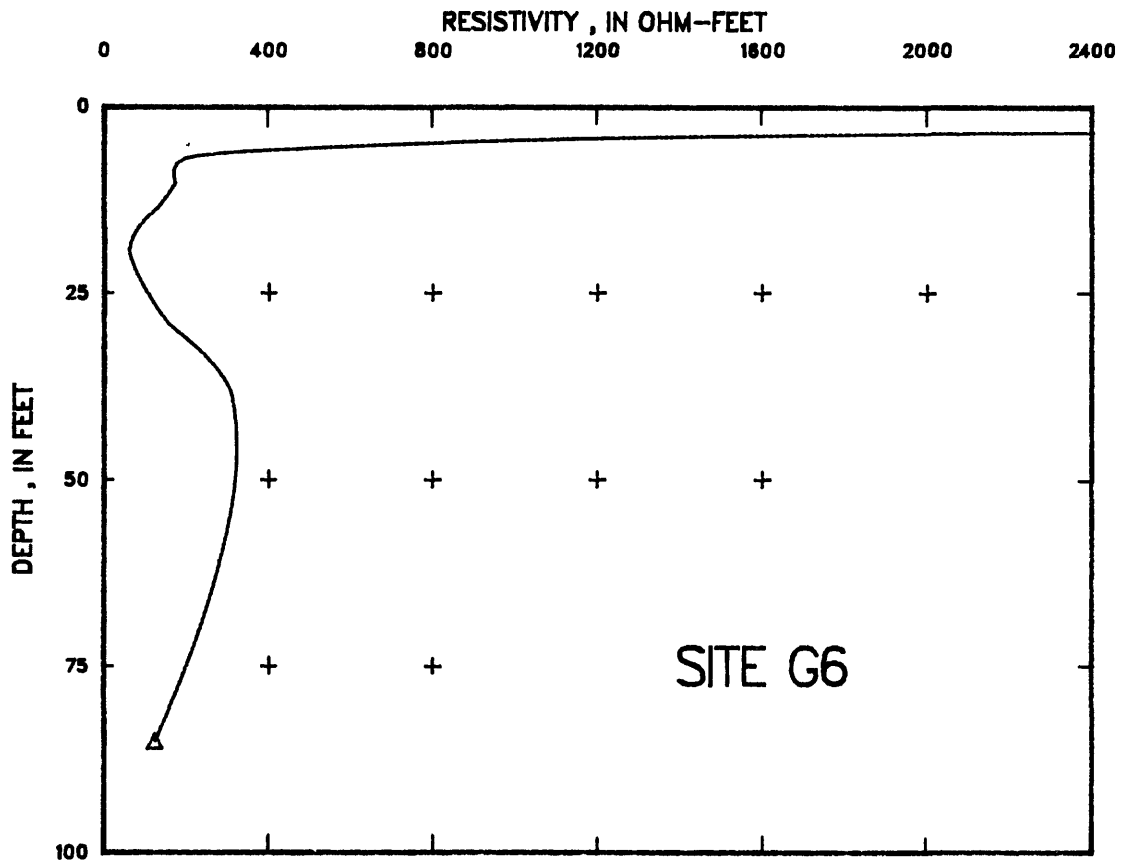
Field data, smoothed data, layer resistivity from smoothed data, and Cartesian graph of resistivity in relation to depth for site G5

Field data		Smoothed data		Layer resistivity from smoothed data		
A-spacing (feet)	Apparent resistivity (ohm-feet)	A-spacing (feet)	Apparent resistivity (ohm-feet)	Thickness (feet)	Depth (feet)	Resistivity (ohm-feet)
1.000	144.000	1.000	144.000	0.0900	0.0900	132.9607
2.000	179.000	2.000	179.000	0.0420	0.1320	132.2839
3.000	215.000	3.000	215.000	0.0618	0.1938	135.8520
4.000	230.000	4.000	230.000	0.0907	0.2845	138.9366
5.000	202.000	5.000	222.000	0.1331	0.4176	131.9696
7.000	214.000	7.000	214.000	0.1932	0.6108	106.4715
10.000	206.000	10.000	206.000	0.2837	0.8945	98.8249
15.000	188.000	15.000	188.000	0.7602	1.6548	261.5189
20.000	176.000	20.000	180.000	0.6609	2.3157	447.5975
30.000	170.000	30.000	170.000	0.8773	3.1929	288.0039
40.000	161.000	40.000	164.000	0.8959	4.0888	210.3373
50.000	161.000	50.000	158.000	1.7543	5.8432	163.8686
70.000	151.000	70.000	151.000	2.6484	8.4916	154.6209
100.000	153.000	100.000	145.000	4.4973	12.9888	198.5267
150.000	121.000	150.000	121.000	4.4523	17.4411	228.4113
200.000	88.000	200.000	88.000	8.8881	26.3292	157.0420
300.000	38.000	300.000	38.000	8.2824	34.6115	100.3876
400.000	37.000			8.6425	43.2540	104.8988
				17.6995	60.9535	179.8519
				22.6683	83.6219	314.4871
				44.8885	128.5104	170.1379
				26.8739	155.3842	37.3203



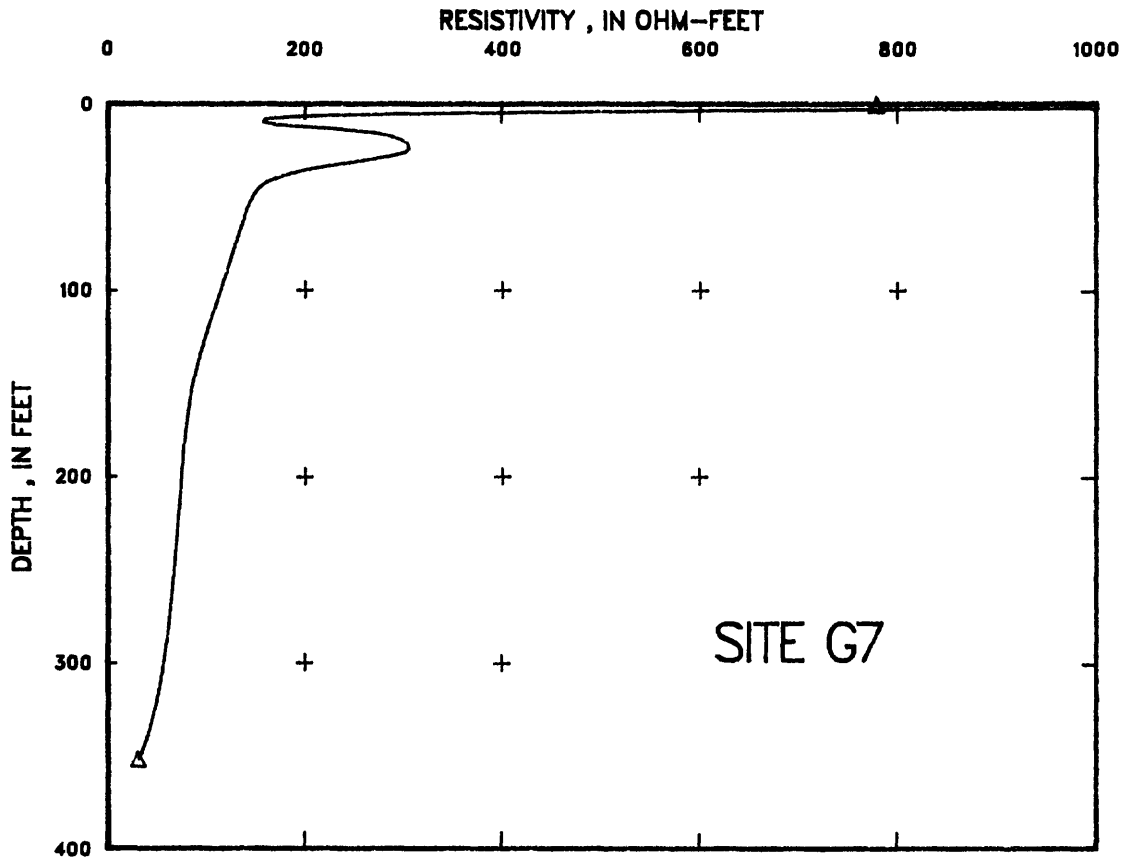
Field data, smoothed data, layer resistivity from smoothed data, and Cartesian graph of resistivity in relation to depth for site G6

Field data		Smoothed data		Layer resistivity from smoothed data		
A-spacing (feet)	Apparent resistivity (ohm-feet)	A-spacing (feet)	Apparent resistivity (ohm-feet)	Thickness (feet)	Depth (feet)	Resistivity (ohm-feet)
1.000	2,000.000	1.000	2,000.000	0.1000	0.1000	1,448.0679
2.000	2,449.000	2.000	2,449.000	0.0468	0.1468	1,459.4795
3.000	2,763.000	3.000	2,763.000	0.0687	0.2154	1,435.5539
4.000	2,512.000	4.000	2,512.000	0.1007	0.3162	1,380.0410
5.000	1,397.000	5.000	1,600.000	0.1479	0.4640	1,376.5334
7.000	909.000	7.000	909.000	0.2149	0.6790	1,674.6218
10.000	534.000	10.000	534.000	0.2812	0.9602	2,740.5073
15.000	259.000	15.000	270.000	0.7382	1.6984	5,339.2275
20.000	237.000	20.000	215.000	0.9719	2.6703	3,836.0464
30.000	170.000	30.000	170.000	0.9604	3.6307	2,072.6157
40.000	174.000	40.000	155.000	0.8141	4.4448	1,103.8018
50.000	174.000	50.000	150.000	1.2053	5.6501	469.1224
70.000	147.000	70.000	142.000	1.3859	7.0360	193.8703
100.000	126.000	100.000	126.000	3.1380	10.1739	173.9196
150.000	126.000	150.000	54.000	3.4059	13.5786	130.1941
200.000	126.000			5.6278	19.2076	60.9507
				9.8672	29.0748	158.7873
				9.1088	38.1836	309.3411
				19.1301	57.3137	296.7901
				27.7066	85.0203	123.9674



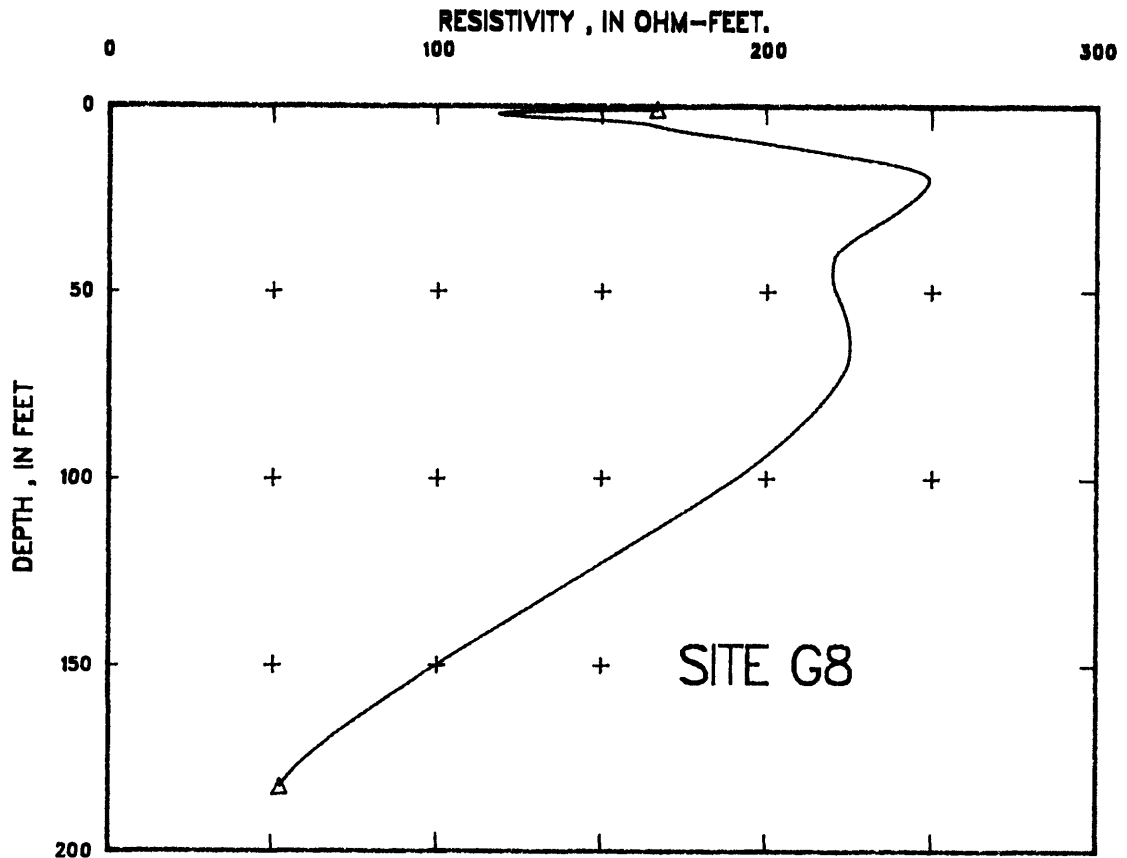
Field data, smoothed data, layer resistivity from smoothed data, and Cartesian graph of resistivity in relation to depth for site G7

Field data		Smoothed data		Layer resistivity from smoothed data		
A-spacing (feet)	Apparent resistivity (ohm-feet)	A-spacing (feet)	Apparent resistivity (ohm-feet)	Thickness (feet)	Depth (feet)	Resistivity (ohm-feet)
1.000	440.000	1.000	440.000	0.1000	0.1000	286.3250
2.000	843.000	2.000	843.000	0.0468	0.1468	291.0381
3.000	1,087.000	3.000	1,087.000	0.0687	0.2154	283.0514
4.000	754.000	4.000	920.000	0.1006	0.3160	264.7029
5.000	807.000	5.000	800.000	0.1477	0.4637	257.9243
7.000	352.000	7.000	588.000	0.2135	0.6772	340.4183
10.000	332.000	10.000	400.000	0.2327	0.9099	777.6234
15.000	350.000	15.000	320.000	0.2275	1.1374	4,895.4912
20.000	395.000	20.000	255.000	0.8067	1.9441	1,881.4897
30.000	178.000	30.000	250.000	0.9937	2.9378	1,082.0134
40.000	172.000	40.000	210.000	0.9718	3.9096	897.8016
50.000	166.000	50.000	200.000	1.6899	5.5995	373.2289
70.000	188.000	70.000	180.000	2.0785	7.6780	179.8577
100.000	155.000	100.000	155.000	4.0977	11.7757	169.2185
150.000	125.000	150.000	110.000	4.9856	18.7414	275.4691
200.000	108.000	200.000	90.000	9.9953	28.7367	301.0225
300.000	57.000	300.000	57.000	9.5541	38.2908	198.1454
400.000	38.000	400.000	40.000	9.2180	45.5087	153.2594
500.000	22.000	500.000	22.000	18.6007	64.1074	135.8027
				28.2149	92.3224	118.9334
				46.0850	138.4074	90.9209
				48.1423	184.5497	75.7688
				91.8792	278.4288	61.3931
				75.6677	352.0966	30.1757



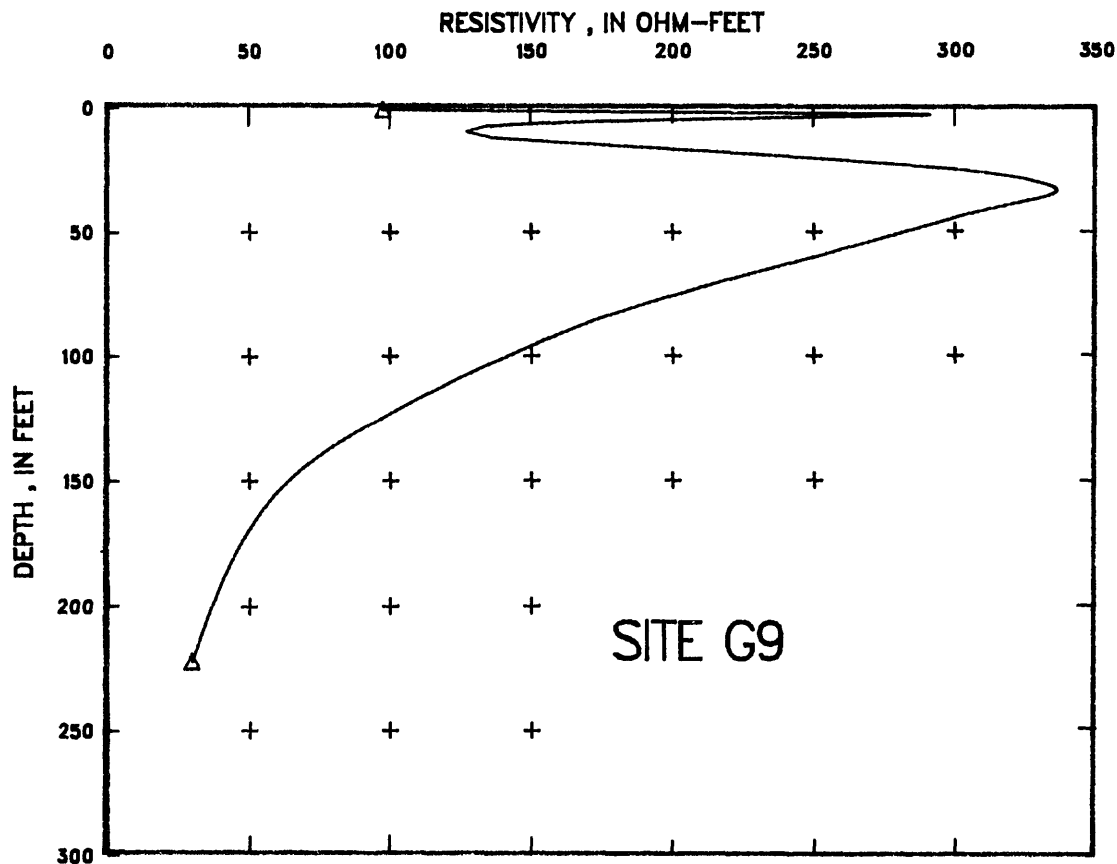
Field data, smoothed data, layer resistivity from smoothed data, and Cartesian graph of resistivity in relation to depth for site G8

Field data		Smoothed data		Layer resistivity from smoothed data		
A-spacing (feet)	Apparent resistivity (ohm-feet)	A-spacing (feet)	Apparent resistivity (ohm-feet)	Thickness (feet)	Depth (feet)	Resistivity (ohm-feet)
1.000	179.000	1.000	179.000	0.1000	0.1000	206.6313
2.000	151.000	2.000	151.000	0.0468	0.1468	202.0093
3.000	121.000	3.000	140.000	0.0686	0.2154	212.8542
4.000	151.000	4.000	148.000	0.1008	0.3162	211.6536
5.000	148.000	5.000	148.000	0.1479	0.4641	207.4267
7.000	157.000	7.000	157.000	0.2169	0.6810	194.8665
10.000	170.000	10.000	170.000	0.3160	0.9969	166.4041
15.000	188.000	15.000	188.000	0.4683	1.3652	120.7162
20.000	197.000	20.000	197.000	0.6828	1.9580	124.9419
30.000	213.000	30.000	213.000	0.9994	2.9575	147.2321
40.000	215.000	40.000	215.000	1.4125	4.2509	162.4887
50.000	197.000	50.000	210.000	1.9786	6.2305	173.6740
70.000	195.000	70.000	202.000	2.8171	8.8676	198.8007
100.000	188.000	100.000	168.000	4.0193	12.4689	230.8302
150.000	188.000	150.000	145.000	5.6231	17.5220	248.9777
200.000	108.000	200.000	108.000	7.9813	24.4133	237.9858
300.000	54.000	300.000	70.000	11.2212	34.4044	221.3300
400.000	50.000			15.8559	49.4004	220.3167
				22.3866	69.3869	224.2911
				31.6642	99.2511	191.9318
				44.8840	145.1352	108.4780
				63.4986	182.6317	52.4765



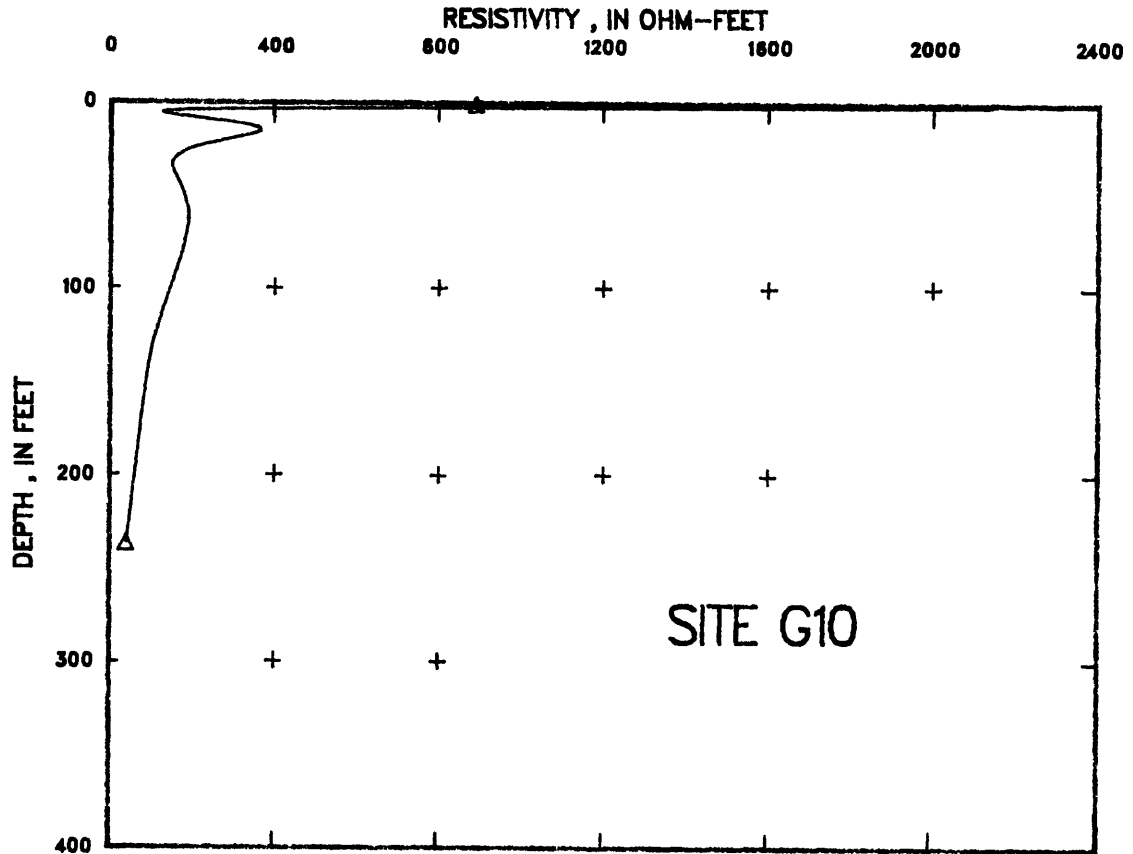
Field data, smoothed data, layer resistivity from smoothed data, and Cartesian graph of resistivity in relation to depth for site G9

Field data		Smoothed data		Layer resistivity from smoothed data		
A-spacing (feet)	Apparent resistivity (ohm-feet)	A-spacing (feet)	Apparent resistivity (ohm-feet)	Thickness (feet)	Depth (feet)	Resistivity (ohm-feet)
1.000	179.000	1.000	179.000	0.0900	0.0900	202.8428
2.000	133.000	2.000	133.000	0.0421	0.1321	201.1436
3.000	151.000	3.000	151.000	0.0618	0.1939	203.1411
4.000	161.000	4.000	170.000	0.0907	0.2846	209.1819
5.000	188.000	5.000	188.000	0.1330	0.4176	214.8436
7.000	151.000	7.000	160.000	0.1954	0.6130	205.5390
10.000	161.000	10.000	161.000	0.2825	0.8955	157.8011
15.000	175.000	15.000	175.000	0.8433	1.7388	98.0866
20.000	179.000	20.000	179.000	0.8856	2.6243	168.1128
30.000	210.000	30.000	210.000	0.7609	3.3852	285.8362
40.000	222.000	40.000	222.000	0.8256	4.2108	270.2718
50.000	224.000	50.000	224.000	1.7984	6.0092	194.3736
70.000	214.000	70.000	214.000	2.6373	8.6465	134.7229
100.000	188.000	100.000	188.000	4.4564	13.1028	136.0196
150.000	121.000	150.000	121.000	4.4085	17.5113	198.6157
200.000	126.000	200.000	85.000	8.0220	25.5334	300.5229
300.000	43.000	300.000	43.000	8.1441	33.6775	336.9904
400.000	19.000	400.000	19.000	8.6637	42.3412	308.8392
				17.9855	60.3268	242.2602
				26.3140	86.6407	172.4902
				39.5662	126.2072	97.7109
				35.1732	161.3802	57.0416
				62.0340	223.4142	30.9773



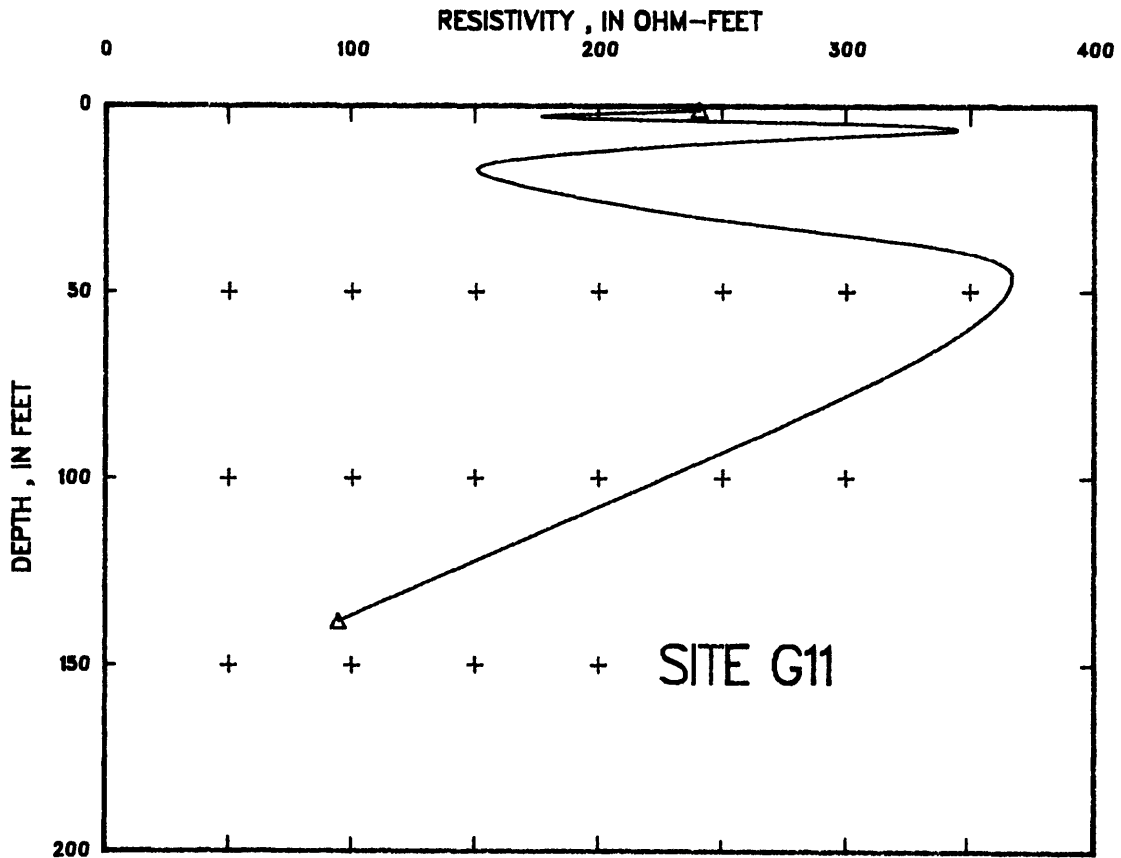
Field data, smoothed data, layer resistivity from smoothed data, and Cartesian graph of resistivity in relation to depth for site G10

Field data		Smoothed data		Layer resistivity from smoothed data		
A-spacing (feet)	Apparent resistivity (ohm-feet)	A-spacing (feet)	Apparent resistivity (ohm-feet)	Thickness (feet)	Depth (feet)	Resistivity (ohm-feet)
1.000	754.000	1.000	754.000	0.0900	0.0900	612.0481
2.000	879.000	2.000	1,000.000	0.0421	0.1321	627.6890
3.000	1,067.000	3.000	1,067.000	0.0616	0.1939	627.4995
4.000	954.000	4.000	900.000	0.0907	0.2846	600.0675
5.000	576.000	5.000	650.000	0.1327	0.4173	553.8375
7.000	440.000	7.000	440.000	0.1954	0.6127	580.4548
10.000	314.000	10.000	320.000	0.2710	0.8837	867.9296
15.000	314.000	15.000	280.000	0.6396	1.5233	2,139.5879
20.000	251.000	20.000	251.000	0.8604	2.3837	1,581.8337
30.000	226.000	30.000	226.000	0.8629	3.2467	804.7842
40.000	201.000	40.000	201.000	0.7060	3.9546	398.6566
50.000	197.000	50.000	197.000	1.0410	4.9957	168.4347
70.000	182.000	70.000	182.000	1.8209	6.6166	136.9646
100.000	163.000	100.000	163.000	4.4612	11.2779	298.7372
150.000	121.000	150.000	121.000	4.4928	15.7707	365.2991
200.000	72.000	200.000	90.000	8.5319	24.3026	207.2729
300.000	54.000	300.000	54.000	8.1780	32.4806	150.7925
400.000	19.000	400.000	19.000	8.6469	41.1275	163.3585
				17.8986	59.0261	191.4367
				26.6632	85.6893	168.4353
				41.7247	127.4140	107.5095
				40.0311	167.4451	77.7389
				69.4126	236.8577	41.6346



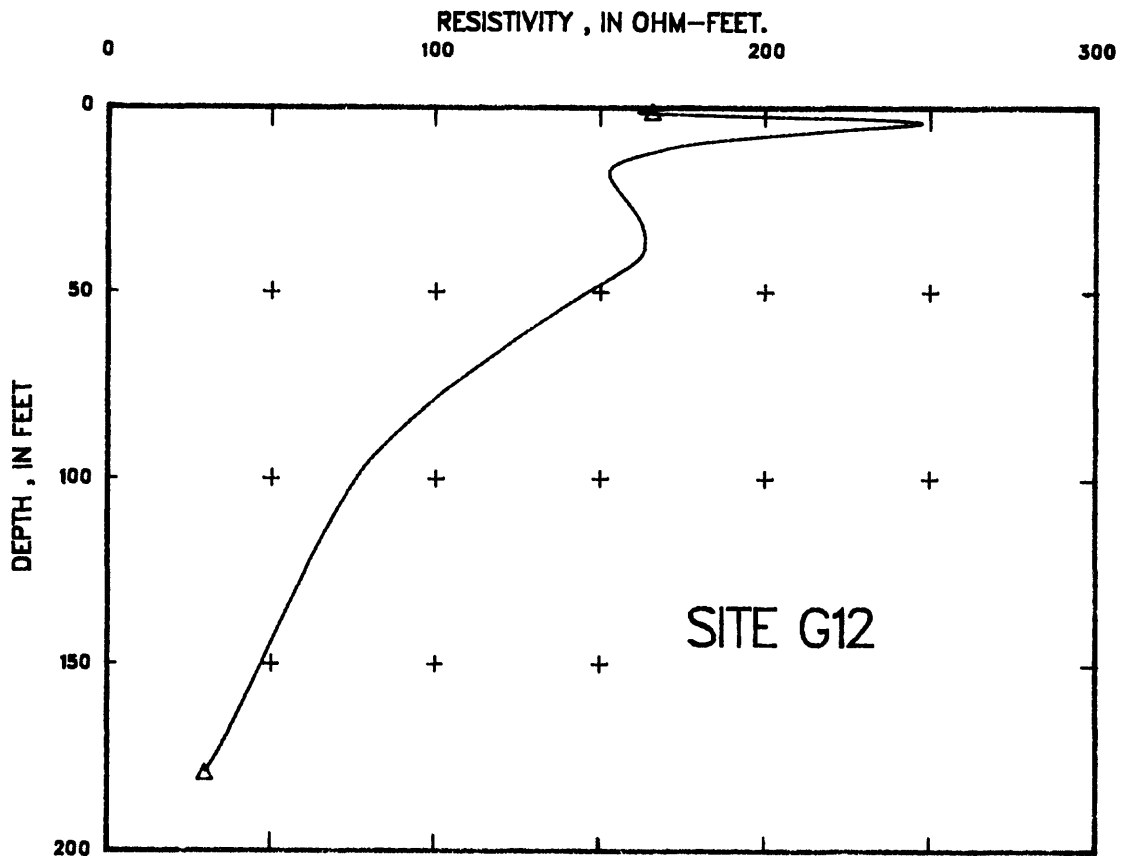
Field data, smoothed data, layer resistivity from smoothed data, and Cartesian graph of resistivity in relation to depth for site G11

Field data		Smoothed data		Layer resistivity from smoothed data		
A-spacing (feet)	Apparent resistivity (ohm-feet)	A-spacing (feet)	Apparent resistivity (ohm-feet)	Thickness (feet)	Depth (feet)	Resistivity (ohm-feet)
1.000	99.000	1.000	178.000	0.1000	0.1000	152.8654
2.000	251.000	2.000	210.000	0.0468	0.1468	151.6931
3.000	191.000	3.000	200.000	0.0687	0.2154	149.4987
4.000	208.000	4.000	205.000	0.1008	0.3162	149.4116
5.000	208.000	5.000	210.000	0.1478	0.4640	158.9987
7.000	239.000	7.000	239.000	0.2134	0.6774	192.0484
10.000	251.000	10.000	251.000	0.3035	0.9810	240.6768
15.000	229.000	15.000	229.000	0.9961	1.9770	209.9773
20.000	233.000	20.000	220.000	0.9986	2.9737	178.6120
30.000	221.000	30.000	221.000	0.9843	3.9579	233.5049
40.000	251.000	40.000	240.000	0.9219	4.8798	315.1159
50.000	238.000	50.000	245.000	1.8595	6.7393	343.3340
70.000	232.000	70.000	232.000	2.9991	9.7383	254.3959
100.000	215.000	100.000	215.000	4.8301	14.5685	165.2085
150.000	161.000	150.000	161.000	4.8850	19.4534	157.3079
200.000	90.000	200.000	90.000	9.9128	29.3663	234.2123
300.000	63.000			9.1573	38.5236	366.4702
				9.2651	47.7887	366.4702
				19.5478	67.3364	330.7465
				29.8434	97.1798	235.7081
				40.8067	137.9867	94.8267



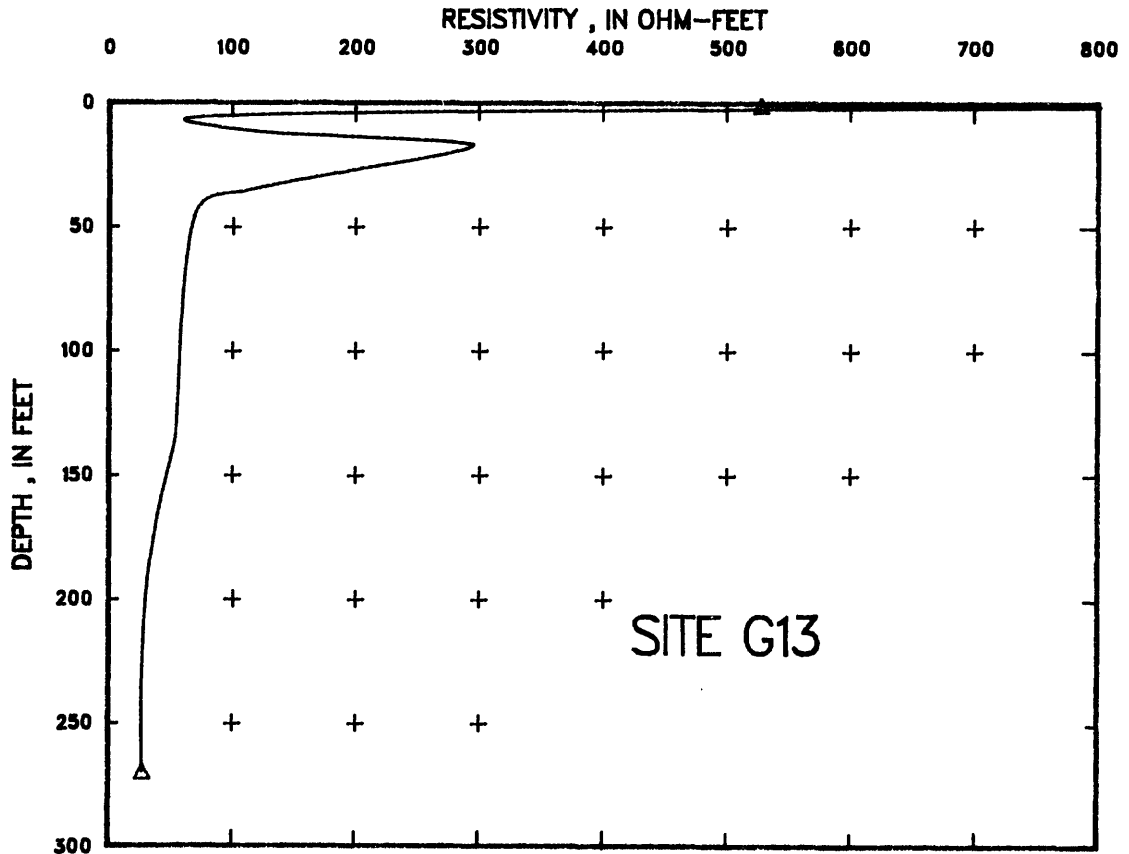
Field data, smoothed data, layer resistivity from smoothed data, and Cartesian graph of resistivity in relation to depth for site G12

Field data		Smoothed data		Layer resistivity from smoothed data		
A-spacing (feet)	Apparent resistivity (ohm-feet)	A-spacing (feet)	Apparent resistivity (ohm-feet)	Thickness (feet)	Depth (feet)	Resistivity (ohm-feet)
1.000	179.000	1.000	179.000	0.1000	0.1000	178.7192
2.000	179.000	2.000	179.000	0.0468	0.1468	178.9222
3.000	195.000	3.000	195.000	0.0687	0.2154	179.4915
4.000	197.000	4.000	197.000	0.1008	0.3162	179.9224
5.000	206.000	5.000	206.000	0.1477	0.4640	178.4568
7.000	207.000	7.000	207.000	0.2171	0.6810	173.8515
10.000	197.000	10.000	197.000	0.3183	0.9993	165.3494
15.000	188.000	15.000	188.000	0.9999	1.9992	177.0596
20.000	179.000	20.000	179.000	0.9785	2.9777	226.3464
30.000	167.000	30.000	167.000	0.9754	3.9530	246.8821
40.000	165.000	40.000	165.000	0.9900	4.9430	238.1562
50.000	153.000	50.000	153.000	2.0000	6.9430	210.7384
70.000	138.000	70.000	138.000	2.9806	9.9236	176.3802
100.000	117.000	100.000	104.000	4.9372	14.8607	155.1777
150.000	71.000	150.000	71.000	4.9641	19.8249	153.0901
200.000	63.000	200.000	48.000	9.9828	29.8076	161.5456
300.000	15.000	300.000	10.000	9.9926	39.8003	162.2162
				9.9328	49.7331	145.7639
				19.4308	69.1639	113.6530
				27.5866	96.7505	77.8086
				43.4551	140.2056	51.7388
				38.4910	178.6965	29.9074



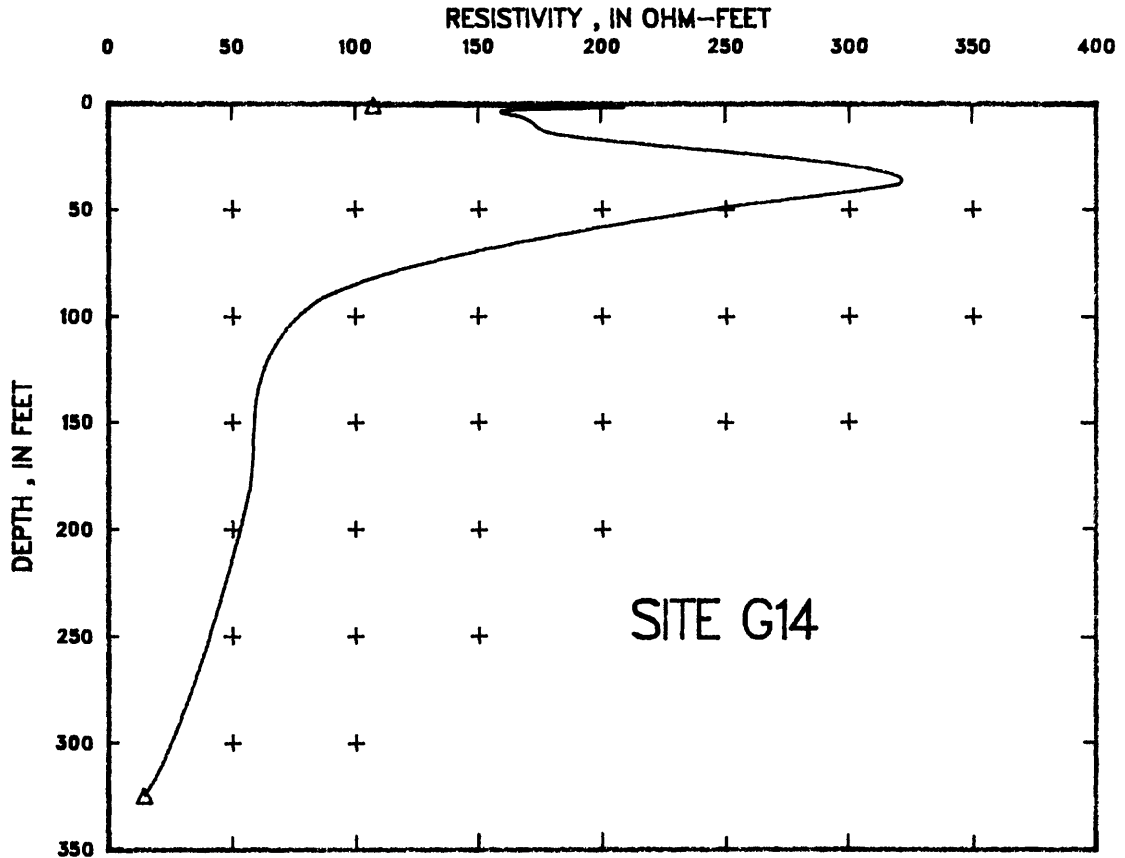
Field data, smoothed data, layer resistivity from smoothed data, and Cartesian graph of resistivity in relation to depth for site G13

Field data		Smoothed data		Layer resistivity from smoothed data		
A-spacing (feet)	Apparent resistivity (ohm-feet)	A-spacing (feet)	Apparent resistivity (ohm-feet)	Thickness (feet)	Depth (feet)	Resistivity (ohm-feet)
1.000	296.000	1.000	296.000	0.1000	0.1000	200.3131
2.000	395.000	2.000	395.000	0.0468	0.1468	201.0286
3.000	377.000	3.000	400.000	0.0686	0.2154	195.2098
4.000	395.000	4.000	395.000	0.1007	0.3161	187.3198
5.000	341.000	5.000	341.000	0.1479	0.4640	196.1882
7.000	251.000	7.000	251.000	0.2085	0.6726	275.9397
10.000	188.000	10.000	188.000	0.2462	0.9187	526.7261
15.000	148.000	15.000	148.000	0.7343	1.6731	799.0184
20.000	149.000	20.000	149.000	0.9831	2.6561	552.1522
30.000	153.000	30.000	148.000	0.9665	3.6226	322.9040
40.000	144.000	40.000	140.000	0.8420	4.4646	182.1883
50.000	121.000	50.000	121.000	1.3327	5.7973	86.6573
100.000	81.000	100.000	75.000	2.0902	7.8875	62.0124
150.000	57.000	150.000	57.000	4.9760	12.8636	139.0850
200.000	50.000	200.000	48.000	4.2598	17.1233	294.4025
300.000	38.000	300.000	38.000	9.9348	27.0581	203.1331
400.000	36.000	400.000	36.000	8.3245	36.9827	105.7042
500.000	45.000			8.4925	44.8751	69.3134
				44.9007	89.7758	57.4859
				47.5587	137.3346	52.4981
				43.8258	181.1603	33.6577
				88.6722	269.8325	27.2758



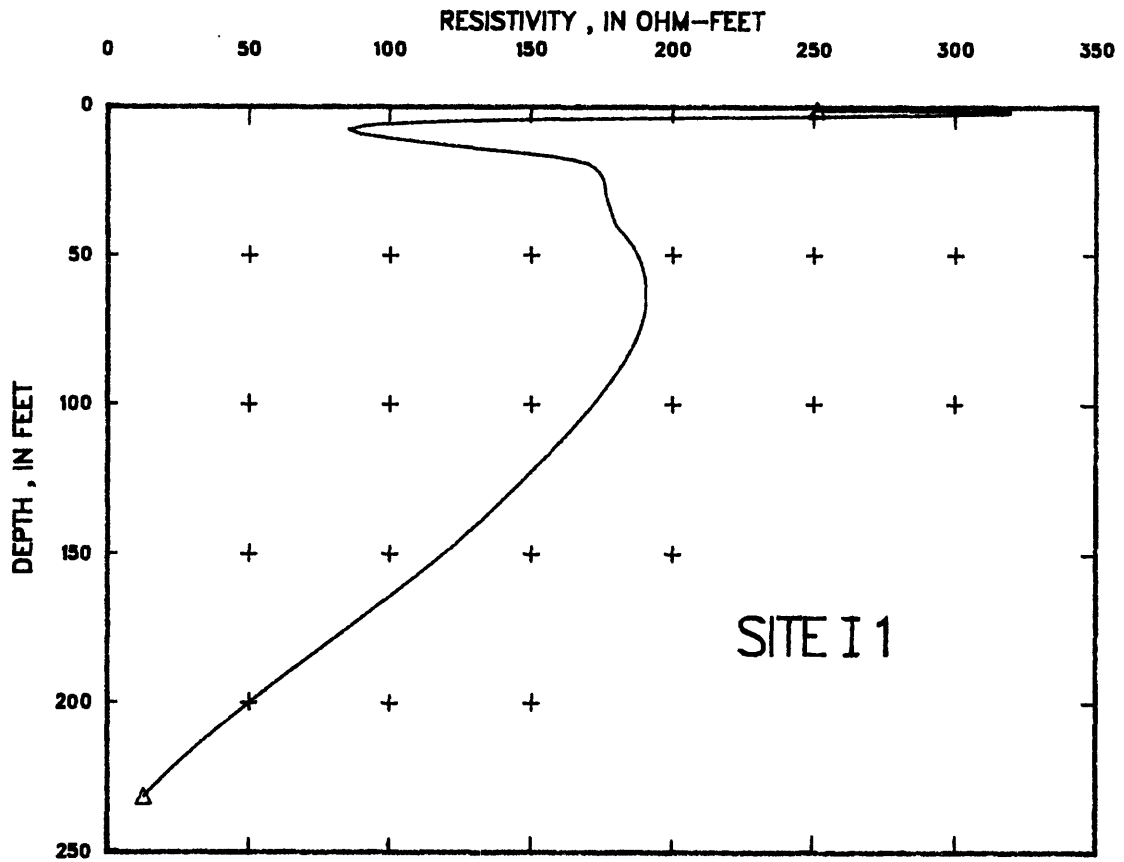
Field data, smoothed data, layer resistivity from smoothed data, and Cartesian graph of resistivity in relation to depth for site G14

Field data		Smoothed data		Layer resistivity from smoothed data		
A-spacing (feet)	Apparent resistivity (ohm-feet)	A-spacing (feet)	Apparent resistivity (ohm-feet)	Thickness (feet)	Depth (feet)	Resistivity (ohm-feet)
1.000	251.000	1.000	78.000	0.1000	0.1000	56.6993
2.000	359.000	2.000	110.000	0.0468	0.1468	57.5033
3.000	129.000	3.000	129.000	0.0686	0.2154	56.8441
4.000	133.000	4.000	140.000	0.1007	0.3181	54.8235
5.000	144.000	5.000	144.000	0.1478	0.4640	53.4518
7.000	157.000	7.000	157.000	0.2157	0.6787	63.5546
10.000	161.000	10.000	168.000	0.2804	0.9601	107.2097
15.000	175.000	15.000	175.000	0.7375	1.6976	208.1540
20.000	179.000	20.000	189.000	0.9272	2.6247	179.7785
30.000	199.000	30.000	199.000	0.9848	3.6096	158.9787
40.000	208.000	40.000	208.000	0.9910	4.6006	158.6855
50.000	211.000	50.000	211.000	1.9792	6.5798	166.9545
70.000	188.000	70.000	188.000	2.9751	9.5549	172.3623
100.000	153.000	100.000	150.000	4.9593	14.5142	180.8922
150.000	108.000	150.000	104.000	4.8404	19.3546	218.7962
200.000	75.000	200.000	75.000	9.1168	28.4713	287.2535
300.000	38.000	300.000	43.000	9.3219	37.7932	319.9913
400.000	39.000	400.000	28.000	9.9563	47.7495	255.2668
500.000	21.000	500.000	21.000	19.3256	67.0751	158.0527
				25.3584	92.4315	84.5680
				41.7554	134.1869	80.3786
				45.1510	179.3379	57.4296
				84.1366	263.4744	37.0529
				60.7247	324.1992	14.4994



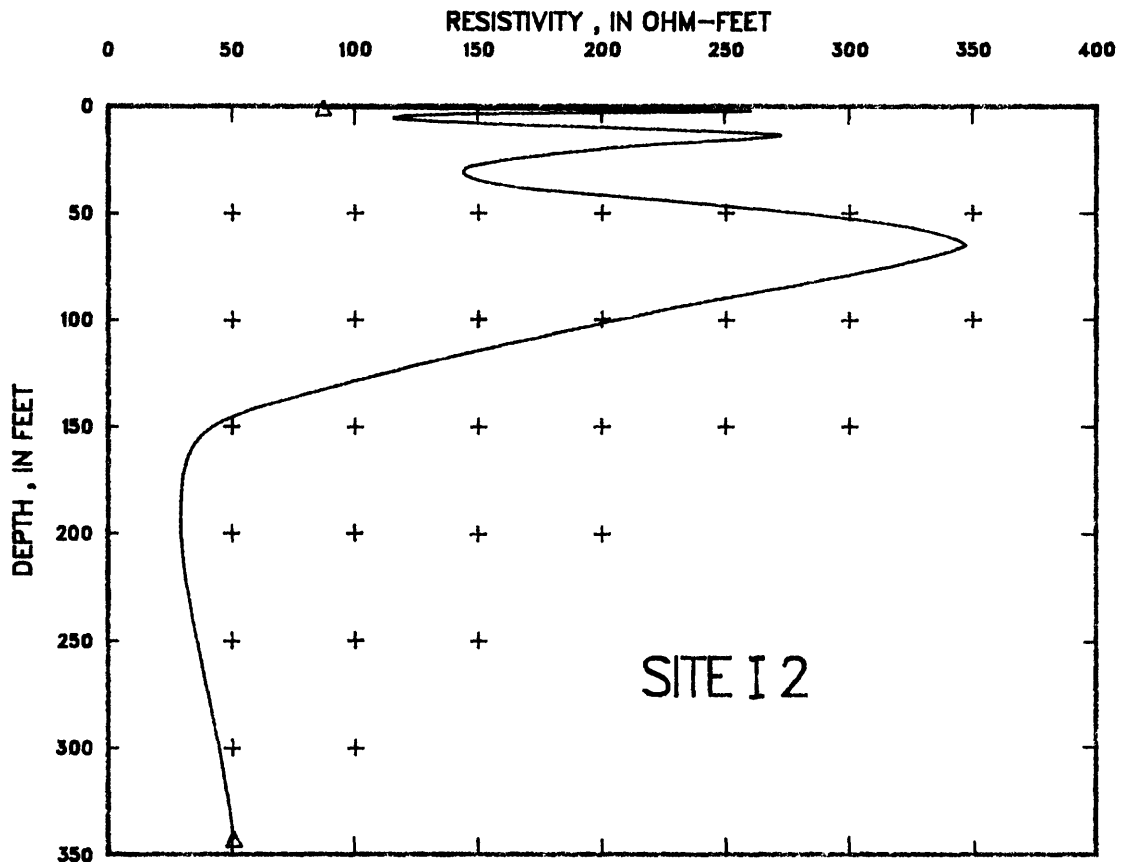
Field data, smoothed data, layer resistivity from smoothed data, and Cartesian graph of resistivity in relation to depth for site I1

Field data		Smoothed data		Layer resistivity from smoothed data		
A-spacing (feet)	Apparent resistivity (ohm-feet)	A-spacing (feet)	Apparent resistivity (ohm-feet)	Thickness (feet)	Depth (feet)	Resistivity (ohm-feet)
1.000	215.000	1.000	215.000	0.1000	0.1000	215.2641
2.000	269.000	2.000	269.000	0.0468	0.1468	214.9259
3.000	312.000	3.000	312.000	0.0687	0.2154	213.5501
4.000	212.000	4.000	212.000	0.1008	0.3162	211.0068
5.000	184.000	5.000	184.000	0.1479	0.4641	210.2627
7.000	151.000	7.000	151.000	0.2171	0.6812	219.4028
10.000	135.000	10.000	135.000	0.3161	0.9972	251.0291
15.000	148.000	15.000	140.000	0.4702	1.4674	319.2982
20.000	144.000	20.000	144.000	0.6991	2.1665	281.9966
30.000	159.000	30.000	152.000	0.9701	3.1366	189.3584
40.000	151.000	40.000	151.000	0.9039	4.8404	128.9691
50.000	166.000	50.000	166.000	1.7085	6.5489	90.9024
70.000	163.000	70.000	172.000	2.7664	9.3153	89.4532
100.000	170.000	100.000	170.000	4.9977	14.3131	131.8803
150.000	161.000	150.000	161.000	4.9049	19.2180	169.8792
200.000	126.000	200.000	126.000	9.8588	29.0768	176.1088
300.000	38.000	300.000	51.000	9.9039	38.9807	180.0709
400.000	19.000	400.000	19.000	9.8986	48.8794	187.2501
				19.8543	68.7337	190.1112
				29.9994	98.7331	172.8443
				48.7996	147.5327	121.8215
				42.2477	189.7803	63.6680
				41.3034	231.0836	12.9292



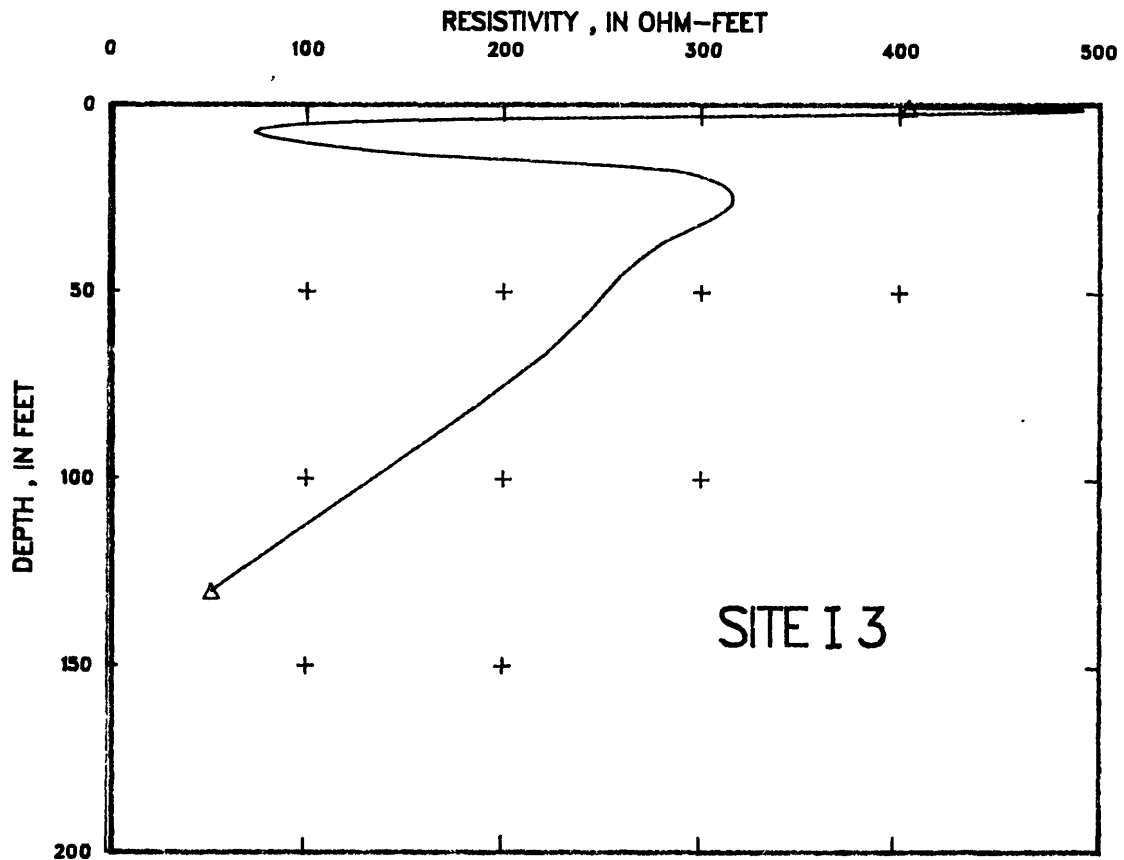
Field data, smoothed data, layer resistivity from smoothed data, and Cartesian graph of resistivity in relation to depth for site I2

Field data		Smoothed data		Layer resistivity from smoothed data		
A-spacing (feet)	Apparent resistivity (ohm-feet)	A-spacing (feet)	Apparent resistivity (ohm-feet)	Thickness (feet)	Depth (feet)	Resistivity (ohm-feet)
1.000	90.000	1.000	90.000	0.1000	0.1000	75.3680
2.000	117.000	2.000	117.000	0.0468	0.1468	75.6263
3.000	140.000	3.000	140.000	0.0687	0.2154	76.2206
4.000	154.000	4.000	154.000	0.1008	0.3162	75.6496
5.000	152.000	5.000	152.000	0.1479	0.4641	72.7094
7.000	151.000	7.000	151.000	0.2171	0.6811	72.1252
10.000	170.000	10.000	170.000	0.3157	0.9968	87.2802
15.000	188.000	15.000	188.000	0.8156	1.8124	191.2654
20.000	179.000	20.000	179.000	0.8118	2.6242	260.0801
30.000	176.000	30.000	176.000	0.9877	3.6119	177.9590
40.000	187.000	40.000	187.000	0.9926	4.6045	130.3023
50.000	193.000	50.000	193.000	1.9736	6.5781	117.0150
70.000	195.000	70.000	195.000	2.9579	9.5359	170.3257
100.000	179.000	100.000	179.000	4.4227	13.9586	272.2231
150.000	134.000	150.000	134.000	4.9409	18.8995	213.7278
200.000	90.000	200.000	90.000	9.8747	28.7742	145.7697
300.000	54.000	300.000	54.000	9.9983	38.7725	167.7522
400.000	50.000	400.000	32.000	9.3549	48.1274	257.4595
500.000	21.000	500.000	21.000	17.3973	65.5247	347.0820
				29.9883	95.5130	225.6112
				40.3728	135.8857	77.3883
				29.9295	165.8152	31.8056
				79.6420	245.4572	35.4077
				97.3390	342.7961	51.1337



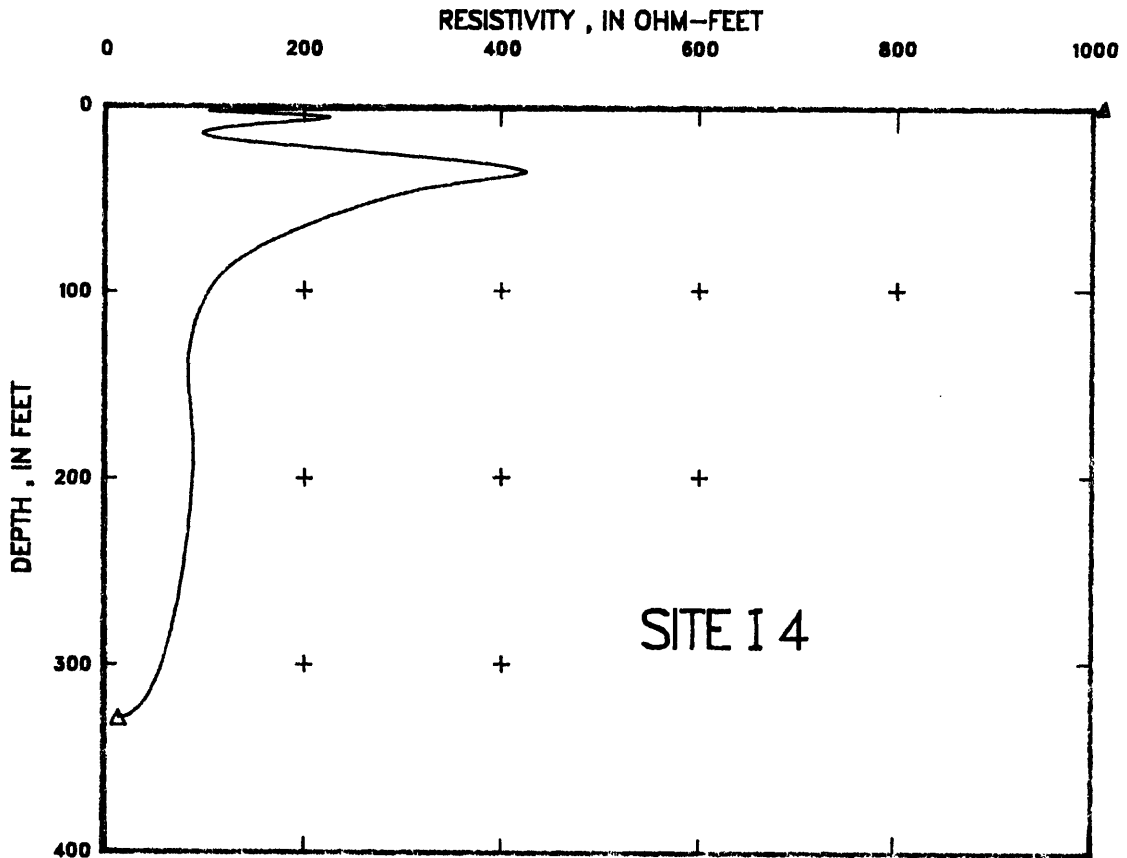
Field data, smoothed data, layer resistivity from smoothed data, and Cartesian graph of resistivity in relation to depth for site I3

Field data		Smoothed data		Layer resistivity from smoothed data		
A-spacing (feet)	Apparent resistivity (ohm-feet)	A-spacing (feet)	Apparent resistivity (ohm-feet)	Thickness (feet)	Depth (feet)	Resistivity (ohm-feet)
1.000	332.000	1.000	332.000	0.1000	0.1000	301.4785
2.000	341.000	2.000	360.000	0.0468	0.1468	289.8184
3.000	349.000	3.000	349.000	0.0687	0.2154	296.5993
4.000	273.000	4.000	305.000	0.1008	0.3162	293.3974
5.000	274.000	5.000	265.000	0.1479	0.4641	298.2797
7.000	176.000	7.000	200.000	0.2164	0.6805	329.3655
10.000	170.000	10.000	170.000	0.3108	0.9914	403.2961
15.000	148.000	15.000	148.000	0.9659	1.9572	485.8312
20.000	197.000	20.000	170.000	0.9975	2.9548	366.1035
30.000	201.000	30.000	201.000	0.9349	3.8897	225.0551
40.000	208.000	40.000	208.000	0.8337	4.7234	139.8573
50.000	197.000	50.000	197.000	1.4866	6.2101	84.1662
70.000	195.000	70.000	195.000	2.5024	8.7125	77.0993
100.000	169.000	100.000	169.000	4.9985	13.7110	151.6183
150.000	104.000	150.000	104.000	4.2771	17.9881	285.7523
200.000	50.000	200.000	50.000	8.8938	26.8819	313.3282
300.000	57.000			9.6716	36.5535	280.4760
				9.9258	46.4793	256.5308
				19.9891	66.4683	220.4069
				28.7694	95.2378	146.0909
				35.0464	130.2842	50.4793



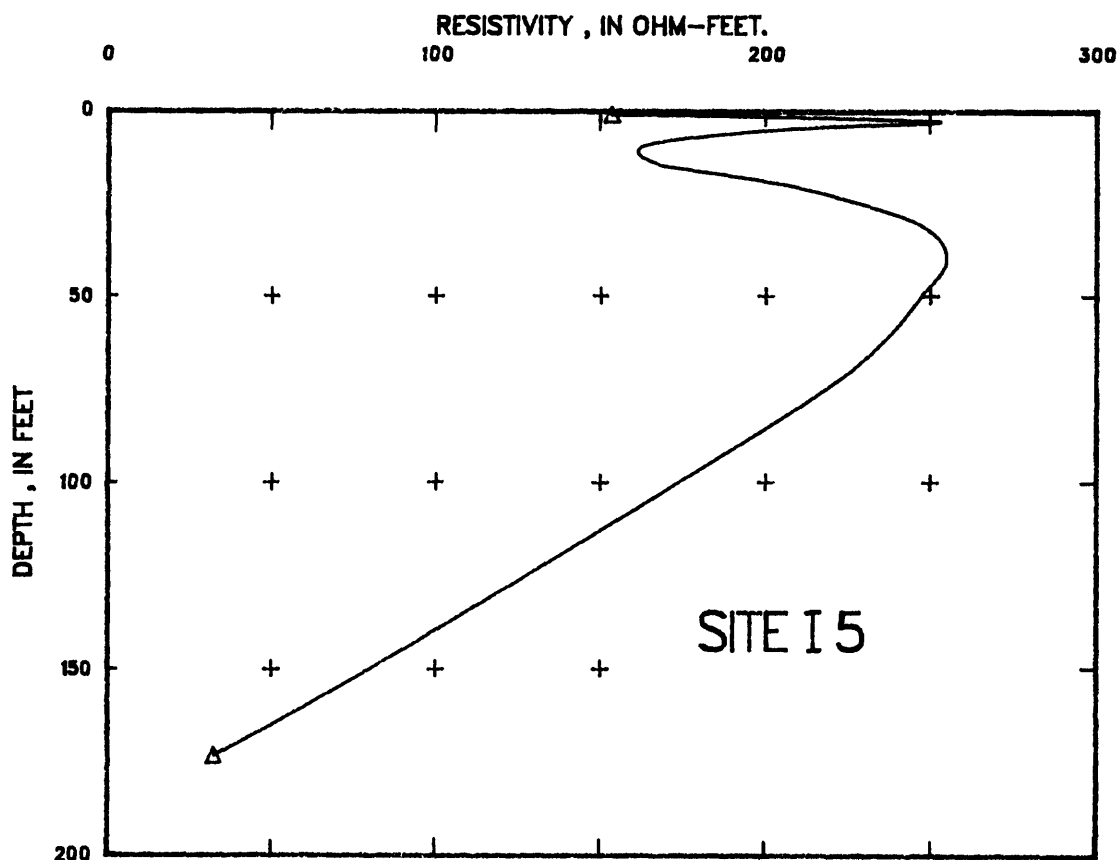
Field data, smoothed data, layer resistivity from smoothed data, and Cartesian graph of resistivity in relation to depth for site I4

Field data		Smoothed data		Layer resistivity from smoothed data		
A-spacing (feet)	Apparent resistivity (ohm-feet)	A-spacing (feet)	Apparent resistivity (ohm-feet)	Thickness (feet)	Depth (feet)	Resistivity (ohm-feet)
1.000	296.000	1.000	296.000	0.1000	0.1000	176.9846
2.000	341.000	2.000	341.000	0.0466	0.1468	175.1949
3.000	253.000	3.000	253.000	0.0686	0.2153	164.7631
4.000	230.000	4.000	230.000	0.1007	0.3161	164.7783
5.000	202.000	5.000	202.000	0.1421	0.4582	239.8765
7.000	207.000	7.000	190.000	0.1414	0.5996	599.6859
10.000	188.000	10.000	180.000	0.1749	0.7746	1,011.0112
15.000	175.000	15.000	175.000	0.9994	1.7740	366.6747
20.000	179.000	20.000	176.000	0.8213	2.5953	131.2920
30.000	180.000	30.000	180.000	0.8680	3.4632	113.7791
40.000	183.000	40.000	186.000	0.9833	4.4465	157.9993
50.000	197.000	50.000	197.000	1.9823	6.4288	227.8711
70.000	195.000	70.000	195.000	2.9813	9.4101	171.5219
100.000	170.000	100.000	180.000	4.6068	14.0170	101.6302
150.000	148.000	150.000	140.000	4.9766	18.9936	136.6552
200.000	108.000	200.000	108.000	8.3021	27.2957	318.4139
300.000	60.000	300.000	60.000	7.8471	35.1429	427.0281
400.000	39.000	400.000	39.000	9.5406	44.6834	317.1825
500.000	24.000	500.000	24.000	19.8669	64.5504	201.7108
				27.2284	91.7787	115.3694
				44.3828	136.1615	84.8029
				47.8884	184.0500	91.2656
				93.5361	277.5861	70.4322
				50.2318	327.8179	16.1351



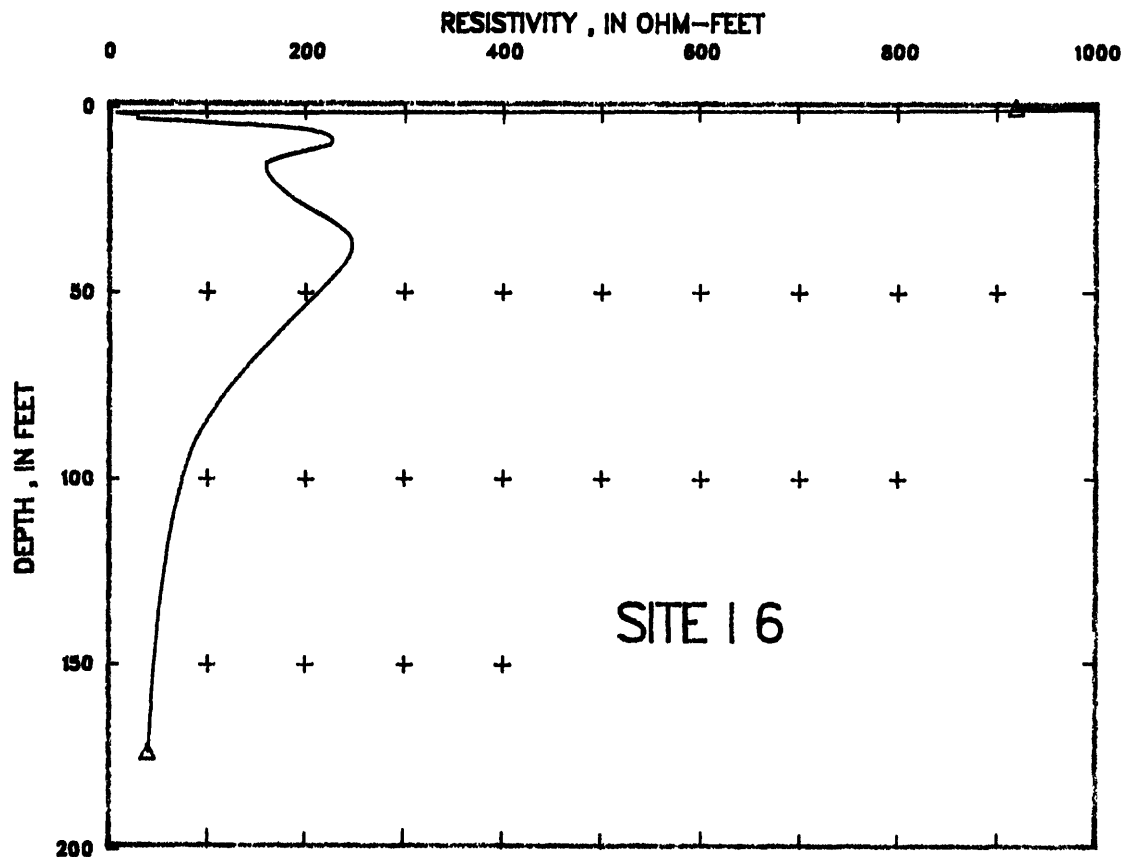
Field data, smoothed data, layer resistivity from smoothed data, and Cartesian graph of resistivity in relation to depth for site I5

Field data		Smoothed data		Layer resistivity from smoothed data		
A-spacing (feet)	Apparent resistivity (ohm-feet)	A-spacing (feet)	Apparent resistivity (ohm-feet)	Thickness (feet)	Depth (feet)	Resistivity (ohm-feet)
1.000	135.000	1.000	135.000	0.1000	0.1000	135.0074
2.000	179.000	2.000	179.000	0.0468	0.1468	135.6888
3.000	199.000	3.000	199.000	0.0887	0.2154	135.4614
4.000	201.000	4.000	201.000	0.1008	0.3182	133.9011
5.000	202.000	5.000	202.000	0.1479	0.4641	131.5945
7.000	207.000	7.000	207.000	0.2171	0.6812	133.6277
10.000	179.000	10.000	179.000	0.3167	0.9979	153.1185
15.000	175.000	15.000	175.000	0.9472	1.9451	222.2812
20.000	197.000	20.000	197.000	0.9561	2.9012	252.9219
30.000	202.000	30.000	202.000	0.9912	3.8923	230.1786
40.000	212.000	40.000	212.000	1.0000	4.8923	207.1645
50.000	215.000	50.000	215.000	1.9912	6.8835	181.9038
70.000	228.000	70.000	228.000	2.9733	9.8568	161.6779
100.000	215.000	100.000	215.000	4.9863	14.8430	168.7070
150.000	148.000	150.000	148.000	4.9881	19.8111	205.3948
200.000	108.000	200.000	108.000	9.7580	29.5671	244.5243
300.000	30.000	300.000	30.000	9.8151	39.3822	264.6194
400.000	39.000			9.9236	49.3058	247.2016
				19.9960	69.3018	228.4993
				29.6325	98.9344	175.1986
				44.0620	142.9983	92.9503
				29.9832	172.9795	32.4996



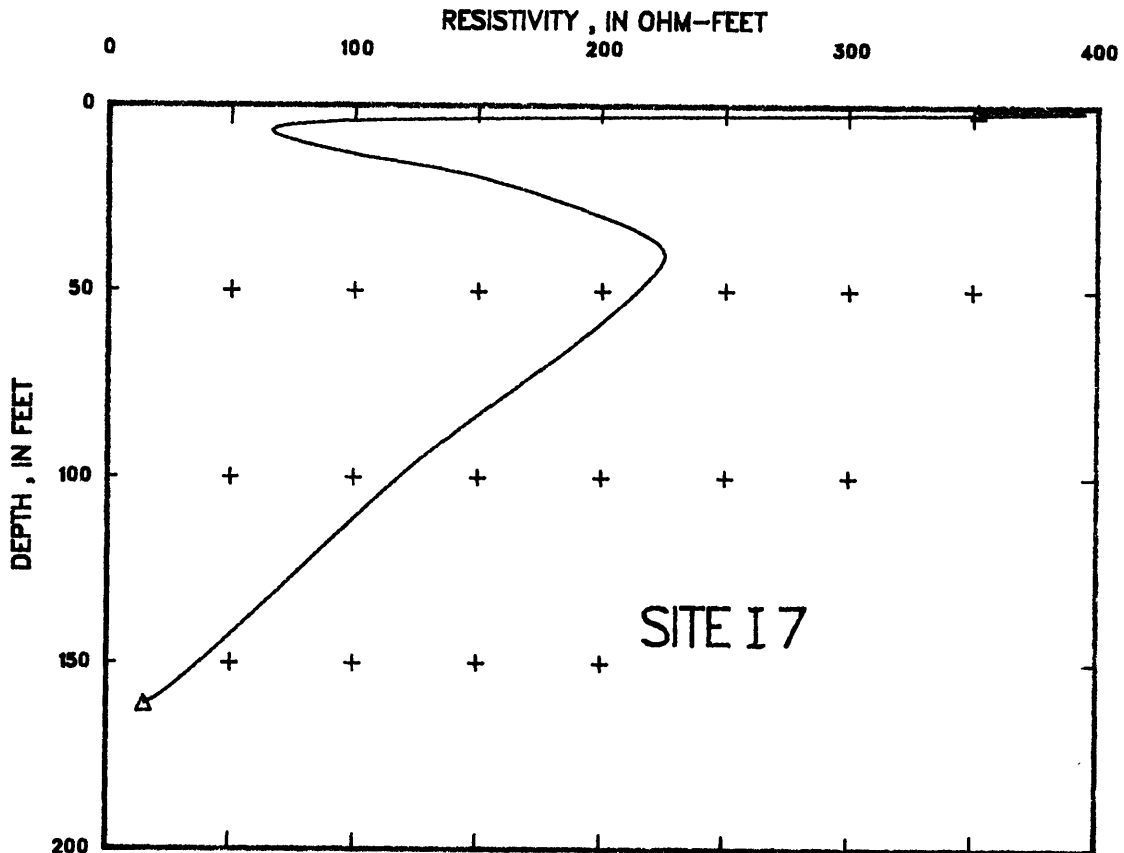
Field data, smoothed data, layer resistivity from smoothed data, and Cartesian graph of resistivity in relation to depth for site I6

Field data		Smoothed data		Layer resistivity from smoothed data		
A-spacing (feet)	Apparent resistivity (ohm-feet)	A-spacing (feet)	Apparent resistivity (ohm-feet)	Thickness (feet)	Depth (feet)	Resistivity (ohm-feet)
1.000	673.000	1.000	673.000	0.1000	0.1000	629.1338
2.000	610.000	2.000	610.000	0.0468	0.1468	635.0090
3.000	323.000	3.000	323.000	0.0686	0.2154	628.5172
4.000	233.000	4.000	233.000	0.1008	0.3161	614.1573
5.000	173.000	5.000	173.000	0.1479	0.4640	607.1487
7.000	138.000	7.000	138.000	0.2167	0.6607	688.3845
10.000	167.000	10.000	130.000	0.3042	0.9850	918.7955
15.000	141.000	15.000	141.000	0.9889	1.9738	879.5609
20.000	151.000	20.000	151.000	0.7046	2.6785	203.7826
30.000	183.000	30.000	183.000	0.1222	2.8006	13.8898
40.000	169.000	40.000	169.000	0.4801	3.2808	28.4276
50.000	175.000	50.000	175.000	1.1264	4.4072	28.4921
70.000	157.000	70.000	157.000	2.5825	6.9696	193.6072
100.000	115.000	100.000	120.000	4.3724	11.3421	224.2314
150.000	91.000	150.000	80.000	4.9823	16.3244	159.0454
200.000	84.000	200.000	53.000	9.8079	26.1323	188.2346
300.000	21.000	300.000	21.000	9.3179	35.5042	243.2001
400.000	25.000			9.7010	45.2052	233.4124
				19.9060	65.1111	161.3311
				28.8225	91.9337	85.9227
				41.1515	133.0852	52.4594
				41.5129	174.5981	40.1555



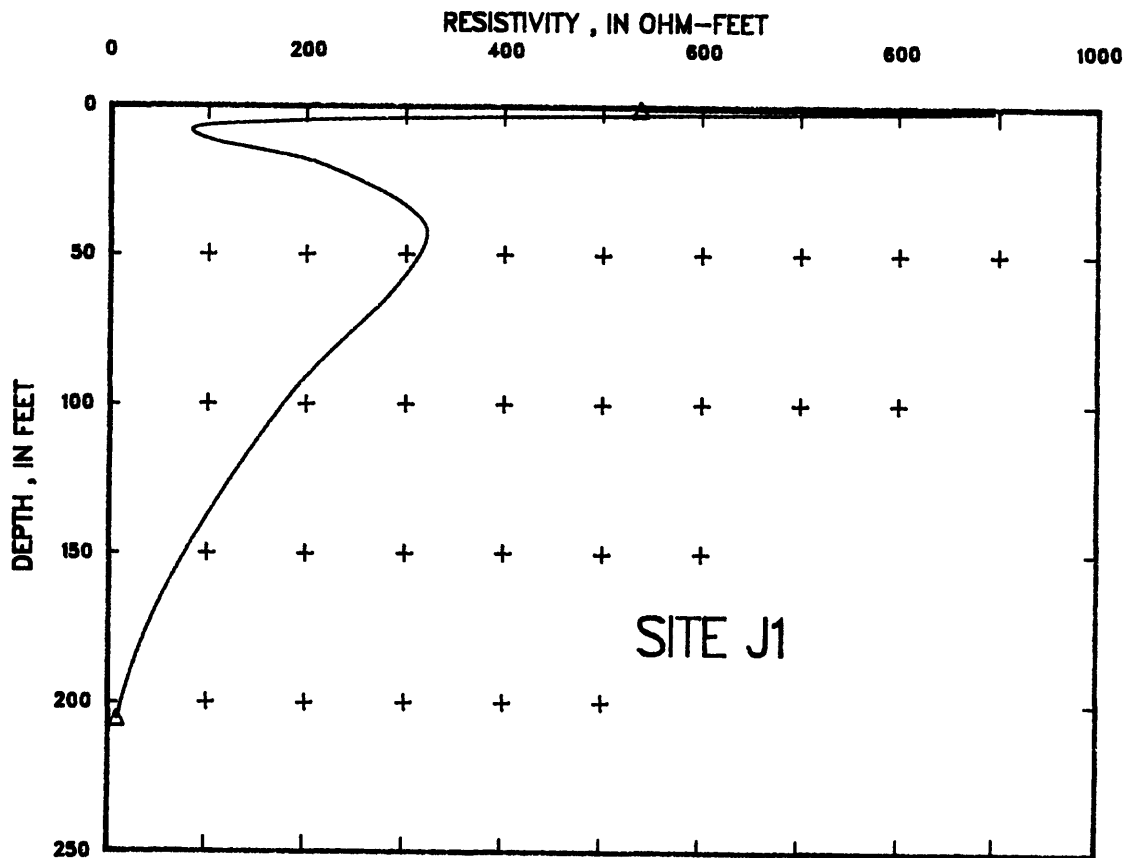
Field data, smoothed data, layer resistivity from smoothed data, and Cartesian graph of resistivity in relation to depth for site I7

Field data		Smoothed data		Layer resistivity from smoothed data		
A-spacing (feet)	Apparent resistivity (ohm-feet)	A-spacing (feet)	Apparent resistivity (ohm-feet)	Thickness (feet)	Depth (feet)	Resistivity (ohm-feet)
1.000	260.000	1.000	260.000	0.1000	0.1000	234.0491
2.000	287.000	2.000	287.000	0.0468	0.1468	232.0021
3.000	248.000	3.000	248.000	0.0687	0.2154	228.6439
4.000	208.000	4.000	208.000	0.1008	0.3182	226.9748
5.000	179.000	5.000	179.000	0.1479	0.4641	236.0360
7.000	144.000	7.000	144.000	0.2151	0.6792	273.7874
10.000	117.000	10.000	117.000	0.3048	0.9840	351.6837
15.000	117.000	15.000	117.000	0.9776	1.9616	369.9053
20.000	122.000	20.000	122.000	0.9755	2.9371	224.2357
30.000	135.000	30.000	135.000	0.8813	3.8183	132.3998
40.000	144.000	40.000	144.000	0.8103	4.6287	89.3081
50.000	153.000	50.000	153.000	1.6028	6.2314	67.5953
70.000	157.000	70.000	157.000	2.7369	8.9683	71.9339
100.000	126.000	100.000	126.000	4.9916	13.9599	105.0266
150.000	94.000	150.000	94.000	4.8524	18.8124	146.7822
200.000	54.000	200.000	54.000	9.2650	28.0773	191.6148
300.000	19.000	300.000	19.000	9.1897	37.2670	222.8733
400.000	18.000			9.5416	46.8086	218.4516
				19.9197	66.7283	184.1227
				29.3608	96.0891	124.3163
				41.3360	137.4250	57.7388
				23.3622	160.7873	15.5428



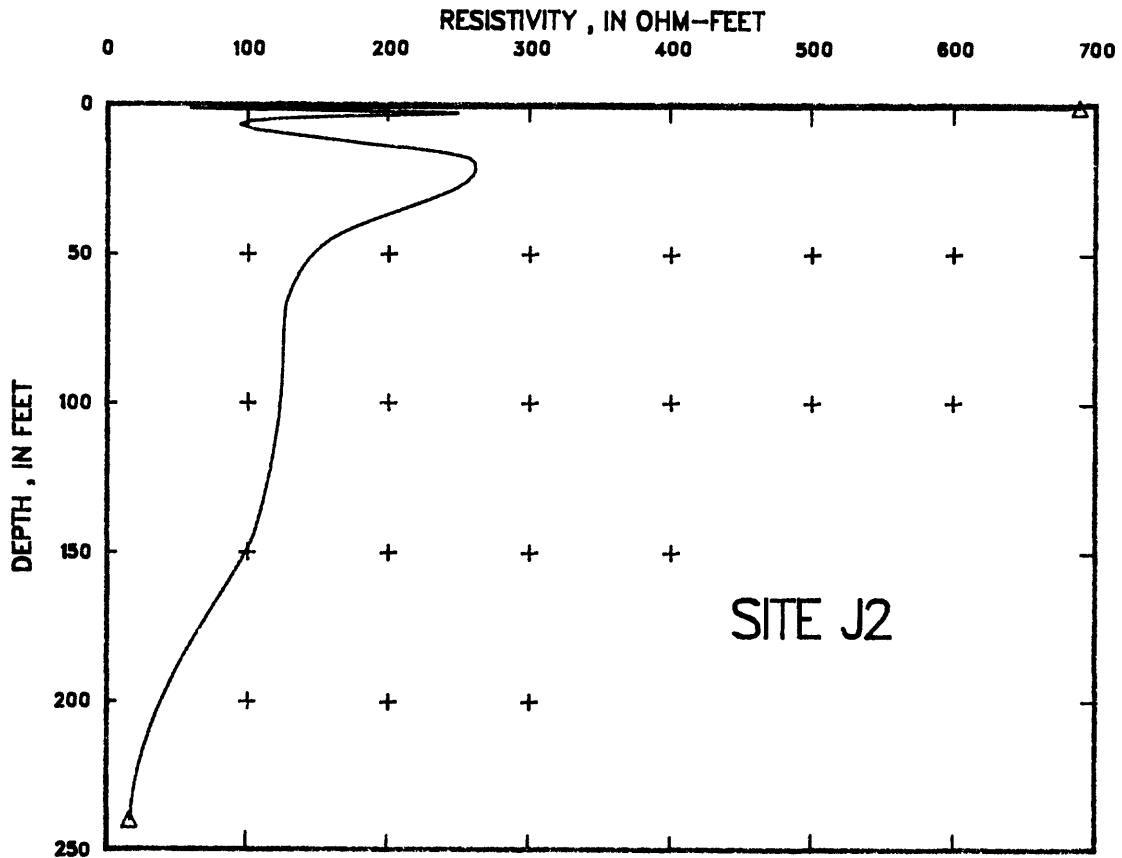
Field data, smoothed data, layer resistivity from smoothed data, and Cartesian graph of resistivity in relation to depth for site J1

Field data		Smoothed data		Layer resistivity from smoothed data		
A-spacing (feet)	Apparent resistivity (ohm-feet)	A-spacing (feet)	Apparent resistivity (ohm-feet)	Thickness (feet)	Depth (feet)	Resistivity (ohm-feet)
1.000	350.000	1.000	350.000	0.1000	0.1000	260.2188
2.000	467.000	2.000	467.000	0.0468	0.1468	257.2692
3.000	511.000	3.000	511.000	0.0686	0.2154	250.3469
4.000	467.000	4.000	467.000	0.1007	0.3161	243.4903
5.000	399.000	5.000	399.000	0.1479	0.4641	253.7296
7.000	314.000	7.000	314.000	0.2127	0.6767	323.5054
10.000	215.000	10.000	215.000	0.2735	0.9503	536.7291
15.000	175.000	15.000	175.000	0.7819	1.7321	892.8839
20.000	179.000	20.000	179.000	0.9791	2.7112	663.3138
30.000	188.000	30.000	188.000	0.9788	3.6900	412.6614
40.000	201.000	40.000	201.000	0.8683	4.5783	254.9310
50.000	215.000	50.000	215.000	1.4907	6.0690	134.9933
70.000	226.000	70.000	226.000	2.0970	8.1660	82.2166
100.000	197.000	100.000	197.000	4.6325	12.7986	112.6639
150.000	122.000	150.000	136.000	4.9622	17.7608	194.5821
200.000	113.000	200.000	100.000	9.4344	27.1952	265.8566
300.000	38.000	300.000	36.000	9.3119	36.5071	310.3425
400.000	19.000	400.000	19.000	9.5019	46.0090	318.4735
				19.8422	65.8512	276.7336
				29.4661	95.3373	187.2585
				43.3764	136.7137	97.4882
				33.5994	172.3131	42.9681
				33.3341	205.6472	9.5163



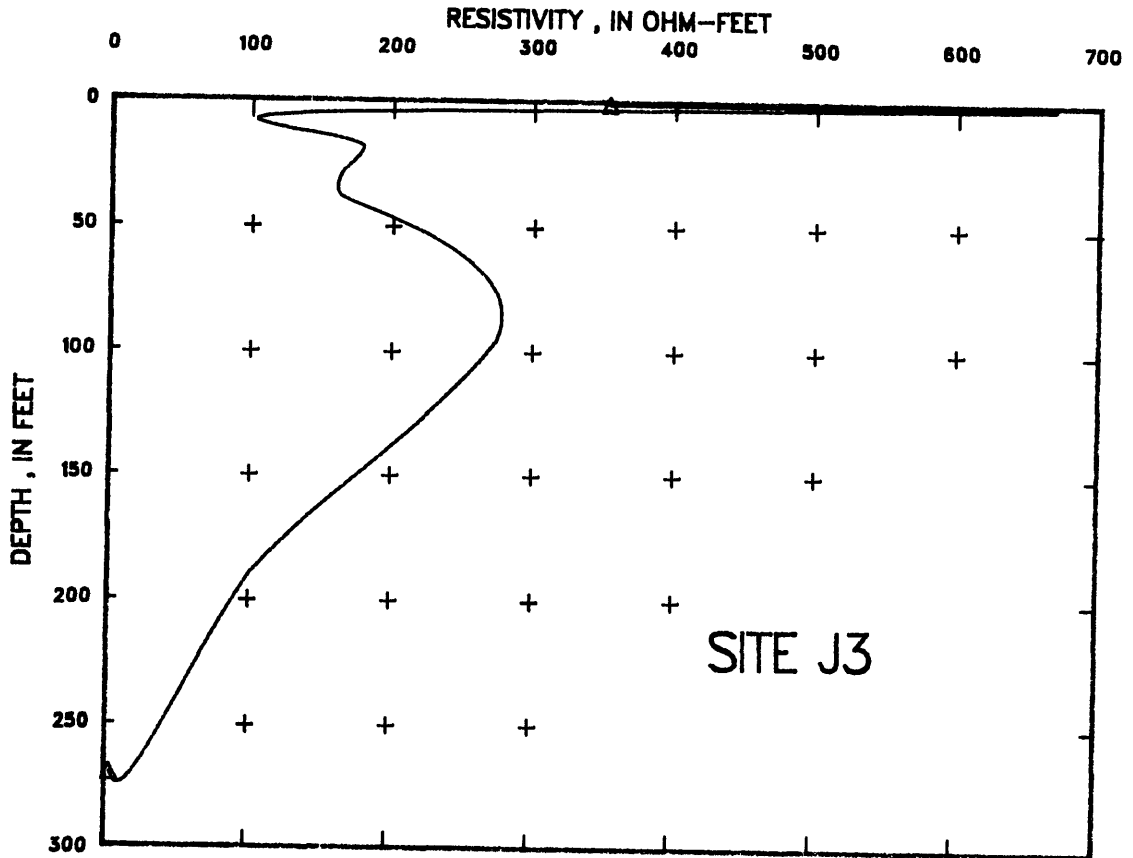
Field data, smoothed data, layer resistivity from smoothed data, and Cartesian graph of resistivity in relation to depth for site J2

Field data		Smoothed data		Layer resistivity from smoothed data		
A-spacing (feet)	Apparent resistivity (ohm-feet)	A-spacing (feet)	Apparent resistivity (ohm-feet)	Thickness (feet)	Depth (feet)	Resistivity (ohm-feet)
1.000	867.000	1.000	867.000	0.1000	0.1000	1,456.6526
2.000	322.000	2.000	322.000	0.0468	0.1468	1,440.6294
3.000	188.000	3.000	188.000	0.0687	0.2154	1,455.9087
4.000	251.000	4.000	170.000	0.1008	0.3162	1,495.1523
5.000	194.000	5.000	160.000	0.1478	0.4640	1,526.4119
7.000	139.000	7.000	149.000	0.2161	0.6802	1,308.5581
10.000	147.000	10.000	147.000	0.2863	0.9665	688.6439
15.000	160.000	15.000	160.000	0.4124	1.3789	89.5381
20.000	167.000	20.000	167.000	0.8077	2.1866	127.7948
30.000	180.000	30.000	180.000	0.9999	3.1864	248.6216
40.000	187.000	40.000	187.000	0.9668	4.1532	174.2289
50.000	175.000	50.000	175.000	1.7278	5.8810	101.5735
70.000	157.000	70.000	157.000	2.8172	8.6982	105.3090
100.000	178.000	100.000	138.000	4.9411	13.6393	185.3504
150.000	105.000	150.000	105.000	4.6350	18.2742	256.8293
200.000	84.000	200.000	78.000	9.6834	27.9576	248.4900
300.000	42.000	300.000	42.000	9.9949	37.9525	193.6867
400.000	28.000	400.000	28.000	9.8166	47.7691	151.6031
				19.3150	67.0842	126.5506
				29.4095	96.4937	123.5656
				48.5057	144.9994	103.7441
				41.3685	186.3678	52.7020
				53.7252	240.0930	16.5952



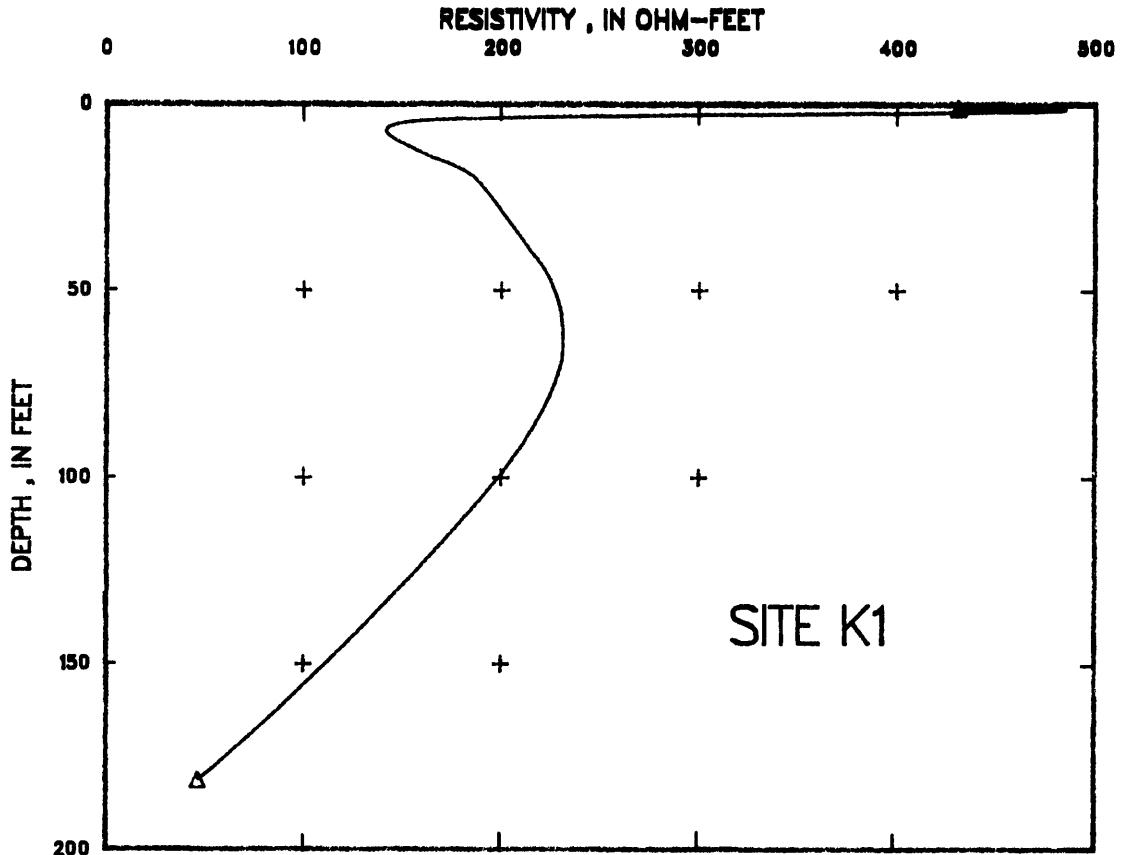
Field data, smoothed data, layer resistivity from smoothed data, and Cartesian graph of resistivity in relation to depth for site J3

Field data		Smoothed data		Layer resistivity from smoothed data		
A-spacing (feet)	Apparent resistivity (ohm-feet)	A-spacing (feet)	Apparent resistivity (ohm-feet)	Thickness (feet)	Depth (feet)	Resistivity (ohm-feet)
1.000	242.000	1.000	242.000	0.1000	0.1000	185.8984
2.000	377.000	2.000	377.000	0.0468	0.1468	186.6159
3.000	323.000	3.000	380.000	0.0687	0.2154	182.3679
4.000	359.000	4.000	359.000	0.1007	0.3161	175.1502
5.000	301.000	5.000	301.000	0.1479	0.4640	174.5514
7.000	232.000	7.000	232.000	0.2152	0.6792	210.5620
10.000	197.000	10.000	197.000	0.2796	0.9589	352.2631
15.000	175.000	15.000	165.000	0.7448	1.7037	668.3975
20.000	167.000	20.000	167.000	0.9687	2.6724	493.9185
30.000	164.000	30.000	164.000	0.9834	3.6558	306.2048
40.000	166.000	40.000	166.000	0.9066	4.5624	196.6377
50.000	175.000	50.000	175.000	1.6400	6.2024	123.3126
70.000	182.000	70.000	182.000	2.5686	8.7709	102.7873
100.000	197.000	100.000	197.000	4.9275	13.6985	142.7993
150.000	175.000	150.000	175.000	4.9961	18.6946	178.1938
200.000	126.000	200.000	130.000	9.9938	28.6884	164.3633
300.000	81.000	300.000	81.000	9.9944	38.6828	169.2056
400.000	72.000	400.000	48.000	9.8628	48.5456	204.1516
500.000	24.000	500.000	24.000	18.9410	67.4866	260.1722
				28.8624	96.3491	273.4896
				49.7641	146.1132	185.5273
				44.6326	190.7458	100.3632
				63.9529	254.6987	36.3517
				15.7777	270.4764	3.7604



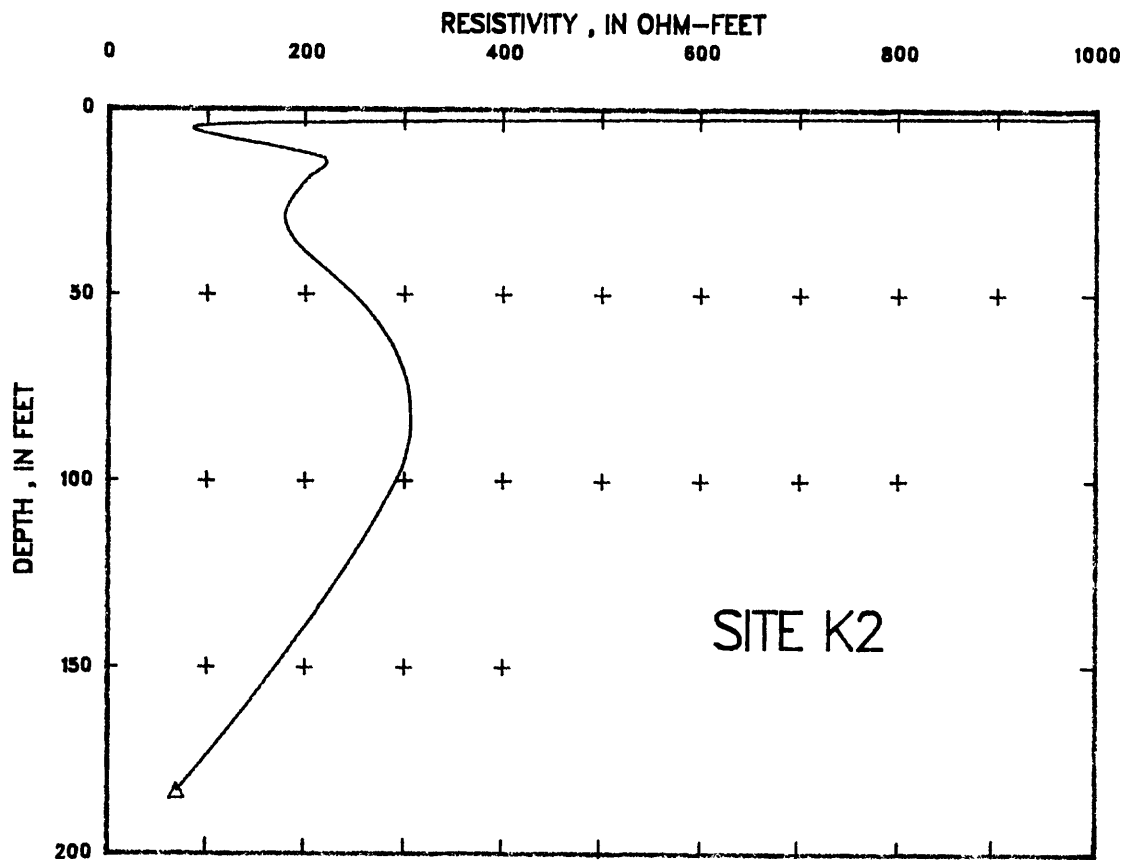
Field data, smoothed data, layer resistivity from smoothed data, and Cartesian graph of resistivity in relation to depth for site K1

Field data		Smoothed data		Layer resistivity from smoothed data		
A-spacing (feet)	Apparent resistivity (ohm-feet)	A-spacing (feet)	Apparent resistivity (ohm-feet)	Thickness (feet)	Depth (feet)	Resistivity (ohm-feet)
1.000	377.000	1.000	377.000	0.1000	0.1000	366.4792
2.000	395.000	2.000	395.000	0.0466	0.1468	366.6000
3.000	323.000	3.000	323.000	0.0687	0.2154	364.2285
4.000	291.000	4.000	285.000	0.1006	0.3162	360.3445
5.000	256.000	5.000	256.000	0.1479	0.4641	361.2380
7.000	220.000	7.000	220.000	0.2170	0.6811	379.1417
10.000	179.000	10.000	179.000	0.3160	0.9972	430.7668
15.000	188.000	15.000	174.000	0.9926	1.9898	459.5424
20.000	179.000	20.000	179.000	0.9751	2.9649	296.6999
30.000	178.000	30.000	178.000	0.9085	3.8734	193.7371
40.000	187.000	40.000	187.000	0.8886	4.7621	155.0587
50.000	188.000	50.000	188.000	1.8288	6.5909	141.5776
70.000	188.000	70.000	188.000	2.8860	9.4769	145.9565
100.000	188.000	100.000	175.000	4.9702	14.4471	164.7002
150.000	135.000	150.000	135.000	4.9999	18.4471	185.4859
200.000	90.000	200.000	90.000	9.9788	28.4238	200.8134
300.000	42.000	300.000	42.000	9.9443	39.3681	214.5908
				9.9174	49.2655	226.1413
				19.8740	69.1595	230.1724
				29.8812	99.1407	199.8985
				47.0195	146.1602	118.4167
				35.0873	181.2575	46.7725



Field data, smoothed data, layer resistivity from smoothed data, and Cartesian graph of resistivity in relation to depth for site K2

Field data		Smoothed data		Layer resistivity from smoothed data		
A-spacing (feet)	Apparent resistivity (ohm-feet)	A-spacing (feet)	Apparent resistivity (ohm-feet)	Thickness (feet)	Depth (feet)	Resistivity (ohm-feet)
1.000	628.000	1.000	628.000	0.1000	0.1000	526.7321
2.000	754.000	2.000	754.000	0.0468	0.1468	524.0051
3.000	619.000	3.000	619.000	0.0686	0.2154	511.2386
4.000	431.000	4.000	480.000	0.1007	0.3162	499.4077
5.000	386.000	5.000	386.000	0.1479	0.4641	522.3207
7.000	264.000	7.000	264.000	0.2125	0.6766	665.1329
10.000	197.000	10.000	197.000	0.2810	0.9575	1,032.0171
15.000	188.000	15.000	188.000	0.9379	1.8954	1,112.2656
20.000	197.000	20.000	197.000	0.9551	2.8506	533.7798
30.000	199.000	30.000	199.000	0.7596	3.6101	235.5486
40.000	201.000	40.000	201.000	0.6108	4.2209	121.8125
50.000	206.000	50.000	206.000	1.2316	5.4525	84.7916
70.000	207.000	70.000	207.000	2.7075	8.1600	128.9507
100.000	206.000	100.000	206.000	4.9965	13.1565	218.5891
150.000	186.000	150.000	188.000	4.9968	18.1533	202.7937
200.000	126.000	200.000	126.000	9.9450	28.0984	177.8188
300.000	63.000	300.000	63.000	9.9944	38.0927	197.8651
400.000	50.000			9.8513	47.9440	240.5844
				19.1201	67.0642	294.0115
				29.2600	96.3242	297.1729
				49.0817	145.4059	182.1125
				37.5674	182.9733	70.2053



Field data, smoothed data, layer resistivity from smoothed data, and Cartesian graph of resistivity in relation to depth for site K3

Field data		Smoothed data		Layer resistivity from smoothed data		
A-spacing (feet)	Apparent resistivity (ohm-feet)	A-spacing (feet)	Apparent resistivity (ohm-feet)	Thickness (feet)	Depth (feet)	Resistivity (ohm-feet)
1.000	287.000	1.000	287.000	0.1000	0.1000	258.0089
2.000	359.000	2.000	359.000	0.0488	0.1488	257.9588
3.000	296.000	3.000	325.000	0.0887	0.2154	258.3848
4.000	280.000	4.000	290.000	0.1008	0.3162	254.2081
5.000	289.000	5.000	289.000	0.1479	0.4641	245.8295
7.000	232.000	7.000	232.000	0.2171	0.6812	251.4341
10.000	215.000	10.000	210.000	0.3095	0.9907	338.7853
15.000	188.000	15.000	188.000	0.8837	1.8743	557.8984
20.000	179.000	20.000	179.000	0.9958	2.8701	333.1406
30.000	172.000	30.000	172.000	0.8987	3.7888	183.1858
40.000	169.000	40.000	189.000	0.8887	4.6355	140.0588
50.000	152.000	50.000	160.000	1.8769	6.5125	150.2088
70.000	151.000	70.000	151.000	2.9932	9.5057	201.8080
100.000	117.000	100.000	117.000	4.9833	14.4890	192.2827
150.000	81.000	150.000	81.000	4.8935	19.3825	152.2924
200.000	72.000	200.000	50.000	9.9171	29.2996	158.0915
300.000	19.000	300.000	19.000	9.9929	39.2925	186.2980
400.000	18.000			9.9808	49.2733	193.2671
				19.9228	69.1958	163.1219
				28.5801	97.7559	109.8570
				41.9012	139.8571	59.0120
				32.0385	171.8956	25.5170

